

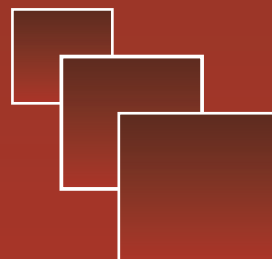
# Вестник

Уральского  
государственного  
университета  
путей сообщения

Научный журнал

**Herald**  
of the Ural State University  
of Railway Transport

Scientific journal



Научный журнал  
Вестник Уральского государственного  
университета путей сообщения  
(Вестник УрГУПС)  
№ 3 (51), 2021 год

**Главный редактор**  
Василий Михайлович Сай  
**Научный редактор**  
Василий Федорович Лапшин

**Литературный и выпускающий редактор**  
Людмила Станиславовна Барышникова

**Техническое редактирование и верстка**  
Светлана Николаевна Наймушина

**Учредитель и издатель:**  
Федеральное государственное  
бюджетное образовательное учрежде-  
ние высшего образования «Уральский  
государственный университет путей  
сообщения» (ФГБОУ ВО УрГУПС)

**Адрес учредителя, издателя и редакции:**  
620034, Екатеринбург,  
ул. Колмогорова, 66

**Телефон редакции:** (343) 221-25-60.  
**Веб-сайт:** [www.usurt.ru/vestnik](http://www.usurt.ru/vestnik);  
**e-mail:** [vestnik@usurt.ru](mailto:vestnik@usurt.ru).

Вестник УрГУПС включен ВАКом  
в перечень периодических, научных  
и научно-технических изданий,  
выпускаемых в Российской Федерации,  
в которых рекомендуется публикация  
основных результатов диссертаций.

DOI:10.20291/2079-0392

Свидетельство о регистрации  
средства массовой информации  
Роскомнадзора ПИ № ФС77–38188  
от 30 ноября 2009 г.

Подписной индекс журнала  
в общероссийском  
каталоге «Пресса России» – 70070

Отпечатано в издательстве  
Уральского государственного  
университета путей сообщения,  
620034, Екатеринбург,  
ул. Колмогорова, 66.

Подписано в печать 10.10.2021  
Дата выхода в свет 15.10.2021.  
Цена 373 руб.

Тираж 300 экз. 1-й з-д: 1–60.  
Формат 70×100/16.  
Заказ 31

Уральский государственный  
университет путей сообщения  
(ФГБОУ ВО УрГУПС), 2021 ©

Scientific journal «Herald of the  
Ural State University  
of Railway Transport»  
(Herald of the USURT)  
№ 3 (51), 2021

**Editor-in-chief,**  
Vasily M. Say  
**Science editor**  
Vasily F. Lapshin

**Script and copy editor**  
Lyudmila S. Baryshnikova

**Technical editing and make-up**  
Svetlana N. Naimushina

**Founder and publisher:**  
Federal state-funded educational  
institution of the higher education  
«Ural State University of Railway Transport»  
(FGBOU VO URGUPS)

**Address of the founder, publisher and edition:**  
66 Kolmogorov Street,  
620034, Ekaterinburg

**Telephone:** +7 (343) 221-25-60.  
**Web-site:** [www.usurt.ru/vestnik](http://www.usurt.ru/vestnik);  
**e-mail:** [vestnik@usurt.ru](mailto:vestnik@usurt.ru).

DOI:10.20291/2079-0392

Certificate of registration of mass media  
by the Federal Service for Supervision  
in the sphere of communications,  
information technology and mass communications  
(Roskomnadzor) PI № FS77–38188  
of November 30, 2009.

Subscription reference number  
of the issue in the All Russia Catalogue  
«Pressa Rossii» – 70070

Printed in the Publishing house  
of the Ural State University of  
Railway Transport  
66 Kolmogorov Street,  
620034, Ekaterinburg.

Passed for printing 10.10.2021  
Data of issue 15.10.2021.  
The price 373 rub.

Circulation 300. The 1<sup>st</sup> pr.: 1–60.  
Format 70×100/16.  
Order 31

The Ural State University  
of Railway Transport  
(FGBOU VO URGUPS), 2021 ©

## МЕЖДУНАРОДНЫЙ РЕДАКЦИОННЫЙ СОВЕТ

**Кейт Бурнхам**, профессор, Университет г. Ковентри, факультет машиностроения и вычислительной техники, Великобритания

**Петер Копачек**, заслуженный профессор, Венский технологический университет, Институт механики и мехатроники, Вена, Австрия

**Владимир Цыганов**, д-р техн. наук, профессор, Институт проблем управления Российской академии наук, Москва, Россия

**Сергей Герман-Галкин**, д-р техн. наук, профессор, Морская академия, Институт судовой автоматики и электротехники, Щецин, Польша

**Клаус Беккер**, профессор, Университет прикладных наук г. Кельна, Институт автомобильной техники, лаборатория NVH, Германия

**Василий Сай**, д-р техн. наук, профессор, Уральский государственный университет путей сообщения, Екатеринбург, Россия

## РЕДКОЛЛЕГИЯ

**Аккерман Геннадий Львович**, д-р техн. наук, профессор, УрГУПС, Екатеринбург

**Ашпиз Евгений Самуилович**, д-р техн. наук, профессор, РУТ, Москва

**Булаев Владимир Григорьевич**, д-р техн. наук, профессор, УрГУПС, Екатеринбург

**Воробьев Александр Алексеевич**, д-р техн. наук, профессор, МГУПС, Москва

**Воскресенская Тамара Петровна**, д-р техн. наук, профессор, СибГИУ, Новокузнецк

**Корнилов Сергей Николаевич**, д-р техн. наук, профессор, МГТУ, Магнитогорск

**Кузнецов Константин Борисович**, д-р техн. наук, профессор, УрГУПС, Екатеринбург

**Курганов Валерий Максимович**, д-р техн. наук, ТГУ, г. Тверь

**Лапшин Василий Федорович**, д-р техн. наук, профессор, УрГУПС, Екатеринбург

**Сапожников Валерий Владимирович**, д-р техн. наук, профессор, ПГУПС, Санкт-Петербург

**Сизый Сергей Викторович**, д-р техн. наук, профессор, УрФУ, Екатеринбург

**Тимофеева Галина Адольфовна**, д-р физ.-мат. наук, профессор, УрГУПС, Екатеринбург

**Щурин Константин Владимирович**, д-р техн. наук, профессор, ОГУ, Оренбург

## INTERNATIONAL EDITORIAL BOARD

**Keith Burnham**, professor, Coventry University, Faculty of Engineering and Computing, Great Britain

**Peter Kopachek**, Professor Emeritus, TU Wien, Institute for Mechanics and Mechatronics, Vienna, Austria

**Vladimir Tsyganov**, DSc, professor, Russian Academy of Sciences, Institute of Control Sciences, Moscow, Russia

**Sergey German-Galkin**, DSc, professor Maritime Academy, Institute of naval automation and electric engineering, Szczecin, Poland

**Klaus Becker**, professor, Cologne University of Applied Sciences, Institute of Automotive Engineering, NVH Laboratory, Germany

**Vasily Say**, DSc, professor, The Ural State University of Railway Transport, Ekaterinburg, Russia

## EDITORIAL BOARD

**Akkerman Gennadiy Lvovich**, DSc, Professor, Ural State University of Railway Transport, Yekaterinburg

**Ashpiz Evgeniy Samuilovich**, DSc, Professor, Russian University of Transport, Moscow

**Bulaev Vladimir Grigorievich**, DSc, Professor, Ural State University of Railway Transport, Yekaterinburg

**Vorobjev Alexander Alexeevich**, DSc, professor, Moscow State University of Railway Transport, Moscow

**Voskresenskaya Tamara Petrovna**, DSc, professor, Siberian State Industrial University, Novokuznetsk

**Kornilov Sergey Nikolaevich**, DSc, professor, Magnitogorsk State Technical University, Magnitogorsk

**Kuznetsov Konstantin Borisovich**, DSc, professor, The Ural State University of Railway Transport, Ekaterinburg

**Kurganov Valeriy Maximovich**, DSc, Professor, Tver State University, Tver city

**Lapshin Vasily Fedorovich**, DSc, Professor, Ural State University of Railway Transport, Yekaterinburg

**Sapozhnikov Valery Vladimirovich**, DSc, professor, Petersburg State University of Railway Transport, Saint-Petersburg

**Sizyi Sergey Viktorovich**, D. Sc. in engineering, professor, Ural Federal University, Ekaterinburg

**Timofeeva Galina Adolfovna**, DSc, professor, The Ural State University of Railway Transport, Ekaterinburg

**Shchurin Konstantin Vladimirovich**, DSc, professor, Orenburg State University, Orenburg

# Содержание

## Математические модели технологических процессов

- 4 М. Л. Жарков, А. Л. Казаков, А. В. Супруновский,  
М. М. Пavidis. Моделирование крупнейшей в мире  
железнодорожной сортировочной станции  
с использованием теории массового обслуживания
- 15 А. В. Мартыненко, О. Н. Ие. Оценка матрицы  
корреспонденций методом Пуассона на основе  
данных онлайн-сервиса поиска автомобильных  
попутчиков
- 27 М. В. Фуфачева. Законы распределения  
некоторых параметров при организации  
движения поездов

## Управление в технических системах

- 40 А. П. Буинов, В. А. Васильев, А. С. Баитов,  
А. И. Иванов. Стендовая отработка  
алгоритмов диагностирования подшипников  
качения бортовой системы диагностики  
и прогноза остаточного ресурса основных  
и вспомогательных узлов МПВС
- 50 П. Н. Мишкур, А. Н. Рахмангулов,  
О. В. Фридрихсон. Методика формирования  
транспортной сети железнодорожной станции
- 65 О. А. Копылова, П. Н. Мишкур, А. А. Четвергова.  
Оценка целесообразности размещения  
парковочного пространства легковых автомобилей  
на основе имитационного моделирования

## Организация и логистика

- 74 Н. К. Горяев. Двухуровневая модель  
информационного взаимодействия участников  
транспортного рынка
- 81 М. Б. Петров, Л. А. Серков, К. Б. Кожов.  
Моделирование взаимодействия регионов Рос-  
сии и Республики Беларусь в целях прогнози-  
рования дополнительных транспортных потоков
- 94 Е. Г. Шепилова. Место и роль аналитического  
исследования процессов подготовки кадров для  
транспортной отрасли

## Безопасность жизнедеятельности

- 102 К. Б. Кузнецов, А. Р. Закирова. Применение  
энергии электромагнитного поля в дезинфици-  
рующих кабинах для профилактики и снижения  
распространения вирусных инфекций
- 109 А. А. Назаретов. Экспериментальные  
исследования уровней звукового давления  
на рабочих местах операторов средств малой  
механизации при шлифовании рельсов

## Аспирантская тетрадь

- 116 Д. Ю. Горелова. Методика определения коэффи-  
циента эластичности организационной сети

# Contents

## Mathematic models of technological processes

- 4 M. L. Zharkov, A. L. Kazakov, A. V. Suprunovsky,  
M. M. Pavidis. Simulation of the world's  
largest railway marshalling yard using  
queuing theory
- 15 A. V. Martynenko, O. N. Ie. Evaluation  
of the correspondence matrix by the poisson  
method based on data from the online  
service for searching for car companions
- 27 M. V. Fufacheva. The laws of distribution  
of some parameters when organizing  
the movement of trains

## Control in engineering systems

- 40 A. P. Buinosov, V. A. Vasiliev, A. S. Baitov,  
A. I. Ivanov. Bench testing of algorithms for  
diagnosing rolling bearings of the on-board  
diagnostic system and forecasting the service  
life of the main and auxiliary components  
of the MCRSU
- 50 P. N. Mishkurov, A. N. Rakhmangulov,  
O. V. Friedrichson. Methodology of forming  
the transport network of a railway station
- 65 O. A. Kopylova, P. N. Mishkurov,  
A. A. Chetvergova. Assessment of feasibility  
of placing the parking space of passenger  
cars on the basis of simulation modeling

## Organization and logistics

- 74 N. K. Goryaev. Two-level model  
of information interaction of transport  
market participants
- 81 M. B. Petrov, L. A. Serkov, K. B. Kozhov.  
Modeling of interaction between the regions  
of Russia and the Republic of Belarus in order  
to predict additional traffic flows
- 94 E. G. Shepilova. The place and role  
of analytical research of personnel training  
processes for the transport industry

## Health and safety

- 102 K. B. Kuznetsov, A. R. Zakirova. Application  
of electromagnetic field energy in disinfection  
cabins for prevention and reduction of spread  
of viral infections
- 109 A. A. Nazaretov. Experimental studies of sound  
pressure levels at the workplaces of operators  
of small-scale mechanization equipment  
when grinding rails

## Research of young scientists

- 116 D. Y. Gorelova. Method of determining the elas-  
ticity coefficient of the organizational network

# Математические модели технологических процессов

УДК 656.212:519.872.5

М. Л. Жарков, А. Л. Казаков, А. В. Супруновский, М. М. Павидис

## Моделирование крупнейшей в мире железнодорожной сортировочной станции с использованием теории массового обслуживания

UDC 656.212:519.872.5

M. L. Zharkov, A. L. Kazakov, A. V. Suprunovsky, M. M. Pavidis

## Simulation of the world's largest railway marshalling yard using queuing theory

### Аннотация

Рассматривается проблема сценарного прогнозирования работы железнодорожных станций в условиях изменяющегося транспортного потока. Предлагается подход к моделированию, основанный на использовании

аппарата теории массового обслуживания, что позволяет учесть наличие существенных случайных воздействий на работу системы. В качестве объекта выбрана крупнейшая в мире железнодорожная сортировочная станция – Бэйли Ярд

(штат Небраска, США). В статье построена математическая модель ее работы в виде сети массового обслуживания, в которой, в отличие от систем массового обслуживания, допустимы ветвления и кольцевое движение заявок. Это

Статья рекомендована к опубликованию М. Б. Петровым, д-ром техн. наук, доцентом института экономики УрО РАН. E-mail: [hetrov.mb@uiec.ru](mailto:hetrov.mb@uiec.ru).

**Максим Леонидович Жарков**, канд. техн. наук, научный сотрудник; Институт динамики систем и теории управления имени В. М. Матросова СО РАН; г. Иркутск, Россия. E-mail: [zharkm@mail.ru](mailto:zharkm@mail.ru) ORCID 0000-0003-4981-338X.

**Александр Леонидович Казаков**, д-р физ.-мат. наук, профессор; кафедра «Управление эксплуатационной работой» Иркутского государственного университета путей сообщения; г. Иркутск, Россия. E-mail: [kazakov@icc.ru](mailto:kazakov@icc.ru) ORCID 0000-0002-3047-1650.

**Антон Викторович Супруновский**, старший преподаватель; кафедра «Управление эксплуатационной работой» Иркутского государственного университета путей сообщения; г. Иркутск, Россия. E-mail: [as.ircups@gmail.com](mailto:as.ircups@gmail.com) ORCID 0000-0001-8356-4271.

**Михаил Максимович Павидис**, аспирант; кафедра «Управление эксплуатационной работой» Иркутского государственного университета путей сообщения; г. Иркутск, Россия. E-mail: [pavidismiha1994@mail.ru](mailto:pavidismiha1994@mail.ru) ORCID 0000-0001-7842-2666.

Исследование выполнено при финансовой поддержке РФФИ в рамках научного проекта № 20-010-00724, РФФИ и правительства Иркутской области в рамках научного проекта № 20-47-383002.

The article is recommended for publishing by M. B. Petrov, Doctor of Technical Sciences, Associate Professor of the Institute of Economics of the Ural Branch of the Russian Academy of Sciences. E-mail: [hetrov.mb@uiec.ru](mailto:hetrov.mb@uiec.ru).

**Maxim Leonidovich Zharkov**, Candidate of Technical Sciences, Researcher; V. M. Matrosov Institute of System Dynamics and Control Theory SB RAS; Irkutsk, Russia. E-mail: [zharkm@mail.ru](mailto:zharkm@mail.ru) ORCID 0000-0003-4981-338X.

**Alexander Leonidovich Kazakov**, Doctor of Physical and Mathematical Sciences, Professor; Department of «Operational Work Management» of the Irkutsk State University of Transport; Irkutsk, Russia. E-mail: [kazakov@icc.ru](mailto:kazakov@icc.ru) ORCID 0000-0002-3047-1650.

**Anton Viktorovich Suprunovsky**, Senior Lecturer; Department of «Operational Work Management» of the Irkutsk State University of Railway Transport; Irkutsk, Russia. E-mail: [as.ircups@gmail.com](mailto:as.ircups@gmail.com) ORCID 0000-0001-8356-4271.

**Mikhail Maksimovich Pavidis**, Post-graduate Student; Department of «Operational Work Management» of the Irkutsk State University of Railway Transport; Irkutsk, Russia. E-mail: [pavidismiha1994@mail.ru](mailto:pavidismiha1994@mail.ru) ORCID 0000-0001-7842-2666.

The research was carried out with the financial support of the RFBR within the framework of scientific project No. 20-010-00724, the RFBR and the government of the Irkutsk region within the framework of scientific project No. 20-47-383002.

позволяет отобразить различные маршруты движения вагонов в структуре станции. Для описания нескольких входящих транспортных потоков применяется ВМАР-поток (Branch Markovian Arrival Process), благодаря чему можно учесть параметры каждого из них. Аналитические результаты для такого рода математических объектов не известны, поэтому модель исследуется численно. Величина транспортного потока варьируется в серии экспериментов. На основе полученных результатов определены текущая и максимальная пропускная способность станции, узкие места в ее структуре и выработаны рекомендации, позволяющие повысить эффективность ее работы.

**Ключевые слова:** железнодорожная сортировочная станция, транспортный поток, математическая модель,

теория массового обслуживания, имитационное моделирование, вычислительный эксперимент.

DOI: 10.20291/2079-0392-2021-3-4-14

#### Abstract

The problem of scenario forecasting of the operation of railway stations in the conditions of changing traffic flow is considered. An approach to modeling based on the use of the queuing theory apparatus is proposed, which allows taking into account the presence of significant random impacts on the system operation. The largest railway marshalling yard in the world – Bailey Yard (Nebraska, USA) was chosen as the object. The article presents a mathematical model of its operation in the form of a queuing network, in which, unlike queuing systems, branching and circular movement of applications are allowed. This allows you

to display various routes of the movement of cars in the structure of the station. To describe several incoming transport flows, a ВМАР stream (Branch Markovian Arrival Process) is used, so it is possible to take into account the parameters of each of them. Analytical results for such mathematical objects are not known, so the model is studied numerically. The amount of traffic flow varies in a series of experiments. Based on the results obtained, the current and maximum capacity of the station, «bottle-necks» in its structure are determined and recommendations are developed to improve the efficiency of its operation.

**Keywords:** railway marshalling yard, traffic flow, mathematical model, queuing theory, simulation modeling, computational experiment.

DOI: 10.20291/2079-0392-2021-3-4-14

Программа развития ОАО «РЖД» предусматривает опережающее развитие инфраструктуры для обеспечения объемов перспективных перевозок, повышение производственной эффективности, переход на цифровую железную дорогу [1]. Для решения этих задач предлагается комплексное аналитическое моделирование условий функционирования железнодорожного транспорта. Внедрение ключевых инициатив развития железнодорожных перевозок и инфраструктуры приведет к росту эффективности перевозочного процесса за счет совершенствования качественных показателей использования подвижного состава и повышению пропускной способности сортировочных станций.

Методы математического и компьютерного моделирования работы железнодорожных сортировочных станций (ЖСС) рассматриваются в работах [2, 3]. В этом научном направлении обычно

используют оптимизационные модели. Методы частично целочисленного линейного программирования и имитационного моделирования применяются в работах [4, 5]. Развитие методов математического моделирования на транспорте связано с построением и исследованием именно оптимизационных моделей; внесли свой вклад в это научное направление и авторы [6, 7].

В работе [8] указывалось, что при расчете станционной работы необходимо учитывать влияние случайных факторов антропогенного и техногенного характера [9]. В настоящее время проявляется также глобальное воздействие случайных рыночных факторов на перевозочные процессы.

Один из способов решения этой проблемы – сглаживание случайных возмущений. Метод регулирования транспортных потоков путем использования бункеров рассмотрен в статьях [10, 11].



Однако такие подходы обусловлены информацией о параметрах поездо- и вагонопотоков. Но при исследовании крупных транспортных объектов и систем информация ограничена и сводится к сбору статистических данных, зачастую неточных или даже некорректных. И здесь единственный эффективный прием, формирующий научно обоснованные рекомендации по совершенствованию технологии работы транспорта, – применение методов научного прогнозирования [12]. Прежде всего требуется установить точные граничные показатели работы ЖСС по переработке вагонов, хотя этим, разумеется, дело не ограничивается – необходимо также учитывать подъездные и маневровые пути, маневровые и магистральные локомотивы и т. п. Для решения этих задач есть обширный модельный и алгоритмический аппарат, который, тем не менее, недостаточно учитывает случайные воздействия на перевозочный процесс и работу ЖСС.

Метод математического моделирования железнодорожных станций при учете случайных факторов предложен в [13]; здесь он базируется на применении систем массового обслуживания, что позволило описать случайные воздействия как на входящий транспортный поток, так и на функционирование самой системы при прогнозировании ее работы [14–16]. В дальнейшем метод усовершенствован [17] за счет использования более общей модели – сети массового обслуживания (СеМО) [18].

В отечественной литературе мало учитывается зарубежный опыт. В странах, где развиты грузовые железнодорожные перевозки, существуют сортировочные станции с оригинальными техническими решениями [19], которые целесообразно адаптировать на российских железных дорогах. В этой связи, по мнению авторов, особого внимания заслуживает ЖСС Бэйли Ярд, которая расположена в США и в данный момент является крупнейшей в мире.

ЖСС Бэйли Ярд – типовая двухсистемная станция с последовательным расположением парков в каждой подсистеме. Бэйли Ярд – одна из наиболее автоматизированных ЖСС; в каждой системе имеется полностью автоматизированная сортировочная горка. Наличие грузового двора делает структуру станции нелинейной и позволяет ей выполнять грузовые функции.

Авторы уже исследовали работу данной ЖСС [17], однако из-за недостатка информации удалось построить только модель западной системы без учета грузовых функций. В настоящей статье строится полная модель всей станции с учетом сортировочной и грузовой работ, а также выполняется вычислительный эксперимент, на основе которого делаются выводы и высказываются рекомендации по увеличению ее пропускной способности.

Поезда прибывают на ЖСС Бэйли Ярд с западного и восточного направлений. В сутки поступает от 10 до 12 тыс. вагонов [20, 21]. Каждая из систем – западная и восточная – обрабатывает примерно по 4 тыс. вагонов из общего числа. Средняя длина поезда составляет 117 вагонов, а максимальная зафиксированная – 130. При 10 тыс. вагонов в сутки среднее число поступивших поездов составляет 85,5, при 12 тыс. – 102,6.

В западной системе имеются парк прибытия (ПП), состоящий из девяти путей со средней вместимостью 93 условных вагона (усл. ваг.), сортировочная горка (СГ) имеет один путь надвига с вместимостью 130 усл. ваг., сортировочный парк (СП) – пятьдесят путей со средней вместимостью 87 усл. ваг., парк отправления (ПО) – десять путей по 92 усл. ваг. в среднем. Восточная система имеет такой же набор подсистем: ПП – девять путей со средней вместимостью 130 усл. ваг., СГ – два пути надвига по 130 усл. ваг., СП – 64 пути по 60 усл. ваг., ПО – шесть путей по 130 усл. ваг. в среднем.

В структуре этой ЖСС есть грузовой двор (ГД) для обработки угольных поездов с восемью путями по 150 усл. ваг.,

на каждом из которых имеется бункер для разгрузки вагонов, угольный парк (УП) для формирования собственных угольных маршрутов – 18 путей со средней вместимостью 41 усл. ваг., западный транзитный парк (ЗТП) – десять путей по 92 усл. ваг. в среднем, в котором происходит техническое обслуживание транзитного, т. е. без расформирования, неугольного вагонопотока, и ремонтное депо (РД) (рис. 1).

Перерабатывающая способность обеих сортировочных горок – около 4000 вагонов в сутки. Надвиг составов на них для роспуска из обоих ПО производится двумя локомотивами. В западном и восточном СП в окончании формирования поездов участвуют три локомотива. Во всех парках отправления (западном транзитном и угольном) должны работать минимум по две обслуживающие бригады, участвующие в окончании формирования и отправке поезда из системы [22].

Нам не удалось найти в открытых источниках распределение времени

обслуживания ( $F$ ) и размеров обслуживаемых групп ( $X$ ) в каналах. Поэтому они были подобраны на основе [22] (таблица 1).

Кратко опишем применяемый математический аппарат и метод математического моделирования ЖСС [17], который включает три этапа. На первом строится описание входящего вагонопотока на основе ВМАР-потока [23], с помощью которого в рамках единой модели можно описать несколько групповых потоков заявок.

На втором этапе описывается процесс принятия и обслуживания вагонов на станции в виде открытой СеМО, представляющей собой совокупность конечного числа СМО (узлов), в которой заявки переходят из одного узла в другой. Вероятности их переходов хранятся в маршрутной матрице [14]. В ней же указаны узлы, в которые заявки поступают из внешнего источника. Узел СеМО описывает работу подсистем (парков и грузового двора) станции и имеет четыре основные характеристики:

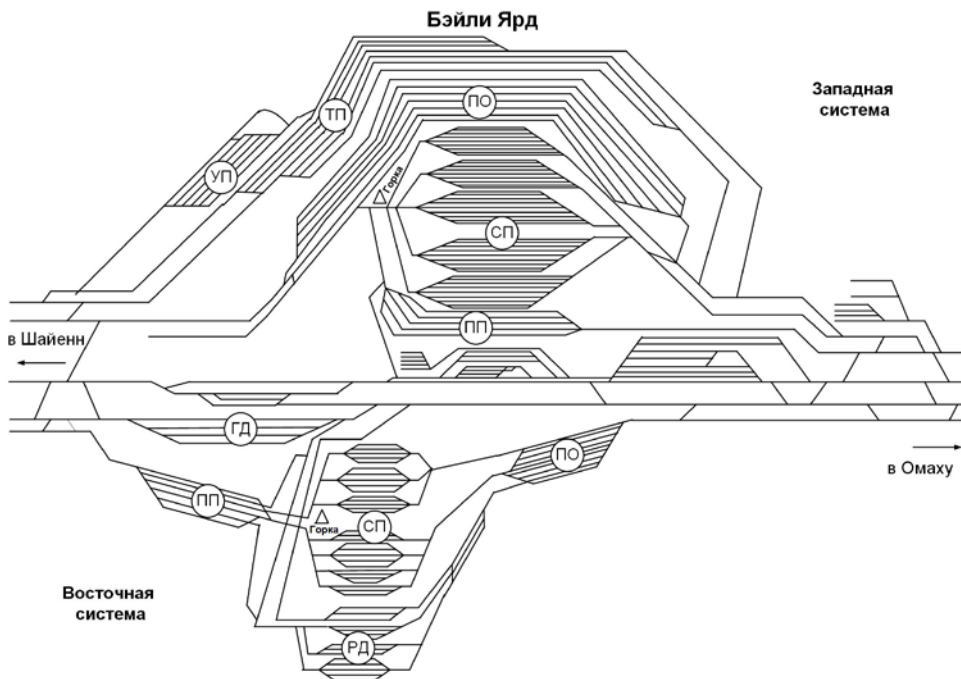


Рис. 1. Схема ЖСС Бэйли Ярд



Таблица 1

## Параметры обслуживания в подсистемах ЖСС Бэйли Ярл

	Западный ПП	Западная СГ	Западный СП	Западный ПО	Западный ТП	Угольный парк
$F$ , мин	$N(35, 2)$	$N(15, 1)$	$N(36, 4)$	$N(30, 4)$	$N(30, 4)$	$N(60, 5)$
$X$	$B(130, 0,9)$	130	$B(60, 0,9)$	$B(130, 0,9)$	$B(130, 0,9)$	$B(130, 0,9)$
	Восточный ПП	Восточная СГ	Восточный СП	Восточный ПО	Грузовой двор	
$F$ , мин	$N(35, 2)$	$N(15, 1)$	$N(36, 4)$	$N(30, 4)$	$N(2880, 720)$	
$X$	$B(130, 0,9)$	130	$B(60, 0,8)$	$B(130, 0,9)$	$B(130, 0,9)$	

Здесь:  $N(\mu, \sigma)$  – нормальное распределение, где  $\mu$  – математические ожидания,  $\sigma$  – среднеквадратическое отклонение;  $B(n, p)$  – биномиальное распределение, где  $n$  – число испытаний,  $p$  – вероятность успеха.

входящий поток заявок (позиция  $A$ ), распределение времени обслуживания заявок в канале ( $B$ ), количество обслуживающих устройств, т. е. каналов ( $m$ ), вместимость подсистемы или длина очереди (позиция  $n$ ). Формальная их запись имеет следующий вид [18]:  $A / B / m / n$ . Если параметры входящего потока в узел неизвестны, то на позиции  $A$  будем ставить звездочку (\*).

Особенность ЖСС заключается в том, что поезда поступают с главного хода в парк прибытия по маневровым путям. Если в нем нет места для принятия всего поезда, то поступивший состав может частично занять эти маневровые пути. Эту особенность можно учесть с помощью дисциплины полного принятия: если в очереди СМО есть место для принятия хотя бы одной заявки из группы, то к обслуживанию принимается вся группа. При движении группы заявок между узлами, если нет достаточного количества места для принятия группы в следующем узле, используются временные блокировки работы каналов предыдущего узла.

На третьем этапе выполняется численное исследование полученной СеМО и анализируются результаты.

Построение модели работы ЖСС Бэйли Ярл начнем с описания входящего вагонопотока. Поезда поступают на станцию с двух направлений. Тогда ВМАР-поток будет включать два подпотока. В случае 12 тыс. вагонов в сутки

интенсивность поступления групп заявок (поездов) для каждого подпотока:  $\lambda = \lambda_0 = \lambda_1 = 102,5/24 \approx 4,3$  шт./ч. Нам не удалось найти данные о распределении числа вагонов в поезде, поэтому примем, что оно подчинено биномиальному распределению  $B(130, 0,9)$ , где первый параметр соответствует максимальной зафиксированной длине поезда, а второй подобран так, чтобы его значение соответствовало средней длине поезда. Выбор биномиального распределения обоснован тем, что оно является дискретным аналогом нормального, которое используется на транспорте, когда истинный закон распределения случайной величины неизвестен [9, с. 45].

Модель процесса обслуживания вагонов в системе строится в виде СеМО, где ее узлы описывают работу подсистем ЖСС. Тогда каналами в них являются обслуживающие устройства, а очередь – это суммарная вместимость подсистемы. В парках прибытия и сортировочных парках каналами являются локомотивы, на сортировочных горках – устройства расформирования составов и один путь надвига. В парках отправления, угольном и западном транзитном парках каналами являются обслуживающие бригады, а на грузовом дворе – бункеры. Тогда СеМО будет включать 12 узлов: узел 0 – источник заявок, узел 1 (восточный ПП) –  $ВМАР/G^X/2/1170$ , узел 2 (восточная СГ) –  $*/G^X/1/130$ , узел 3 (восточный СП) –  $*/G^X/3/3840$ , узел 4

(восточный ПО) –  $*/G^X/2/780$ , узел 5 (грузовой двор) –  $*/G^X/8/130$ , узел 6 (западный ПП) –  $ВМАР/G^X/2/837$ , узел 7 (западная СГ) –  $*/G^X/1/0$ , узел 8 (западный СП) –  $*/G^X/3/3000$ , узел 9 (западный ПО) –  $*/G^X/2/736$ , узел 10 (ЗТП) –  $ВМАР/G^X/2/920$ , узел 11 (УП) –  $*/G^X/2/736$ . Здесь  $G$  обозначает произвольный закон распределения времени обслуживания заявок,  $X$  – групповое обслуживание в канале. Ремонтное депо в модели не учитывается, так как оно не влияет на сортировочные и грузовые функции станции.

Группы заявок принимаются в восточном и западном парках прибытия и западном транзитном парке согласно дисциплине полного принятия. Далее они движутся по системе согласно матрице  $P$ . Опустим ее представление из-за большого размера. Вероятности переходов заявок между узлами представлены виде весов на рис. 2, стрелками обозначены направления движения заявок. Для предотвращения потери заявок между узлами применяются блокировки каналов.

Далее представлены результаты имитационного моделирования полученной СеМО с 12-ю узлами и ВМАР-поток. В таблицах 2–4 приведены средние результаты за десять пусков программного комплекса. Виртуальное время моделирования для каждого пуска составило 35 дней (это время, за которое имитационная модель выходит на стационарный режим работы).

Эксперимент 1. В таблице 2 представлены результаты моделирования при интенсивности поступления  $\lambda = 4,3$  групп заявок в час, что соответствует 12 тыс. вагонов в сутки в среднем.

Из таблицы 2 ясно, что вероятность отказа ( $P_{отк}$ ) равна нулю, среднее время пребывания заявки в системе ( $T_{сист}$ ) составляет 88,53 часа. Средняя длина очереди в узлах значительно меньше максимально возможной. Наибольшее суммарное время блокировки каналов наблюдается в узле 6 (западный ПП) и связано с отсутствием очереди в узел 7 (западная СГ). Таким образом, станция справляется со средней нагрузкой в 12 тыс. вагонов

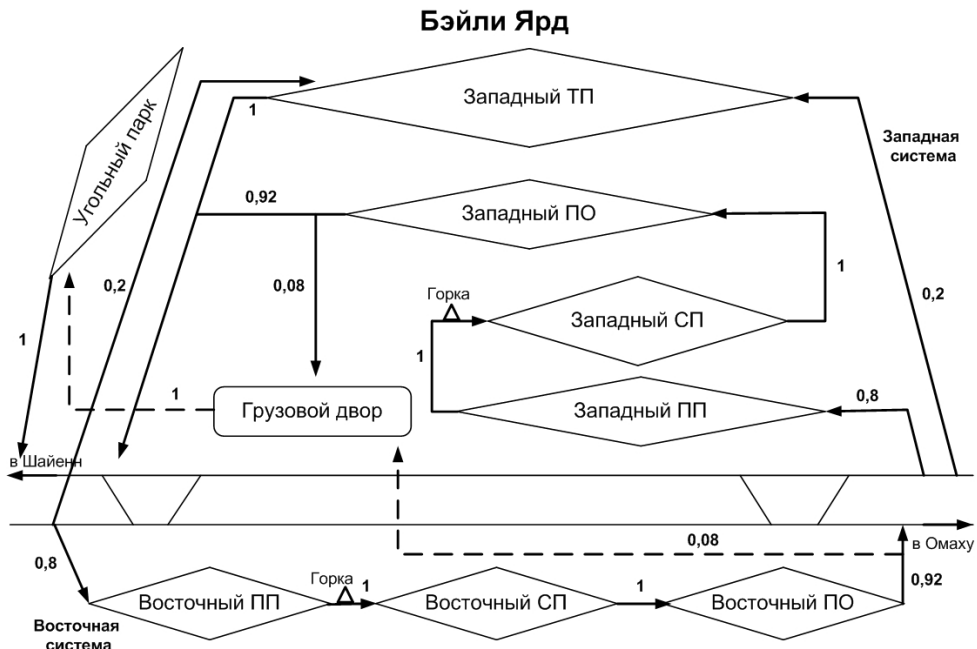


Рис. 2. Схема модели ЖСС Бэйли Ярд

Таблица 2

## Результаты эксперимента 1

Поступило групп	3571,7	Отклонено групп		0	$P_{отк}$	0
Поступило заявок	417807,3	Отклонено заявок		0	$T_{сист}$	88,53
	Узел 1	Узел 2		Узел 3	Узел 4	Узел 5
Среднее число занятых каналов	1,03	0,45		2,67	0,95	6,88
Средняя длина очереди	69,53	6,32		408,54	44,63	49,61
Среднее время в узле, мин	57,03	17,74		174,91	46,16	10976,54
Время блокировки, мин	3,89	–		–	70,67	–
	Узел 6	Узел 7	Узел 8	Узел 9	Узел 10	Узел 11
Среднее число занятых каналов	1,07	0,45	2,66	0,95	0,46	0,12
Средняя длина очереди	70,78	–	438,48	43,87	49,03	19,03
Среднее время в узле, мин	58,68	15,84	178,70	45,90	61,67	1723,03
Время блокировки, мин	1969,11	111,00	–	71,33	–	–

в сутки. В узлах 3 и 8 (восточный и западный СП) среднее число занятых каналов приближается к максимальному (3 шт.), т. е. эти подсистемы при увеличении входящего вагонопотока могут быть перегружены.

Проверим это предположение, увеличив интенсивность поступления групп заявок на 15 %.

Эксперимент 2. Результаты при  $\lambda = 4,95$  групп заявок (поездов) в час, или в среднем 13,9 тыс. вагонов в сутки, представлены в таблице 3.

Увеличение вагонопотока на 15 %, как и предполагалось, привело к перегрузке узлов 3 и 8: на них наблюдается наибольшая средняя длина очереди, среднее число занятых каналов близко к трем. Поэтому в узлах 1, 2, 6 и 7 увеличилось время блокировки каналов; вероятность отказа отличается от нуля. Однако она пренебрежимо мала (0,002), и ее можно объяснить погрешностью вычислений. Дальнейшее увеличение объемов вагонопотоков приводит к резкому увеличению вероятности

Таблица 3

## Результаты эксперимента 2

Поступило групп	4085	Отклонено групп		8	$P_{отк}$	0,002
Поступило заявок	477890	Отклонено заявок		956	$T_{сист}$	92,12
	Узел 1	Узел 2		Узел 3	Узел 4	Узел 5
Среднее число занятых каналов	1,28	0,59		2,95	1,05	7,55
Средняя длина очереди	160,41	24,72		2047,35	44,61	62,41
Среднее время в узле, мин	82,65	25,05		593,63	44,82	5693,33
Время блокировки, мин	5902	4196		0	79	0
	Узел 6	Узел 7	Узел 8	Узел 9	Узел 10	Узел 11
Среднее число занятых каналов	1,34	0,59	2,97	1,06	0,53	0,14
Средняя длина очереди	139,6	–	1677,26	44,52	50,43	19,74
Среднее время в узле, мин	79,32	18,59	492,19	44,7	58,43	1469,88
Время блокировки, мин	9147	4400	0	78	–	–

отказа. Так, при интенсивности поступления  $\lambda = 5,16$  (на 20 % выше первоначального) групп заявок в час ее значение составляет 0,012, что уже не может быть объяснено погрешностью вычислений.

Наиболее эффективными мерами по увеличению пропускной способности станции являются увеличение количества локомотивов в сортировочных парках и уменьшение времени обслуживания в сортировочных парках. Далее представлены результаты моделирования при реализации последнего варианта.

Эксперимент 3. Результаты при  $\lambda = 5,5$  групп заявок в час (в среднем 15,4 тыс. вагонов в сутки) и уменьшении среднего времени обслуживания в сортировочных парках на 20 % представлены в таблице 4.

При уменьшении среднего времени обслуживания в обоих сортировочных парках на 20 % пропускная способность станции увеличивается на 28 %, т. е. она сможет обработать в среднем 15,4 тыс. вагонов в сутки. Также это приводит к уменьшению среднего времени пребывания заявки в системе с 88,53 до 53,19 часов. В данном случае наблюдается ненулевая вероятность отказа, однако она весьма незначительна.

Таким образом, ЖСС Бэйли Ярд справляется с текущей нагрузкой в 12 тыс. вагонов в сутки и имеет запас пропускной способности, что позволяет ей обслуживать до 14 тыс. вагонов в сутки. Однако в этом случае узким местом становятся оба сортировочных парка, загрузка которых приближается к максимально допустимой. При уменьшении среднего времени обслуживания групп заявок в них на 20 % пропускная способность всей станции может увеличиться до 28 %.

Итак, станция Бейли Ярд не только справляется с текущей нагрузкой, но и имеет резерв перерабатывающей способности более 15 %. Факторами, которые способствуют достижению подобной эффективности, являются развитые путевые устройства и несколько маршрутов движения вагонов в системе, что позволяет избежать их скопления в отдельных частях станции. Наличие двух сортировочных систем и транзитного парка позволяет разделить входящий транспортный поток на основной (с переработкой) и периферийный (без переработки), что обеспечивает беспрепятственный прием и обработку разных категорий поездов. Обширное путевое развитие, высокий уровень автоматизации сортировочных

Таблица 4

Результаты эксперимента 3

Поступило групп	4592,5	Отклонено групп		5,5	$P_{отк}$	0,001
Поступило заявок	537544,3	Отклонено заявок		639,75	$T_{сист}$	53,19
	Узел 1	Узел 2		Узел 3	Узел 4	Узел 5
Среднее число занятых каналов	1,31	0,57		2,84	1,20	7,56
Средняя длина очереди	97,44	8,78		870,96	44,58	68,07
Среднее время в узле, мин	59,28	17,92		249,23	43,33	5189,91
Время блокировки, мин	3,75	0		0	95,25	0
	Узел 6	Узел 7	Узел 8	Узел 9	Узел 10	Узел 11
Среднее число занятых каналов	1,37	0,58	2,84	1,20	0,61	0,14
Средняя длина очереди	115,09	–	818,24	44,55	52,86	30,96
Среднее время в узле, мин	64,70	15,99	231,50	43,30	55,96	2138,03
Время блокировки, мин	2499,50	0	0	97,00	–	–

процессов и развитие горловины парков на ЖСС Бейли Ярл обеспечивают параллельность выполнения маневровых операций и роспуска поездов. Вышеприведенные решения усложняют

технология работы станции, однако способствует ускорению движения зазавок в системе, что, в сущности, увеличивает ее пропускную и перерабатывающую способность. ■

### Литература

1. Долгосрочная программа развития открытого акционерного общества «Российские железные дороги» до 2025 года. М. : ОАО «РЖД», 2019, 135 с.
2. Козлов П. А. О методах расчета систем железнодорожного транспорта // Железнодорожный транспорт. 2014. № 12. С. 28–31. ISSN 0044-4448.
3. Александров А. Э. Использование моделей при расчете и оптимизации систем железнодорожного транспорта // Наука и техника транспорта. 2008. № 2. С. 54–56. ISSN 2074-9325.
4. Александров А. Э., Галкин А. Г., Пермикин В. Ю., Тимухина Е. Н. Модель основной технологической линии сортировочной станции // Транспорт Урала. 2018. № 4 (59). С. 7–12. ISSN 1815-9400.
5. Александров А. Э., Сурин. А. В. Методика использования имитационных моделей поездобразования и продвижения поездов в оперативном планировании // Транспорт Урала. 2016. № 4 (51). С. 66–70. ISSN 1815-9400.
6. Бруснянин Д. А., Казаков А. Л., Маслов А. М. Оптимизация региональной маршрутной сети междугородных и пригородных пассажирских перевозок с использованием логистических принципов // Транспорт Урала. 2012. № 1 (32). С. 106–109. ISSN 1815-9400.
7. Журавская М. А., Казаков А. Л., Парсюрлова П. А. О размещении остановочных пунктов при осуществлении мультимодальных пассажирских перевозок // Транспорт Урала. 2012. № 4 (35). С. 50–53. ISSN 1815-9400.
8. Образцов В. Н., Никитин В. Д., Шаульскийкий Ф. Н., Бузанов С. П. Станции и узлы. М. : Трансжелдориздат, 1949. 540 с.
9. Акулиничев В. М., Кудрявцев В. А., Корешков А. Н. Математические методы в эксплуатации железных дорог. М. : Транспорт, 1981. 223 с.
10. Козлов П. А., Колокольников В. С., Сорокин В. Н. Совместное использование аналитических методов и имитационных моделей // Транспорт Урала. 2016. № 3 (50). С. 3–8. ISSN 1815-9400.
11. Козлов П. А., Колокольников В. Н. Макроструктурный подход в исследовании железнодорожных станций // Транспорт Урала. 2017. № 2 (53). С. 3–7. ISSN 1815-9400.
12. Светуных И. С., Светуных С. Г. Методы социально-экономического прогнозирования. – В 2-х т. – Т. 1. Теория и методология. – М. : Юрайт, 2015. 351 с. ISBN 978-5-9916-4903-2.
13. Казаков А. Л., Маслов А. М. Построение модели неравномерного транспортного потока на примере железнодорожной грузовой станции // Современные технологии. Системный анализ. Моделирование. 2009. № 3 (23). С. 27–32. ISSN 1813-9108.
14. Казаков А. Л., Павидис М. М., Жарков М. Л. Применение многофазных систем массового обслуживания для моделирования сортировочной станции // Вестник УрГУПС. 2018. № 2 (38). С. 4–14. ISSN 2079-0392.
15. Казаков А. Л., Павидис М. М. Об одном подходе к моделированию работы сортировочных станций // Транспорт Урала. 2019. № 1 (60). С. 29–35. ISSN 1815-9400.
16. Лемперт А. А., Павидис М. М., Жарков М. Л. Моделирование зарубежных сортировочных станций на основе теории массового обслуживания // Вестник УрГУПС. 2019. № 3 (43). С. 24–32. ISSN 2079-0392.
17. Bychkov I., Kazakov A., Lempert A., Zharkov M. Modeling of railway stations based on queuing networks // Applied Sciences (Switzerland), 2021. № 11 (5). 2425. ISSN 2076-3417.
18. Вишневецкий В. М. Теоретические основы проектирования компьютерных сетей. М. : Техносфера, 2003. 512 с. ISBN 5-94836-011-3.
19. Казаков А. Л., Павидис М. М. Мировой опыт работы железнодорожных сортировочных станций: современное состояние, тенденции и перспективы // Вестник СГУПС. 2021. № 1 (56). С. 28–37. ISSN 1815-9265.

20. Golden Spike Tower. Live feed from Bailey Yard Train camera. Available online. URL: <https://goldenspiketower.com/bailey-yard/live-cam/> (дата обращения: 2.06.2021).
21. Postcard Jar. Trains humping and other fun things we saw on our trip through central Nebraska. URL: <https://postcardjar.com/trains-humping-and-other-fun-things-we-saw-on-our-trip-through-central-nebraska/> (дата обращения: 2.06.2021).
22. Распоряжение ОАО «РЖД» от 11.12.2014 № 2927р Об утверждении Типового технологического процесса работы сортировочной станции ОАО «РЖД». М. : ОАО «РЖД», 2014, 97 с.
23. Lucantoni D. M. New results on single server queue with a Batch Markovian Arrival Process // Commun. Statist. Stochastic Models. 1991. V. 7. P. 1–46.

#### Literature

1. Long-term development program of the Open Joint Stock company «Russian Railways» until 2025. [Dolgosrochnaya programma razvitiya otkrytogo aktsionernogo obshchestva «Rossijskie zheleznye dorogi» do 2025 goda]. М. : JSC «Russian Railways», 2019, 135 p.
2. Kozlov P. A. On methods of calculation of railway transport systems // Railway transport. [O metodakh rascheta sistem zheleznodorozhnogo transporta // Zheleznodorozhnyj transport.] 2014. No. 12. Pp. 28–31. ISSN 0044-4448.
3. Alexandrov A. E. The use of models in the calculation and optimization of railway transport systems // Science and Technology of transport. [Ispol'zovanie modelej pri raschete i optimizatsii sistem zheleznodorozhnogo transporta // Nauka i tekhnika transporta] 2008. № 2. Pp. 54–56. ISSN 2074-9325.
4. Alexandrov A. E., Galkin A. G., Permikin V. Yu., Timukhina E. N. Model of the main technological line of the marshalling yard // Transport of the Urals. [Model' osnovnoj tekhnologicheskoy linii sortirovochnoj stantsii // Transport Urala.] 2018. № 4 (59). Pp. 7–12. ISSN 1815-9400.
5. Alexandrov A. E., Surin. A. V. Methodology of using simulation models of train formation and train promotion in operational planning // Transport of the Urals. [Metodika ispol'zovaniya imitatsionnykh modelej poezdoobrazovaniya i prodvizheniya poezdov v operativnom planirovanii // Transport Urala.] 2016. № 4 (51). Pp. 66–70. ISSN 1815-9400.
6. Brusyanin D. A., Kazakov A. L., Maslov A. M. Optimization of the regional route network of intercity and suburban passenger transportation using logistics principles // Transport of the Urals. [Optimizatsiya regional'noj marshrutnoj seti mezhdugorodnykh i prigorodnykh passazhirskikh perevozok s ispol'zovaniem logisticheskikh printsipov // Transport Urala.] 2012. № 1 (32). Pp. 106–109. ISSN 1815-9400.
7. Zhuravskaya M. A., Kazakov A. L., Parsiurova P. A. On the placement of stopping points in the implementation of multimodal passenger transportation // Transport of the Urals. [O razmeshhenii ostanovochnykh punktov pri osushhestvlenii mul'timodal'nykh passazhirskikh perevozok // Transport Urala.] 2012. № 4 (35). Pp. 50–53. ISSN 1815-9400.
8. Obratsov V. N., Nikitin V. D., Shaulsky F. N., Buzanov S. P. Stations and nodes. [Stantsii i uzly.] М. : Transzheldorizdat, 1949. 540 p.
9. Akulinichev V. M., Kudryavtsev V. A., Koreshkov A. N. Mathematical methods in the operation of railways. [Matematicheskie metody v ehkspluatatsii zheleznnykh dorog.] М. : Transport, 1981. 223 p.
10. Kozlov P. A., Kolokolnikov V. S., Sorokin V. N. Joint use of analytical methods and simulation models // Transport of the Urals. [Sovmestnoe ispol'zovanie analiticheskikh metodov i imitatsionnykh modelej // Transport Urala.] 2016. № 3 (50). Pp. 3–8. ISSN 1815-9400.
11. Kozlov P. A., Kolokolnikov V. N. Macrostructural approach in the study of railway stations // Transport of the Urals. [Makrostrukturnyj podkhod v issledovanii zheleznodorozhnykh stantsij // Transport Urala] 2017. № 2 (53). Pp. 3–7. ISSN 1815-9400.
12. Svetunkov I. S., Svetunkov S. G. Methods of socio-economic forecasting. [Metody sotsial'no-ehkonomicheskogo prognozirovaniya.] In 2 volumes-Vol. 1. Theory and methodology. – М. : Yurayt, 2015. 351 p. ISBN 978-5-9916-4903-2.
13. Kazakov A. L., Maslov A. M. Constructing a model of uneven transport flow on the example of a railway freight station // Modern technologies. System analysis. Modeling. [Postroenie modeli neravnomernogo transportnogo potoka na primere zheleznodorozhnoj gruzovoy stantsii // Sovremennye tekhnologii. Sistemnyj analiz. Modelirovanie.] 2009. № 3 (23). Pp. 27–32. ISSN 1813-9108.



14. Kazakov A. L., Pavlidis M. M., Zharkov M. L. Application of multiphase queuing systems for modeling a marshalling yard. [Primenenie mnogofaznykh sistem massovogo obsluzhivaniya dlya modelirovaniya sortirovochnoy stantsii // Vestnik UrGUPS] Herald of USURT 2018. № 2 (38). Pp. 4–14. ISSN 2079-0392.
15. Kazakov A. L., Pavlidis M. M. An approach to modeling the operation of marshalling yards // Transport of the Urals. [Ob odnom podkhode k modelirovaniyu raboty sortirovochnykh stantsij // Transport Urala] 2019. № 1 (60). Pp. 29–35. ISSN 1815-9400.
16. Lempert A. A., Pavlidis M. M., Zharkov M. L. Modeling of foreign marshalling yards based on the theory of queuing // Herald of USURT. [Modelirovanie zarubezhnykh sortirovochnykh stantsij na osnove teorii massovogo obsluzhivaniya // Vestnik UrGUPS] 2019. № 3 (43). Pp. 24–32. ISSN 2079-0392.
17. Bychkov I., Kazakov A., Lempert A., Zharkov M. Modeling of railway stations based on queuing networks // Applied Sciences (Switzerland), 2021. № 11 (5). 2425. ISSN 2076-3417.
18. Vishnevsky V. M. Theoretical foundations of computer network design. [Teoreticheskie osnovy proektirovaniya komp'yuternykh setej.] M. : Technosphere, 2003. 512 p. ISBN 5-94836-011-3.
19. Kazakov A. L., Pavlidis M. M. World experience of railway marshalling yards: current state, trends and prospects // Bulletin of the SSURT. [Mirovoj opyt raboty zheleznodorozhnykh sortirovochnykh stantsij: sovremennoe sostoyanie, tendentsii i perspektivy // Vestnik SGUPS] 2021. № 1 (56). Pp. 28–37. ISSN 1815-9265.
20. Golden Spike Tower. Live feed from Bailey Yard Train camera. Available online. URL: <https://goldenspiketower.com/bailey-yard/live-cam/> (accessed: 2.06.2021).
21. Postcard Jar. Trains humping and other fun things we saw on our trip through central Nebraska. URL: <https://postcardjar.com/trains-humping-and-other-fun-things-we-saw-on-our-trip-through-central-nebraska/> (accessed: 2.06.2021).
22. Order of JSC «Russian Railways» dated 11.12.2014 № 2927r «On approval of the Standard technological process of the sorting station of JSC «Russian Railways». [Распоряжение ОАО «РЖД» от 11.12.2014 № 2927р Об утверждении Типового технологического процесса работы сортировочной станции ОАО «РЖД»] М. : JSC «Russian Railways», 2014, 97 p.
23. Lucantoni D. M. New results on single server queue with a Batch Markovian Arrival Process // Commun. Statist. Stochastic Models. 1991. V. 7. P. 1–46.

*Статья сдана в редакцию 13 июля 2021 года*

УДК 656.021

*А. В. Мартыненко, О. Н. Ие*

## Оценка матрицы корреспонденций методом Пуассона на основе данных онлайн-сервиса поиска автомобильных попутчиков

UDC 656.021

*A. V. Martynenko, O. N. Ie*

## Evaluation of the correspondence matrix by the Poisson method based on data from the online service for searching for car companions

### Аннотация

Для эффективного функционирования транспортных систем необходима информация о пространственном распределении транспортных потоков как на текущий момент, так для будущих периодов. Традиционные методы получения результатов наблюдения требуют очень больших затрат, кроме того, велика вероятность получения некачественных данных из-за сильного влияния человеческого фактора. Недостаток автоматизированных методов обследования транспортных потоков – высокая стоимость оборудования. В работе предложен способ получения данных о

пространственном распределении пассажиропотоков с помощью постоянного мониторинга онлайн-сервиса совместных поездок. Для иллюстрации возможностей этого подхода использован онлайн-сервис поиска автомобильных попутчиков на примере Свердловской области. Построена матрица корреспонденций с помощью гравитационной модели, использующей метод Пуассона. Для нахождения неизвестных параметров модели применен итерационный метод Гаусса – Зейдлица. Осуществлена оценка качества и адекватности построенных модельных значений корреспонденций. Показано, что

пространственное распределение транспортных потоков, полученных на основе данных онлайн-сервисов поиска автомобильных попутчиков, достаточно хорошо описывается гравитационной моделью с кусочно-постоянной функцией тяготения. На основе анализа наблюдаемой матрицы корреспонденций установлено, что транспортные потоки между Екатеринбург и всеми остальными городами Свердловской области значительно превосходят транспортные потоки между этими городами.

**Ключевые слова:** пространственное распределение транспортных потоков, матрица корреспонденций,

*Статья рекомендована к опубликованию А.А. Бондарем; канд. физ.-мат. наук, зав. кафедрой Уральского федерального университета. E-mail: a-bondar@mail.ru.*

**Александр Валериевич Мартыненко**, канд. физ.-мат. наук, Уральский государственный университет путей сообщения; с.н.с. Центра развития и размещения производительных сил Института экономики УрО РАН, Екатеринбург, Россия. E-mail: amartynenko@rambler.ru. ORCID 0000-0002-4701-6398.

**Ольга Николаевна Ие**, канд. физ.-мат. наук, Уральский государственный университет путей сообщения, Уральский федеральный университет им. первого Президента России Б. Н. Ельцина; Екатеринбург, Россия. E-mail: olgaie@mail.ru. ORCID 0000-0002-0864-8923. Статья подготовлена в соответствии с планом НИР УРГУПС (тема 121050500050-5).

*The article is recommended for publishing by A.A. Bondar, Candidate of Physical and Mathematical Sciences, Head of the Department of the Ural Federal University. E-mail: a-bondar@mail.ru.*

**Alexander V. Martynenko**, Candidate of Physical and Mathematical Sciences, Ural State University of Railway Transport; Senior Researcher. Center for the Development and Placement of Productive Forces of the Institute of Economics of the Ural Branch of the Russian Academy of Sciences, Yekaterinburg, Russia. E-mail: amartynenko@rambler.ru. ORCID 0000-0002-4701-6398.

**Olga Nikolaevna Ie**, Candidate of Physical and Mathematical Sciences, Ural State University of Railway Transport, Ural Federal University named after the first President of Russia B. N. Yeltsin, Yekaterinburg, Russia. E-mail: olgaie@mail.ru. ORCID 0000-0002-0864-8923. The article was prepared in accordance with the research plan of USURT (topic 121050500050-5).

гравитационная модель, метод Пуассона, кусочно-постоянная функция тяготения.

DOI: 10.20291/2079-0392-2021-3-15-26

### Abstract

For effective functioning of transport systems, information on spatial distribution of transport flows is necessary both at the current moment and for future periods. Traditional methods of obtaining observation results require very high costs. In addition, there is a high probability of obtaining low-quality data due to the strong influence of the human factor. The disadvantage of automated methods of traffic flow inspection is the high

cost of equipment. The paper proposes a method for obtaining data on spatial distribution of passenger flows using constant monitoring of the online service of joint trips. To illustrate the possibilities of this approach, the online service for searching for car companions was used on the example of Sverdlovsk region. The correspondence matrix is constructed using a gravitational model applying the Poisson method. The Gauss – Seidlitz iterative method is used to find unknown parameters of the model. The assessment of quality and adequacy of the constructed model values of correspondence was carried out. It is shown that

the spatial distribution of traffic flows obtained on the basis of data from online services for searching for car companions is well described by a gravitational model with a piecewise constant gravity function. Based on the analysis of the observed correspondence matrix, it was found that traffic flows between Yekaterinburg and all other cities of the Sverdlovsk region significantly exceed traffic flows between these cities.

**Keywords:** spatial distribution of transport flows, correspondence matrix, gravitational model, Poisson method, piecewise constant gravity function.

DOI: 10.20291/2079-0392-2021-3-15-26

### Введение

Для решения различных вопросов, связанных с развитием транспортной инфраструктуры, необходима информация о пространственном распределении транспортных потоков. Причем необходима и информация о существующих потоках в настоящий момент времени, и прогноз на будущее. Как правило, для описания транспортных потоков используют матрицу корреспонденций, рассчитанную по наблюдаемым значениям с помощью гравитационной модели.

Методы расчета матрицы корреспонденций хорошо известны [1] и использовались во многих научных исследованиях для анализа транспортных потоков. Так, в работе [2] на основе синтетической гравитационной модели рассчитаны матрицы корреспонденций для различных видов городского общественного транспорта. Методы расчета внутригородских матриц корреспонденций рассматривались также в работе [3]. В частности, здесь проведен детальный анализ методов и моделей для расчета таких матриц.

Исследованию междугородных пассажирских матриц корреспонденций посвящены работы [4–5] (см. также цитированную там литературу). Возможности применения гравитационных и энтропийных методов для расчета матрицы грузовых корреспонденций обсуждаются в работе [6].

Все исследователи отмечают одну общую проблему, возникающую при расчете матрицы корреспонденций, которая заключается в том, что получение наблюдаемых данных для калибровки модели требует очень больших затрат. Дело в том, что для получения необходимых данных обычно используют следующие методы: анкетный, отчетно-статистический, натурный и автоматизированный. Традиционные методы (анкетный, отчетно-статистический, натурный) достаточно трудоемки как на этапе сбора данных (для этого необходимо привлечение большого числа учетчиков), так и на этапе их первичной обработки. Кроме того, при использовании таких методов возможны значительные ошибки из-за большого влияния человеческого фактора. Поэтому использование традиционных

методов изучения пассажиропотоков не позволяет получить качественный результат. В этой связи разрабатываются и внедряются различные автоматизированные методы обследования транспортных потоков, обеспечивающие получение информации в обработанном виде, без привлечения большого количества людей. В настоящее время существует много разных систем мониторинга транспортных потоков, точность которых варьируется от 3 до 60 %. Однако недостатком этого метода является высокая стоимость оборудования. Кроме того, автоматизированные системы наблюдений позволяют получить информацию только лишь об интенсивности потока в определенной точке транспортной сети (и уже по ней калибровать модель для расчета матрицы корреспонденций), а не о существующих объемах автомобильных корреспонденций.

Таким образом, в настоящий момент нет достаточно надежных, но при этом дешевых способов получения данных о пространственном распределении пассажиропотоков, но активно развиваются онлайн-сервисы поиска автомобильных попутчиков. На основании объявлений о поиске попутчика, размещаемых на таких сервисах, можно сформировать наблюдаемую матрицу корреспонденций. Конечно же, такая матрица будет содержать только те поездки, о которых размещены объявления. Однако достаточно естественно предположение, что полученная таким образом матрица пропорциональна матрице всех автомобильных пассажирских перевозок. Если это так, то матрица, полученная на основе онлайн-сервиса поиска автомобильных попутчиков, может быть использована для расчета относительных значений загрузки отдельных участков сети, а также для получения распределения количества поездок по их стоимости (продолжительности.)

В настоящей работе используются данные, полученные в результате ежедневного сбора (на протяжении пяти месяцев) информации с онлайн-сервиса

поиска автомобильных попутчиков Едем.рф. Основная цель работы – на основе этих данных рассчитать матрицу корреспонденций с помощью гравитационной модели, использующей метод Пуассона. А также, сравнивая модельную матрицу с наблюдаемой, проверить гипотезу, что наблюдаемая матрица корреспонденций онлайн-сервисов поиска автомобильных попутчиков может быть описана гравитационной моделью.

### Метод Пуассона

В самом общем виде гравитационной моделью транспортных корреспонденций называют зависимость вида:

$$T_{ij} = a_i b_j f(C_{ij}), \quad (1)$$

где  $T_{ij}$  – пассажиропоток из пункта  $i$  в пункт  $j$ ,  $\forall i \in I, \forall j \in J$ ;  $C_{ij}$  – обобщенная стоимость поездки из пункта  $i$  в пункт  $j$ ;  $a_i, b_j$  – коэффициенты, характеризующие пункта  $i$  и  $j$  с точки зрения генерирования исходящих и входящих пассажиропотоков;  $f$  – функция тяготения.

Существуют различные подходы к оценке матрицы корреспонденций на основе модели (1): метод балансировки [7], метод единственного коэффициента роста, метод среднего коэффициента роста [8], метод Фернеса [9], детройтский метод [10], метод Хаймана [11], метод взаимодействующих потенциалов [12] и др. Метод калибровки модели (1) зависит от спецификации функции тяготения и имеющихся в наличии данных. Например, если в качестве функции тяготения используется показательная функция

$$f(C_{ij}) = e^{-\beta C_{ij}},$$

а из наблюдений известны  $P_i$  (количество пассажиров, выехавших из пункта  $i$ ),  $A_j$  (количество пассажиров, прибывших в пункт  $j$ ) и средняя обобщенная стоимость поездки  $C^*$ , то параметры  $a_i, b_j$  и  $\beta$  определяются из системы уравнений [11, 13]:

$$\begin{cases} \sum_j a_i b_j f(C_{ij}) = P_i, \\ \sum_i a_i b_j f(C_{ij}) = A_j, \\ \frac{\sum_{i,j} C_{ij} T_{ij}}{\sum_{i,j} T_{ij}} = C^*. \end{cases} \quad (2)$$

В настоящей работе для оценки матрицы корреспонденций на основе модели (1) используется метод Пуассона [14–15]. Этот метод позволяет оценить матрицу корреспонденций в случае, когда известен (из наблюдений) пассажиропоток для некоторых (но не обязательно для всех) пар пунктов отправления и прибытия  $(i, j)$ .

Метод Пуассона основывается на предположении, что для каждой пары  $(i, j)$  количество поездок  $T_{ij}$  является дискретной случайной величиной, распределенной по закону Пуассона. Также предполагается, что математическое ожидание  $\hat{T}_{ij}$  случайной величины  $T_{ij}$  определяется в соответствии с гравитационной моделью (1), т.е.

$$\hat{T}_{ij} = \hat{T}_{ij}(a_i, b_j, f(C_{ij})) = a_i b_j f(C_{ij}). \quad (3)$$

В качестве функции тяготения  $f(C_{ij})$  в соотношении (3) используется дискретизированная функция, которая определяется следующим образом:

$$f(C_{ij}) = \sum_k f_k \Delta_{ij}^k, \quad \Delta_{ij}^k \in \{0, 1\},$$

где  $f_k$  – значение функции распределения для  $k$ -го интервала затрат,  $\forall k \in K$ ;  $\Delta_{ij}^k$  равно 1, если обобщенная стоимость поездки  $C_{ij}$  находится в  $k$ -м интервале затрат, и 0 в противном случае.

Таким образом, функция тяготения является кусочно-постоянной функцией: диапазон изменения стоимости поездки разбивается на ограниченное количество интервалов и для каждого интервала выбирается значение  $f_k$ . Эти значения являются параметрами функции тяготения  $f$ .

Другими словами, метод Пуассона основывается на предположении, что

количество поездок  $T_{ij}$  является дискретной случайной величиной, закон распределения которой имеет вид

$$P(T_{ij}) = \frac{\exp\left(-a_i b_j \sum_k f_k \Delta_{ij}^k\right) \cdot \left(a_i b_j \sum_k f_k \Delta_{ij}^k\right)^{T_{ij}}}{T_{ij}!}. \quad (4)$$

В качестве аргументации выбора именно распределения Пуассона для описания количества поездок приводят, в частности, следующие аргументы [8]: распределение Пуассона не допускает отрицательных значений, сумма двух случайных величин, распределенных по закону Пуассона, также является распределенной по закону Пуассона. Поэтому изменение уровня агрегирования модели, например, путем объединения пунктов отправления (назначения) или целей поездок, не приводит к несогласованности.

Далее кратко обсудим, как оцениваются параметры  $a_i$ ,  $b_j$ ,  $f_k$  по наблюдаемым данным. Пусть для некоторых  $(i, j)$  известны  $n_{ij}$  – наблюдаемые количества поездок из зоны  $i$  в зону  $j$ ;  $N$  – общее количество наблюдаемых поездок:

$$N = \sum_{i,j} n_{ij}.$$

При этом не предполагаем, что наблюдаемая матрица корреспонденций является полной, т.е. некоторые значения  $n_{ij}$  могут отсутствовать (подчеркнем, что здесь речь идет именно о том, что значения некоторых элементов матрицы корреспонденций неизвестны, а не о том, что они равны нулю.).

Далее будем использовать характеристическую матрицу  $S$  такой же размерности, что и матрица корреспонденций. Элементы матрицы  $S$  определяются следующим образом:  $S_{ij} = 1$ , если пара  $(i, j)$  представлена в выборке;  $S_{ij} = 0$ , если пара  $(i, j)$  отсутствует в выборке.

Поскольку мы предполагаем, что результаты наблюдений  $n_{ij}$  являются независимыми и распределены по закону (4), то вероятности наблюдаемых значений  $n_{ij}$  определяется следующим образом:

$$P(n_{ij} | a_i, b_j, f_k) = \prod_{i,j|S_{ij}=1} \frac{\exp\left(-a_i b_j \sum_k f_k \Delta_{ij}^k\right) \cdot \left(a_i b_j \sum_k f_k \Delta_{ij}^k\right)^{n_{ij}}}{n_{ij}!}. \quad (5)$$

Для оценивания параметров  $a_i$ ,  $b_j$ ,  $f_k$  применяется метод максимального правдоподобия. Соответствующая логарифмическая функция правдоподобия может быть записана как

$$\begin{aligned} \ln L(a_i, b_j, f_k; n_{ij}) &= \\ &= \sum_i \sum_j S_{ij} \left( -a_i b_j \sum_k f_k \Delta_{ij}^k + \right. \\ &\quad \left. + n_{ij} \ln \left( a_i b_j \sum_k f_k \Delta_{ij}^k \right) - \ln(n_{ij}!) \right). \end{aligned} \quad (6)$$

Несложно, видеть, что задача

$$\ln L(a_i, b_j, f_k) \rightarrow \max \quad (7)$$

сводится к системе уравнений

$$\begin{cases} \sum_j \left( -b_j \sum_k f_k \Delta_{ij}^k + \frac{n_{ij}}{a_i} \right) S_{ij} = 0, & \forall i \in I, \\ \sum_i \left( -a_i \sum_k f_k \Delta_{ij}^k + \frac{n_{ij}}{b_j} \right) S_{ij} = 0, & \forall j \in J, \\ \sum_i \sum_j \left( -a_i b_j + \frac{n_{ij}}{f_k} \right) \sum_k f_k \Delta_{ij}^k = 0, & \forall k \in K, \end{cases} \quad (8)$$

которую можно переписать в виде

$$\begin{cases} a_i = \sum_j S_{ij} n_{ij} / \sum_j \sum_k S_{ij} b_j f_k \Delta_{ij}^k, \\ b_j = \sum_i S_{ij} n_{ij} / \sum_i \sum_k S_{ij} a_i f_k \Delta_{ij}^k, \\ f_k = \sum_i \sum_j S_{ij} \Delta_{ij}^k n_{ij} / \sum_i \sum_j S_{ij} \Delta_{ij}^k a_i b_j. \end{cases} \quad (9)$$

Система уравнений (9) не разрешима в явном виде. Ее приближенное решение можно получить, например, с помощью итерационного метода Гаусса – Зейделя [14]. Для этого на нулевом шаге полагают, что значения всех параметров  $a_i$ ,  $b_j$ ,  $f_k$  равны единице, и затем выполняют итерации по формулам

$$\begin{cases} a_i^{(n+1)} = \sum_j S_{ij} n_{ij} / \sum_j \sum_k S_{ij} b_j^{(n)} f_k^{(n)} \Delta_{ij}^k, \\ \quad \forall i \in I, \\ b_j^{(n+1)} = \sum_i S_{ij} n_{ij} / \sum_i \sum_k S_{ij} a_i^{(n)} f_k^{(n)} \Delta_{ij}^k, \\ \quad \forall j \in J, \\ f_k^{(n+1)} = \sum_i \sum_j S_{ij} \Delta_{ij}^k n_{ij} / \sum_i \sum_j S_{ij} \Delta_{ij}^k a_i^{(n+1)} b_j^{(n+1)} \\ \quad \forall k \in K \end{cases} \quad (11)$$

до тех пор, пока не будет достигнута заданная точность.

### Исходные данные

Для сбора исходных данных в течение пяти месяцев (февраль-июнь 2021 г.) осуществлялся ежедневный скрейпинг онлайн-сервиса поиска автомобильных попутчиков Едем.рф. В качестве пунктов отправления и прибытия выбраны населенные пункты Свердловской области с населением более 20 тыс. чел. (эти пункты образуют 992 корреспонденции). Для автоматического запроса сведений по каждой корреспонденции разработана компьютерная программа (на языке программирования Python), которая запускалась каждый день в одно и то же время. Собранные данные о пунктах отправления и прибытия, времени отправления и прибытия, стоимости поездки (фрагмент первичных данных представлен в таблице 1).

Для первичной обработки и анализа данных применялась программа Wolfram Mathematica. Некоторое представление о полученных данных дает таблица 2.

На рис. 1 представлена визуализация наблюдаемой матрицы корреспонденций.

Как видно из рис. 1, только в первой строке и первом столбце, которым соответствует Екатеринбург, есть поездки по всем направлениям (вторая строка и второй столбец соответствуют Нижнему Тагилу). Для большинства других пар городов количество поездок равно нулю. Отчасти это можно



Таблица 1

Исходные данные					
Дата	Откуда	Куда	Время отправления	Время прибытия	Цена, руб.
1.02.2021	Екатеринбург	Карпинск	4:20	9:13	800
1.02.2021	Екатеринбург	Асбест	5:00	6:17	200
1.02.2021	Новоуральск	Екатеринбург	5:30	6:42	150
1.06.2021	Североуральск	Серов	23:50	2:14	350

Таблица 2

Характеристика исходных данных	
Общее количество корреспонденций	1024
Количество наблюдаемых корреспонденций	992
Количество поездок	22398
Количество нулевых корреспонденций	797
Количество ненулевых корреспонденций	227
Максимальное число поездок	5020
Среднее число поездок	21,9
Медианное число поездок для всех корреспонденций	0
СКО числа поездок	206,3

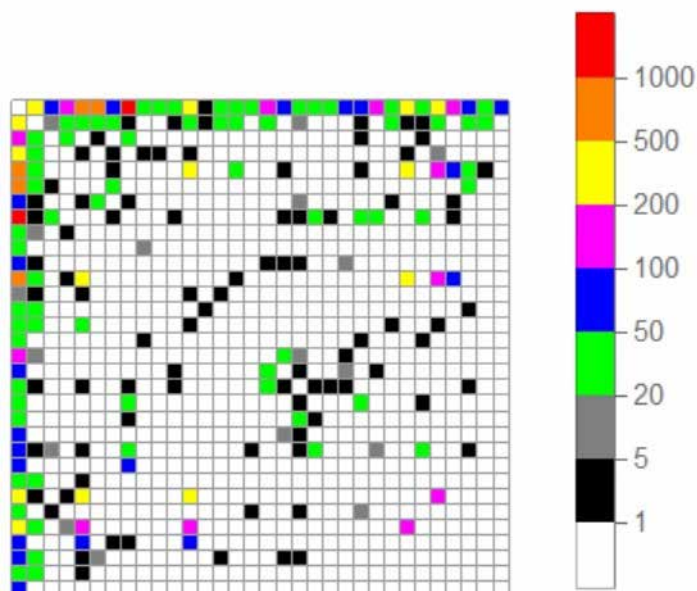


Рис. 1. Распределение пассажиропотока Свердловской области на основе данных сайта Едем.рф

объяснить низкой популярностью онлайн-сервиса Едем.рф, однако в гораздо большей степени это является следствием (и подтверждением) того, что транспортная система Свердловской области ориентирована на связь всех населенных пунктов с одним центром – Екатеринбург (см. [16]).

Как видно из таблицы 2 и рис. 1, наблюдаемые данные характеризуются высоким уровнем неоднородности. Кроме того, собранные данные демонстрируют аномально высокий спрос на поездки через онлайн-сервис Едем.рф у жителей Асбеста по сравнению с другими населенными пунктами с такой же численностью. Это, конечно же, говорит, что популярность сервиса Едем.рф может существенно отличаться для разных населенных пунктов, и делать какие-либо выводы об автомобильных корреспонденциях на основе только лишь данных этого сервиса надо с осторожностью.

## Результаты

Метод Пуассона был реализован в среде Wolfram Mathematica. В результате проведенных расчетов получены модельные матрицы корреспонденций ( $T_{ij}^{\text{мод}}$ ) и функции тяготения  $f(C_{ij})$  для различного количества интервалов разбиения оси стоимости поездок  $k = 10$ ,  $k = 30$  и  $k = 150$ . При этом в качестве обобщенной стоимости  $C_{ij}$  использовалось расстояние между городами (использовать стоимости поездок, имеющиеся в таблице 1, здесь не получается, поскольку эти значения есть только для ненулевых корреспонденций). Кроме того, поскольку в исходных данных

была обнаружена аномальная активность жителей Асбеста, то метод Пуассона был отдельно применен для расчета матрицы корреспонденций с Асбестом и без него.

Для оценки качества и адекватности построенных модельных значений корреспонденций были рассмотрены следующие показатели:

– средняя абсолютная погрешность:

$$\bar{\Delta} = \frac{1}{I \cdot J} \sum_{i=1}^I \sum_{j=1}^J |T_{ij}^{\text{набл}} - T_{ij}^{\text{мод}}|; \quad (12)$$

– средняя относительная погрешность для ненулевых наблюдаемых значений корреспонденций:

$$\bar{\delta} = \frac{100}{|T_{ij}^{\text{набл}} \neq 0|} \sum_{T_{ij}^{\text{набл}} \neq 0} \frac{|T_{ij}^{\text{набл}} - T_{ij}^{\text{мод}}|}{T_{ij}^{\text{набл}}}, \quad (13)$$

здесь  $|T_{ij}^{\text{набл}} \neq 0|$  – количество ненулевых элементов наблюдаемой матрицы корреспонденций;

– среднее значение квадрата отклонения:

$$\overline{S^2} = \frac{1}{I \cdot J} \sum_{i=1}^I \sum_{j=1}^J (T_{ij}^{\text{набл}} - T_{ij}^{\text{мод}})^2. \quad (14)$$

Результаты вычислений представлены в таблице 3.

Представленные в таблице 3 средние значения можно дополнить более информативными гистограммами распределения частот рассматриваемых характеристик близости двух матриц (рис. 2).

Как видно из таблицы 3, с ростом количества интервалов разбиения оси стоимости поездок полученные модельные значения корреспонденций становятся

Таблица 3

Показатели качества модельной матрицы корреспонденций

	С Асбестом			Без Асбеста		
	$k = 10$	$k = 30$	$k = 150$	$k = 10$	$k = 30$	$k = 150$
$\bar{\Delta}$	4,861	4,252	3,191	4,143	3,855	2,362
$\bar{\delta}$	110,937	109,085	78,757	86,029	104,594	79,936
$\overline{S^2}$	274,907	143,671	78,826	153,338	118,417	26,299

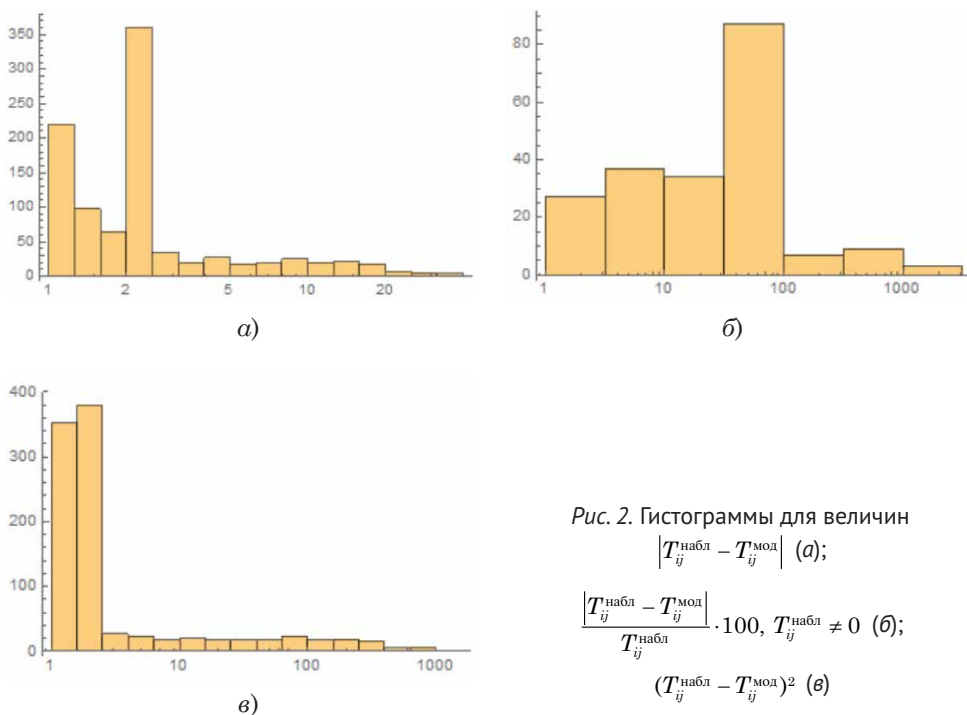


Рис. 2. Гистограммы для величин

$$|T_{ij}^{\text{набл}} - T_{ij}^{\text{мод}}| \quad (а);$$

$$\frac{|T_{ij}^{\text{набл}} - T_{ij}^{\text{мод}}|}{T_{ij}^{\text{набл}}} \cdot 100, T_{ij}^{\text{набл}} \neq 0 \quad (б);$$

$$(T_{ij}^{\text{набл}} - T_{ij}^{\text{мод}})^2 \quad (в)$$

ближе к наблюдаемым как для выборки, содержащей Асбест, так и для выборки без него. Также отметим, что характеристики качества и близости модельных значений к наблюдаемым имеют лучшие показатели для массива без Асбеста. Функции тяготения для выборки с Асбестом в случае  $k = 10$  и  $k = 30$  представлены на рис. 3.

Итак, наибольшее количество поездок в случае  $k = 10$  совершается на расстоянии до 75 км, а при  $k = 30$  – на расстоянии от 25 км до 100 км, при этом на дальность более 500 км поездки отсутствуют в обоих случаях.

Из представленных характеристик наилучшей можно считать модель, построенную на основе выборки без Асбеста, с количеством интервалов разбиения функции тяготения  $k = 150$ . На рис. 4 представлена визуализация модельной матрицы корреспонденций.

В таблице 3 обращают на себя внимание малые значения средней абсолютной погрешности при достаточно больших средних значениях относительной погрешности. Такие результаты

обусловлены тем, что для многих корреспонденций, у которых наблюдаемое значение составляет одну-три поездки, модельное значение равно пяти-семи поездкам. Это дает относительную погрешность в 200, 300 и более процентов. Однако для большинства больших значений в наблюдаемой матрице корреспонденций относительная погрешность не превышает 20 %.

Достаточно высокое качество модели следует из визуального сравнения рис. 1 и 4: модельные значения корреспонденций достаточно близки к соответствующим наблюдаемым значениям, если они больше пяти. А для нулевых наблюдаемых корреспонденций модельные значения в основном принимают значения от одной до пяти поездок (черные ячейки на рис. 4).

Также можно сделать вывод об адекватности построенной модели на основании сглаженной гистограммы распределения пассажиропотоков для наблюдаемых и модельных значений корреспонденций в зависимости от обобщенной стоимости поездки (рис. 5).

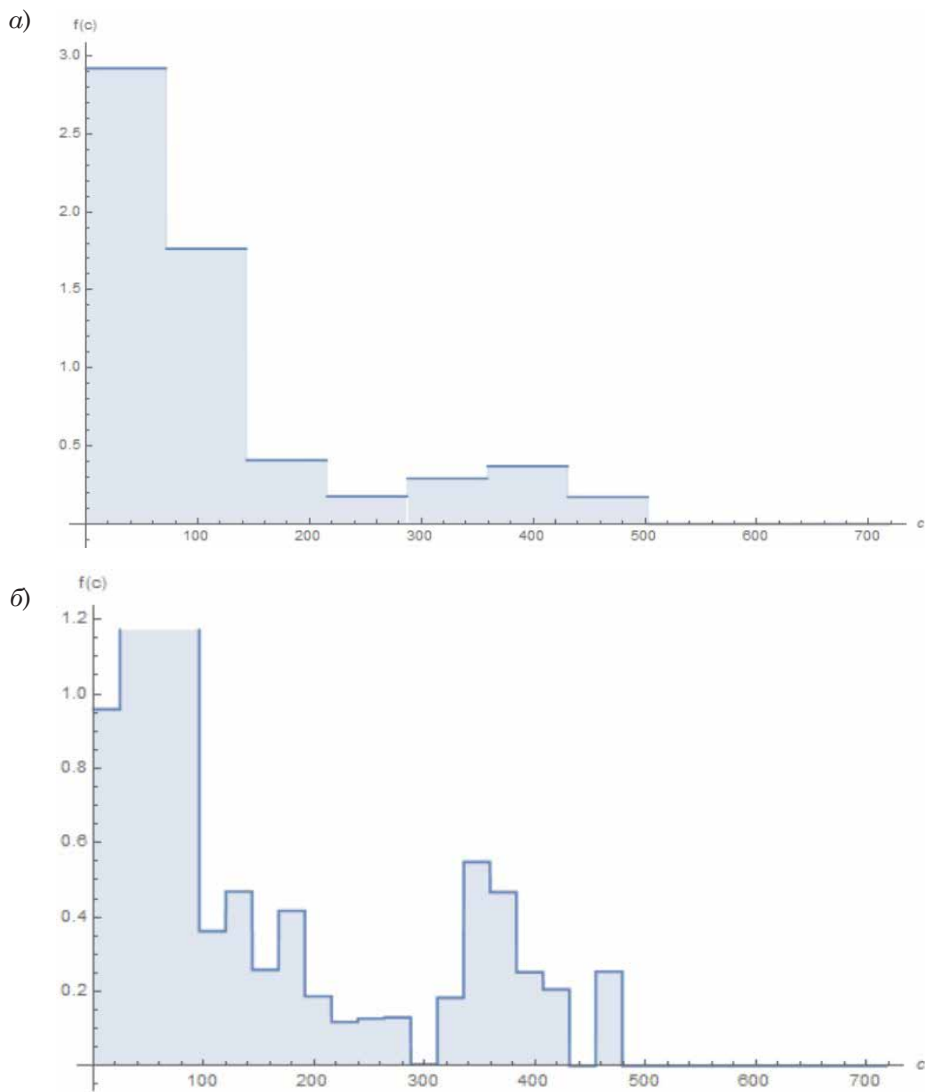


Рис. 3. График функции тяготения  
а)  $k = 10$ ; б)  $k = 30$

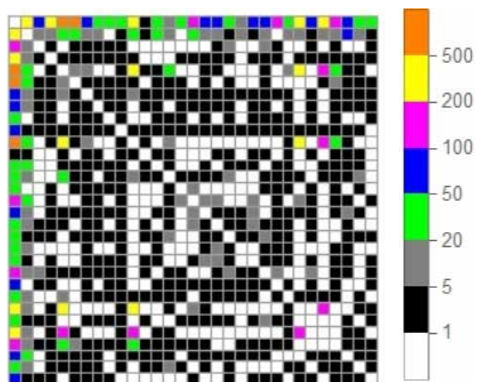


Рис. 4. Модельная матрица  
корреспонденций при  $k = 150$   
для выборки без Асбеста

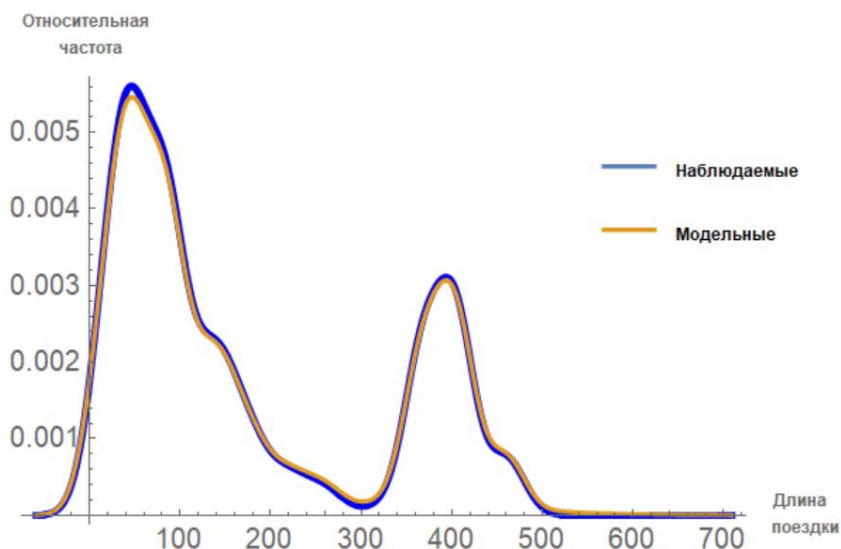


Рис. 5. Наблюдаемое и модельное распределение длины поездки в Свердловской области (сглаженная гистограмма)

## Выводы

Полученные результаты однозначно свидетельствуют, что пространственное распределение транспортных потоков, полученное на основе данных онлайн-сервисов поиска автомобильных попутчиков, достаточно хорошо описывается гравитационной моделью с кусочно-постоянной функцией тяготения. Для оценивания параметров такой модели может быть использован метод Пуассона.

Полученная модель может быть использована для анализа транспортной

системы. Например, на ее основе можно рассчитать относительную интенсивность движения легкового автомобильного автотранспорта на всех участках транспортной сети (такие расчеты могут быть использованы для выбора мест установки оборудования для точного замера интенсивности).

Также на основе анализа наблюдаемой матрицы корреспонденций установлено, что транспортные потоки между Екатеринбургом и всеми остальными городами Свердловской области значительно превосходят транспортные потоки между этими городами. ■

## Литература

1. Erlander S., Stewart N. F. The Gravity Model in Transportation Analysis: Theory and Extensions. Utrecht: VSP, 1990. 226 p.
2. Timofeeva G., Ie O. Evaluation of Origin-Destination Matrices Based on Analysis of Data on Transport Passenger Flows // Proceedings of the 46th International Conference AMEE 2020. AIP Conference Proceedings 2333, 100002 (2021).
3. Селиверстов Я. А., Селиверстов С. А. Методы и модели построения матриц транспортных корреспонденций // Информатика, телекоммуникации и управление, 2015. № 2–3 (217–222). С. 49–70.
4. Доля К. В. Формализация гравитационной модели для расчета параметров междугородних пассажирских корреспонденций // Наука и техника, 2017. Т. 16. № 5. С. 437–443.
5. Нурминский Е. А., Пугачев И. Н., Шамрай Н. Б., Седюкевич В. Н. Определение пассажиропотоков в региональной транспортной системе на основе модифицированных гравитационных моделей // Наука и техника, 2015. № 5. С. 39–45. URL: <https://cyberleninka>.

- ru/article/n/opredelenie-passazhiropotokov-v-regionalnoy-transportnoy-sisteme-na-osnove-modifitsirovannykh-gravitatsionnykh-modeley (дата обращения: 27.06.2021).
6. Лебедева О. А., Антонов Д. В. Моделирование грузовых матриц корреспонденций гравитационным и энтропийным методами // Вестник ИрГТУ, 2015. № 5 (100). С. 118–122. ISSN 1814-3520.
7. Arrowsmith G. A. A behavioural approach to obtaining a doubly constrained trip distribution model // *Operational Research Quarterly*, 1973. V. 24. № 1. P. 101–111.
8. Ortúzar J. de D., Willumsen L. G. *Modelling Transport*. Fourth Edition. John Wiley & Sons Ltd, 2011. 586 p. ISBN 9780470760390.
9. Furness K. P. Time function iteration. *Traffic Engineering and Control* 7, 1965. P. 458–460.
10. Поляков А. А. Организация движения на улицах и дорогах. М. : Транспорт, 1965. 254 с.
11. Hyman G. M. The calibration of trip distribution models. *Environment and Planning* 1, 1969. P. 105–112. ISBN 0901350710.
12. Пособие П2-99 к СНБ 3.03.02-97 Обследования транспортных потоков и прогнозирование нагрузки сети городских улиц и дорог. Минархстрой РБ. Минск, 1999. 56 с.
13. Evans Andrew W. The calibration of trip distribution models with exponential or similar cost functions // *Transportation Research*. Vol. 5. Issue 1, April 1971. P. 15–38. ISSN 0041-1647.
14. Bovy P. H. L., Bliemer M. C. J., R. van Nes. *Transportation Modeling*. Course CT4801. Delft university of technology, 2006. 182 p.
15. Howard R. Kirby. Theoretical requirements for calibrating gravity models. *Transportation Research*. Vol. 8. Issue 2, 1974. P. 97–104. ISSN 0041-1647.
16. Мартыненко А. В., Петров М. Б. Влияние начертания транспортной сети на показатели доступности (на примере Свердловской области) // *Региональные исследования*, 2016. № 2 (52). С. 21–30. ISSN 1994-5280.

#### Literature

1. Erlander S., Stewart N. F. *The Gravity Model in Transportation Analysis: Theory and Extensions*. Utrecht: VSP, 1990. 226 p.
2. Timofeeva G., Ie O. Evaluation of Origin-Destination Matrices Based on Analysis of Data on Transport Passenger Flows // *Proceedings of the 46th International Conference AMEE 2020*. AIP Conference Proceedings 2333, 100002 (2021).
3. Seliverstov, Y. A., Seliverstov S. A. Models and Methods of constructing a matrix of transport correspondence // *Information technology, telecommunications and control [Metody i modeli postroeniya matrits transportnykh korrespondentsij // Informatika, telekommunikatsii i upravlenie]*, 2015. № 2–3 (217–222). Pp. 49–70.
4. Share K. V. Formalization of the gravity model to calculate the parameters of long-distance passenger correspondence // *Science and technology [Formalizatsiya gravitatsionnoy modeli dlya rascheta parametrov mezhdugorodnikh passazhirskikh korrespondentsij // Nauka i tekhnika]*, 2017. T. 16. № 5. P. 437–443.
5. Nurminski E. A., Pugachev, I. N., Shamray N. B., Sadykovich V. N. The definition of passenger flows in the regional transport system based on modified gravity models // *Science and technology [Opredelenie passazhiropotokov v regional'noy transportnoy sisteme na osnove modifitsirovannykh gravitatsionnykh modelej // Nauka i tekhnika]*, 2015. № 5. Pp. 39–45. URL: <https://cyberleninka.ru/article/n/opredelenie-passazhiropotokov-v-regionalnoy-transportnoy-sisteme-na-osnove-modifitsirovannykh-gravitatsionnykh-modeley> (accessed: 27.06.2021).
6. Lebedev O. A., Antonov D. V. Simulation of truck matrices correspondence gravity and entropy methods // *Herald of IrSTU [Modelirovanie gruzovykh matrits korrespondentsij gravitatsionnym i ehntropijnym metodami // Vestnik IrGTU]*, 2015. № 5 (100). P. 118–122. ISSN 1814-3520.
7. Arrowsmith G. A. A behavioral approach to obtaining a double constrained trip distribution model // *Operational Research Quarterly*, 1973. V. 24. № 1. P. 101–111.
8. Ortúzar, J. de D., Willumsen L. G. *Modelling Transport*. Fourth Edition. John Wiley & Sons Ltd, 2011. 586 p. ISBN 9780470760390.
9. Furness K. P. Time function iteration. *Traffic Engineering and Control* 7, 1965. P. 458–460.
10. Polyakov A. A. *Organization of traffic on streets and roads*. Moscow: Transport [Organizatsiya dvizheniya na ulitsakh i dorogakh. M. : Transport], 1965. 254 p.



11. Hyman G. M. The calibration of trip distribution models. Environment and Planning 1, 1969. P. 105–112. ISBN 0901350710.
12. Manual P2-99 to the National Security Council 3.03.02-97. Surveys of traffic flows and forecasting the load of the network of city streets and roads. Minarkhstroy RB. [Posobie P2-99 k SNB 3.03.02-97 Obsledovaniya transportnykh potokov i prognozirovaniye nagruzki seti gorodskikh ulits i dorog. Minarkhstroy RB.] Minsk, 1999. 56 p.
13. Evans Andrew W. The calibration of trip distribution models with exponential or similar cost functions // Transportation Research. Vol. 5. Issue 1, April 1971. P. 15–38. ISSN 0041-1647.
14. Bovy P. H. L., Bliemer M. C. J., R. van Nes. Transportation Modeling. Course CT4801. Delft university of technology, 2006. 182 p.
15. Howard R. Kirby. Theoretical requirements for calibrating gravity models. Transportation Research. Vol. 8. Issue 2, 1974. Pp. 97–104. ISSN 0041-1647.
16. Martynenko A. V., Petrov M. B. The influence of the outline of the transport network on accessibility indicators (on the example of the Sverdlovsk region) // Regional Studies [Vliyanie nachertaniya transportnoj seti na pokazateli dostupnosti (na primere Sverdlovskoj oblasti) // Regional'nye issledovaniya], 2016. № 2 (52). Pp. 21–30. ISSN 1994-5280.

*Статья сдана в редакцию 28 июня 2021 года*

*М. В. Фуфачева***Законы распределения некоторых параметров при организации движения поездов**

UDC 656. 21; 656.022.5

*M. V. Fufacheva***The laws of distribution of some parameters when organizing the movement of trains****Аннотация**

В статье рассматриваются ключевые факторы по организации движения поездов. Проведен анализ статистических параметров интервалов отправления грузовых поездов с железнодорожных станций и длины грузового поездопотока.

На основании данных графиков движения поездов построены графические зависимости интервалов отправления поездов с отдельных пунктов от объема поездопотока и распределения длин составов в четном и нечетном направлениях.

Выведены полиномиальные зависимости с коэффициентами вариации. Построена кривая функции распределения Эрланга второго порядка для интервалов отправления. Определено, что средняя интенсивность отправления в один час равна трем поездам, а средний интервал отправления лежит в пределах между 25-ю и 35-ю минутами с вероятностью 0,793. Установлено наличие корреляционной связи между коэффициентом вариации (средним квадратичным отклонением) интервала отправления и его среднесуточным отклонением. Определена степенная функция аналитического соотношения коэффициента вариации от среднего интервала отправления грузовых поездов с технических станций Красноярской железной дороги в течение суток с применением метода наименьших квадратов.

Исследованы степени соответствия теоретических и статистических распределений количества вагонов в поездах с применением критерия Колмогорова с расчетом значения вероятности и подтверждения того, что распределение количества вагонов в поездах подчиняется биномиальному закону.

С использованием критерия согласия Пирсона доказано, что частота отправления поездов грузового движения с железнодорожных станций подчиняется показательному закону распределения.

**Ключевые слова:** себестоимости перевозок, весовая норма, длина грузовых поездов, длинносоставные поезда, закон распределения, кривая функции, статистические параметры.

DOI: 10.20291/2079-0392-2021-3-27-39

**Abstract**

The article discusses the key factors for the organization of train traffic. The analysis of statistical parameters of the intervals of departure of freight trains from railway stations and the length of the freight train flow is carried out.

Based on these train schedules, graphical dependences of the intervals of departure of trains from separate points on the volume of train traffic and the distribution of train lengths in even and odd directions are constructed.

Polynomial dependencies with coefficients of variation are derived. The curve of the second-order Erlang distribution function for the departure intervals is constructed. It is determined that the average departure intensity in one hour is equal to three trains, and the average departure interval lies between the 25th and 35th minutes with a probability of 0.793. There is a correlation between the coefficient of variation (mean square deviation) of the departure interval and its average daily deviation. The power function of the analytical ratio of the coefficient of variation from the average interval of departure of freight trains from the technical stations of the Krasnoyarsk railway during the day is determined using the least squares method.

The degrees of correspondence of theoretical and statistical distributions of the number of cars in trains are studied using the Kolmogorov criterion with the calculation of the probability value and confirmation that the distribution of the number of cars in trains obeys the binomial law.

Using the Pearson agreement criterion, it is proved that the frequency of departure of freight trains from railway stations obeys the exponential distribution law.

**Keywords:** transportation costs, weight norm, length of freight trains, long-composite trains, distribution law, function curve, statistical parameters.

DOI: 10.20291/2079-0392-2021-3-27-39

*Статья рекомендована к опубликованию Н. С. Нестеровой, д-ром техн. наук, профессором Дальневосточного государственного университета путей сообщения. E-mail: mer-maid2@yandex.ru.*

**Марина Валерьевна Фуфачева**, канд. техн. наук, доцент; кафедра «Эксплуатация железных дорог», Красноярского института железнодорожного транспорта – филиала Иркутского государственного университета путей сообщения; г. Красноярск, Россия. E-mail: fufacheva\_mv@krsk.irgups.ru. ORCID 0000-0003-1041-0313.

*The article is recommended for publishing by N. S. Nesterova, Doctor of Technical Sciences, Professor of the Far Eastern State University of Railway Transport. E-mail: mer-maid2@yandex.ru.*

**Marina Valeryevna Fufacheva**, Candidate of Technical Sciences, Associate Professor; Department of «Railway Operation», Krasnoyarsk Institute of Railway Transport – a branch of the Irkutsk State University of Railway Transport; Krasnoyarsk, Russia. E-mail: fufacheva\_mv@krsk.irgups.ru. ORCID 0000-0003-1041-0313.

Для роста эффективности работы магистральных железных дорог необходимо снизить общие транспортные издержки, в том числе за счет повышения пропускной и провозной способности станций и участков [1]. Для этого необходимы строительство или реконструкция объектов инфраструктуры транспорта, их своевременный ввод в работу и оптимальный срок окупаемости.

Из нескольких основных факторов снижения эксплуатационных расходов можно выделить повышение производительности и максимальное использование тягового и нетягового подвижного состава за счет увеличения массы и длины грузовых поездов по сравнению с нормативными показателями. Такое увеличение позволяет изменить в сторону уменьшения один из важнейших показателей работы железных дорог: оборот вагона. Снижение времени оборота приводит к уменьшению рабочего парка грузовых вагонов и поездных локомотивов.

Ежегодно количество длинносоставных поездов, обращающихся по железнодорожным магистралям, неуклонно растет. Особенно много поездов, длина которых превышает нормативную, формируются из порожних вагонов.

Только около 10 % всей длины магистральных железных дорог имеют наличную пропускную способность, приближающуюся к потребной. На Транссибирской магистрали 70 % протяженности имеет такой же уровень запаса пропускной способности. И здесь очень важно решение проблемы верного нахождения предельно возможной пропускной способности для линий с максимальной грузонапряженностью [2, 3].

Увеличение весовой нормы грузовых поездов на Красноярской магистрали не дало ожидаемого результата. Весовая норма повысилась на некоторых участках до 6000 т, а средний вес грузового поезда вырос всего на 160 т. Анализ и расчеты по увеличению средней весовой нагрузки за счет увеличения весовой нормы, доказавшие, что ресурсы увеличения

веса грузового состава исчерпаны, приведены в [4]. Необходимо решать задачу по увеличению количества длинносоставных грузовых поездов, в частности, из порожних вагонов, и организацию их пропуска по станциям и участкам.

Увеличение длины грузовых поездов и их количества существенно влияет на технологию работы технических станций и на их техническое оснащение. Особо хочется отметить наличие или отсутствие на станциях приемоправочных путей, соответствующих длине поездов более 72 усл. ед., т. е. длиной 1050 м и более. На работу раздельных пунктов большое влияние оказывает неравномерность движения [5, 6].

Особое внимание в решении задачи пропуска по участку и обгона грузовых поездов повышенной длины уделяется после проведения «окон». К трудностям в организации и управлении движением поездов повышенной длины относятся ограничения вместимости приемоправочных путей, особенно на раздельных пунктах участка.

С развитием технологии пропуска грузовых поездов повышенной длины и веса и внедрением новейшей техники необходимо поменять подходы к проектированию схем реконструкции станций, условия выбора оптимального путевого развития и его вместимости для станций разного назначения; очень важен и выбор этапности реконструкционных мероприятий.

### **Определение законов распределения основных параметров поездопотока**

На прибытие, отправление и пропуск длинносоставных поездов влияет интервал отправления с технических станций всех грузовых поездов в одном направлении. Период отправления грузовых поездов с раздельного пункта зависит от мощности пассажирского поездопотока, количества и длительности «окон», методов организации движения поездов повышенной длины по перегонам, наличия путей необходимой вместимости для стоянки грузовых поездов под

обгоном более скорыми поездами. Технология пропуска длинносоставных поездов устанавливается с учетом порядка и требований [7].

По исполненным графикам движения поездов (ГДП) проанализированы 1753 интервала отправления грузовых поездов и количество вагонов в их составе (таблицы 1, 2).

На основании обработки данных методом наименьших квадратов определены полиномиальные зависимости между интервалами отправления грузовых поездов и их количеством (рис. 1) с коэффициентом корреляции для четного

направления  $r = -0,783$ , для нечетного направления  $-r = -0,714$ .

На диаграмме (рис. 1) видно, что с увеличением интервала отправления количество поездов, отправляемых со станции, резко уменьшается как в четном, так и в нечетном направлении.

Интервалы отправления грузовых поездов со станций Красноярской железной дороги хорошо описываются законом распределения Эрланга второго порядка (рис. 2).

Анализ данных графика движения показал, что средняя интенсивность отправления в один час равна трем

Таблица 1

Интервалы отправления грузовых поездов со станции по направлениям

Интервал времени (четное направление)		Среднее значение, $t$ , мин	Частота, $N$	Интервал времени (нечетное направление)		Среднее значение, $t$ , мин	Частота, $N$
0	30	15	181	0	30	15	0
30	60	45	92	30	60	45	30
60	90	75	47	60	90	75	60
90	120	105	25	90	120	105	90
120	150	135	18	120	150	135	120
150	180	165	4	150	180	165	150
180	210	195	5	180	210	195	180
210	240	225	3	210	240	225	210
240	270	255	0	240	270	255	240
270	300	285	0	270	301	285,5	270
300	330	315	3				372
			378				

Таблица 2

Длины грузовых поездов по направлениям

Интервал длин (четное направление)		Среднее значение, $L$ , ваг.	Частота, $N$	Интервал длин (нечетное направление)		Среднее значение, $L$ , ваг.	Частота, $N$
35	45	40	2	40	45	43	2
45	50	48	15	45	50	48	2
50	55	53	11	50	55	53	4
55	60	58	11	55	60	58	10
60	65	63	20	60	65	63	23
65	70	68	81	65	70	68	75
70	75	73	235	70	75	73	224
75	80	78	3	75	80	78	11
			378	80	85	83	18
							369

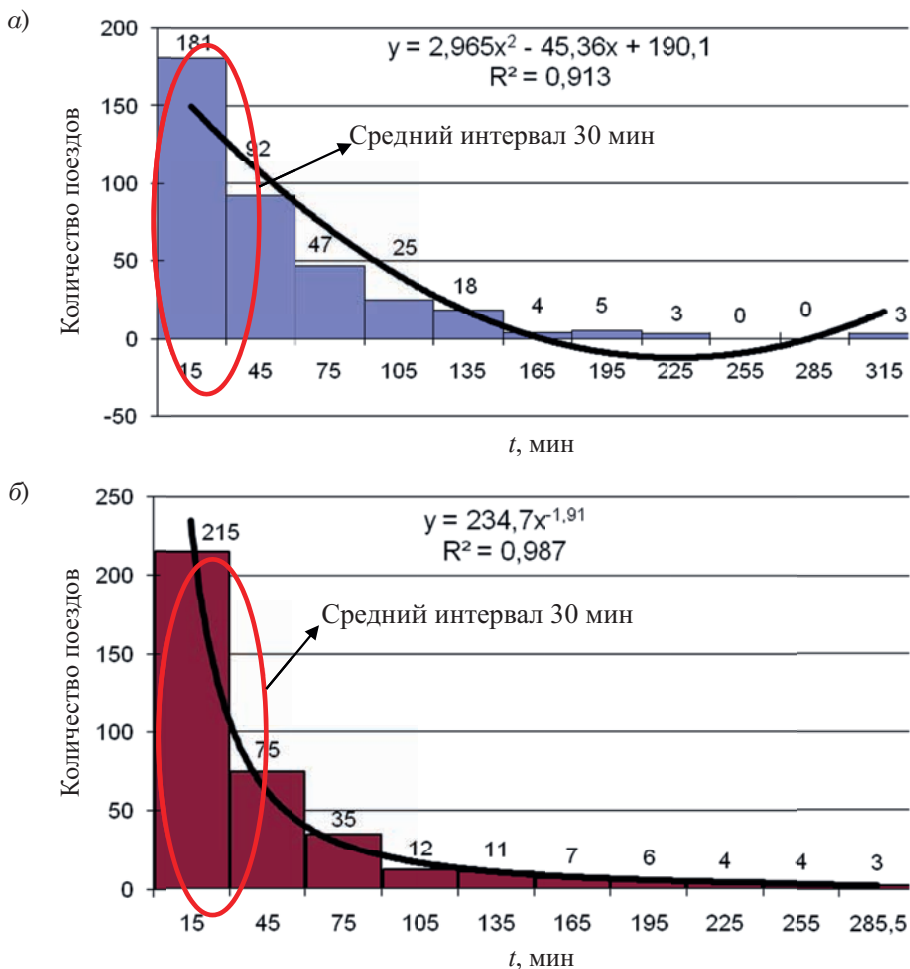


Рис. 1. Зависимости интервалов отправления поездов от их количества  
а – четное направление; б – нечетное направление

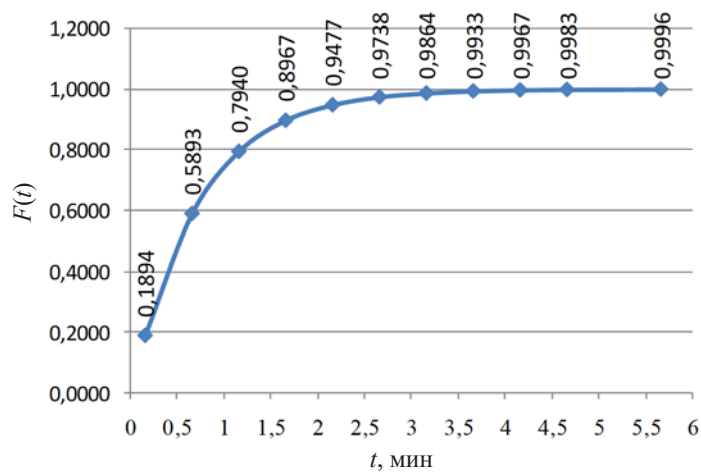


Рис. 2. Кривая функции распределения Эрланга второго порядка

поездам, средний интервал отправления – 30 мин. На графике (рис. 1) показано, что наибольшее число поездов (в четном направлении 273 поезда и 290 поездов в нечетном) отправляется максимум через 45 мин. Если интервал отправления описывается законом распределения Эрланга второго порядка, то можно определить вероятность того, что средний интервал находится именно в этом пределе. Искомая вероятность – это разность между значениями функции распределения при  $t = 25$  мин и  $t = 35$  мин, т. е.

$$P(25 \leq t \leq 35) = F(t = 35) - F(t = 25). \quad (1)$$

Определив значения  $F(t = 25)$  и  $F(t = 35)$  согласно функции распределения Эрланга второго порядка, находим  $F(t)$  по формуле (2) при  $k = 2$ :

$$F(t) = 1 - (1 + 2\lambda t)e^{-2\lambda t}, \quad (2)$$

где  $\lambda$  – интенсивность потока событий в единицу времени ( $\lambda = 3$ ).

Значение  $e^{-x}$  было принято в соответствии с [8].

Тогда:

$$F(t = 25) = F(t = 0,42) = 0,072;$$

$$F(t = 35) = F(t = 0,58) = 0,865.$$

Сумма вероятностей всех возможных значений случайной величины ( $X$ ) равна единице.

$$\sum_{i=1}^n P(X) = 1. \quad (3)$$

Эта суммарная вероятность распределена между отдельными значениями случайной величины. Она полностью описывается с вероятной точкой зрения, если указано, какую вероятность имеет каждое событие. Чем значение вероятности ближе к единице, тем более вероятно наступление того или иного события.

В нашем случае искомая вероятность:

$$P(25 \leq t \leq 35) = 0,865 - 0,072 = 0,793.$$

Таким образом, велика вероятность того, что интервал отправления между грузовыми поездами лежит в пределе 25–35 мин.

Также установлено наличие корреляционной связи между коэффициентом вариации (средним квадратичным отклонением) интервала отправления и его среднесуточным отклонением по формуле (4):

$$\eta_{y/x} = \frac{\sigma(\bar{y}_x)}{\sigma_y}, \quad (4)$$

где  $\sigma_y$  – среднеквадратическое отклонение величины  $y$  от общей средней  $\bar{y}$ ;  $\sigma(\bar{y}_x)$  – среднеквадратическое отклонение условных средних  $\bar{y}_x$  от их средней  $\bar{y}$ .

Корреляционное отклонение по расчетам составило 0,864, что говорит о наличии зависимости между отмеченными параметрами.

Определена степенная функция аналитического соотношения коэффициента вариации от среднего интервала отправления грузовых поездов с технических станций Красноярской железной дороги в течение суток с применением метода наименьших квадратов:

$$y = \beta \cdot x^a. \quad (5)$$

$$\nu = 1,01t_c^{-0,25}. \quad (6)$$

Кривая зависимости  $\nu = f(t_c)$  представлена на рис. 3. Анализ показывает, что с увеличением интервала отправления происходит снижение его неравномерности.

Определенная функция закона распределения, определение вероятности

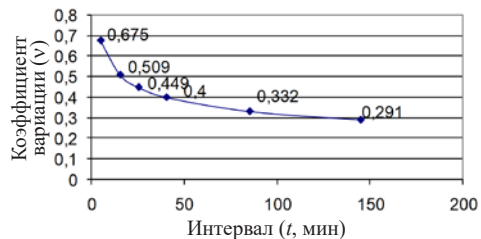


Рис. 3. Зависимость коэффициента вариации от среднесуточного интервала отправления



того, что интервал находится в том или ином пределе, и формула (6) позволяет оценить неравномерность отправления грузовых поездов с технических станций, что дает возможность оптимизировать технико-технологические параметры работы различных подсистем, связанных с организацией движения поездов.

Длина грузовых поездов, курсирующих по линии, в основном зависит от вместимости путей приема и/или отправления на станциях и является одним из основных параметров для выбора длины путей при реконструкции станций. По данным ГДП (см. таблицу 2) выведенная полиномиальная

зависимость для четного и нечетного направлений имеет вид

$$y = -3,041x^4 + 50,684x^3 - 276,6x^2 + 572,9x - 351,7$$

с коэффициентом вариации  $r = 0,479$ ;

$$y = -0,385x^4 + 4,939x^3 - 13,31x^2 - 2,142x + 18,27$$

с коэффициентом вариации  $r = 0,376$ .

Результаты обработки статистического материала представлены на рис. 4.

При создании программного продукта в виде имитационной модели работы станции или участка, а также при разработке системы автоматизации

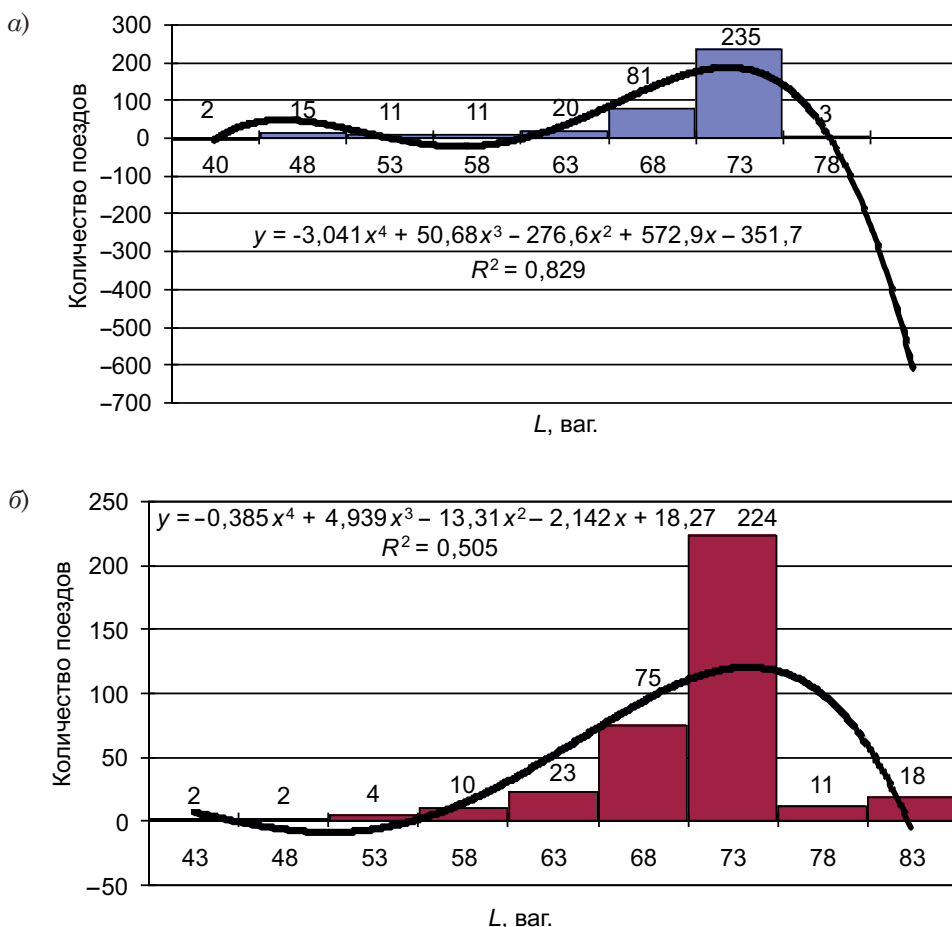


Рис. 4. Распределение длин составов  
а – четное направление; б – нечетное

проектирования схемных решений и этапности реконструкции отдельных пунктов необходимо знать параметры распределения длин грузового поездопотока и интервалов отправления поездов с отдельных пунктов.

Известно, что законы распределения отдельных величин, обуславливающих расхождения, имеют простые свойства и при значительном количестве результатов наблюдений от функции  $F(x)$  не зависят. В математической статистике такими мерами расхождения пользуются в качестве критериев согласия.

Согласно [8], были выбраны и определены ключевые статистические величины распределения числа вагонов в поездах грузового движения:  $m$  – среднее количество вагонов в составе;  $v_m$  – коэффициент вариации;  $\sigma_m$  – среднее квадратическое отклонение от математического ожидания (таблица 3).

Таблица 3

Распределение числа вагонов в поезде с основными параметрами			
Направление	$m$ , ваг.	$v_m$	$\sigma_m$
Нечетное	71	0,0804	5,63
Четное	71	0,0981	6,75

Анализ рис. 4 показывает, что вероятность появления длинносоставного поезда велика; ранжирование грузовых составов по числу вагонов в поезде подчиняется биномиальному закону.

Для исследования степени соответствия теоретических и статистических распределений можно применить критерий Колмогорова. Сравнивая известные значения накопленных статистических частот  $F^*(m)$  с расчетными величинами функции теоретического распределения  $F(m)$ , находим наибольшее значение дисперсии  $D$ . Значения накопленных статистических частот определяются по формуле

$$F^*(m) = \frac{n_{i+1}}{n}; \quad (7)$$

$$F(m) = \Phi^* \left( \frac{m - M[n]}{\sigma_m} \right), \quad (8)$$

где  $\Phi^*$  – функция распределения;  $m$  – среднее значение разряда группирования;  $\sigma_m$  – среднее квадратическое отклонение числа вагонов в поезде;  $M[n]$  – математическое ожидание.

Значения расчетных величин  $F(m)$  и накопительных статистических частот  $F^*(m)$  сведены в таблицы 4, 5.

При большом массиве данных для нахождения числовых характеристик и закона распределения количества вагонов в поездах интервалов отправления их рекомендуется сгруппировать в разряды от минимального до максимального значений. Величина отдельных разрядов может приниматься различной, для этого разряды с меньшим числом между собой объединяются. Среднее значение разряда (таблицы 4, 5, графа 2) представляет собой полусумму граничных значений интервалов в разряде. Статистическая вероятность или частота (графа 4) определяется делением построчных данных графы 3 на общее число интервалов  $n$ . Сумма всех частот должна быть равна единице.

При умножении наибольшего значения  $D$  на  $\sqrt{n}$  ( $n$  – количество данных) получаем  $\lambda = D\sqrt{n}$  – плотность потока.

Дисперсия определяется по формуле:

$$D(m) = P_i \cdot m_i^2 - M(m)^2, \quad (9)$$

где  $P_i \cdot m_i^2$  – среднее квадратическое значение;  $D(m) = 4772,88 - 4727,94 = 44,94$ ;  $\sigma(m) = \sqrt{D(m)} = 6,71$  – среднее квадратическое отклонение случайной величины.

Максимальное отклонение функции опытного распределения от функции теоретического распределения составляет  $\max D(m) = 0,02$ . Далее рассчитываем плотность потока по формуле

$$\lambda_m = \max D(m)\sqrt{n}, \quad (10)$$

Таблица 4

Значения накопительных статистических частот  $F^*(m)$   
и расчетные значения  $F(m)$  по четному направлению\*

Интервал, $m_i$ , ваг.	Среднее значение разряда, $m_{cp}$	Интервалы, $n$ , кол-во	Вероятность, $P_i$	Среднее арифметическое значение $P_i \cdot m_{cp}$	Среднее квадратическое значение $P_i \cdot m_{cp}^2$	$F^*(m) = \frac{n_{i+1}}{n}$	$\frac{m_{cp} - M(n)}{\sigma}$	$F(m)$	$D =  F^*m - F(m) $	
1	2	3	4	5	6	7	8	9	10	
35	45	40	2	0,005	0,21164	8,46561	0,005	-4,286	0,003	0,002
45	50	48	15	0,040	1,884921	89,5337	0,045	-3,168	0,0412	0,0038
50	55	53	11	0,029	1,527778	80,2083	0,074	-2,423	0,068	0,006
55	60	58	11	0,029	1,67328	96,2136	0,103	-1,678	0,097	0,006
60	65	63	20	0,053	3,306878	206,68	0,156	-0,933	0,148	0,008
65	70	68	81	0,214	14,46429	976,339	0,37	-0,188	0,35	0,02
70	75	73	235	0,622	45,07275	3267,77	0,992	0,557	0,996	0,004
75	80	78	3	0,008	0,615079	47,6687	1	1,303	0,998	0,002
		$\sum n = 378$	1	$M(m) = 68,76$	4772,88					

\* Расчеты выполнены на ЭВМ в Microsoft Excel.

Таблица 5

Значения накопительных статистических частот  $F^*(m)$   
и расчетные значения  $F(m)$  по нечетному направлению\*

Интервал, $m_i$ , ваг.		Среднее значение разряда, $m_{cp}$	Кол-во интервалов, $n$	Вероятность, $P_i$	Среднее арифметическое значение $P_i \cdot m_{cp}$	Среднее квадратическое значение $P_i \cdot m_{cp}^2$	$F^*(m) = \frac{n_{i+1}}{n}$	$\frac{m_{cp} - M(n)}{\sigma}$	$F(m)$	$D =  F^*m - F(m) $
1	2	3	4	5	6	7	8	9	10	
40	45	43	2	0,005	0,230	9,78997	0,005	−5,014	0,003	0,002
45	50	48	2	0,005	0,257	12,229	0,011	−4,121	0,015	0,004
50	55	53	4	0,011	0,569	29,878	0,022	−3,229	0,027	0,005
55	60	58	10	0,027	1,558	89,600	0,049	−2,336	0,042	0,007
60	65	63	23	0,062	3,896	243,479	0,111	−1,443	0,102	0,009
65	70	68	75	0,203	13,720	926,067	0,314	−0,550	0,305	0,009
70	75	73	224	0,607	44,011	3190,79	0,921	0,343	0,931	0,010
75	80	78	11	0,030	2,310	179,048	0,951	1,236	0,954	0,003
80	85	83	18	0,049	4,024	332,012	1	2,129	0,998	0,002
			$\sum n = 369$	1	$M(m) = 70,58$	5012,89				

\* Расчеты выполнены на ЭВМ в Microsoft Excel.

где  $\lambda_m = 0,02\sqrt{378} = 0,389$ ;  $D(m) = 31,36$  – дисперсия;  $\sigma(m) = \sqrt{D(m)} = 5,6$  – среднее квадратическое отклонение случайной величины;  $\max D(m) = 0,01$ ;  $\lambda = 0,1921$ .

Для нечетного направления расчеты производятся аналогично.

В зависимости от плотности потоков  $\lambda$  находим соответственно значения вероятности  $P(\lambda)$ . Вероятность  $P(\lambda) = 0,9982$  для четного движения, для нечетного –  $P(\lambda) = 0,9991$ , что показывает на сходство рассматриваемого распределения к биномиальному закону.

Периоды отправления поездов грузового движения с технических раздельных пунктов распределяются по следующим главным статистическим параметрам:  $I$  – средний интервал прибытия поездов на станции;  $\sigma_I$  – среднее квадратическое отклонение;  $v_I$  – коэффициент вариации.

Результаты расчетов приведены в таблице 6.

Таблица 6

Распределение отправления поездов грузового движения со станции по основным параметрам

Направление	$I$ , мин	$\sigma_I$	$v_I$
Четное	45	49,31	0,9983
Нечетное	45	53,74	0,982

Частота отправления поездов грузового движения со станции подчиняется показательному закону распределения.

Используя критерий согласия, проверим соответствие теоретических и статистических распределений. Воспользуемся одним из наиболее часто используемых критериев согласия – критерием согласия Пирсона. При большом количестве результатов наблюдений  $n$  закон распределения значения  $U$  подпадает к так называемому распределению хи-квадрат ( $\chi^2$ ):

$$U = \chi^2 = \sum_{i=1}^k \frac{(m_i - nP_i)^2}{nP_i}, \quad (11)$$

где  $m_i = nP_i^*$  – число значений случайной величины в разряде.

Среднее значение величины интервала отправления:

$$M^*(t) = \sum_{i=1}^{11} P_i^* t_i. \quad (12)$$

Для четного направления  $M^*(t) = 0,8241$ , для нечетного –  $M^*(t) = 0,7753$ .

Среднечасовая интенсивность отправления поездов с технического раздельного пункта:

$$\lambda = \frac{1}{M^*(t)}. \quad (13)$$

Таким образом, для четных поездов  $\lambda = 1,21$ , для нечетного направления  $\lambda = 1,29$ .

В таблицы 7 и 8 внесены расчеты показателей для определения  $\chi^2$  по направлениям движения поездов.

При  $P(\chi^2) > 0,5$  считается, что эмпирическое и теоретическое распределение близки, при  $P(\chi^2) \in [0,2; 0,5]$  совпадение удовлетворительное, в остальных случаях недостаточное. Воспользуемся MS Excel для расчета вероятности  $P(\chi^2)$ . Вероятность  $P(\chi^2)$  для четного поездопотока равна 0,72, для нечетного – 0,86. Значит, предположение о показательном распределении интервалов между отправляемыми с технической станции поездами близко к правдивому.

Итак, 71 % грузовых составов отправляется с раздельных пунктов в среднем через каждые 30 мин, в нечетном направлении – около 78 %. Интервал отправления между поездами в среднем составляет 25–35 мин, что подтверждает коэффициент вариации 0,99. Частота отправления поездов грузового движения со станции подчиняется показательному закону распределения. Исследование статистических данных по распределению числа вагонов в грузовых поездах указывает, что свыше 84 % имеют состав 71 вагон (усл. ед.) в одном направлении и свыше 88 % в 72 условных вагона имеют грузовые поезда в противоположном нечетном направлении. Это подтверждается коэффициентом вариации, который составляет 0,89. 84 % грузовых поездов четного направления имеют состав в 71 условный вагон

Таблица 7

Расчет показателей интервалов отправления поездов в четном направлении\*

Среднее значение интервала $t_{\text{ср}}, \text{ч}$	Кол-во значений случайной величины в разряде, $m_i = nP_i^*$	Вероятность $P_i^*$	$P_i^* \cdot t_{\text{ср}}$	$\lambda t$	$\text{Exp}(\lambda t)$	$F(t) = 1 - \exp(-\lambda t)$	Теоретическая вероятность, $P_i$	Теоретическая частота, $nP_i$	$m_i - nP_i$	$(m_i - nP_i)^2$	$(m_i - nP_i)^2 / nP_i$
0,25	181	0,479	0,120	0,303	0,739	0,261	0,261	98,669	82,331	6778,338	68,698
0,75	92	0,243	0,183	0,908	0,404	0,596	0,335	126,795	-34,795	1210,697	9,548
1,25	47	0,124	0,155	1,513	0,220	0,780	0,183	69,240	-22,240	494,597	7,143
1,75	25	0,066	0,116	2,118	0,120	0,880	0,100	37,810	-12,810	164,095	4,340
2,25	18	0,048	0,107	2,723	0,066	0,934	0,055	20,647	-2,647	7,007	0,339
2,75	4	0,011	0,029	3,328	0,036	0,964	0,030	11,275	-7,275	52,923	4,694
3,25	5	0,013	0,043	3,933	0,020	0,980	0,016	6,157	-1,157	1,338	0,217
3,75	3	0,008	0,030	4,538	0,011	0,989	0,009	3,362	-0,362	0,131	0,039
4,25	0	0	0	5,143	0,006	0,994	0,005	1,836	-1,836	3,371	1,836
4,75	0	0	0	5,748	0,003	0,997	0,003	1,003	-1,003	1,005	1,003
5,25	3	0,008	0,042	6,353	0,002	0,998	0,001	0,547	2,453	6,015	10,986
	$n = 378$	1	0,824								$\chi^2 = 108,844$

\* Расчеты выполнены на ЭВМ в Microsoft Excel.

Таблица 8  
Расчет показателей интервалов отправления поездов в нечетном направлении\*

Среднее значение интервала $t_{\text{ср}}$ , ч	Кол-во значений случайной величины в разряде, $m_i = nP_i^*$	Вероятность $P_i^*$	$P_i^* - t_{\text{ср}}$	$\lambda t$	$\text{Exp}(\lambda t)$	$F(t) = 1 - \text{exp}(\lambda t)$	Теоретическая вероятность, $P_i$	Теоретическая частота, $nP_i$	$m_i - nP_i$	$(m_i - nP_i)^2$	$(m_i - nP_i)^2 / nP_i$
0,25	215	0,578	0,145	0,322	0,724	0,276	0,276	102,523	112,477	12651,076	123,397
0,75	75	0,202	0,152	0,967	0,380	0,620	0,344	128,073	-53,073	2816,781	21,993
1,25	35	0,094	0,118	1,612	0,199	0,801	0,181	67,202	-32,202	1036,970	15,431
1,75	12	0,032	0,064	2,257	0,105	0,895	0,095	35,262	-23,262	541,116	15,346
2,25	11	0,030	0,068	2,902	0,055	0,945	0,050	18,502	-7,502	56,287	3,042
2,75	7	0,019	0,052	3,547	0,029	0,971	0,026	9,709	-2,709	7,336	0,756
3,25	6	0,016	0,052	4,192	0,015	0,985	0,014	5,094	0,906	0,820	0,161
3,75	4	0,011	0,041	4,837	0,008	0,992	0,007	2,673	1,327	1,761	0,659
4,25	4	0,011	0,047	5,482	0,004	0,996	0,004	1,403	2,597	6,747	4,810
4,75	3	0,008	0,038	6,127	0,002	0,998	0,002	0,736	2,264	5,126	6,965
	$\Sigma = 372$	1	0,775								$\chi^2 = 192,560$

\* Расчеты выполнены на ЭВМ в Microsoft Excel.



и свыше 88 % – грузовые поезда в нечетном направлении. Данное утверждение подтверждается коэффициентом

вариации 0,89. Распределение грузовых поездов по числу вагонов в составе подчиняется биномиальному закону. ■

### Литература

1. О Стратегии развития железнодорожного транспорта в Российской Федерации до 2030 года : Распоряжение правительства РФ от 17.06.2008 г. № 877-р. URL: <https://company.rzd.ru/ru/9353/page/105104?id=155> (дата обращения: 15.06.2021).
2. Ивницкий В. А. Метод повышения наличной пропускной способности железнодорожных участков по перегонам на грузонапряженных направлениях за счет совершенствования учета влияния отказов в работе технических средств // Вестник ВНИИЖТ, 2008. № 3. С. 305. ISSN 0869-8163.
3. Плахотич С. А. Пропускная способность двухпутных участков в условиях обращения грузовых поездов различной массы и длины // Вестник УрГУПС, 2009. № 3–4. С. 48–55. ISSN 2079-0392.
4. Фуфачева М. В. Пути повышения среднего веса грузовых поездов / Труды XXIV Всероссийской научн.-практ. конф. «Инновационные технологии на железнодорожном транспорте». – Т 1. – Красноярск : Изд-во КриЖТИрГУПС. – 2020. – С. 132–137. ISBN 978-5-903293-64-3.
5. Романова П. Б. Определение законов распределения поступления поездов на сортировочную станцию в штатном режиме работы станции и в период ремонта объектов транспортной инфраструктуры на прилегающих к станции участках / П. Б. Романова, А. А. Король // Вестник транспорта Поволжья № 5 (59). 2016. С. 63–68. ISSN 1997-0722.
6. Фуфачева М. В. Анализ работы Красноярской железной дороги по пропуску длинносоставных поездов: сборник статей / Вестник инженеров электромехаников железнодорожного транспорта / Самара: Изд-во СамГУПС. – 2003. – Вып. 1. – С. 210–212.
7. Об утверждении инструкции по организации обращения грузовых поездов повышенной массы и длины на железнодорожных путях общего пользования ОАО «РЖД» : Распоряжение ОАО «РЖД» от 1 сентября 2016 г. № 1799р (с изменениями и дополнениями). URL: <https://docplayer.com/57222380-Rasporyazhenie-po-organizacii-obrashcheniya-gruzovyh-poezdov-povyshennoy-massy-i.html> (дата обращения: 19.06.2021).

### Literature

1. On the Strategy for development of railway transport in the Russian Federation until 2030 : Decree of the RF Government of 17.06.2008. № 877-R. [O Strategii razvitiya zheleznodorozhnogo transporta v Rossijskoj Fede-ratsii do 2030 goda : Rasporyazhenie pravitel'stva RF ot 17.06.2008 g. № 877-r.] URL: <https://company.rzd.ru/ru/9353/page/105104?id=155> (accessed: 15.06.2021).
2. Ivnitsky V. A. Method of increasing the available capacity of railway sections on stretches with cargo-stressed directions by improving consideration of the impact of failures in operation of technical devices // Herald of Railway Research Institute of JSC Russian Railways, [Metod povysheniya nalichnoj propusknoj sposobnosti zheleznodorozhnykh uchastkov po peregonam na gruzonapryazhennykh napravleniyakh za schet sovershenstvovaniya ucheta vliyaniya otkazov v rabote tekhnicheskikh sredstv // Vestnik VNIIZHT] 2008. № 3. Pp. 305. ISSN 0869-8163.
3. Plakhotich S. A. Capacity of double-track sections in the conditions of circulation of freight trains of various weights and lengths // Herald of USURT, [Propusknaya sposobnost' dvukhputnykh uchastkov v usloviyakh obrashcheniya gruzovykh poezdov razlichnoj massy i dliny // Vestnik UrGUPS] 2009. № 3–4. Pp. 48–55. ISSN 2079-0392.
4. Fufacheva M. V. Ways to increase the average weight of freight trains / Proceedings of the XXIV All-Russian Scientific and Practical Conference. – «Innovative technologies in railway transport». [Puti povysheniya srednego vesa gruzovykh poezdov / Trudy XXIV Vserossijskoj nauchno-prakticheskoy konferentsii «Innovatsionnye tekhnologii na zheleznodorozhnom transporte»] T 1. – Krasnoyarsk : Izd-vo KriZHTIrGUPS] V 1. – Krasnoyarsk: Publishing house of Irkutsk State Transport University. – 2020. – Pp. 132–137. ISBN 978-5-903293-64-3.

5. Romanov P. B. Determining the distributions of train arrivals at the railway yard during the normal mode of operation of the station and repair of transport infrastructure of surrounding areas [Opredelenie zakonov raspredeleniya postupleniya poezdov na sortirovochnuyu stantsiyu v shtatnom rezhime raboty stantsii i v period remonta ob»ektov transportnoj infrastruktury na prilegayushhikh k stantsii uchastkakh] / P. B. Romanova, A. A. King // the Bulletin of transport of the Volga region № 5 (59). 2016. S. 63–68. ISSN 1997-0722.
6. Fufachev M. V. Analysis of the Krasnoyarsk railway on the issue of passing trains: collection of articles / Bulletin of electrical engineers of railway transport / [Analiz raboty Krasnoyarskoj zheleznoj dorogi po propusku dlinnosostavnykh poezdov: sbornik statej / Vestnik inzhenerov ehlektromekhanikov zheleznodorozhnogo transporta] Samara: Publishing house SamUSURT. – 2003. – Vol.1. – Pp. 210–212.
7. On approval of the instructions for circulation of freight trains with increased weight and length on public railways of JSC «Russian Railways»: Order of JSC «Russian Railways» dated September 1, 2016 № 1799r (with amendments and additions). [Ob utverzhdenii instruktsii po organizatsii obrashheniya gruzovykh poezdov povyshennoj massy i dliny na zheleznodorozhnykh putyakh obshhego pol'zovaniya OAO «RZHD» : Rasporyazhenie OAO «RZHD» ot 1 sentyabrya 2016 g. № 1799r (s izmeneniyami i dopolneniyami).] URL: <https://docplayer.com/57222380-Rasporyazhenie-po-organizacii-obrashcheniya-gruzovyh-poezdov-povyshennoj-massy-i.html> (accessed: 19.06.2021).

*Статья сдана в редакцию 19 июля 2021 года*

# Управление в технических системах

УДК 629.423.2:629.05

*А. П. Буйносов, В. А. Васильев, А. С. Баитов, А. И. Иванов*

## Стендовая отработка алгоритмов диагностирования подшипников качения бортовой системы диагностики и прогноза остаточного ресурса основных и вспомогательных узлов МПВС

UDC 629.423.2:629.05

*A. P. Buinosov, V. A. Vasiliev, A. S. Baitov, A. I. Ivanov*

## Bench testing of algorithms for diagnosing rolling bearings of the on-board diagnostic system and forecasting the service life of the main and auxiliary components of the MCRSU

### Аннотация

Представлено экспериментальное исследование вибрации подшипника и использование быстрого преобразования Фурье (БПФ) в качестве интеллектуального инструмента для ди-

агностики и идентификации дефектов подшипника узлов моторвагонного подвижного состава (МПВС). Показано, что использование новых средств технической диагностики за счет выявления неисправностей на

ранней стадии их развития снижает случаи нарушения нормальной работы вагонов и подвижного состава. В статье приведены результаты вибродиагностики подшипников качения на стенде, получены спектральные харак-

*Статья рекомендована к опубликованию А. В. Ерпаловым, канд. техн. наук, доцентом Южно-Уральского государственного университета. Тел.: 919-344-74-08.*

**Александр Петрович Буйносов**, д-р техн. наук, профессор; кафедра «Электрическая тяга» Уральского государственного университета путей сообщения; Екатеринбург, Россия. E-mail: ABuinosov@usurt.ru. ORCID 0000-0002-7622-3118.

**Виталий Альбертович Васильев**, канд. техн. наук, директор ЦТЦ разработки систем контроля и диагностики «Сигма»; Челябинск, Россия. E-mail: vasilyev\_va@list.ru. ORCID 0000-0003-2339-0665.

**Александр Сергеевич Баитов**, аспирант; кафедра «Электрическая тяга» Уральского государственного университета путей сообщения; Екатеринбург, Россия. E-mail: baitov\_alex76@mail.ru. ORCID 0000-0002-8785-5399.

**Иванов Анатолий Иванович**, инженер ЦТЦ разработки систем контроля и диагностики «Сигма»; Челябинск, Россия. E-mail: ivanovanat88@gmail.com. ORCID 0000-0003-2339-0665.

*The article is recommended for publishing by A. V. Erpalov, Candidate of Technical Sciences, Associate Professor of the South Ural State University. Tel.: 919-344-74-08.*

**Alexander Petrovich Buinosov**, Doctor of Technical Sciences, Professor; Department of «Electric Traction» of the Ural State University of Railway Transport; Yekaterinburg, Russia. E-mail: ABuinosov@usurt.ru. ORCID 0000-0002-7622-3118.

**Vitaly Albertovich Vasiliev**, Candidate of Technical Sciences, Director of the Scientific Research Center for the Development of Control and Diagnostic Systems «Sigma»; Chelyabinsk, Russia. E-mail: vasilyev\_va@list.ru. ORCID 0000-0003-2339-0665.

**Alexander Sergeyevich Baitov**, Postgraduate Student of the Department «Electric Traction» of the Ural State University of Railway Transport; Yekaterinburg, Russia. E-mail: baitov\_alex76@mail.ru. ORCID 0000-0002-8785-5399.

**Anatoly Ivanov**, Engineer of the Scientific Research Center for the development of control and diagnostic systems «Sigma»; Chelyabinsk, Russia. E-mail: ivanovanat88@gmail.com. ORCID 0000-0003-2339-0665.

теристики для подшипников с дефектами тела качения, внутренней дорожки и внешней дорожки. При проведении стендовых испытаний в качестве вибродатчика использовался специально разработанный интеллектуальный вибродатчик, состоящий из чувствительного элемента, виброакселерометра, необходимых интерфейсов и аналого-цифрового преобразователя. Радиальное расположение датчиков в системах диагностики в ремонтных депо и бортовых системах затрудняет диагностику, связанную с появлением дефектов под действием осевых нагрузок, в первую очередь дефектов сепаратора. Стендовые испытания с использованием интеллектуальных датчиков и облачных сервисов в Интернете показали возможность создания мобильной системы диагностики технического состояния подшипниковых узлов моторвагонного подвижного состава и узлов грузовых вагонов.

**Ключевые слова:** вибродиагностика, спектральная характеристика, шарикоподшипник, дефект тела качения, дефект внутренней обоймы, дефект внешней обоймы.

DOI: 10.20291/2079-0392-2021-3-40-49

#### Abstract

The experimental study of bearing vibration and use of the fast Fourier transformation (FFT) as an intelligent tool for diagnosing and identifying bearing defects of motor car rolling stock units (MCRSU) is presented. It is shown that the use of new means of technical diagnostics due to the detection of malfunctions at an early stage of their development reduces the cases of violations of the normal operation of cars and rolling stock. The article presents the results of vibration diagnostics of rolling bearings on the stand, spectral characteristics are obtained for bearings with rolling body defects, internal track and external track.

During the bench tests, a specially developed intelligent vibration sensor was used as a vibration sensor, consisting of a sensitive element, a vibration accelerometer, the necessary interfaces and an analog-digital converter. The radial arrangement of sensors in diagnostic systems in repair depots and on-board systems makes it difficult to diagnose defects associated with the appearance of defects under the influence of axial loads, primarily separator defects. Bench tests using intelligent sensors and cloud services on the Internet showed the possibility of creating a mobile system for diagnosing the technical condition of bearing units of motor-car rolling stock and freight car units.

**Keywords:** vibration diagnostics, spectral characteristic, ball bearing, rolling body defect, inner cage defect, outer cage defect.

DOI: 10.20291/2079-0392-2021-3-40-49

Часто неисправности буксовых подшипников колесных пар подвижного состава можно выявить только во время движения. Для диагностики технического состояния подвижного состава используются различные технические средства, например, установки вибродиагностики. Они позволяют определять дефекты подшипников буксовых узлов в вывешенном состоянии под действием сил тяжести узлов моторвагонного подвижного состава или вагона. В таблице 1 приведены данные по наиболее часто встречающимся неисправностям буксовых подшипников вагонов при их разборке в ремонтных депо [1, 2].

Из таблицы 1 ясно, что более 30 % дефектов приходится на неисправности сепаратора и только 17 % на нагрев буксового узла.

В пути следования и на подходах к станции используются комплексы технических средств мониторинга нагрева букс вагонов (КТСМ) на ходу поезда, акустические системы контроля для выявления неисправностей буксового узла (ПАК). Всего в эксплуатации находится около 4677 пунктов контроля,

Таблица 1  
Дефекты буксового подшипника вагона, %

Неисправность сепаратора	36,8
Нагрев буксового узла	17,6
Ослабление торцевого крепления	12,3
Коррозия дорожек качения	11,8
Вмятина дорожек качения	7,4
Задиры бортов и торцов роликов	5,9
Прочие	8,2

на которых размещены 5634 прибора КТСМ. Среднее расстояние между пунктами контроля составляет 29,3 км [3].

Кроме того, в настоящее время внедряются бортовые комплексы вибрационной диагностики технического состояния подшипниковых опор, в частности, буксовых подшипников на моторвагонном подвижном составе.

Использование новых средств технической диагностики за счет выявления неисправностей на ранней стадии их развития снижает случаи нарушения нормальной работы вагонов и подвижного состава [4, 5].

Однако существующие системы контроля имеют и недостатки. Во-первых, они дискретны; если пункты контроля температуры буксовых подшипников расположены достаточно часто и контроль может производиться с запаздыванием 20–30 минут, то вибрационная диагностика в депо производится на определенных цикловых технических обслуживаниях и ремонтах ТО-3, ТР-1 соответственно.

Бортовые системы контроля позволяют проводить диагностику практически непрерывно, но расположение датчиков в радиальном направлении затрудняет диагностику, связанную с действием осевых нагрузок, в первую очередь дефектов сепаратора.

Осевая нагрузка вызывается центробежной силой, давлением ветра и другими горизонтальными усилиями, действующими на вагоны и подшипниковые опоры [5]. Для проявления торцевых дефектов, связанных с осевыми нагрузками в общей вибрацией узла, необходимым условием становится приложение осевой нагрузки на подшипники.

Комплексы для вибродиагностики буксовых подшипников колесных пар, используемые в моторвагонных ремонтных депо, например, на базе системы ОМСД-02, требуют модернизации путем добавления устройства, создающего осевую нагрузку на буксовые узлы колесной пары [6].

При работе подшипника с внутренними дефектами во временном

вибросигнале появляются характерные составляющие (гармоники) с собственными частотами, по которым можно выявить место нахождения дефекта. Численные значения частот этих составляющих зависят от соотношения геометрических размеров подшипника и оборотной частоты вращения колесной пары [7, 8]. В нагруженном подшипнике можно дифференцировать четыре характерные, применяемые для диагностики частоты внешней обоймы подшипника, внутренней обоймы, частоты сепаратора и частоты тел качения.

Частота перекатывания тел качения по внутренней обойме (BPFi):

$$F_{IR} = \frac{N_{TK} \left( 1 + \frac{d}{D} \cos \alpha \right)}{2}. \quad (1)$$

Частота перекатывания тел качения по внешней обойме (BPFO):

$$F_{OR} = \frac{N_{TK} \left( 1 - \frac{d}{D} \cos \alpha \right)}{2}. \quad (2)$$

Фактор частоты для сепаратора и внутренней дорожки:

$$F_{CIRR} = \frac{\left( 1 - \frac{d}{D} \cos \alpha \right)}{2}. \quad (3)$$

Фактор частоты для сепаратора и наружной дорожки:

$$F_{CORR} = \frac{N_{TK} \left( 1 + \frac{d}{D} \cos \alpha \right)}{2}. \quad (4)$$

Фактор частоты вращения тела качения:

$$F_{BS} = \frac{1}{2} \frac{D}{d} \left( 1 - \left( \frac{d}{D} \cos \alpha \right)^2 \right). \quad (5)$$

Умножая полученные факторы на частоту вращения  $f$ , получим специфические частоты вибрации подшипников:

$$BPFi = f \cdot F_{IR}, \quad BPFO = f \cdot F_{OR},$$

$$FTF = f \cdot F_{CIRR}, \quad BSF = f \cdot F_{BS}.$$



Рис. 1. Буксовый подшипник 30(36)-232726



Рис. 2. Кассетный подшипник TBU130

На сети железных дорог России эксплуатируются колесные пары с буксовыми узлами, в которых используются подшипники роликовые радиальные с короткими цилиндрическими роликами типа 30–32726Е 1М и кассетные подшипники типа TBU130. Конструкция радиальных подшипников предусматривает обязательный осевой зазор; кассетные подшипники кроме радиальной нагрузки способны воспринимать и осевые нагрузки (рис. 1, 2) [9].

Параметры буксового подшипника 232726 приведены в таблице 2.

В соответствии с формулами (1)–(5), можно рассчитать частотные факторы дефектов буксового подшипника (таблица 3). Учитывая, что диагностика в ремонтных депо производится с частотами вращения 240–420 об/мин, то мониторинг нагрева букс вагонов (с использованием КТСМ на скоростях от 30 до 90 км/ч) и диагностику бортовые системы могут проводить на скоростях грузовых поездов 120 км/ч, пассажирских поездов – 160 км/ч; получены частоты, определяющие дефекты подшипника качения 30–232726 (таблица 4).

Таблица 2  
Параметры подшипника  
30-232726

Параметр	Значение
Шарики, кол-во	14
Ролик, размер, мм	32×52
Средний диаметр, мм	190
Угол контакта, град	0

Таблица 3  
Частотные факторы дефектов  
для подшипника 30-232726

Фактор	Значение
Фактор частоты вращения FTF	0,42
Внешняя дорожка BPFO	5,82
Внутренняя дорожка BPFI	8,19
Частота дефекта тела качения BDF	5,76

Таблица 4  
Частоты определяющие дефекты подшипника качения 30–232726

Скорость, км/ч	Частота вращения, Гц/об/мин	FTF	BPFO	BPFI	BDF
30	2,7/166	1,1	15,7	22,1	15,6
43	4/240	1,7	23,3	32,8	23,1
75,5	7/420	2,9	40,7	57,3	40,3
90	8,5/510	3,6	49,5	69,6	49,0
120	11/667	4,6	64,0	89,9	63,4
160	14,8/889	6,2	86,3	121,1	85,3



Из таблицы 4 видно, что в большинстве случаев частоты дефектов, которые необходимо определить, находятся в пределах от 1 до 100 Гц.

В РЖД внедряются облачные технологии на основе использования корпоративных сетей 4G/LTE [10]. Стендовая отладка прототипа системы технической диагностики подшипниковых опор качения проводилась на специальной стендовой установке Spectra Quest Machinery Fault Simulator TM (рис. 3).

Установка позволяет работать в широком диапазоне частот вращения – от 0 до 5000 об/мин, имеет в составе подшипник качения MB ER-16K с известными дефектами. Параметры подшипника приведены в таблице 5. Частотные факторы, полученные по формулам (1)–(5), – в таблице 6, частоты дефектов подшипниковых опор – в таблице 7.

Стендовые исследования влияния частоты вращения на общий уровень вибрации и спектральных характеристик проводились в диапазоне частот от 1000 до 3000 об/мин (или от 16,6 до 50 Гц) [11]. Сбор, хранение и обработка вибропараметров проводились

с использованием облачных технологий. В качестве вибродатчика применялся специально разработанный интеллектуальный вибродатчик, в состав которого входят чувствительный элемент, МЭМС виброакселерометр, необходимые интерфейсы, аналого-цифровой преобразователь, компьютер для обработки сигнала, построения спектральных характеристик (БПФ).

Параметры датчика приведены в таблице 8. Использование интеллектуальных датчиков создает распределенную вычислительную сеть, снижающую нагрузку на центральный процессор, и повышает мобильность системы диагностики [12].

В качестве базы данных использовались данные временных рядов Influx. Передача данных осуществлялась с использованием глобальной сети 4G/LTE (Интернет). В качестве графического интерфейса – программа GRAFANA [13, 14]. Система сбора и представления экспериментальных данных позволяет передавать данные в формате CSV во внешние программы, в частности, в программу Excel.



Рис. 3. Стенд Spectra Quest Fault Simulator Setup вибродиагностики подшипников качения

Таблица 5

Параметры подшипника  
MB ER-16K

Параметр	Значение
Шарики, кол-во	9
Диаметр шарика, мм	7,9375
Средний диаметр, мм	38,5064

Таблица 6

Частотные факторы дефектов  
для подшипника MB ER-16K

Фактор	Значение
Частота вращения FTF	0,402
Внешняя дорожка BPFO	3,572
Внутренняя дорожка BPFI	5,43
Тело качения BSF	2,322
Тело качения BDF	4,644

Таблица 7

Частоты дефектов подшипника качения MB ER-16K

Частота вращения, Гц/об/мин	FTF	BPFO	BPFI	BSF	BDF
16,6/1000	6,67	59,29	90,1	38,5	77,2
25/1500	10,05	89,3	135,8	58,05	116
30/1800	12,06	107,2	162,9	69,7	139
35/2100	14,07	125,0	190,1	81,3	163
<b>40/2400</b>	<b>16,08</b>	<b>142,9</b>	<b>217,2</b>	<b>92,9</b>	<b>186</b>
45/2700	18,09	160,7	244,4	104,5	209
50/3000	20,1	178,6	271,5	116,1	232,5

Таблица 8

Трехкоординатный интеллектуальный вибродатчик

Число координат	X, Y, Z
Чувствительность	300 мВ/г (30,5 мВ/м/с <sup>2</sup> )
Диапазон частот	0–1000 Гц
Динамический диапазон	От ±4 g до ±18 g (± 176 м/с <sup>2</sup> )
Плотность шума	25 µg/
Диапазон температур	От –40 до +85 °С
Крепление	Магнит
Интерфейс	WIFI (MODBUS TCP)

На рис. 4–6 приведены спектральные характеристики для подшипников с дефектами тела качения, внутренней и внешней дорожек для частоты вращения 2400 об/мин (40 Гц).

Использование программы Excel позволяет создавать отчеты, проводить подробный анализ спектральных характеристик подшипниковых опор при различных режимах нагружения и частотах вращения. Спектральные характеристики (рис. 4, 5 и 6) получены с разрешением с точностью до 1 Гц

и позволяют изучить появление составляющих, связанных с дефектами подшипников качения. Используя вычислительные мощности процессора вибродатчика, можно в автоматическом режиме проводить диагностику подшипниковых опор, не нагружая центральный процессор системы диагностики.

При сравнении частот дефектов подшипниковых опор, полученных экспериментальным путем, с величинами, полученными расчетом (см. табл. 7, строка для частоты вращения 2400 об/мин,

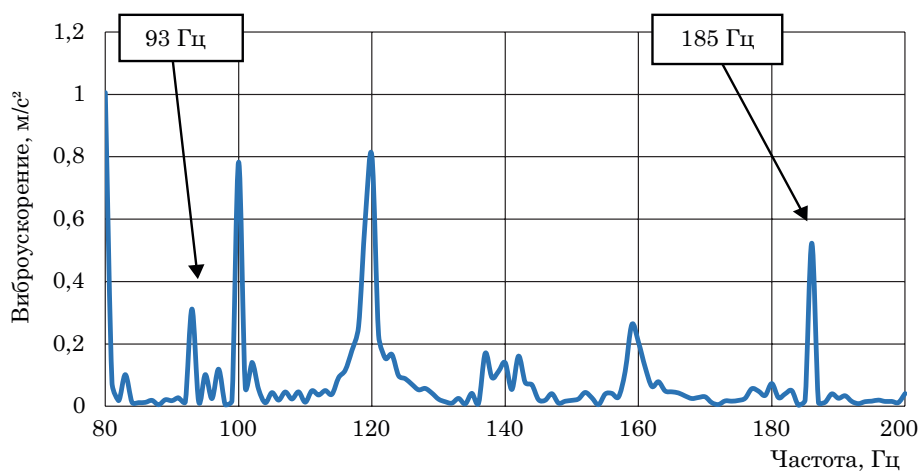


Рис. 4. Спектральной характеристики, дефект тела качения, BSF = 93 Гц, BDF = 185 Гц

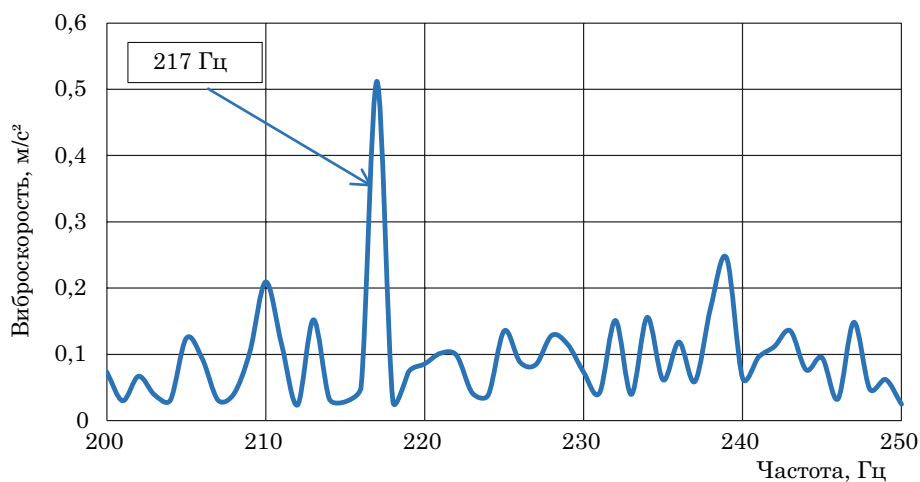


Рис. 5. Спектральная характеристика с дефектом «внутренняя дорожка», BPF1 = 217 Гц

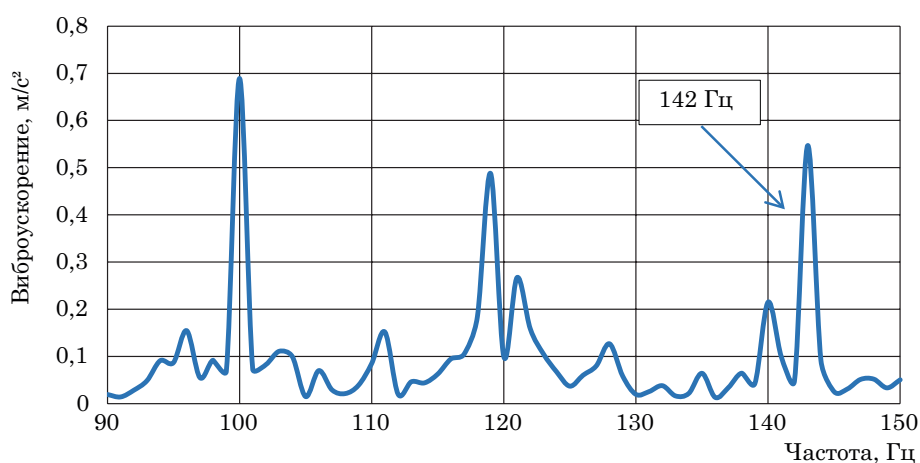


Рис. 6. Спектральная характеристика дефекта «внешняя дорожка», BPF0 = 142 Гц

выделенная жирным шрифтом), видно, что погрешность определения дефекта находится в пределах 0,5–1 Гц.

### Выводы

1. Существующие системы контроля и диагностики не позволяют в реальном времени и непрерывно проводить диагностику технического состояния буксовых подшипников вагонного парка РЖД.

2. Радиальное расположение датчиков в системах диагностики в ремонт-

ных депо и бортовых системах затрудняет диагностику, связанную с появлением дефектов под действием осевых нагрузок, в первую очередь дефектов сепаратора.

3. Стендовые испытания с использованием интеллектуальных датчиков и облачных сервисов показали возможность создания мобильной системы диагностики технического состояния подшипниковых узлов моторвагонного подвижного состава и узлов грузовых вагонов. ■

### Литература

1. Буйносов А. П., Байтов А. С. Выявление узлов и деталей электропоездов и рельсовых автобусов наиболее подверженных отказам // Научно-технический вестник Поволжья. 2019. № 12. С. 47–50. ISSN 2079–5920.
2. Буйносов А. П., Васильев В. А., Ерпалов А. В., Ницкий А. Ю., Байтов А. С. Анализ электронного шума при вибродиагностике узлов моторвагонного подвижного состава // Транспорт Урала. 2020. № 2 (65). С. 11–15. ISSN 1815–9400.
3. Буйносов А. П., Васильев В. А., Байтов А. С. Использование ускорения свободного падения при калибровке виброакселерометров для диагностики узлов моторвагонного подвижного состава // Транспорт Урала. 2020. – № 3 (66). С. 32–35. ISSN 1815–9400.
4. Звягин А. Д., Ваганов А. О., Трофимов А. С. Система динамического мониторинга наиболее ответственных узлов и деталей пассажирского вагона // Вестник Волжской государственной академии водного транспорта. 2008. Вып. 25. С. 54–66. ISSN 1991–8275.
5. Миронов А. А. Теория и практика бесконтактного теплового контроля буксовых узлов в поездах / А. А. Миронов, В. Л. Образцов, А. Э. Павлюков. – Екатеринбург : РПФ «Ассорти», 2012. – 396 с.
6. Волков И. А., Трофимов А. С. Разработка системы диагностики дефектов трущихся поверхностей подшипников буксовых узлов колесных пар грузовых вагонов // Вестник Волжской государственной академии водного транспорта. 2012. Вып. 30. С. 138–144. ISSN 1991–8275.
7. Звягин А. Д., Букин М. Н. К вопросу создания бортовой системы диагностики колесно-моторных блоков локомотивов // Вестник Волжской государственной академии водного транспорта. 2006. Вып. 16. С. 103–105. ISSN 1991–8275.
8. Звягин А. Д., Ваганов А. О., Григорьев А. Я. Вибродиагностика колесных пар вагонов с кассетными подшипниками // Вестник Волжской государственной академии водного транспорта. 2008. Вып. 21. С. 41–53. ISSN 1991–8275.
9. Dube Abhinay V., Dhamande L. S., Kulkarni P. G., Vibration Based Condition Assessment Of Rollingelement Bearings With Localized Defects International journal of scientific & technology research. Vol. 2. Issue 4. April 2013. S. 149–155.
10. Poddar S., Chandravanshi M. L. Ball Bearing Fault Detection Using Vibration Parameters International Journal of Engineering Research & Technology (IJERT) Vol. 2. Issue 12. December 2013. S. 1239–1244.
11. Васильев В. А., Байтов А. С. Перспективы использования корпоративных сетей 4G/LTE и облачных сервисов в технической диагностике подшипниковых опор электрических двигателей мегаватного класса : сб. докл. II Международной научно-технической конференции «Ремонт и техническое обслуживание оборудования электростанций» / под общ. ред. канд. техн. наук Д. В. Тарадая. М. : ОАО «ВТИ», 2020. С. 127–133.
12. Ницкий А. Ю., Васильев В. А., Ерпалов А. В., Байтов А. С. Интеллектуальные датчики вибрации и электронный шум : сб. докл. IX Международной научно-технической конференции «Проблемы вибрации, виброналадки, вибромониторинга и диагностики

оборудования электрических станций» / под общ. ред. канд. техн. наук Д. В. Тарадая. М.: ОАО «ВТИ», 2020. С. 186–196.

13. Буйносов А. П., Худояров Д. Л., Тюшев И. А. Алгоритмизация процесса расшифровки диагностической информации современных локомотивов // Труды Ростовского государственного университета путей сообщения. 2020. № 4 (53). С. 9–11. ISSN 1818–5509.
14. Буйносов А. П., Худояров Д. Л., Тюшев И. А. Развитие функциональных возможностей системы диагностики локомотивов // Железнодорожный транспорт. 2021. № 2. С. 60–63. ISSN0044–4448.

#### Literature

1. Buinosov A. P., Baitov A. S. Identification of nodes and parts of electric trains and rail buses most susceptible to failures // Scientific and Technical Bulletin of the Volga region. [Vyavlenie uzlov i detalej ehlektropoezdov i rel'sovykh avtobusov naibolee podverzhennykh otkazam // Nauchno-tekhnicheskij vestnik Povolzh'ya.] 2019. № 12. Pp. 47–50. ISSN 2079-5920.
2. Buinosov A. P., Vasiliev V. A., Erpalov A.V., Nitsky A. Yu., Baitov A. S. Analysis of electronic noise during vibration diagnostics of motor-car rolling stock units // Transport of the Urals. [Analiz ehlektronnogo shuma pri vibrodiagnostike uzlov motorvagonnogo podvizhnogo sostava // Transport Urala.] 2020. № 2 (65). Pp. 11–15. ISSN 1815-9400.
3. Buinosov A. P., Vasiliev V. A., Baitov A. S. The use of free-fall acceleration in calibration of vibration accelerometers for diagnostics of motor-car rolling stock units // Transport of the Urals. [Ispol'zovanie uskoreniya svobodnogo padeniya pri kalibrovke vibroakselerometrov dlya diagnostiki uzlov motorvagonnogo podvizhnogo sostava // Transport Urala.] 2020. – № 3 (66). Pp. 32–35. ISSN 1815-9400.
4. Zvyagin A. D., Vaganov A. O., Trofimov A. S. Dynamic monitoring system for the most critical components and parts of a passenger car // Bulletin of the Volga State Academy of Water Transport. [Sistema dinamicheskogo monitoringa naibolee otvetstvennykh uzlov i detalej passazhirskogo vagona // Vestnik Volzhskoj gosudarstvennoj akademii vodnogo transporta.] 2008. Issue 25. Pp. 54–66. ISSN 1991-8275.
5. Mironov A. A. Theory and practice of contactless thermal control of axle boxes in trains [Teoriya i praktika beskontaktnogo teplovogo kontrolya buksovykh uzlov v poezdakh] / A. A. Mironov, V. L. Obrastsov, A. E. Pavlyukov. – Yekaterinburg : RPF «Assorted», 2012. – 396 p.
6. Volkov I. A., Trofimov A. S. Development of the system for diagnosing defects in rubbing surfaces of bearings of axle box assemblies of wheel pairs of freight cars // Bulletin of the Volga State Academy of Water Transport. [Razrabotka sistemy diagnostiki defektov trushhikhysya poverkhnostej podshipnikov buksovykh uzlov kolesnykh par gruzovykh vagonov // Vestnik Volzhskoj gosudarstvennoj akademii vodnogo transporta.] 2012. Issue 30. Pp. 138–144. ISSN 1991-8275.
7. Zvyagin A. D., Bukin M. N. On the issue of creating an on-board diagnostic system for wheel-motor blocks of locomotives // Bulletin of the Volga State Academy of Water Transport. [K voprosu sozdaniya bortovoj sistemy diagnostiki kolesno-motornykh blokov lokomotivov // Vestnik Volzhskoj gosudarstvennoj akademii vodnogo transporta.] 2006. Issue. 16. Pp. 103–105. ISSN 1991-8275.
8. Zvyagin A. D., Vaganov A. O., Grigoriev A. Ya. Vibrodiagnostics of wheel pairs of rail cars with cassette bearings // Bulletin of the Volga State Academy of Water Transport. [Vibrodiagnostika kolesnykh par vagonov s kassetnymi podshipnikami // Vestnik Volzhskoj gosudarstvennoj akademii vodnogo transporta] 2008. Issue 21. Pp. 41–53. ISSN 1991-8275.
9. Dube Abhinav V., Dhamande L. S., Kulkarni P. G., Vibration Based Condition Assessment of Rolling element Bearings with Localized Defects // International journal of scientific & technology research. Vol. 2. Issue 4. April 2013. S. 149–155.
10. Poddar S., Chandravanshi M.L. Ball Bearing Fault Detection Using Vibration Parameters // International Journal of Engineering Research & Technology (IJERT) . Vol. 2. Issue 12. December 2013. S. 1239–1244.
11. Vasiliev V. A., A. Baitov. From the Perspective of corporate networks, 4G/LTE and cloud services in technical diagnostics of bearing supports of electric motors megawatt class : Proceedings of II International scientific-technical conference «Repair and maintenance of power plant equipment» [Perspektivy ispol'zovaniya korporativnykh setej 4G/LTE i

- oblachnykh servisov v tekhnicheskoy diagnostike podshipnikovykh opor ehlektricheskikh dvigatelej megavatnogo klassa : sb. dokl. II Mezhdunarodnoj nauchno-tekhnicheskoy konferentsii «Remont i tekhnicheskoe obsluzhivanie oborudovaniya ehlektrostantsij» / under general editorship of Candidate of tech. sciences D. V. Tarada. M. : JSC «VTI», 2020. Pp. 127–133.
12. Nicki A. Yu., Vasiliev V. A., Uralov A. V., Baitov A. S. Smart vibration sensors and electronic noise : Proceedings of IX International scientific and technical conference «Problems of vibration, adjusting, vibration monitoring and diagnostics of equipment of power plants» [Intellectualnye datchiki vibratsii i ehlektronnyj shum : sb. dokl. IX Mezhdunarodnoj nauchno-tekhnicheskoy konferentsii «Problemy vibratsii, vibronaladki, vibromonitoringa i diagnostiki oborudovaniya ehlektricheskikh stantsij»] / under general editorship of Candidate of tech. sciences D. V. Tarada. M. : JSC «VTI», 2020. Pp. 186–196.
  13. Buinosov A. P., Khudoyarov D. L., Tyushev I. A. Algorithmization of the process of decoding diagnostic information of modern locomotives // Proceedings of the Rostov State University of Railway Transport. [Algoritmizatsiya protsessa rasshifrovki diagnosticheskoy informatsii sovremennykh lokomotivov // Trudy Rostovskogo gosudarstvennogo universiteta putej soobshheniya.] 2020. № 4 (53). Pp. 9–11. ISSN 1818-5509.
  14. Buinosov A. P., Khudoyarov D. L., Tyushev I. A. Development of functional capabilities of the locomotive diagnostics system // Railway transport. [Razvitie funktsional'nykh vozmozhnostej sistemy diagnostiki lokomotivov // ZHeleznodorozhnyj transport.] 2021. № 2. Pp. 60–63. ISSN 0044-4448.

*Статья сдана в редакцию 29 июля 2021 года*

УДК 519.852.3:656.073

П. Н. Мишкuroв, А. Н. Рахмангулов, О. В. Фридрихсон

## Методика формирования транспортной сети железнодорожной станции

UDC 519.852.3:656.073

P. N. Mishkurov, A. N. Rakhmangulov, O. V. Friedrichson

## Methodology of forming the transport network of a railway station

### Аннотация

Традиционно железнодорожные пути как общего, так и необщего пользования представляются связным ориентированным векторным графом, в состав которого входят множество вершин и множество дуг, связанных между собой и образующих транспортную сеть. Использование существующих методик создания сетей графов маршрутизации перевозок при построении транспортной сети железнодорожных станций приводит к ограничениям при планировании маршрутов движения маневровых составов. Предлагается новый подход к формированию транспортной сети железнодорожной станции для оптимизации маршрутов движения подвижного состава при выполнении операций по обработке поездов. В настоящей статье рассматривается пример использования метода поиска кратчайших расстояний на предлагаемой транспортной сети железнодорожной станции для определения маршрутов движения подвижного состава.

**Ключевые слова:** транспортная сеть, теория графов, маршрутизация перевозок, железнодорожная станция, маневровая работа.

DOI: 10.20291/2079-0392-2021-3-50-64

### Abstract

Traditionally, railway tracks of both general and non-general use are represented by a connected oriented vector graph, which includes a set of vertices and a set of arcs connected to each other and forming a transport network. The use of existing methods for creating networks of traffic routing graphs when building a transport network of railway stations leads to restrictions when planning routes for shunting trains. A new approach to the formation of the railway station transport network is proposed to optimize the routes of rolling stock movement when performing train handling operations. This article considers the example of using the method of finding the shortest distances on the proposed transport network of a railway station to determine the routes of rolling stock movement.

**Keywords:** transport network, graph theory, transportation routing, railway station, shunting work.

DOI: 10.20291/2079-0392-2021-3-50-64

Статья рекомендована к опубликованию В.С. Колокольниковым, канд. техн. наук, доцентом Уральского государственного университета путей сообщения E-mail: vkolokolnikov@usurt.ru.

Павел Николаевич Мишкuroв, канд. техн. наук, доцент; кафедра «Логистика и управление транспортными системами» Магнитогорского государственного технического университета им. Г.И. Носова; г. Магнитогорск, Россия. E-mail: p.mishkurov@magtu.ru. ORCID 0000-0001-9886-0575.

Александр Нельевич Рахмангулов, д-р техн. наук, профессор; кафедра «Логистика и управление транспортными системами» Магнитогорского государственного технического университета им. Г.И. Носова; г. Магнитогорск, Россия. E-mail: ran@magtu.ru. ORCID 0000-0001-7862-4743.

Олег Владимирович Фридрихсон, канд. техн. наук, доцент; кафедра «Логистика и управление транспортными системами» Магнитогорского государственного технического университета им. Г.И. Носова; г. Магнитогорск, Россия. E-mail: o.fridrikhson@magtu.ru. ORCID 0000-0001-8667-1291.

The article is recommended for publishing by V. S. Kolokolnikov, Candidate of Technical Sciences, Associate Professor of the Ural State University of Railway Transport. E-mail: vkolokolnikov@usurt.ru.

Pavel Nikolayevich Mishkurov, Candidate of Technical Sciences, Associate Professor; Department of "Logistics and Management of Transport Systems" of the Magnitogorsk State Technical University named after G. I. Nosov; Magnitogorsk, Russia. E-mail: p.mishkurov@magtu.ru. ORCID 0000-0001-9886-0575.

Alexander Nelevich Rakhmangulov, Doctor of Technical Sciences, Professor; Department of Logistics and Management of Transport Systems of the Magnitogorsk State Technical University named after G. I. Nosov; Magnitogorsk, Russia. E-mail: ran@magtu.ru. ORCID 0000-0001-7862-4743.

Oleg Vladimirovich Friedrichson, Candidate of Technical Sciences, Associate Professor; Department of Logistics and Management of Transport Systems of the Magnitogorsk State Technical University named after G. I. Nosov; Magnitogorsk, Russia. E-mail: o.fridrikhson@magtu.ru. ORCID 0000-0001-8667-1291.



Традиционно элементы транспортной инфраструктуры можно описать абстрактным графом. Теория графов в основном используется при решении транспортных задач (маршрутизация движения объектов в замкнутой системе). Известным математическим доказательством теории графов является проблема семи мостов Кенигсберга [1]. Проблема заключается в том, можно ли за одну прогулку пересечь все семь мостов в Кенигсберге, пересекая каждый мост ровно один раз.

Существует множество методов и методик для создания сетей графов [2]. Однако использование традиционных методик построения графа маршрутизации перевозок железнодорожной станции ограничено рядом критериев, от которых зависят параметры маршрута движения поезда или маневрового состава. В этой статье мы предлагаем методику формирования транспортной сети железнодорожной станции для оптимизации маршрутов движения подвижного состава при выполнении операций по обработки поездов.

Традиционно проблема маршрутизации движения объектов основана на решении задачи определения кратчайшего расстояния между пунктами отправления и назначения [3]. Однако на практике параметры вершин и ребер транспортной сети изменяются во времени. Впервые решение этой проблемы предложено в [4]. Дрейфус предложил подход к формированию маршрутов при заданном времени начала движения объектов на основе использования принципа FIFO (first-in first-out – «первым пришел – первым вышел»). Существует множество инструментов поиска кратчайшего расстояния на графах, например, планирование маршрута в Интернете, автомобильная навигационная система, оптимизация логистики, моделирование работы железнодорожного транспорта и городского дорожного движения [5]. Задача поиска кратчайшего пути – это классическая задача комбинаторной оптимизации, в настоящее

время существует множество алгоритмов её решения [6].

В 1990-х гг. проблема маршрутизации на транспортной сети рассматривалась на основе определения минимального времени движения объекта при оптимальных моментах времени начала движения и времени прибытия. Орда и Ром [7], как и многие другие [8–13] рассматривали данную задачу в дискретной постановке. Однако при оперативном планировании маршрутов движения объектов увеличивается количество вершин транспортной сети с предполагаемыми местами задержки объектов [14]. Если исключить принцип FIFO и ограничить время задержки объекта в вершине графа, то маршруты его движения могут содержать бесконечное количество ребер, что, в свою очередь, не удовлетворяет критерию оптимальности [15]. Поэтому решение задачи выбора маршрута транспортных средств (англ. Capacitated Vehicle Routing Problem (CVRP)) считается NP-трудным. Большинство алгоритмов, предлагаемых для решения задачи маршрутизации на транспортной сети, основано на эвристических и метаэвристических методах [16]. В области математики, с одной стороны, эффективными алгоритмами считаются повторный локальный поиск с разделением множеств решений (ILS-SP) [17], локальный поиск на основе знаний (KGLS) [18], гибридный генетический поиск (HGS) [19], удаление дуг с высокой оценкой (англ. Slack Induction by String Removals – SISR) [20] и быстрая локализованная оптимизация ILS (FILO) [21]. Представленные алгоритмы характеризуются недостаточной точностью оптимизации, что приводит к ограничениям их использования на низком уровне абстракции. С другой стороны, более точные методы решения задачи маршрутизации на транспортной сети значительно продвинулись в области дискретной оптимизации функционирования систем на низком уровне абстракции [22, 23]. Предложены новые подходы для решения задачи маршрутизации на основе

использования метода ветвей и границ [24, 25], математического программирования [26–28].

В области железнодорожных перевозок к первым математическим методам решения задачи выбора маршрута движения подвижного состава можно отнести динамическую задачу о максимальном потоке, динамическую транспортную задачу в сетевой и матричной постановке. Предлагаются современные математические модели и алгоритмы корректировки маршрутов движения поездов в железнодорожных транспортных узлах на основе повышения точности реагирования на высокую динамику величин параметров графика движения [29–35].

Авторы [36–39] предлагают макро-моделирование технологии работы железнодорожных станций. Особенность исследований – описание групп стрелочных переводов и парков железнодорожных станций отдельными объектами библиотек имитационной модели. Представленные модели применяются при проектировании железнодорожных транспортных узлов и станций, информатизации тактического уровня управления и автоматизации решений проектно-плановых задач на железнодорожном транспорте. При создании цифровых двойников с высокой степенью детализации железнодорожных транспортных узлов и станций широко применяется метод имитационного моделирования. Предлагается комплексное использование метода имитационного моделирования и методов оптимизации графика движения, планирования маршрутов движения поездов в железнодорожном транспортном узле [40–45], обработки поездов на железнодорожной станции [46], инфраструктуры и транспортной сети [47] в рамках одной модели. Однако использование существующих методик создания сетей графов маршрутизации перевозок на железнодорожном транспорте в рамках цифровых двойников функционирования станции приводит к ограничениям при

планировании маршрутов движения маневровых составов.

Транспортную сеть железнодорожной станции предлагается описывать связным ориентированным векторным графом со множеством железнодорожных стрелочных переводов (вершин) и множеством железнодорожных путей (дуг), связных между собой в соответствии со схемой путевого развития. Однако при формировании исходных данных для построения таблицы оптимальных путей (ТОП) принято использовать только схему путевого развития, что приводит к рассогласованности движения маневровых составов с количеством полурейсов более одного. В этом случае маршруты движения маневровых составов, сформированные по результатам ТОП, не включают в себя «вытяжные» железнодорожные пути. Таким образом, в состав сформированного маршрута могут входить железнодорожные пути, образующие острый угол железнодорожного стрелочного перевода. Это связано со спецификой выполнения маневровой работы, а именно, если маршрут состоит из нескольких полурейсов, то необходимо использовать «вытяжные» железнодорожные пути. Следует отметить, что построение маршрута движения маневрового состава по железнодорожной станции зависит от вида совершаемых им полурейсов.

Предлагается новый подход к формированию транспортной сети железнодорожной станции. Идея заключается в расширении схемы путевого развития виртуальными вершинами (виртуальными стрелочными переводами) и исключении из расчета железнодорожных путей, образующих острый угол.

Под виртуальным железнодорожным стрелочным переводом понимается дубликат стрелочного перевода схемы путевого развития, в состав исходящих путей которого входят железнодорожные пути, не образующие острый угол друг с другом. Один из железнодорожных путей, образующих острый угол друг с другом и исходящих из стрелочного

перевода, не входит в описание транспортной сети; такой путь называется исключенным, другой путь – альтернативным. Железнодорожный путь, который не образует острый угол с исключенным и альтернативным, называется главным (рис. 1).

При формировании транспортной сети железнодорожной станции необходимо учитывать следующие факторы, от которых зависят параметры маршрута движения поезда или маневрового состава.

1. Железнодорожный путь отправления (начала движения) поезда или маневрового состава: а) альтернативный, или исключенный, б) главный.

2. Направление движение поезда или маневрового состава: четное и нечетное.

3. Расположение исключенных железнодорожных путей: симметричное и асимметричное.

4. Расположение парков железнодорожной станции: параллельное, последовательное, комбинированное.

5. Вид маневрового полуреяса: осаживание, толчок, оттягивание, перестановка, надвиг состава, заезд локомотива

В зависимости от представленных факторов, рассмотрены возможные варианты движения маневровых составов по транспортной сети при обработке поездов на железнодорожной станции.

Вариант 1. Маршрут движения маневрового состава при осаживании или перестановке в параллельно расположенных парках, где началом движения поезда может выступать как альтернативный железнодорожный путь (дуга 2–4), исходящий из стрелочного перевода (вершины) 2 (рис. 2), так и исключенный путь (дуга 2'–3 (рис. 2–3).

Вариант 2. Маршруты движения поезда (маневрового состава), где началом его движения выступает главный путь

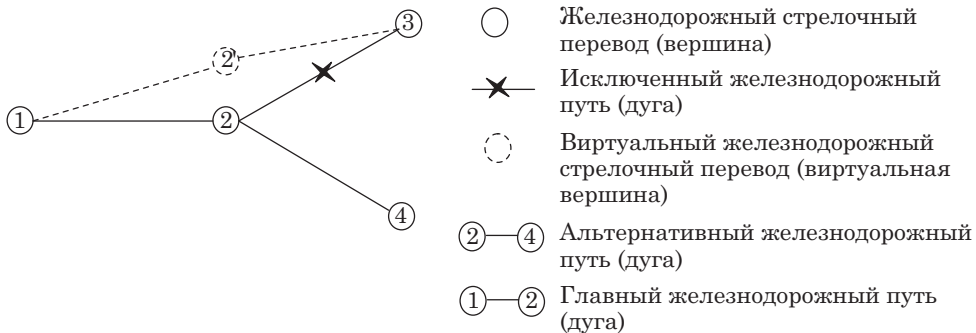


Рис. 1. Фрагмент транспортной сети железнодорожной станции

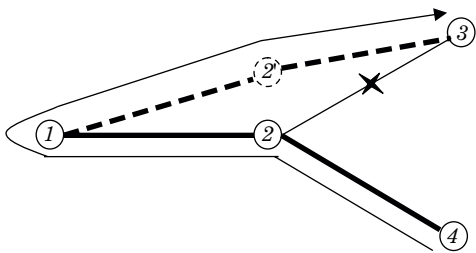


Рис. 2. Схема движения поезда (маневрового состава) при осаживании или перестановке в параллельно расположенных парках с альтернативного на исключенный путь

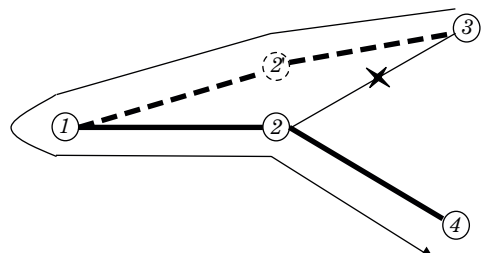


Рис. 3. Схема движения поезда (маневрового состава) при осаживании или перестановке в параллельно расположенных парках с исключенного на альтернативный путь

(дуги  $1-2$  и  $1-2'$ ), исходящий из стрелочного перевода (вершины)  $2$  (рис. 4).

Вариант 3. Маршрут движения поезда (маневрового состава) при последовательном или комбинированном расположении парков, где наблюдается асимметричное исключение железнодорожных путей (дуг) (рис. 5–7).

Вариант 4. Маршрут движения поезда (маневрового состава) при последовательном или комбинированном расположении парков, где наблюдается

симметричное исключение железнодорожных путей (дуг) (рис. 8–10).

Алгоритм, разработанный для практического использования предлагаемого подхода к формированию транспортной сети железнодорожной станции при решении задач маршрутизации подвижного состава, представлен на рис. 11.

Рассмотрим схему сформированной транспортной сети на примере парка железнодорожной станции (рис. 12). Здесь формирование транспортной сети

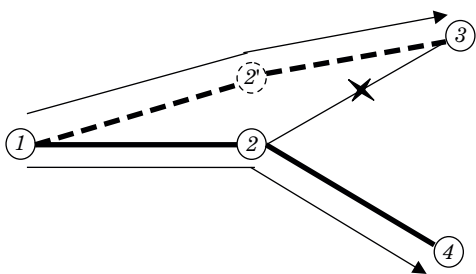


Рис. 4. Схема движения поезда (маневрового состава), где началом движения выступает главный путь

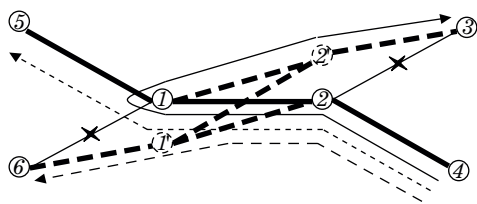


Рис. 5. Схема движения поезда (маневрового состава) при асимметричном исключении железнодорожных путей (дуг), где началом движения поезда является альтернативный путь

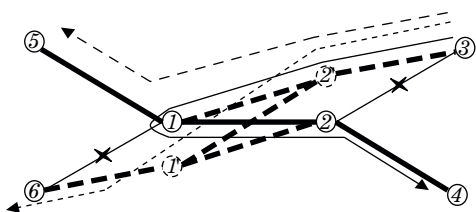


Рис. 6. Схема движения поезда (маневрового состава) при асимметричном исключении железнодорожных путей (дуг), где началом движения поезда является исключенный путь

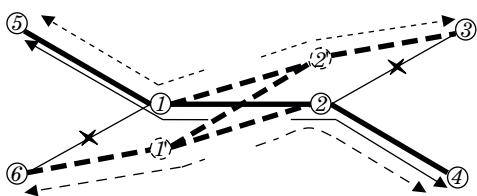


Рис. 7. Схема движения поезда (маневрового состава) при асимметричном исключении железнодорожных путей (дуг), где началом движения поезда является главный путь

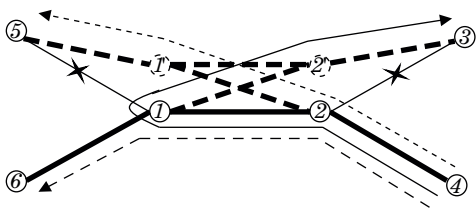


Рис. 8. Схема движения поезда (маневрового состава) при симметричном исключении железнодорожных путей (дуг), где началом движения поезда является альтернативный путь

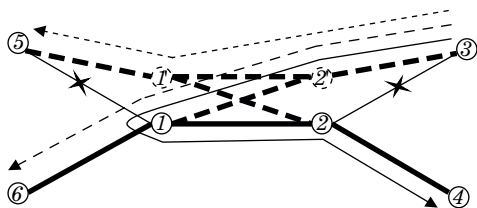


Рис. 9. Схема движения поезда (маневрового состава) при симметричном исключении железнодорожных путей (дуг), где началом движения поезда является исключенный путь

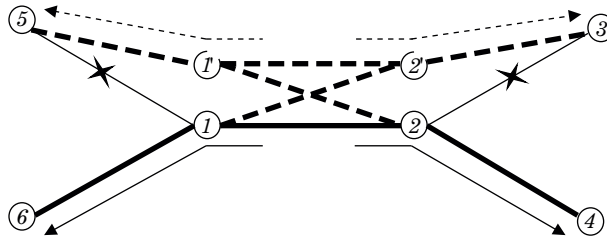


Рис. 10. Схема маршрута движения поезда (маневрового состава) при симметричном исключении железнодорожных путей (дуг), где началом движения поезда является главный путь



Рис. 11. Алгоритм формирования транспортной сети железнодорожной станции

зависит от симметричности исключения железнодорожных путей и их принадлежности к стрелочным переводам, например, железнодорожный путь 21–23 является одновременно исключенным для железнодорожного стрелочного перевода 21 и главным для 23. Результат представленного примера – двойное значение оценки дуги и использование в расчете ТОП железнодорожных путей,

образующих острый угол друг с другом. Следует отметить, что такая инициализация дубликатов элементов транспортной сети отрицательно влияет на адекватность использования методов маршрутизации. Поэтому для исключения дублирования данных о железнодорожных путях разработан алгоритм инициализации элементов транспортной сети железнодорожной станции (рис. 13).

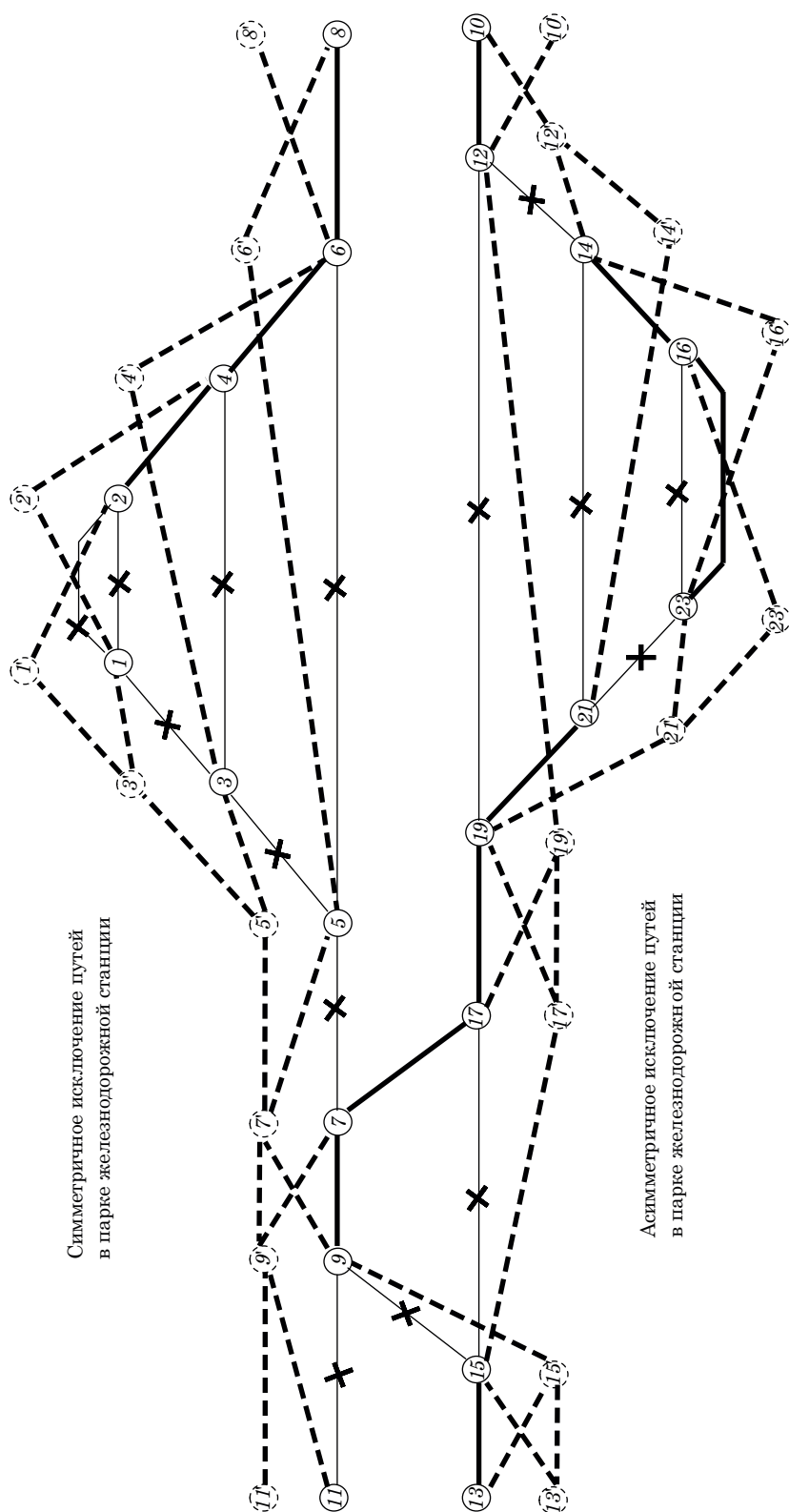


Рис. 12. Фрагмент транспортной сети железнодорожной станции

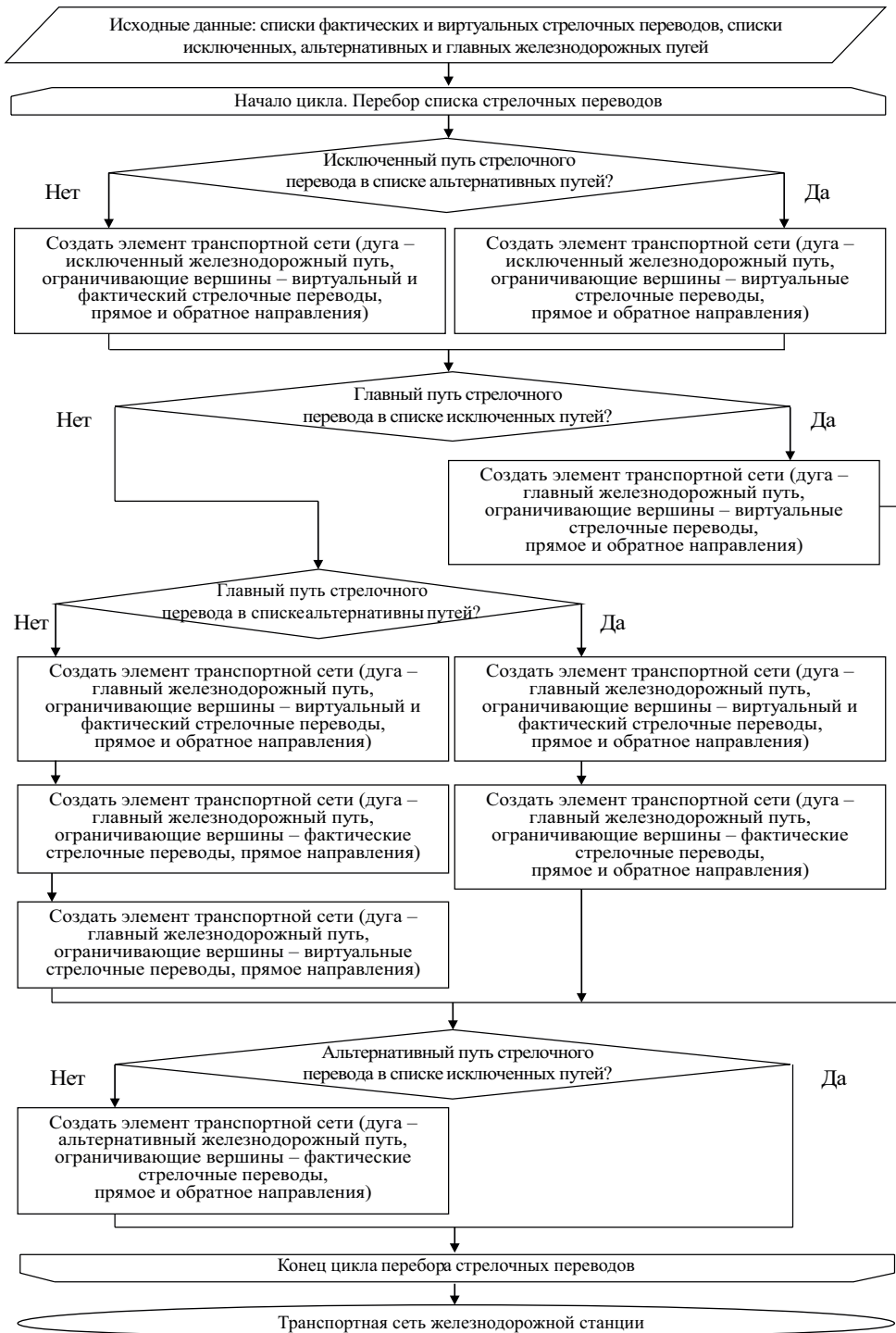


Рис. 13. Алгоритм инициализации элементов транспортной сети железнодорожной станции



Для оценки адекватности разработанной методики и алгоритма формирования транспортной сети построены имитационные модели работы железнодорожных станций на примере работы железнодорожного транспорта необщего пользования металлургического и горно-обогатительного предприятий, а также внеклассной станции Октябрьской железной дороги. В качестве программного инструмента имитационного моделирования использовалась среда разработки AnyLogic [39, 42]. Имитационные модели построены на основе совместного использования дискретно-событийного и агентного подходов в рамках одной модели [42]. Использование нескольких подходов при построении имитационных моделей железнодорожных станций позволило реализовать алгоритм поиска оптимальных маршрутов железнодорожных составов на предлагаемой транспортной сети и реализовать механизм их согласованного взаимодействия.

Результаты проведенных экспериментов на построенных имитационных моделях железнодорожных станций показали принципиальные особенности формирования маршрута движения железнодорожного подвижного состава по станции.

Маршруты движения железнодорожных составов представлены списками путей, которые могут содержать двойную запись пути отправления в начале списка и двойную запись пути назначения в конце. Это исключение обусловлено тем, что понятие виртуального железнодорожного пути не вводится, в свою очередь, транспортная сеть железнодорожной станции включает только виртуальные стрелочные переводы, а дуги, исключаящие угловой заезд (см. рис. 1), хранят данные об одном железнодорожном пути. Например, в качестве исходных данных для расчета ТОП используется транспортная сеть с виртуальным стрелочным переводом 2' (рис. 14). Пусть путь отправления железнодорожного состава – это дуга 1–2, начальная вершина

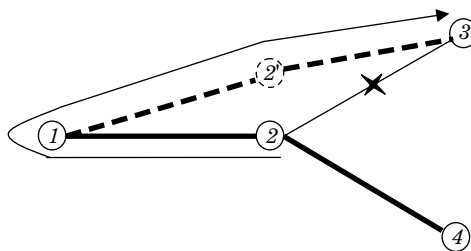


Рис. 14. Схема маршрута поезда (маневрового состава) по участку транспортной сети железнодорожной станции

определена как 2, а путь назначения – дуга 2'–3; по результатам расчета ТОП сформирован маршрут.

Из рис. 14 видно, что дуги транспортной сети 1–2 и 1–2' описывают в модели один железнодорожный путь. Поскольку результатом расчета ТОП является список кратчайших маршрутов от начальной вершины до всех возможных конечных, тогда список вершин маршрута движения железнодорожного состава имеет следующий вид: {2, 1, 2', 3}, а список дуг – {2–1, 1–2', 2'–3}. Таким образом, при формировании маршрута движения железнодорожного состава по станции необходимо проводить дополнительную итерацию по удалению дополнительных дуг.

В случае обнаружения ограничения по вместимости у любого вытяжного железнодорожного пути осуществляется поиск и его замена на путь необходимой вместимости, при этом перепределяется часть маршрута до нового вытяжного пути. Результатом корректировки служит маршрут, в список дуг которого входят железнодорожные вытяжные пути с достаточной вместимостью для приема железнодорожного состава. Таким образом, при формировании маршрута движения железнодорожного состава по станции необходимо проводить проверку маршрута на наличие железнодорожных вытяжных путей в списке дуг.

Традиционно маршруты движения объектов по результатам расчета ТОП формируются в виде списка вершин. При использовании этого способа

представления данных о маршруте наблюдается увеличение количества итераций по идентификации вытяжных железнодорожных путей, а также местонахождения подвижного состава. Поэтому в построенных имитационных моделях использовался переопределенный на железнодорожные пути алгоритм поиска оптимальных маршрутов движения подвижного состава по предлагаемой транспортной сети железнодорожной станции.

Адаптивность использования графа маршрутизации при решении задачи оптимизации перевозок на железнодорожной станции достигается

применением предлагаемых алгоритмов формирования и поиска оптимальных маршрутов движения подвижного состава по разработанной транспортной сети. Использование разработанной методики формирования транспортной сети при решении задачи поиска оптимальных маршрутов движения железнодорожных составов позволит повысить точность планирования обработки поездов и адаптивность управления железнодорожной станцией, а также расширит возможность комплексного применения имитационного моделирования и методов оптимизации при построении цифровых двойников. ■

### Литература

1. Euler L. Solutio problem at is ad geometria situs pertinentis // *Commentarii academiae scientiarum Petropolitanae*. – 1741. – Volume 8. – P. 128–140.
2. Richard J. Trudeau. *Introduction to Graph Theory*. – Corrected, enlarged republication. – New York, 1993. – 76 p. ISBN 978-0-486-67870-2.
3. Dijkstra E. W. A note on two problems in connexion with graphs; *Numer. Math: F. Brezzi-Springer-Verlag*. 1959. Vol. 1. Iss. 1. – P. 269–271. ISSN 0029-599X; 0945-3245.
4. S. E. Dreyfus. An appraisal of some shortest-path algorithms // *Operations Research*. – 1969. – Vol. 17 (3). – P. 395–412.
5. El-Sherbeny, Nasser A. The Algorithm of the Time-Dependent Shortest Path Problem with Time Windows // *Applied Mathematics*. – 2014. – Vol. 05 (17). – P. 2764–2770. ISSN 2152-7393.
6. Ahuja, R., Magnanti, T. and Orlin, J. *Network Flows: Theory, Algorithms, and Applications* // Prentice-Hall, Upper Saddle River, 1993. – 846 p. ISBN 978-0-13617-549-0.
7. A. Orda and R. Rom. Shortest-path and minimum delay algorithms in networks with time-dependent edge-length // *Journal of the ACM*. – 1990. – Vol. 37 (3). – P. 607–625.
8. K. Nachtigall. Time depending shortest-path problems with applications to railway networks // *European Journal of Operational Research*. – 1995. – Vol. 83 (1). – P. 154–166.
9. X. Cai, T. Kloks, and C. K. Wong. Time-varying shortest path problems with constraints // *Networks*. – 1997. – 29 (3). – P. 141–150.
10. H. D. Sherali, K. Ozbay, and S. Subramanian. The time-dependent shortest pair of disjoint paths problem: Complexity, models, and algorithms // *Networks*. – 1998. – Vol. 31 (4). – P. 259–272.
11. I. Chabini. Discrete dynamic shortest path problems in transportation applications: Complexity and algorithms with optimal run time // *Transportation Research Record: Journal of the Transportation Research Board*. – 1998. – P. 170–175.
12. E. Kanoulas, Y. Du, T. Xia, and D. Zhang. Finding fastest paths on a road network with speed patterns / *Proceedings of the 22st International Conference on Data Engineering (ICDE)* // *IEEE Computer Society*, 2006. – 10 p. ISBN 0-7695-2570-9
13. B. Ding, J. X. Yu, and L. Qin. Finding timedependent shortest paths over large graphs / *Proceedings of the 11th International Conference on Extending Database Technology: Advances in Database Technology* // *Association for Computing Machinery*, New York, NY, USA, 2008. – P. 205–216. ISBN 978-1-59593-926-5.
14. B. C. Dean. Continuous-time dynamic shortest path algorithms: Master's thesis // *Massachusetts Institute of Technology*, 1999. – 117 p.
15. Foschini, Luca; Hersherberger, John; Suri, Subhash. On the Complexity of Time-Dependent Shortest Paths. // *Algorithmica*. – 2014. – Vol. 68 (4). – P. 1075–1097. ISSN 1432-0541.

16. Gilbert Laporte, Stefan Ropke, and Thibaut Vidal. Heuristics for the vehicle routing problem // *Vehicle Routing: Problems, Methods, and Applications*, 2014. – Chapter 4. – P. 87–116. ISBN 978-1-61197-358-7.
17. Anand Subramanian, Eduardo Uchoa, and Luiz Satoru Ochi. A hybrid algorithm for a class of vehicle routing problems // *Computers & Operations Research*. – 2013. – Vol. 40 (10). – P. 2519–2531. ISSN 0305-0548.
18. Florian Arnold and Kenneth Sorensen. Knowledge – guided local search for the vehicle routing problem // *Computers & Operations Research*. – 2019. – Vol. 105. – P. 32–46. ISSN 0305-0548.
19. Thibaut Vidal, Teodor Gabriel Crainic, Michel Gendreau, Nadia Lahrichi, and Walter Rei. A hybrid genetic algorithm for multidepot and periodic vehicle routing problems // *Operations Research*. – 2012. – Vol. 60 (3). – P. 611–624. ISSN 1526-5463.
20. Jan Christiaens and Greet Vanden Berghe. Slack induction by string removals for vehicle routing problems // *Transportation Science*. – 2020. – Vol. 54 (2). – P. 417–433. ISSN 1526-5447.
21. Luca Accorsi and Daniele Vigo. A fast and scalable heuristic for the solution of large-scale capacitated vehicle routing problems: Technical report // *University of Bologna*, 2020. – 53 p.
22. Marcus Poggi and Eduardo Uchoa. New exact algorithms for the capacitated vehicle routing problem // *Vehicle Routing: Problems, Methods, and Applications*, 2014. – Second Edition, Chapter 3. – P. 59–86. ISBN 978-1-61197-358-7.
23. Luciano Costa, Claudio Contardo, and Guy Desaulniers. Exact branch-price-and-cut algorithms for vehicle routing // *Transportation Science*. – 2019. – Vol. 53 (4). – P. 946–985. ISSN 1526-5447.
24. Diego Pecin, Artur Pessoa, Marcus Poggi, and Eduardo Uchoa. Improved branch-cut-and-price for capacitated vehicle routing. In Jon Lee and Jens Vygen, editors / *Integer Programming and Combinatorial Optimization* // Springer International Publishing, Cham, 2014. – P. 393–403. ISBN 978-3-319-07557-0.
25. Artur Pessoa, Ruslan Sadykov, Eduardo Uchoa, and Francisco Vanderbeck. A generic exact solver for vehicle routing and related problems // *Mathematical Programming*. – 2020. – Vol. 183 (1). – P. 483–523. ISSN 1436-4646.
26. Laetitia Jourdan, Matthieu Basseur, and E-G Talbi. Hybridizing exact methods and metaheuristics: A taxonomy // *European Journal of Operational Research*. – 2009. – Vol. 199 (3). – P. 620–629. ISSN 0377-2217.
27. Claudia Archetti and M. Grazia Speranza. A survey on matheuristics for routing problems // *EURO Journal on Computational Optimization*. – 2014. – Vol. 2 (4). P. 223–246. ISSN 2192-4414.
28. Valeria Leggieri and Mohamed Haouari. A matheuristic for the asymmetric capacitated vehicle routing problem // *Discrete Applied Mathematics*. – 2018. – Vol. 234. – P. 139–150. ISSN 0166-218X.
29. Alexandrov, A.; Bannikov, D.; Sirina, N. Agent-based modeling of service maintenance and repair of rolling stock // *IOP Conference Series: Earth and Environmental Science*. – 2019. – Vol. 403. – P. 12193. ISSN 1755-1315.
30. Bažant, Michael; Kavička, Antonín; Diviš, Roman; Varga, Michal. Simulation-Based Rail Traffic Optimizations Applying Multicriterial Evaluations of Variants // *Mendel*. – 2019. – Vol. 25 (1). – P. 139–146. ISSN 2571-3701.
31. Moeinaddini, Amin; Shafahi, Yousef; Hasany, Reza Mohammad. A simulation model for train movements in the rail network // *Proceedings of the Institution of Civil Engineers – Transport*. – 2019. – Vol. 172 (3). P. 152–163. ISSN 1751-7710.
32. Joffe, A. D., & Wiggins, M. W. Cross-task cue utilization and situational awareness in learning to manage a simulated rail control task // *Applied Ergonomics*. – 2020. – Vol. 89. ISSN 0003-6870.
33. Li, Shengdong; Lv, Hongxia; Xu, Changan; Chen, Tao; Zou, Congcong. Optimized Train Path Selection Method for Daily Freight Train Scheduling // *IEEE Access*. – 2020. – Vol. 8. – P. 40777–40790. ISSN 2169-3536.
34. Wang, Jinghui; Ghanem, Ahmed; Rakha, Hesham; Du, Jianhe. A rail transit simulation system for multi-modal energy-efficient routing applications // *International Journal of Sustainable Transportation*. – 2020. – Vol. 74. – P. 1–16. ISSN 1556-8334.

35. Осинцев Н. А., Рахмангулов А. Н. Управление вагонопотоками в промышленных транспортных системах // Вестник Магнитогорского государственного технического университета им. Г. И. Носова. – 2013. – № 1 (41). – С. 16–20. ISSN 2412-9003.
36. Chislov O., Zadorozhniy V., Lomash D., Chebotareva E., Solop I., Bogachev T. Methodological Bases of Modeling and Optimization of Transport Processes in the Interaction of Railways and Maritime Transport: Modern Traffic Engineering in the System Approach to the Development of Traffic Networks: Advances in Intelligent Systems and Computing, Springer, 2020. – Vol. 1083. – P. 79–89. ISBN 978-3-030-34069-8.
37. Козлов П. А., Вакуленко С. П., Колокольников В. С. О построении интеллектуальных систем управления железнодорожными станциями // Наука и техника транспорта. – 2019. – № 2. – С. 70–76. ISSN 2074-9325.
38. Колокольников В.С., Слободянюк И.Г. Технология макро моделирования полигонов // Транспорт Урала. – 2019. – № 3 (62). – С. 48–51. ISSN 1815-9400.
39. Шмудевич М.И., Стариков А.Е. Особенности нормирования маневровой работы в имитационной модели станции // Мир транспорта. – 2015. – № 5 (60). – С. 198–212. ISSN 1992-3252.
40. Rakhmangulov, Aleksandr; Śladkowski, Aleksander; Osintsev, Nikita; Mishkurov, Pavel; Muravev, Dmitri. Dynamic Optimization of Railcar Traffic Volumes at Railway Nodes: Rail Transport-Systems Approach: Springer International Publishing (Studies in Systems, Decision and Control), 2017. – Vol. 87. – P. 405–456. ISBN978-3-319-51502-1.
41. Yang, Zhonggao; Xiang, Dan; Cheng, Yili. VR Panoramic Technology in Urban Rail Transit Vehicle Engineering Simulation System // IEEE Access. – 2020. – Vol. 8. – P. 140673–140681. ISSN 2169-3536.
42. Александров А. Э., Сурин А. В., Шипулин А. В. Использование имитационных моделей в оперативном планировании поездной работы // Вестник Ростовского государственного университета путей сообщения. – 2015. – № 4 (60). – С. 65–72. ISSN 0201-727X.
43. Динамическая оптимизация вагонопотоков / П. Н. Мишкурлов, А. Н. Рахмангулов. – М. : Русайнс, 2017. – 110 с. ISBN 978-5-4365-1820-6.
44. Рахмангулов А. Н. Железнодорожные транспортно–технологические системы: организация функционирования : монография / А. Н Рахмангулов, П. Н. Мишкурлов, О. А. Копылова. – Магнитогорск : Изд-во Магнитогорск. гос. техн. ун-та им. Г. И. Носова, 2014. – 300 с. ISBN 978-5-9967-0459-0.
45. Хабаров В. И. Создание имитационной модели движения поездов с использованием мультиагентного и дискретно-событийного подходов на примере Западно-Сибирской железной дороги / В. И. Хабаров, К. В. Красникова // Известия Транссиба. – 2017. – № 3 (31). – С. 143–154. ISSN 2220-4245.
46. Калинина А. Р. Разработка имитационной модели узловой технической станции // Транспорт Азиатско-Тихоокеанского региона. – 2015. – № 2 (4). – С. 39–46. – ISSN 2415-8658.
47. Меркулов А. В., Годяев А. И. Некоторые аспекты имитационного моделирования инфраструктуры железнодорожного участка // Вестник Тихоокеанского государственного университета. – 2015. – № 4 (39). – С. 109–116. ISSN 1996-3440.

#### Literature

1. Euler L. Solutio problem at is ad geometria situs pertinentis // Commentarii academiae scientiarum Petropolitanae. – 1741. – Volume 8. – P. 128–140.
2. Richard J. Trudeau. Introduction to Graph Theory. – Corrected, enlarged republication. – New York, 1993. – 76 p. ISBN 978-0-486-67870-2.
3. Dijkstra E. W. A note on two problems in connexion with graphs: Numer. Math: F. Brezzi-Springer-Verlag. 1959. Vol. 1. Iss. 1. – P. 269–271. ISSN 0029-599X; 0945-3245.
4. S. E. Dreyfus. An appraisal of some shortest-path algorithms // Operations Research. – 1969. – Vol. 17 (3). – P. 395–412.
5. El-Sherbeny, Nasser A. The Algorithm of the Time-Dependent Shortest Path Problem with Time Windows // Applied Mathematics. – 2014. – Vol. 05 (17). – P. 2764–2770. ISSN 2152-7393.
6. Ahuja, R., Magnanti, T. and Orlin, J. Network Flows: Theory, Algorithms, and Applications // Prentice-Hall, Upper Saddle River, 1993. – 846 p. ISBN 978-0-13617-549-0.

7. A. Orda and R. Rom. Shortest-path and minimum delay algorithms in networks with time-dependent edge-length // *Journal of the ACM*. – 1990. – Vol. 37 (3). – P. 607–625.
8. K. Nachtigall. Time depending shortest-path problems with applications to railway networks // *European Journal of Operational Research*. – 1995. – Vol. 83 (1). – P. 154–166.
9. X. Cai, T. Kloks, and C. K. Wong. Time-varying shortest path problems with constraints // *Networks*. – 1997. – 29 (3). – P. 141–150.
10. H. D. Sherali, K. Ozbay, and S. Subramanian. The time-dependent shortest pair of disjoint paths problem: Complexity, models, and algorithms // *Networks*. – 1998. – Vol. 31 (4). – P. 259–272.
11. I. Chabini. Discrete dynamic shortest path problems in transportation applications: Complexity and algorithms with optimal run time // *Transportation Research Record: Journal of the Transportation Research Board*. – 1998. – P. 170–175.
12. E. Kanoulas, Y. Du, T. Xia, and D. Zhang. Finding fastest paths on a road network with speed patterns / *Proceedings of the 22st International Conference on Data Engineering (ICDE)* // *IEEE Computer Society*, 2006. – 10 p. ISBN 0-7695-2570-9
13. B. Ding, J. X. Yu, and L. Qin. Finding timedependent shortest paths over large graphs / *Proceedings of the 11th International Conference on Extending Database Technology: Advances in Database Technology* // *Association for Computing Machinery*, New York, NY, USA, 2008. – P. 205–216. ISBN 978-1-59593-926-5.
14. B. C. Dean. Continuous-time dynamic shortest path algorithms: Master's thesis // *Massachusetts Institute of Technology*, 1999. – 117 p.
15. Foschini, Luca; Hershberger, John; Suri, Subhash. On the Complexity of Time-Dependent Shortest Paths. // *Algorithmica*. – 2014. – Vol. 68 (4). – P. 1075–1097. ISSN 1432-0541.
16. Gilbert Laporte, Stefan Ropke, and Thibaut Vidal. Heuristics for the vehicle routing problem // *Vehicle Routing: Problems, Methods, and Applications*, 2014. – Chapter 4. – P. 87–116. ISBN 978-1-61197-358-7.
17. Anand Subramanian, Eduardo Uchoa, and Luiz Satoru Ochi. A hybrid algorithm for a class of vehicle routing problems // *Computers & Operations Research*. – 2013. – Vol. 40 (10). – P. 2519–2531. ISSN 0305-0548.
18. Florian Arnold and Kenneth Sorensen. Knowledge-guided local search for the vehicle routing problem // *Computers & Operations Research*. – 2019. – Vol. 105. – P. 32–46. ISSN 0305-0548.
19. Thibaut Vidal, Teodor Gabriel Crainic, Michel Gendreau, Nadia Lahrichi, and Walter Rei. A hybrid genetic algorithm for multidepot and periodic vehicle routing problems // *Operations Research*. – 2012. – Vol. 60 (3). – P. 611–624. ISSN 1526-5463.
20. Jan Christiaens and Greet Vanden Berghe. Slack induction by string removals for vehicle routing problems // *Transportation Science*. – 2020. – Vol. 54 (2). – P. 417–433. ISSN 1526-5447.
21. Luca Accorsi and Daniele Vigo. A fast and scalable heuristic for the solution of large-scale capacitated vehicle routing problems: Technical report // *University of Bologna*, 2020. – 53 p.
22. Marcus Poggi and Eduardo Uchoa. New exact algorithms for the capacitated vehicle routing problem // *Vehicle Routing: Problems, Methods, and Applications*, 2014. – Second Edition, Chapter 3. – P. 59–86. ISBN 978-1-61197-358-7.
23. Luciano Costa, Claudio Contardo, and Guy Desaulniers. Exact branch-price-and-cut algorithms for vehicle routing // *Transportation Science*. – 2019. – Vol. 53 (4). – P. 946–985. ISSN 1526-5447.
24. Diego Pecin, Artur Pessoa, Marcus Poggi, and Eduardo Uchoa. Improved branch-cut-and-price for capacitated vehicle routing. In Jon Lee and Jens Vygen, editors / *Integer Programming and Combinatorial Optimization* // *Springer International Publishing*, Cham, 2014. – P. 393–403. ISBN 978-3-319-07557-0.
25. Artur Pessoa, Ruslan Sadykov, Eduardo Uchoa, and Françoise Vanderbeck. A generic exact solver for vehicle routing and related problems // *Mathematical Programming*. – 2020. – Vol. 183 (1). – P. 483–523. ISSN 1436-4646.
26. Laetitia Jourdan, Matthieu Basseur, and E-G Talbi. Hybridizing exact methods and metaheuristics: A taxonomy // *European Journal of Operational Research*. – 2009. – Vol. 199 (3). – P. 620–629. ISSN 0377-2217.
27. Claudia Archetti and M. Grazia Speranza. A survey on matheuristics for routing problems // *EURO Journal on Computational Optimization*. – 2014. – Vol. 2 (4). P. 223–246. ISSN 2192-4414.



28. Valeria Leggieri and Mohamed Haouari. A matheuristic for the asymmetric capacitated vehicle routing problem // *Discrete Applied Mathematics*. – 2018. – Vol. 234. – P. 139–150. ISSN 0166-218X.
29. Alexandrov, A.; Bannikov, D.; Sirina, N. Agent-based modeling of service maintenance and repair of rolling stock // *IOP Conference Series: Earth and Environmental Science*. – 2019. – Vol. 403. – P. 12193. ISSN 1755-1315.
30. Bažant, Michael; Kavička, Antonín; Diviš, Roman; Varga, Michal. Simulation-Based Rail Traffic Optimizations Applying Multicriterial Evaluations of Variants // *Mendel*. – 2019. – Vol. 25 (1). – P. 139–146. ISSN 2571-3701.
31. Moeinaddini, Amin; Shafahi, Yousef; Hasany, Reza Mohammad. A simulation model for train movements in the rail network // *Proceedings of the Institution of Civil Engineers – Transport*. – 2019. – Vol. 172 (3). P. 152–163. ISSN 1751-7710.
32. Joffe, A. D., & Wiggins, M. W. Cross-task cue utilization and situational awareness in learning to manage a simulated rail control task // *Applied Ergonomics*. – 2020. – Vol. 89. ISSN 0003-6870.
33. Li, Shengdong; Lv, Hongxia; Xu, Changan; Chen, Tao; Zou, Congcong. Optimized Train Path Selection Method for Daily Freight Train Scheduling // *IEEE Access*. – 2020. – Vol. 8. – P. 40777–40790. ISSN 2169-3536.
34. Wang, Jinghui; Ghanem, Ahmed; Rakha, Hesham; Du, Jianhe. A rail transit simulation system for multi-modal energy-efficient routing applications // *International Journal of Sustainable Transportation*. – 2020. – Vol. 74. – P. 1–16. ISSN 1556-8334.
35. Osintsev N. A., Rakhmangulov A. N. Management of wagon flows in industrial transport systems // *Bulletin of the Magnitogorsk State Technical University named after G. I. Nosov. [Upravlenie vagonopotokami v promyshlennykh transportnykh sistemakh // Vestnik Magnitogorskogo gosudarstvennogo tekhnicheskogo universiteta im. G.I. Nosova.]* – 2013. – № 1 (41). – Pp. 16–20. ISSN 2412-9003.
36. Chislov O., Zadorozhnyi V., Lomash D., Chebotareva E., Solop I., Bogachev T. Methodological Bases of Modeling and Optimization of Transport Processes in the Interaction of Railways and Maritime Transport: Modern Traffic Engineering in the System Approach to the Development of Traffic Networks: Advances in Intelligent Systems and Computing, Springer, 2020. – Vol. 1083. – P. 79–89. ISBN 978-3-030-34069-8.
37. Kozlov P. A., Vakulenko S. P., Kolokolnikov V. S. On the construction of intelligent control systems for railway stations // *Science and Technology of transport. [O postroenii intellektual'nykh sistem upravleniya zheleznodorozhnymi stantsiyami // Nauka i tekhnika transporta.]* – 2019. – No. 2. – pp. 70–76. ISSN 2074-9325.
38. Kolokolnikov V. S., Slobodyanyuk I. G. Technology of macro-modeling of polygons // *Transport of the Urals. [Tekhnologiya makromodelirovaniya poligonov // Transport Urala.]* – 2019. – № 3 (62). – Pp. 48–51. ISSN 1815-9400.
39. Shmulevich M. I., Starikov A. E. Features of normalization of shunting work in the station simulation model // *The world of transport. [Osobennosti normirovaniya manevrovoj raboty v imitatsionnoj modeli stantsii // Mir transporta.]* – 2015. – № 5 (60). – Pp. 198–212. ISSN 1992-3252.
40. Rakhmangulov, Aleksandr; Śladkowski, Aleksander; Osintsev, Nikita; Mishkurov, Pavel; Muravev, Dmitri. Dynamic Optimization of Railcar Traffic Volumes at Railway Nodes: Rail Transport-Systems Approach: Springer International Publishing (Studies in Systems, Decision and Control), 2017. – Vol. 87. – P. 405–456. ISBN 978-3-319-51502-1.
41. Yang, Zhonggao; Xiang, Dan; Cheng, Yili. VR Panoramic Technology in Urban Rail Transit Vehicle Engineering Simulation System // *IEEE Access*. – 2020. – Vol. 8. – P. 140673–140681. ISSN 2169-3536.
42. Alexandrov A. E., Surin A. V., Shipulin A. V. The use of simulation models in operational planning of train work // *Bulletin of the Rostov State University of Railway Transport. [Ispol'zovanie imitatsionnykh modelej v operativnom planirovanii poezdnoj raboty // Vestnik Rostovskogo gosudarstvennogo universiteta putej soobshheniya.]* – 2015. – № 4 (60). – Pp. 65–72. ISSN 0201-727X.
43. Dynamic optimization of car traffic [Dinamicheskaya optimizatsiya vagonopotokov ] / P. N. Mishkurov, A. N. Rakhmangulov. – M. : Rusains, 2017. – 110 p. ISBN 978-5-4365-1820-6.
44. Rakhmangulov A. N. Railway transport and technological systems: organization of functioning: monograph [Zheleznodorozhnye transportno-tekhnologicheskie sistemy:

- organizatsiya funktsionirovaniya: monografiya] / A. N. Rakhmangulov, P. N. Mishkurov, O. A. Kopylova. – Magnitogorsk: Publishing house of Magnitogorsk. State Technical University. G. I. Nosov University, 2014. 300 p. ISBN978-5-9967-0459-0.
45. Khabarov V. I. Creation of a simulation model of train movement using multi-agent and discrete-event approaches on the example of the West Siberian Railway [Sozdanie imitatsionnoj modeli dvizheniya poezdov s ispol'zovaniem mul'tiagentnogo i diskretno-sobytiynogo podkhodov na primere Zapadno-Sibirskoj zheleznoj dorogi] / V. I. Khabarov, K. V. Krasnikova // News of the Transsib. – 2017. – № 3 (31). – Pp. 143–154. ISSN 2220-4245.
46. Kalinina A. R. Development of a simulation model of a nodal technical station [Razrabotka imitatsionnoj modeli uzlovoj tekhnicheskoy stantsii // Transport Aziatsko-Tikhookeanskogo regiona.] / / Transport of the Asia-Pacific region. – 2015. – № 2 (4). – Pp. 39–46. ISSN 2415-8658.
47. Merkulov A. V., Godyaev A. I. Some aspects of simulation modeling of the railway section infrastructure // Bulletin of the Pacific State University. [Nekotorye aspekty imitatsionnogo modelirovaniya infrastruktury zheleznodorozhnogo uchastka // Vestnik Tikhookeanskogo gosudarstvennogo universiteta.] – 2015. – № 4 (39). – Pp. 109–116. ISSN 1996-3440.

*Статья сдана в редакцию 11 июня 2021 года*



УДК 656.015

*О. А. Копылова, П. Н. Мишкuroв, А. А. Четвергова***Оценка целесообразности размещения парковочного пространства легковых автомобилей на основе имитационного моделирования**

UDC 656.015

*O. A. Kopylova, P. N. Mishkurov, A. A. Chetvergova***Assessment of feasibility of placing the parking space of passenger cars on the basis of simulation modeling****Аннотация**

В статье рассматриваются вопросы оценки развития парковочных систем легковых автомобилей в крупных городах на основе использования метода имитационного моделирования. С помощью программного обеспечения AnyLogic разработана имитационная модель оценки целесообразности размещения парковочного пространства. Предложенная имитационная модель моделирует движение транспортных средств на участке улично-дорожной

сети (УДС) и определяет количество автомобилей, которые не смогли припарковаться из-за отсутствия парковочных мест. В имитационную модель встроены три калькулятора. Первый калькулятор рассчитывает необходимое количество парковочных мест на основе нормативных значений в зависимости от назначения объекта, вблизи которого планируется парковочное пространство. Второй калькулятор позволяет определить предварительную стоимость проекта,

зависящую от типа парковочного пространства. Третий калькулятор оценивает эффективность проекта, изменяя такие показатели, как необходимое количество автомобилей, среднее время нахождения автомобилей в исследуемой системе, их среднюю скорость, количество остановок автомобилей. Использование разработанной модели позволяет определить изменения значений показателей транспортного потока и выбрать оптимальный вид парковочного

*Статья рекомендована к опубликованию К. В. Глембой, канд. техн. наук, доцентом Южно-Уральского государственного университета. E-mail: glemba77@mail.ru.*

**Олеся Александровна Копылова**, канд. техн. наук, доцент; кафедра «Логистика и управления транспортными системами» Магнитогорского государственного технического университета им. Г. И. Носова; г. Магнитогорск, Россия. E-mail: Olesya.k863@yandex.ru. ORCID 0000-0003-1435-7580.

**Павел Николаевич Мишкuroв**, канд. техн. наук, доцент; кафедра «Логистика и управления транспортными системами» Магнитогорского государственного технического университета им. Г. И. Носова; г. Магнитогорск, Россия. E-mail: p.mishkurov@magtu.ru. ORCID 0000-0001-9886-0575.

**Анастасия Александровна Четвергова**, магистрант; кафедра «Логистика и управления транспортными системами» Магнитогорского государственного технического университета им. Г. И. Носова; г. Магнитогорск, Россия. E-mail: anastasiyaaleksandrovna@mail.ru. ORCID 0000-0003-2654-7330.

*The article is recommended for publishing by K. V. Glemba, Candidate of Technical Sciences, Associate Professor of the South Ural State University. E-mail: glemba77@mail.ru.*

**Olesya Aleksandrovna Kopylova**, Candidate of Technical Sciences, Associate Professor; Department of Logistics and Management of Transport Systems of the Magnitogorsk State Technical University named after G. I. Nosov; Magnitogorsk, Russia. E-mail: Olesya.k863@yandex.ru. ORCID 0000-0003-1435-7580.

**Pavel Nikolayevich Mishkurov**, Candidate of Technical Sciences, Associate Professor; Department of Logistics and Management of Transport Systems of the Magnitogorsk State Technical University named after G. I. Nosov; Magnitogorsk, Russia. E-mail: p.mishkurov@magtu.ru. ORCID 0000-0001-9886-0575.

**Anastasiya Aleksandrovna Chetvergova**, Master's student; Department of Logistics and Management of Transport Systems of the Magnitogorsk State Technical University named after G. I. Nosov; Magnitogorsk, Russia. E-mail: anastasiyaaleksandrovna@mail.ru. ORCID 0000-0003-2654-7330.

пространства, основываясь на предварительной оценке ожидаемого экономического эффекта.

**Ключевые слова:** парковочное пространство, имитационное моделирование, уровень автомобилизации, тип парковки, транспортный поток.

DOI: 10.20291/2079-0392-2021-3-65-73

#### Abstract

The article deals with the issues of assessing the development of parking systems of passenger cars in large cities based on the use of the simulation modeling method. With the help of AnyLogic software,

a simulation model for evaluating the feasibility of parking space placement has been developed. The proposed simulation model simulates the movement of vehicles on a section of the road network (RN) and determines the number of cars that could not park due to the lack of parking spaces. Three calculators are built into the simulation model. The first calculator calculates the required number of parking spaces based on standard values, depending on the purpose of the object near which the parking space is planned. The second calculator allows you to determine the preliminary cost of the project, depending

on the type of parking space. The third calculator evaluates the efficiency of the project, changes such indicators as the required number of cars, the average time spent by cars in the system under study, their average speed, the number of car stops. Using the developed model allows you to determine changes in the values of traffic flow indicators and choose the optimal type of parking space, based on a preliminary assessment of the expected economic effect.

**Keywords:** parking space, simulation modeling, level of motorization, type of parking, traffic flow.

DOI: 10.20291/2079-0392-2021-3-65-73

С 2009-го по 2019-й гг. в России количество автомобилей на 1000 человек увеличилось с 219,4 до 315,5 [1]. Стремительное развитие личного автотранспорта и нехватка парковочных пространств приводят к возникновению стихийных неконтролируемых парковок на детских площадках, вдоль обочин, на тротуарах – это снижает пропускную способность и среднюю скорость потока, приводит к возникновению аварийных ситуаций.

Комплексный подход к политике паркирования в крупных городах путем формирования организованных парковочных пространств и запрета на несанкционированное размещение автомобилей позволяет снизить аварийность участка почти на 20 %, увеличить пропускную способность на 30–45 % и в целом улучшить качество городской среды [2–8].

Организация парковочных пространств в городе связана с решением таких вопросов, как выбор места размещения парковок и определение требуемого количества машиномест с последующей оценкой допустимости размещения парковок.

Для оценки целесообразности размещения парковочного пространства чаще всего используют имитационное моделирование. Моделирование работы рассматриваемого участка УДС позволяет без первоначальных капитальных вложений в строительство парковок проанализировать их влияние на изменение, например, пропускной способности участка, дает возможность оценить соответствие количества парковочных мест прогнозным значениям уровня автомобилизации через несколько лет.

Модель организации парковок в крупном городе на основе пространственно-точного моделирования позволяет определять влияние различных пространственных сценариев на организацию парковок [9]; здесь моделируется поведение каждого водителя, участвующего в парковании автомобиля, а автомобили находятся в пространстве, которое моделируется реальными слоями геоинформационной системы.

Исследование влияния стохастических процессов на проблему организации парковочных пространств предложено в работе [10]. Модель в виде многофазной системы массового



Рис. 1. Модель организации парковочного пространства в 2D- и 3D-режимах

обслуживания с входящим потоком определяет необходимое количество въездов и выездов. Результатом работы модели служат статистические вероятностные характеристики моделируемой парковочной территории.

При формировании парковочных пространств нужно не только оценивать целесообразность размещения парковок с точки зрения влияния на городскую транспортную систему, но и выбор их вида с учетом определения экономической эффективности проекта. Сравнительный анализ разработок в области имитационного моделирования парковочных пространств показал, что в основном исследуется влияние их создания на один из показателей транспортного потока; существующие модели не определяют оптимальный тип парковки (подземная, надземная, многоуровневая и т. д.) с учётом экономического эффекта от размещения объекта [12].

Соответственно, возникает потребность создания имитационной модели, которая ещё на этапе экспериментов выполняет предварительную экономическую оценку целесообразности размещения парковочного пространства путем изменения параметров транспортного потока и типа парковки.

Нами с использованием программного обеспечения имитационного моделирования Any Logic разработана

имитационная модель типового перекрёстка с однополосным движением в каждом направлении. При запуске модели можно выбрать 2D- или 3D-вариант отображения (рис. 1).

В 3D-модели создан режим «Camera on random car», позволяющий ощутить себя участником дорожного движения (рис. 2). Участок УДС, обозначенный красным цветом, указывает, что скорость движения транспортных средств здесь не превышает 10 км/ч.

На начальном этапе работы необходимо собрать и подготовить исходные данные, которые учитывают особенности выбранного участка УДС и включают в себя значения следующих параметров и показателей транспортного



Рис. 2. Режим «Camera on random car»

потока: скорость движения (CarSource), интенсивность прибытия транспорта и его распределение (selectOutput), среднее время нахождения транспортного средства на парковке (delay), значение работы светофора (trafficLight).

В логической части (рис. 3) моделируется движение транспортных средств с помощью дорожной библиотеки Any Logic. Блок CarSource(n) показывает, сколько автомобилей выехало с каждого направления. Значения скорости и количества прибывающих автомобилей в час задаётся для каждого направления вручную, что позволяет точнее моделировать работу реального перекрёстка; SelectOutput(n) отвечает за распределение потока по всем направлениям к блокам CarMoveTo(n). Распределение может быть стохастическим, вероятностным или заданным вручную; CarMoveTo(n) отображает, сколько

автомобилей перемещалось и перемещаются в настоящий момент по каждому направлению; CarDispose удаляет машины из модели.

За моделирование парковочного процесса отвечает SelectOutput(n), распределяющий поток автомобилей, которым необходима парковка и которые в ней не нуждаются. Задаётся стохастически или вероятностно. Снизу отображается количество авто, нуждающихся в парковке, справа – следующих в другом направлении; CarMoveToпарков(n) – один из наиболее важных блоков, позволяющий определить количество автомобилей, которым требовалась парковка, но не было свободных мест (количество указано под красной стрелкой). Такие авто повышают вероятность аварийных ситуаций, совершая лишние маневры, замедляют скорость потока; delay(n) моделирует

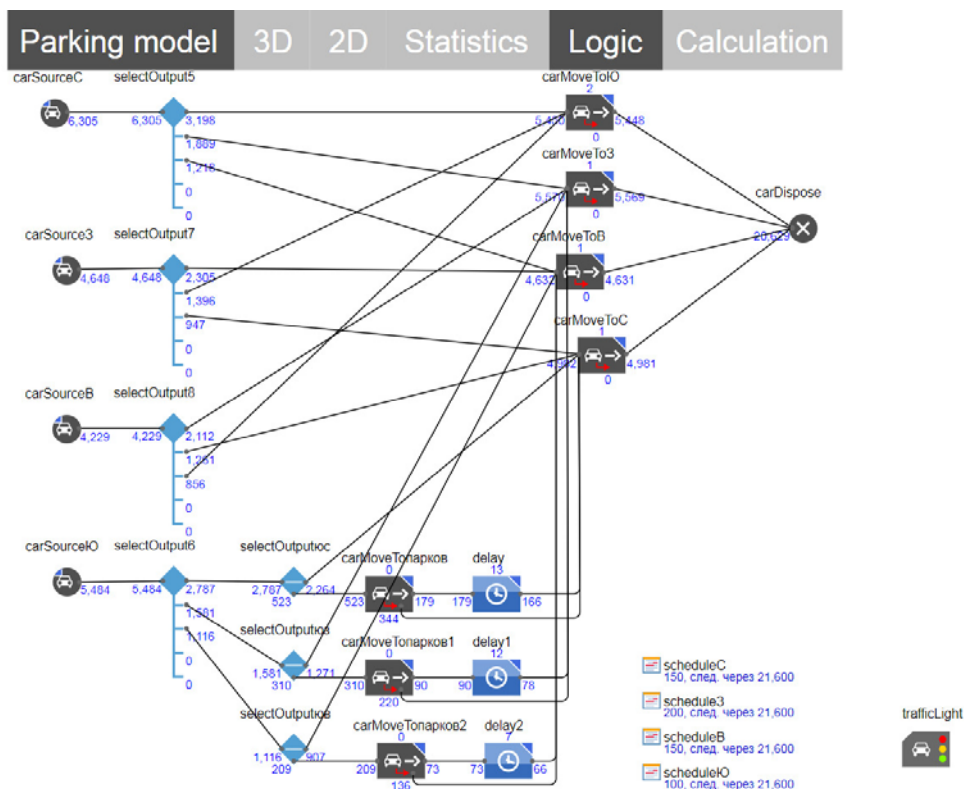


Рис. 3. Логическая часть имитационной модели оценки целесообразности размещения парковочных мест



длительность нахождения авто на парковке (задаётся в настройках блока с помощью функции «triangular(n)»). Количество авто, находящихся на парковке, отображается сверху блока.

Для определения потребного количества парковочных мест и оценки коммерческой эффективности проекта в модели встроены калькуляторы (рис. 4).

Принцип расчетов калькулятора количества парковочных мест основан на [13]. Для расчетов требуется внести значения для таких параметров, как суммарная поэтажная площадь объекта посещения (поле «Суммарная\_поэтажная\_площадь»), уровень урбанизации региона (поле «уровень\_урбанизации\_коэф»), вид жилого объекта (поле «машино-мест\_на\_кв\_м»), соотношение дневного и постоянно проживающего населения («обеспеч\_парковок\_пост\_хран\_коэф»), коэффициент доступности общественного транспорта («коэф\_доступности\_общест\_транспорта»), нормативное количество машино-мест в зависимости от использования объекта (поле «ММ\_на\_колич\_расчетных\_ед.»).

Для проживания населения («обеспеч\_парковок\_пост\_хран\_коэф»), коэффициент доступности общественного транспорта («коэф\_доступности\_общест\_транспорта»), нормативное количество машино-мест в зависимости от использования объекта (поле «ММ\_на\_колич\_расчетных\_ед.»).

Для оценки коммерческой эффективности проекта в модель встроены калькулятор расчета предварительной стоимости строительства парковки. На основе данных о среднерыночной стоимости строительства парковки (зависит от типа парковочного пространства), годовых эксплуатационных затрат («годовые\_затраты»), стоимости парковки автомобиля за час («часовая\_стоимость»), количестве часов использования парковочных мест в год

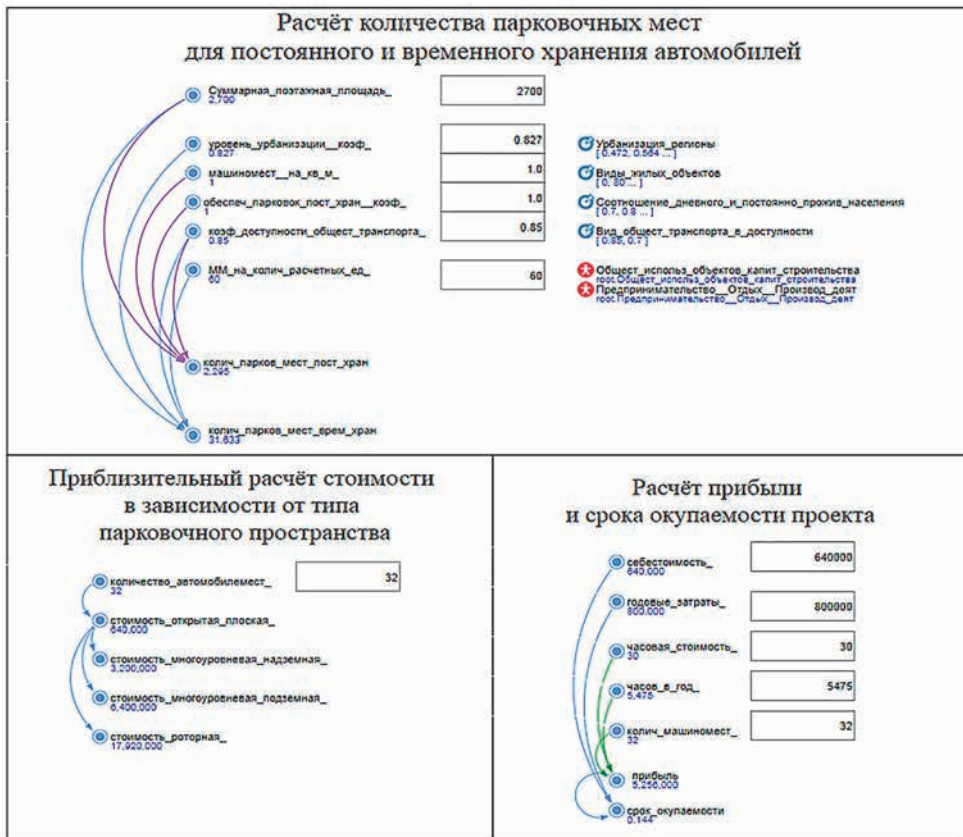


Рис. 4. Калькуляторы имитационной модели оценки целесообразности размещения парковочных мест

(«часов\_в\_год\_») рассчитываются предварительная стоимость проекта, прибыль и срок окупаемости.

Комплексная оценка эффективности проекта основана на возможности отслеживания изменения следующих показателей (рис. 5): количество автомобилей (график «Cars in system») и среднее время их нахождения в системе («Average time in system, seconds»); средняя скорость транспортного потока («Average speed, km/h»); количество остановок автомобилей («Stops count per car»); количество автомобилей, которым была необходима остановка или стоянка, но свободные места отсутствовали (такие транспортные средства повышают вероятность аварийных ситуаций, совершая лишние маневры и замедляя скорость потока).

Для проверки правильности разработанной имитационной модели смоделирована ситуация заезда на исследуемое парковочное пространство УДС с южного направления. Время

эксплуатации парковки стохастическое и задано функцией треугольного распределения «triangular (20, 240, 120)», единица измерения – минуты, т. е. автомобили задерживаются на парковке от 20 до 240 мин, с большей вероятностью – 120 мин. Исходные данные представлены в таблице 1.

Далее с использованием калькулятора рассчитывается потребное количество парковочных мест. Для анализируемого объекта необходимо 32 парковочных места (рис. 5) вместо существующих 12. Предварительная стоимость строительства надземной парковки открытого типа составит 640 тыс. руб. Годовая прибыль – 5256 тыс. руб., срок окупаемости – 0,144 года, или 52,56 дня.

Для проверки точности получаемых значений проведены четыре эксперимента (с 12-ю и 32-мя парковочными местами), заданы среднесуточные значения интенсивности движения и интенсивность движения по расписанию. Длительность проведения

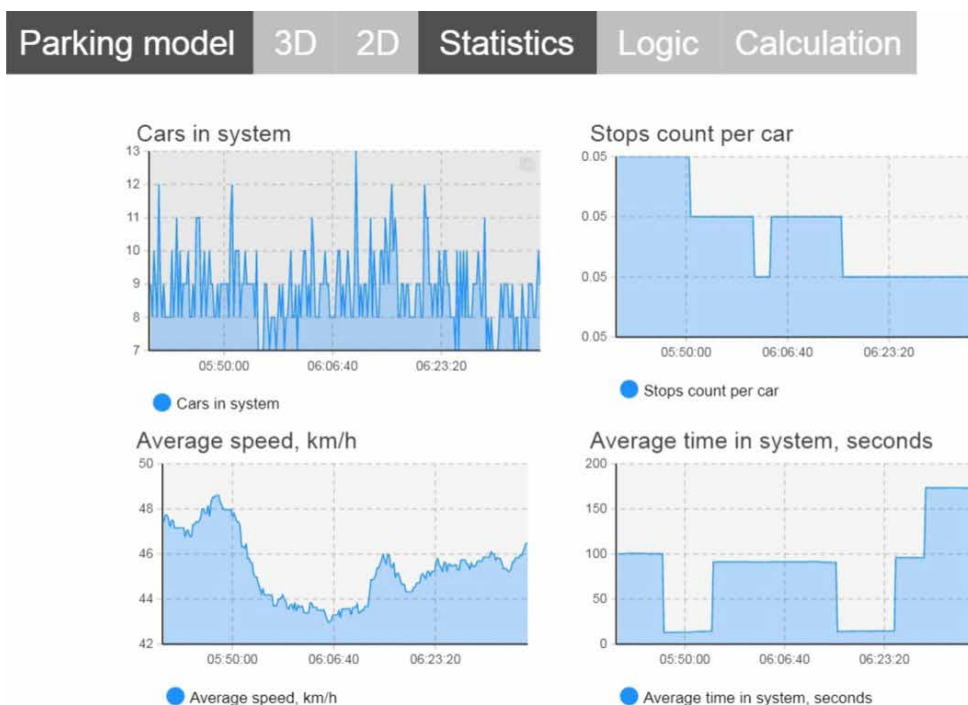


Рис. 5. Статистика изменения показателей транспортного потока

Таблица 1

Исходные данные для расчёта потребного количества парковочных мест  
временного хранения

Параметр	Значение
Исходное количество парковочных мест, ед.	12
Суммарная поэтажная площадь помещения, м <sup>2</sup>	2700
Коэффициент уровня урбанизации (на примере Челябинской области)	0,827
Коэффициент доступности общественного транспорта	0,85
Нормативное количество машиномест в зависимости от использования объекта, мм/м <sup>2</sup>	60
Тип парковки	Открытая плоская
Годовые затраты, тыс. руб.	800
Часовая стоимость, руб.	30
Эксплуатация, ч/год.	5475

Таблица 2

Результаты проведения экспериментов

Парковочные места, кол-во	Автомобили, кол-во	Остановки автомобилей, средн., кол-во	Скорость транспортного потока, средн., км/ч	Время нахождения автомобилей в системе, средн., с
По среднесуточной интенсивности				
12	16,51	0,37	34,38	19,65
32	35,96	0,39	35,10	21,51
По расписанию интенсивности				
12	15,84	0,45	36,02	19,56
32	35,34	0,49	35,61	20,81

эксперимента – 24 ч. Результаты проведенных экспериментов приведены в таблице 2.

Согласно таблице 2, для одинакового количества парковочных мест значения анализируемых показателей, несмотря на способ представления интенсивности (по расписанию или среднесуточное значение), отличаются незначительно, что подтверждает адекватность и точность результатов моделирования.

Таким образом, разработанная имитационная модель позволяет не только

оценить потребность в создании парковочных мест на выбранном участке УДС, но и оценить потребность в расширении парковочного пространства для уже существующих объектов, а также определить изменения значений параметров транспортного потока. Предложенная имитационная модель позволит выбрать оптимальный тип парковочного пространства для получения ожидаемой прибыли в случае коммерциализации проекта. ■

#### Литература

1. Российский статистический ежегодник. 2019 : Стат. сб./Росстат. – Р76. – М., 2019. – 708 с. ISBN 978-5-89476-473-3.
2. Галкина Н. Г., Сафронов Э. Э. Зарубежный опыт организации парковок // Вестник Харьковского национального автомобильно-дорожного университета. 2009. № 47. С. 19–22. ISSN 2219-5548.



3. Стадничук Н. Н., Ямилова В. В. Особенности проектирования парковок в условиях современной городской // История и педагогика естествознания. 2015. № 4. С. 54–56. ISSN 2226-2296.
4. Жиндаева В. В. Стихийные парковки: статистика и проблемы // Международный журнал гуманитарных и естественных наук. 2016. № 1-1. С. 9–13. ISSN 2500-1000.
5. Хомченко А. Н., Осинцев Н. А. Ресурсоэкономичность транспортных систем городов // Современные проблемы транспортного комплекса России. 2012. № 2. С. 134–139. ISSN 2222-9396.
6. Николаева А. И., Каримова Д. К., Багинова В. В. Транспортная система России в современных условиях // Современные проблемы транспортного комплекса России. 2011. № 1. С. 7–13. ISSN 2222-9396.
7. Пыталова О. А. Анализ и систематизация факторов, влияющих на параметры городских транспортных потоков // Транспорт Урала. 2009. № 4 (23). С. 19–21. ISSN 1815-9400.
8. Копылова О. А., Четвергова А. А. Исследование организации паркирования легковых автомобилей в городах // Актуальные проблемы современной науки, техники и образования. – Магнитогорск : Изд-во Магнитогорск. гос. техн. ун-та им. Г. И. Носова, 2020. С. 37.
9. Патракеев И. М., Жуков В. Е., Леонтьева О. Г. Организация парковок в крупном городе на основе пространственно-точного моделирования // Ученые записки Крымского федерального университета имени В. И. Вернадского. География. Геология. 2010. № 2. URL: <https://cyberleninka.ru/article/n/organizatsiya-parkovok-v-krupnom-gorode-na-osnove-prostranstvenno-tochnogo-modelirovaniya> (дата обращения: 06.04.2021). ISSN 2413-1717.
10. Петров Е. Д., Моисеев А. Н. Стохастическое моделирование территории парковки автомобилей // Математическое и программное обеспечение информационных, технических и экономических систем : матер. VI Междунар. молодежной научн. конф. Томск, 24–26 мая 2018 года / Институт прикладной математики и компьютерных наук Томского государственного университета ; под общ. ред. И. С. Шмырина. Томск : Изд. дом Томского государственного университета, 2018. С. 172–177.
11. Nikhil Joshi. Smart Parking in Pune, India (beta version) [Электронный ресурс] // Anylogic Cloud: архив публичных моделей, созданных в Anylogic. URL: <https://cloud.anylogic.com/model/f648b605-35f0-4371-a8ea-876086d603e5?mode=SETTINGS> (дата обращения: 29.04.2021).
12. Четвергова А. А., Копылова О. А. Разработка мероприятий по формированию парковочной системы на примере г. Магнитогорска // Актуальные проблемы современной науки, техники и образования. 2019. Т. 10. №. 1. С. 3–7. ISSN 2306-8493.
13. Постановление Правительства Москвы «Об утверждении региональных нормативов градостроительного проектирования города Москвы в области транспорта, автомобильных дорог регионального или межмуниципального значения» от 23.12.2015 № 945-ПП. URL: <https://www.mos.ru/mka/documents/normativnye-pravovye-akty-g-moskvy/view/213992220/> (дата обращения: 07.04.2021).

#### Literature

1. Russian Statistical Yearbook. [Rossijskij statisticheskij ezhegodnik] 2019: Stat. col. / Rosstat. – P76. М., 2019. 708 p. ISBN 978-5-89476-473-3.
2. Galkina N. G., Safronov E. E. Foreign experience in organizing parking lots // Bulletin of the Kharkiv National Automobile and Road University. [Zarubezhnyj opyt organizatsii parkovok // Vestnik KHar'kovskogo natsional'nogo avtomobil'no-dorozhnogo universiteta.] 2009. № 47. Pp. 19–22. ISSN 2219-5548.
3. Stadnichuk N. N., Yamilova V. V. Features of parking design in the conditions of modern urban life // History and pedagogy of natural science. [Osobennosti proektirovaniya parkovok v usloviyakh sovremennoj gorodskoj // Istoriya i pedagogika estestvoznaniya] 2015. № 4. Pp. 54–56. ISSN 2226-2296.
4. Zhindaeva V. V. Spontaneous parking: statistics and problems // International Journal of Humanities and Natural Sciences. [Stikhijnye parkovki: statistika i problemy // Mezhdunarodnyj zhurnal gumanitarnykh i estestvennykh nauk.] 2016. № 1-1. Pp. 9–13. ISSN 2500-1000.
5. Khomchenko A. N., Osintsev N. A. Resource efficiency of transport systems of cities // Modern problems of the transport complex of Russia. [Resursoehkonomichnost' transportnykh

- sistem gorodov // *Sovremennye problemy transportnogo kompleksa Rossii.*] 2012. № 2. Pp. 134–139. ISSN 2222-9396.
6. Nikolaeva A. I., Karimova D. K., Baginova V. V. Transport system of Russia in modern conditions // *Modern problems of the transport complex of Russia.* [Transportnaya sistema Rossii v sovremennykh usloviyakh // *Sovremennye problemy transportnogo kompleksa Rossii.*] 2011. № 1. Pp. 7–13. ISSN 2222-9396.
7. Pytaleva O. A. Analysis and systematization of factors affecting the parameters of urban transport flows // *Transport of the Urals.* [Analiz i sistematizatsiya faktorov, vliyayushchikh na parametry gorodskikh transportnykh potokov // *Transport Urala.*] 2009. № 4 (23). Pp. 19–21. ISSN 1815-9400.
8. Kopylova O. A., Chetvergova A. A. Research of the organization of parking of passenger cars in cities // *Actual problems of modern science, technology and education.* [Issledovanie organizatsii parkirovaniya legkovykh avtomobilej v gorodakh // *Aktual'nye problemy sovremennoj nauki, tekhniki i obrazovaniya.*] Magnitogorsk : Publishing house of Magnitogorsk State Technical University named after G. I. Nosov University, 2020. P. 37.
9. Patrakeeve I. M., Zhukov V. E., Leontieva O. G. Organization of parking lots in a large city on the basis of spatially accurate modeling // *Scientific notes of the V. I. Vernadsky Crimean Federal University. Geography. Geology.* [Organizatsiya parkovok v krupnom gorode na osnove prostranstvenno-tochnogo modelirovaniya // *Uchenye zapiski Krymskogo federal'nogo universiteta imeni V. I. Vernadskogo. Geografiya. Geologiya.*] 2010. № 2. URL: <https://cyberleninka.ru/article/n/organizatsiya-parkovok-v-krupnom-gorode-na-osnove-prostranstvenno-tochnogo-modelirovaniya> (accessed: 06.04.2021). ISSN 2413-1717.
10. Petrov E. D., Moiseyev A. N. Stochastic modeling of the territory of car parking lot// *Mathematical and software support of information, technical and economic systems: Proceedings of VI International youth scientific conference.* Tomsk, May 24–26, 2018 / Institute of Applied Mathematics and Computer Science of Tomsk State University; under the general editorship of I. S. Shmyrin. [Stokhasticheskoe modelirovanie territorii parkovki avtomobilej // *Matematicheskoe i programmnoe obespechenie informatsionnykh, tekhnicheskikh i ehkonomicheskikh sistem: mater. VI Mezhdunar. molodezhnoj nauchn. konf. Tomsk, 24–26 maya 2018 goda / Institut prikladnoj matematiki i komp'yuternykh nauk Tomskogo gosudarstvennogo universiteta; pod obshh. red. I. S. Shmyrina.*] Tomsk : Publishing House of Tomsk State University, 2018. Pp. 172–177.
11. Nikhil Joshi. Smart Parking in Pune, India (beta version) [Electronic resource] // Anylogic Cloud: archive of public models created in Anylogic. URL: <https://cloud.anylogic.com/model/f648b605-35f0-4371-a8ea-876086d603e5?mode=SETTINGS> (accessed: 29.04.2021).
12. Chetvergova A. A., Kopylova O. A. Development of measures for the formation of a parking system on the example of Magnitogorsk // *Actual problems of modern science, technology and education.* [Razrabotka meropriyatij po formirovaniyu parkovochnoj sistemy na primere g. Magnitogorska // *Aktual'nye problemy sovremennoj nauki, tekhniki i obrazovaniya.*] 2019. Vol. 10. № 1. Pp. 3–7. ISSN 2306-8493.
13. Resolution of the Government of Moscow «On approval of regional standards of urban planning design of the city of Moscow in the field of transport, highways of regional or inter-municipal significance», dated 23.12.2015, № 945-PP. [Postanovlenie Pravitel'stva Moskvy «Ob utverzhdenii regional'nykh normativov gradostroitel'nogo proektirovaniya goroda Moskvy v oblasti transporta, avtomobil'nykh dorog regional'nogo ili mezhmunitsipal'nogo znacheniya»] URL: <https://www.mos.ru/mka/documents/normativnye-pravovye-akty-g-moskvy/view/213992220/> (accessed: 07.04.2021).

*Статья сдана в редакцию 14 мая 2021 года*

# Организация и логистика

УДК 656.13

Н. К. Горяев

## Двухуровневая модель информационного взаимодействия участников транспортного рынка

UDC 656.13

N. K. Goryaev

## Two-level model of information interaction of transport market participants

### Аннотация

Эффективная организация междугородных перевозок в значительной степени зависит от оптимизации оперативного поиска груза для транзитной составляющей маршрута. Перевозчики получают возможность с минимальными дополнительными затратами получить дополнительный доход, а заказчики транспорта – возможность перевозки по минимальным тарифам. Для оперативного поиска грузов и транспорта используются системы информационного взаимодействия участников транспортного рынка. Автоматизация процессов информационного взаимодействия участников транспортного рынка позволит существенно повысить эффективность работы таких информационных систем [1, 2].

Предложена двухуровневая модель информационного взаимодействия, которая на первом уровне рассматривает взаимодействие «перевозчик-заказчик», а на втором – оперативное взаимодействие на уровне «транспорт-груз». Такой подход позволяет автоматизировать формирование паросочетаний не только с учетом технологической совместимости груза (заявки на перевозку) и транспортного средства, но и с учетом таких внетехнологических параметров, как надежность, условия оплаты, используемая система налогообложения. На основе предлагаемой двухуровневой модели предложен модифицированный алгоритм метода минимальных уступок. Обосновано сохранение устойчивости паросочетаний при использовании данного алгоритма.

На основе формирования набора данных действий (решений) менеджеров заказчиков и перевозчиков возможно формирование нейросетей, которые минимизируют рутинные действия на рынке межрегиональных перевозок и повысят эффективность информационного взаимодействия.

**Ключевые слова:** транспорт, системы информационного взаимодействия, метод минимальных уступок, паросочетания.

DOI: 10.20291/2079-0392-2021-3-74-80

### Abstract

Effective organization of intercity transportation largely depends on optimization of the operational search for cargo for the transit component of the route. Carriers have the opportunity to get additional income with minimal additional costs, and transport customers get the opportunity to transport at minimum tariffs. Information interaction systems of transport market participants are used for rapid search of goods and transport. Automation of the processes of information interaction of transport market participants will significantly increase the efficiency of such information systems [1, 2].

A two-level model of information interaction is proposed, which at the first level considers the interaction «carrier-customer», and at the second one – operational interaction at the level «transport-cargo». This approach allows you to automate the formation of pairs not only taking into account the technological compatibility of the cargo (application for transportation) and the vehicle, but also taking into account such non-technological parameters as reliability, payment terms, the tax system used. Based on the proposed two-level model, a modified algorithm of the minimum concessions method is proposed. Preservation of stability of pairs when using this algorithm is justified.

Based on formation of a data set of actions (decisions) of customer managers and carriers, it is possible to form neural networks that minimize routine actions in the interregional transportation market and increase efficiency of information interaction.

**Keywords:** transport, information interaction systems, method of minimum concessions, matching.

DOI: 10.20291/2079-0392-2021-3-74-80

Статья рекомендована к опубликованию С. В. Мячковой, канд. техн. наук, ген. директором ОООЛЦ «Форвард». E-mail: business-swm@yandex.ru.

Николай Константинович Горяев, канд. техн. наук, доцент; кафедра автомобильного транспорта Южно-Уральского государственного университета; г. Челябинск, Россия. E-mail: vetkadog@mail.ru. ORCID 0000-0002-7556-6522.

The article is recommended for publishing by S. V. Myachkova, Candidate of Technical Sciences, General Director of the Forward Research Center. E-mail: business-swm@yandex.ru.

Nikolay Konstantinovich Goryaev, Candidate of Technical Sciences, Associate Professor; Department of Auto-Mobile Transport of the South Ural State University; Chelyabinsk, Russia. E-mail: vetkadog@mail.ru. ORCID 0000-0002-7556-6522.

Для оперативного поиска грузов и транспорта используются системы информационного взаимодействия участников транспортного рынка, среди которых наибольшее распространение получила система «Автотрансинфо». Механизм автоматического заключения договоров, реализованный в рамках системы информационного взаимодействия участников транспортного рынка, определяется как процесс взаимодействия между субъектами (в нашем случае – заказчики транспорта, перевозчики) и центром (системой информационного взаимодействия) [3].

Процесс заключения договоров на перевозку относится к теории графов (формирование паросочетаний «заказчик-перевозчик») и теории игр (процесс заключения контрактов).

Первая работа, поставившая принципиально новую для экономики задачу – задачу об оптимальном выборе контрактов, опубликована в 1962 г. [4]. В этой публикации введено понятие устойчивого распределения контрактов – «паросочетание» и рассмотрены задачи об устойчивости браков и зачислении абитуриентов в колледжи. Дальнейшее развитие эта теория получила в исследованиях [5–8] и многих других. Однако в этих работах, в основном, исследуются лишь механизмы формирования устойчивого распределения контрактов. Процедура определения цены контракта предложена в [9].

Для моделирования процесса согласования цены для его дальнейшей автоматизации предложен метод минимальных уступок, суть которого заключается в том, что для каждого направления перевозок на основе начальных ценовых предложений перевозчиков и заказчиков формируются паросочетания, упорядоченные по привлекательности для противоположной стороны контракта [10]. Далее происходит пошаговое изменение цены контракта по принципу корректировки на половину разности до цены, предлагаемой наиболее желательным партнером. Такой метод в начальной постановке предполагал

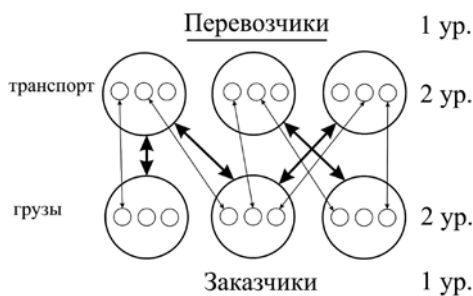


Рис. 1. Двухуровневая модель информационного взаимодействия

формирование паросочетаний исходя из совпадений технологических параметров потребностей в транспортировке и возможности перевозки. Однако существуют внетехнологические ограничения на заключение контракта на перевозку груза, связанные с особенностями функционирования предприятий, поэтому предлагается двухуровневая модель информационного взаимодействия участников транспортного рынка (рис. 1).

Ключевые параметры возможного взаимодействия на первом уровне (юридические лица) представлены в таблице 1.

На практике ни один из этих параметров не является абсолютно фиксированным. Так, при отсутствии предложений от перевозчиков, удовлетворяющих критериям надежности, заказчик, как правило, делает послабления в своих требованиях. Ранее проведенные исследования показали, что основным требованием по надежности для заказчика является соблюдение сроков доставки, а для перевозчика – соблюдение сроков оплаты [11]. Тем не менее автоматизация процесса требует формализации параметров.

Ключевые параметры возможного взаимодействия на втором уровне (технологическом) представлены в таблице 2.

Таким образом, первый уровень определяет возможность взаимодействия юридических лиц по принципу выполнения необходимых условий для

Таблица 1

## Ключевые параметры первого уровня взаимодействия

Параметр	Перевозчик	Заказчик	Критерий соответствия	Примечание
Надежность	Комплексный показатель	Комплексный показатель	Соответствие требованиям другой стороны	Возможно применение общих требований
Система налогообложения	С НДС, без НДС	С НДС, без НДС	Совпадение	Может исключаться при разнице в цене более ставки НДС
Финансовые условия	Условия оплаты	Условия оплаты	Совпадение	Сроки, формы

Таблица 2

## Ключевые параметры второго уровня взаимодействия

Параметр	Перевозчик	Заказчик	Критерий соответствия	Примечание
Масса	Грузоподъемность	Масса груза	Масса груза меньше грузоподъемности	С учетом объема
Тип кузова	Конкретный	Множество возможных	Вхождение	
Маршрут	Район отправления – район назначения	Пункт отправления – пункт назначения	Вхождение	
Цена	Начальное ценовое предложение	Начальное ценовое предложение	Параметр по согласованию	Формируется с использованием метода минимальных уступок

заключения договора (контракта) на перевозку. Второй уровень относится к технологической возможности и ценовой целесообразности выполнения заявки на перевозку. Хотя, с точки зрения практической реализации, договор и заявка при загрузке транзитной составляющей кругорейса обычно рассматриваются как единое целое и фиксируются в виде заявки-договора [12].

Таким образом, паросочетания должны формироваться не как «заказчик-перевозчик» [10], а на основе заявки, то есть «груз-транспорт». Исходя из этого для участия в торгах по выбранному направлению заказчики формируют заявки на перевозку:  $A_{ik}$  ( $i = 1, \dots, n$ ,  $k$  – порядковый номер заказчика) и назначают предварительную цену контракта  $a_i$ , одновременно с этим предварительную цену контракта  $b_j$  формирует для

подходящих транспортных средств каждый перевозчик  $B_{jl}$  ( $j = 1, \dots, n$ ,  $l$  – порядковый номер перевозчика).

В качестве меры привлекательности между парами  $A_{ik}$  и  $B_{jl}$  будем использовать разность между объявленными предварительными ценами контрактов

$$w_{ij} = a_i - b_j.$$

Фактически это будет означать, что для каждого груза  $A_{ik}$  предпочтительнее транспорт  $B_{jl}$  с более низкой ценой. Но для любого транспорта наиболее предпочтительным является груз, владелец которого (заказчик) предлагает более высокую цену за перевозку.

Далее необходимо проверить выполнение необходимого условия взаимодействия между заказчиком  $k$

и перевозчиком  $l$  для каждой пары груз-транспорт. При этом происходит смещение порядка привлекательности предложения для противоположной стороны. В результате мы получаем паросочетания с учетом привлекательности и выполнения необходимых требований, сформированных на первом уровне. Однако сформированные таким образом паросочетания остаются устойчивыми – нет ни одной пары, которая была бы неустойчивой, потому что ни для одного груза нет более предпочтительного транспорта, для которого этот груз был бы более привлекателен [4].

Для формирования устойчивых паросочетаний и определения цен заключаемых контрактов предлагается следующий модифицированный алгоритм метода минимальных уступок.

Шаг 1. Так как ценовые предложения не упорядочены, вначале определяется наиболее привлекательное предложение для противоположной стороны контракта:  $a_{\max}(1) = \max a_i$  ( $i = 1, \dots, n$ ),  $b_{\min}(1) = \min b_i$  ( $i = 1, \dots, n$ ).

Для первой пары цена контракта устанавливается как среднее значение ценовых предложений этой пары

$$y_1 = \frac{a_1 + b_1}{2}.$$

Для каждого груза  $A_{ik}$  ( $i = 2, \dots, n$ ,  $k$  – порядковый номер заказчика) устанавливается цена контракта:

$$a_i(1) = \frac{a_i + b_{\min}(1)}{2}.$$

Для каждого транспорта  $B_{il}$  ( $i = 2, \dots, n$ ,  $l$  – порядковый номер перевозчика) назначается цена контракта:

$$b_i(1) = \frac{b_i + a_{\max}(1)}{2}.$$

Шаг 2. Вначале определяется наиболее привлекательное предложение для противоположной стороны контракта:  $a_{\max}(2) = \max a_i$  ( $i = 2, \dots, n$ ),  $b_{\min}(2) = \min b_i$  ( $i = 2, \dots, n$ ).

Для второй пары цена контракта устанавливается как среднее значение ценовых предложений этой пары:

$$y_2 = \frac{a_2 + b_2}{2}.$$

Для каждого груза  $A_{ik}$  ( $i = 3, \dots, n$ ,  $k$  – порядковый номер заказчика) устанавливается цена контракта:

$$a_i(2) = \frac{a_i + b_{\min}(2)}{2}.$$

Для каждого транспорта  $B_{il}$  ( $i = 3, \dots, n$ ,  $l$  – порядковый номер перевозчика) назначается цена контракта:

$$b_i(2) = \frac{b_i + a_{\max}(2)}{2}.$$

Все последующие шаги выполняются по схеме, примененной на первых двух этапах и повторяющейся еще  $n - 2$  раза.

Шаг  $m$  ( $m = 3, \dots, n$ ). На каждом шаге вначале определяется наиболее привлекательное предложение для противоположной стороны контракта:  $a_{\max}(m) = \max a_i$  ( $i = m, \dots, n$ ),  $b_{\min}(m) = \min b_i$  ( $i = m, \dots, n$ ).

Для пары  $m$  цена контракта устанавливается как среднее значение ценовых предложений этой пары:

$$y_m = \frac{a_m + b_m}{2}.$$

Для каждого груза  $A_{ik}$  ( $i = m + 1, \dots, n$ ,  $k$  – порядковый номер заказчика) устанавливается цена контракта:

$$a_i(m) = \frac{a_i + b_{\min}(m)}{2}.$$

Для каждого транспорта  $B_{il}$  ( $i = m + 1, \dots, n$ ,  $l$  – порядковый номер перевозчика) назначается цена контракта:

$$b_i(m) = \frac{b_i + a_{\max}(m)}{2}.$$

Таким образом, сформированы устойчивые паросочетания «груз-транспорт» и смоделирована цена контракта (договоры-заявки) на перевозку.

В качестве примера работы алгоритма определим контракты по данным за одни сутки текущего года (наименования юридических лиц изменены), таблица 3.



Таблица 3

Пример ценовых предложений по направлению Москва – Челябинск с НДС

Груз (заказчик)	Ценовое предложение, руб.	Транспорт (перевозчик)	Ценовое предложение, руб.
Груз 1 (НТК)	99000	Машина 1 (ИП Коваленко)	120000
Груз 2 («Энергия»)	90000	Машина 2 (ТК «Орион»)	105000
Груз 3 («Логист-Члб»)	98000	Машина 3 (ТК «Орион»)	105000
Груз 4 («ТТорг»)	92000	Машина 4 («Мостранс»)	130000
Груз 5 («Синегорье»)	97000	Машина 5 («ТТ-Авто»)	110000

**Пример**

Упорядочив предложения из таблицы 3 по ценам, определим множества заказчиков и перевозчиков (таблица 4).

Однако заказчика «Синегорье» (груз 5) не устраивает надежность перевозчика «ТТ-Авто» (машина 5), поэтому порядок следования грузов меняется: груз 4 смещается в пару 3, а груз 5 переходит в пару 4 (таблица 5).

Далее применяем модифицированный алгоритм метода минимальных уступок (таблица 6).

Сравнение полученных результатов с рыночными тарифами показывает соответствие сформированных с помощью модифицированного метода минимальных уступок тарифов рыночным ценам на выполнение между-

городных перевозок автомобильным транспортом [13]. Так, разница между рыночными тарифами существенно меньше, чем разница между начальными ценовыми предложениями. Как правило, участники транспортного рынка, дающие первоначальные ценовые предложения, существенно отличающиеся от рыночных цен, готовы намного больше уступить по цене при ее согласовании.

**Выводы**

Предложенная двухуровневая модель информационного взаимодействия позволяет автоматизировать формирование паросочетаний и определять цены контрактов не только с учетом

Таблица 4

Упорядоченные множества ценовых предложений

$i$	$A_{ik}$	$a_i$	$B_{il}$	$b_i$
1	Груз 1 (НТК)	99000	Машина 2 (ТК «Орион»)	105000
2	Груз 3 («Логист-Члб»)	98000	Машина 3 (ТК «Орион»)	105000
3	Груз 5 («Синегорье»)	97000	Машина 5 («ТТ-Авто»)	110000
4	Груз 4 («ТТорг»)	92000	Машина 1 (ИП Коваленко)	120000
5	Груз 2 («Энергия»)	90000	Машина 4 («Мостранс»)	130000

Таблица 5

Множества ценовых предложений с учетом ограничений первого уровня

$i$	$A_{ik}$	$a_i$	$B_{il}$	$b_i$
1	Груз 1 (НТК)	99000	Машина 2 (ТК «Орион»)	105000
2	Груз 3 («Логист-Члб»)	98000	Машина 3 (ТК «Орион»)	105000
3	Груз 4 («ТТорг»)	92000	Машина 5 («ТТ-Авто»)	110000
4	Груз 5 («Синегорье»)	97000	Машина 1 (ИП Коваленко)	120000
5	Груз 2 («Энергия»)	90000	Машина 4 («Мостранс»)	130000



Таблица 6

Применение модифицированного алгоритма метода минимальных уступок

Шаг	Ценовые предложения заказчиков	Ценовые предложения перевозчиков	Наиболее привлекательное предложение	Цена контракта
1	$a_1(1) = 99000$ $a_2(1) = 98000$ $a_3(1) = 92000$ $a_4(1) = 97000$ $a_5(1) = 90000$	$b_1(1) = 105000$ $b_2(1) = 105000$ $b_3(1) = 110000$ $b_4(1) = 120000$ $b_5(1) = 130000$	$a_{\max}(1) = 99000$ $b_{\min}(1) = 105000$	$y_1 = 102000$
2	$a_2(2) = 101500$ $a_3(2) = 98500$ $a_4(2) = 101000$ $a_5(2) = 97500$	$b_2(2) = 102000$ $b_3(2) = 104500$ $b_4(2) = 109500$ $b_5(2) = 114500$	$a_{\max}(2) = 101500$ $b_{\min}(2) = 102000$	$y_2 = 101750$
3	$a_3(3) = 100250$ $a_4(3) = 101500$ $a_5(3) = 99750$	$b_3(3) = 103000$ $b_4(3) = 105500$ $b_5(3) = 108000$	$a_{\max}(3) = 101500$ $b_{\min}(3) = 103000$	$y_3 = 101625$
4	$a_4(4) = 102250$ $a_5(4) = 101375$	$b_4(4) = 103500$ $b_5(4) = 104750$	$a_{\max}(4) = 101625$ $b_{\min}(4) = 102250$	$y_4 = 102875$
5	$a_5(5) = 101813$	$b_5(5) = 103188$	$a_{\max}(5) = 101813$ $b_{\min}(5) = 103188$	$y_5 = 102500$

технологической совместимости груза (заявки на перевозку) и транспортно-го средства, но и с учетом внетехнологических параметров.

На основе формирования набора данных действий (решений) менеджеров

заказчиков и перевозчиков можно формировать нейросети, которые минимизируют рутинные действия на рынке межрегиональных перевозок и повысят эффективность информационного взаимодействия. ■

### Литература

1. Горяев Н. К. Экономическая целесообразность использования транзитных провозных возможностей транспорта // Вестник Южно-Уральского государственного университета, серия «Экономика и менеджмент». 2011. № 41 (258). С. 178–180. ISSN 1997-0129.
2. Goryaev N. K. (2012) The effectiveness of long-distance haulage in the context of market reforms in Russia. Procedia – Social and Behavioral Sciences, 54, 286–293. ISSN 1877-0428.
3. Hurwicz L. (1960) Optimality and informational efficiency in resource allocation processes. In K. J. Arrow, S. Karlin, P. Suppes (eds.) Mathematical Methods in the Social Sciences (Pp. 27–46). Stanford: Stanford University Press.
4. Gale D., Shapley L. (1962) College Admissions and the Stability of Marriage. American Mathematical Monthly, 69, 9–15.
5. Roth A. E. (1985) The College Admissions Problem is not Equivalent to the Marriage Problem. Journal of Economic Theory, 36 (2), 277–288. ISSN 0022-0531.
6. Roth A. E., Sotomayor M. A. O. (1992) Chapter 16. Two-sided Matching. In Handbook of Game Theory with Economic Application, 1, 485–541. ISSN 1574-0005.
7. Gale D., Sotomayor M. (1985) Some remarks on the stable matching problem. Discrete Applied Mathematics, 11(3), 223–232. ISSN 0166-218X.
8. Hatfield J. W., Milgrom P. R. (2005) Matching with contracts. American Economic Review, 95(4), 913–935. ISSN 0002-8282.
9. Perez-Casttrillo D., Sotomayor M. (2002) A simple Selling and Buying Procedure. Journal of Economic Theory, 103(2), 461–474. ISSN 0022-0531.
10. Горяев Н. К., Кудрявцев К. Н. Теория игр в моделировании цены при взаимодействии участников транспортного рынка // Вестник УрГУПС. 2016. № 4 (32). С. 132–139. ISSN 2079-0392.

11. Горяев Н. К., Ларин О. Н. Оптимизация рейтинговой оценки участников транспортного рынка // Транспорт: наука, техника, управление. Научный информационный сборник. 2013. № 11. С. 56–58. ISSN 0236-1914.
12. Горяев Н. К. Оптимизация заявки-договора на перевозку грузов // Вестник Южно-Уральского государственного университета. – Сер. : Экономика и менеджмент. 2013. Т. 7. № 4. С. 190–193. ISSN 1997-0129.
13. Гераскина О. В., Шепелев В. Д., Чикранова Д. С. Исследование тарифов на перевозку грузов автомобильным транспортом в междугородном сообщении // Прогрессивные технологии в транспортных системах : сб. ст. XIII Международн. научн.-практ. конф. – Оренбург : Оренбургский государственный университет, 2017. С. 75–78.

#### Literature

1. Goryaev N. K. Economic feasibility of using transit transportation capabilities of transport // Bulletin of the South Ural State University, series «Economics and Management». [Ehkonomicheskaya tselesoobraznost' ispol'zovaniya tranzitnykh provoznykh vozmozhnostej transporta // Vestnik Yuzhno-Ural'skogo gosudarstvennogo universiteta, seriya «Ehkonomika i menedzhment»] 2011. № 41 (258). Pp. 178–180. ISSN 1997-0129.
2. Goryaev N. K. (2012) The effectiveness of long-distance haulage in the context of market reforms in Russia. Procedia – Social and Behavioral Sciences, 54, 286–293. ISSN 1877-0428.
3. Hurwicz L. (1960) Optimality and informational efficiency in resource allocation processes. In K.J.Arrow, S.Karlin, P. Suppes (eds.) Mathematical Methods in the Social Sciences (Pp. 27–46). Stanford: Stanford University Press.
4. Gale D., Shapley L. (1962) College Admissions and Stability of Marriage. American Mathematical Monthly, 69, 9–15.
5. Roth A. E. (1985) The College Admissions Problem is not Equivalent to the Marriage Problem. Journal of Economic Theory, 36 (2), 277–288. ISSN 0022-0531.
6. Roth A. E., Sotomayor M. A. O. (1992) Chapter 16. Two-sided Matching. In Handbook of Game Theory with Economic Application, 1, 485–541. ISSN 1574-0005.
7. Gale D., Sotomayor M. (1985) Some remarks on the stable matching problem. Discrete Applied Mathematics, 11 (3), 223–232. ISSN 0166-218X.
8. Hatfield J. W., Milgrom P. R. (2005) Matching with contracts. American Economic Review, 95 (4), 913–935. ISSN 0002-8282.
9. Perez-Casttrillo D., Sotomayor M. (2002) A simple Selling and Buying Procedure. Journal of Economic Theory, 103(2), 461–474. ISSN 0022-0531.
10. Goryaev N. K., Kudryavtsev K. N. Game theory in price modeling with the interaction of transport market participants // Bulletin of the Ural State University of Railway Transport. [Teoriya igr v modelirovanii tseny pri vzaimodejstvii uchastnikov transportnogo rynka // Vestnik Ural'skogo gosudarstvennogo universiteta putej soobshheniya.] 2016. № 4 (32). Pp. 132–139. ISSN 2079-0392
11. Goryaev N. K., Larin O. N. Optimization of rating assessment of transport market participants // Transport: science, technology, management. Scientific information collection. [Optimizatsiya rejtingovoj otsenki uchastnikov transportnogo rynka // Transport: nauka, tekhnika, upravlenie. Nauchnyj informatsionnyj sbornik.] 2013. № 11. Pp. 56–58. ISSN 0236-1914.
12. Goryaev N. K. Optimization of the application-contract for transportation of goods // Herald of the South Ural State University. [Optimizatsiya zayavki-dogovora na perevozku грузов // Vestnik Yuzhno-Ural'skogo gosudarstvennogo universiteta.] – Ser.: Economics and Management. 2013. Vol. 7. № 4. Pp. 190–193. ISSN 1997-0129.
13. Geraskina O. V., Shepelev V. D., Chikranova D. S. Research of tariffs for transportation of goods by road in intercity communication // Progressive technologies in transport systems: Proceedings of XIII International scientific and practical conference. [Issledovanie tarifov na perevozku грузов avtomobil'nym transportom v mezhdugorodnom soobshhenii // Progressivnye tekhnologii v transportnykh sistemakh : sbornik statej XIII Mezhdunarodnoj nauchno-prakticheskoy konferentsii] - Orenburg : Orenburg State University, 2017. Pp. 75–78.

*Статья сдана в редакцию 9 августа 2021 года*

УДК 336.7

*М. Б. Петров, Л. А. Серков, К. Б. Кожов*

## Моделирование взаимодействия регионов России и Республики Беларусь в целях прогнозирования дополнительных транспортных потоков

UDC 336.7

*M. B. Petrov, L. A. Serkov, K. B. Kozhov*

## Modeling of interaction between the regions of Russia and the Republic of Belarus in order to predict additional traffic flows

### Аннотация

В статье предложен методологический подход, использующий инструментальный пространственной эконометрики, для развития систем транспортно-экономического прогнозирования и отражения в его результатах крупных структурных политических решений на примере влияния экономической интеграции России и Белоруссии на транспортные потоки в межотраслевых

межтерриториальных системах Союзного государства. Для расчета изучаемых показателей использованы данные официальных статистических сайтов России и Белоруссии. Проведен анализ пространственного распределения объема выпуска в секторе обрабатывающей промышленности регионов РФ и РБ для оценки возможности взаимодействия этих регионов в данном секторе экономики.

При моделировании Республики Беларусь рассматривается как отдельный регион в рамках Союзного государства. Проведены расчеты глобального и локального индексов Морана и определены возможные пространственные автокорреляции как между субъектами РФ, так и между регионами РФ с Республикой Беларусь. В проводимом исследовании для оценки степени взаимодействия регионов

*Статья рекомендована к опубликованию А. Л. Казаковым, д-ром физ.-мат. наук, профессором Института динамики систем и теории управления СО РАН. E-mail: kazakov@icc.ru.*

**Михаил Борисович Петров**, д-р техн. наук; руководитель Центра развития и размещения производительных сил Института экономики Уральского отделения Российской академии наук; Екатеринбург, Россия. E-mail: michpetrov@mail.ru. ORCID 0000-0002-3043-6302.

**Леонид Александрович Серков**, канд. физ.-мат. наук, доцент, старший научный сотрудник; Центр развития и размещения производительных сил Института экономики Уральского отделения Российской академии наук; Екатеринбург, Россия. E-mail: dsge2012@mail.ru. ORCID 0000-0002-3832-3978.

**Константин Борисович Кожов**, канд. техн. наук, старший научный сотрудник; Центр развития и размещения производительных сил Института экономики Уральского отделения Российской академии наук; Екатеринбург, Россия. E-mail: jefytt11@mail.ru. ORCID 0000-0003-3694-564X.

Статья подготовлена в соответствии с утвержденным планом НИР Института экономики УрО РАН.

*The article is recommended for publishing by A. L. Kazakov, Doctor of Physical and Mathematical Sciences, Professor of the Institute of System Dynamics and Control Theory SB RAS. E-mail: kazakov@icc.ru.*

**Mikhail Borisovich Petrov**, Doctor of Technical Sciences; Head of the Center for Development and Placement of Productive Forces of the Institute of Economics of the Ural Branch of the Russian Academy of Sciences; Yekaterinburg, Russia. E-mail: michpetrov@mail.ru. ORCID 0000-0002-3043-6302.

**Leonid Aleksandrovich Serkov**, Candidate of Physical and Mathematical Sciences, Associate Professor, Senior Researcher; Center for the Development and Placement of Productive Forces of the Institute of Economics of the Ural Branch of the Russian Academy of Sciences; Yekaterinburg, Russia. E-mail: dsge2012@mail.ru. ORCID 0000-0002-3832-3978.

**Konstantin Borisovich Kozhov**, Candidate of Technical Sciences, Senior Researcher; Center for the Development and Placement of Productive Forces of the Institute of Economics of the Ural Branch of the Russian Academy of Sciences; Yekaterinburg, Russia. E-mail: jefytt11@mail.ru. ORCID 0000-0003-3694-564X.

The article was prepared in accordance with the approved research plan of the Institute of Economics of the Ural Branch of the Russian Academy of Sciences.

использовалась стандартная весовая матрица обратных расстояний. Проблема рассматривается в первую очередь со стороны транспорта на основе анализа связей в тяжелой промышленности в качестве основной грузообразующей сферы. Изучено влияние экономических и инфраструктурных факторов на показатель, характеризующий степень возможного взаимодействия регионов РФ с РБ в сфере промышленности и транспорта. Результаты работы делают шаг к систематическому применению пространственной эконометрики в методологии и технологии транспортно-экономического прогнозирования и могут быть использованы при подготовке стратегий, программ и схем размещения и развития отраслей с учетом потенциала нового уровня интеграции экономик России и Белоруссии.

**Ключевые слова:** межрегиональные интеграционные связи, Союзное государство, пространственная автокорреляция, индекс Морана, пространственное развитие, транспортные потоки, прогнозирование.

DOI: 10.20291/2079-0392-2021-3-81-93

### Abstract

The article proposes a methodological approach using the spatial econometrics tool for development of transport and economic forecasting systems and reflection of major structural political decisions in its results on the example of the influence of economic integration of Russia and Belarus on transport flows in the intersectoral interterritorial systems of the Union State. To calculate the studied indicators, data from the official statistical websites of Russia and Belarus were used. The analysis of the spatial distribution of output in the processing sector of the regions of the Russian Federation and the Republic of Belarus is carried out to assess the possibility of interaction between these regions in this sector of the economy. When modeling, the Republic of Belarus is considered as a separate region within the framework of the Union State. Calculations of the global and local Moran indices were made and possible spatial autocorrelations were determined both between the subjects of the Russian Federation and between the regions of the Russian Federation and the Republic of Belarus. In

the current study, a standard inverse distance weight matrix was used to assess the degree of interaction between regions. The problem is considered, first of all, from the transport side on the basis of the analysis of relations in heavy industry as the main cargo-forming sphere. The influence of economic and infrastructural factors on the indicator characterizing the degree of possible interaction between the regions of the Russian Federation and the Republic of Belarus in the field of industry and transport is studied. The results of the work make a step towards the systematic application of spatial econometrics in methodology and technology of transport and economic forecasting and can be used in preparation of strategies, programs and schemes for placement and development of industries, taking into account the potential of a new level of integration of the economies of Russia and Belarus.

**Keywords:** interregional integration relations, the Union State, spatial autocorrelation, Moran index, spatial development, transport flows, forecasting.

DOI: 10.20291/2079-0392-2021-3-81-93

В рамках проекта Союзного государства Российской Федерации (РФ) и Республики Беларусь (РБ) идет большая работа по выстраиванию взаимовыгодных экономических интеграционных межгосударственных связей. Для укрепления договорно-правовой базы правительства России и Беларуси разрабатывают межгосударственные и межправительственные договоры и соглашения по всему спектру экономического сотрудничества. При этом важно не только сохранять имеющиеся,

но также возрождать и создавать новые технологические цепочки и кооперационные связи между предприятиями двух государств, мобилизовав тем самым долгосрочные факторы, способствующие экономической интеграции. Для развития интеграционных связей между субъектами РФ и РБ важно понимать, обеспечит ли имеющаяся сеть железных и автомобильных дорог увеличивающиеся межрегиональные перевозки выпускаемой продукции. Таким образом, существенно возрастает

значимость транспортно-экономического прогнозирования по сценариям максимальных грузопотоков, образуемым ростом промышленного производства в Союзном государстве и дополнительно к ним транзитных грузов в транспортном коридоре Китай – Европа и в обратном направлении.

Значение задачи прогнозирования возрастает при этом как в отношении отдельных отраслей, в первую очередь, транспортной, так и в отношении одного из приоритетов научно-технологического развития России – обеспечение связанности ее территорий. Союзное государство может и должно оказаться новым фактором, влияющим на связанность территорий. Ввиду того, что уровень связанности территорий внутри России нередко уступает соответствующим показателям связанности между западными областями России и Республикой Беларусь, в постановке и решении задач комплексного транспортно-экономического прогнозирования необходимо рассматривать не столько Россию в целом, сколько ее грузобразующие территории. Беларусь при направленности исследований на российские территории, включая удаленные от западных границ, целесообразно представлять в укрупненных моделях в виде единого Белорусского региона.

При решении задач экономической интеграции Союзное государство воспринимает российский научно-технологический приоритет связанности территорий, поскольку уровень пространственного развития обеих стран выходит на новый уровень: появляется возможность сформировать единое и рационально связанное пространство от Калининграда до Камчатки. В этих условиях, несмотря на несоизмеримость территорий, выигрыш для Беларуси абсолютно равноценен выигрышу для России: стимулируется рост производства и на белорусских, и на работающих в кооперации с белорусской промышленностью российских предприятиях. Беларусь получает возможность более эффективной доставки продукции

в российские порты как на северо-западе (Усть-Луга), так и в дальневосточных регионах при согласованных в рамках Союзного государства тарифах на перевозку грузов по железнодорожным магистралям и автомагистралям РФ, а в перспективе – и по Северному морскому пути.

Грузовые и пассажирские перевозки способствуют максимально полному вовлечению факторов производства в создание общественного продукта, обеспечивая его физическое сетевое распределение. Деятельность транспорта влияет на экономический рост, обслуживая процессы кооперации и интеграции производства, повышая эффективность его концентрации. Работа транспортно-энергетического кластера в рамках Союзного государства также выйдет на новый уровень, расширится ассортимент от добычи углеводородного сырья до выпуска продукции нефтепереработки с применением инновационных технологий, наработанных обоими государствами в этой области, повысится эффективность транспортировки производимой продукции. Это позволит увеличить производительность труда в отрасли и расширить рынки сбыта продукции с учетом снижения транспортно-логистических издержек на территории всего Союзного государства.

Поэтому возрастает актуальность проведения исследований производственных и инфраструктурных межрегиональных факторов, влияющих на изменение уровня экономического взаимодействия субъектов РФ и РБ.

Процессы синхронизации экономической динамики и их связь с оценкой реального уровня межтерриториальной интеграции на территориях регионов УрФО исследованы в работе [1]. Подтвержден вывод о целесообразности формирования крупных макрорегионов и их территориально-промышленных узлов как объектов комплексного управления развитием производительных сил. Макрорегиональные и субрегиональные (надагломерационные) структуры могут становиться



уровнями проявления синергических эффектов в соответствии с реализацией Концепции стратегии пространственного развития.

Успешность этих интеграционных проектов может зависеть от степени реализации в них национальных приоритетов и влияния внешнеэкономической деятельности регионов [2, 3]. Разработке методологического подхода по пространственному развитию регионов РФ и входящих в них территориальных систем и моделированию пространственных процессов посвящены работы [4, 5]. Анализ методов исследования межтерриториальных взаимосвязей и обоснование необходимости использования пространственной автокорреляции проведено в работах [6–8]. Представляется методический подход к исследованию межрегиональных взаимосвязей, предполагающий поиск источников формирования потенциала экономического роста регионов, моделирование его структуры по приоритетным направлениям экономической деятельности методами корреляционного анализа. В работе [9] исследовано влияние инфраструктуры на социально-экономическое развитие регионов РФ, усовершенствована методология для оценки текущего состояния и динамики инфраструктуры в регионах, позволяющая оценивать инфраструктурный потенциал регионов, различия в развитии инфраструктуры и сравнивать инфраструктурные характеристики регионов.

Пространственная связность с точки зрения инфраструктуры транспорта и связи обсуждается в работе [10]. Указывается, что наличие железных и автомобильных дорог, авиасообщения, морских и речных портов является необходимым элементом и условием взаимодействия экономических агентов, рассредоточенных в пространстве, для реализации выгод разделения труда в отличающихся климатически и географически условиях.

В этих работах проведены исследования по территориям РФ. Поэтому

представляет интерес расширить эти исследования до уровня территорий, расположенных в границах Союзного государства РФ и РБ с учетом влияния транспортных факторов.

Основной сферой, определяющей транспортные потоки, на которые в первую очередь воздействует российско-белорусская интеграция, является промышленность.

Для количественной оценки пространственного распределения объема выпуска на примере сектора обрабатывающей промышленности регионов РФ и РБ используются инструментальные методы пространственного анализа; в частности, пространственная автокорреляция межрегионального взаимодействия территорий тестируется с применением индексов Морана [11], корректность этого подхода повышается рассмотрением сложных нелинейных структур [12].

Для выявления пространственной локализации используется глобальный  $I_m$  и локальный (LISA)  $I_{mi}$  индексы и диаграмма рассеяния Морана [6, 13]. Этот подход обеспечивает достаточную простоту интерпретации. Индекс  $I_m$  принимает значения от  $-1$  до  $1$ . Если результат расчетов значим и положителен, то можно говорить о положительной пространственной автокорреляции. В экономическом смысле это соответствует кооперации субъектов РФ и РБ (в целом) с похожими уровнями объема производства. В случае отрицательных значений территории обособлены, и рассматриваемые регионы существенно различаются по этому признаку.

Выражение для расчета глобального индекса Морана распределения объема производства в сфере обрабатывающей промышленности по субъектам РФ и РБ (в целом) ( $I_m$ ) имеет следующий вид:

$$I_m = \frac{N}{S_0} \frac{\sum_{i=1}^n \sum_{j=1}^m w_{ij} (x_i - \mu)(x_j - \mu)}{\sum_{i=1}^n (x_i - \mu)^2}, \quad (1)$$

где  $x_i$  – анализируемый объем производства региона  $i$ ;  $x_j$  – анализируемый объем производства региона  $j$ ;  $\mu$  – среднее значение анализируемого объема производства по всем анализируемым регионам;  $w_{ij}$  – элемент матрицы пространственных весов для регионов  $i$  и  $j$ ;  $N$  – число анализируемых регионов;  $S_0$  – сумма всех весов пространственной матрицы,  $S_0 = \sum_{i=1}^n \sum_{j=1}^m w_{ij}$ .

Для расчета индексов Морана использовалась стандартная весовая матрица обратных линейных расстояний ( $X_{ij}$ ) в относительной форме, то есть  $v_{ij} = 1/X_{ij}$ . Эта матрица стандартизировалась построчно, соответствующий элемент матрицы весов определялся по формуле

$$w_{ij} = \frac{v_{ij}}{\sum_j v_{ij}}.$$

Локальный индекс Морана  $I_{mi}$  характеризует степень взаимовлияния объема производства определенного ( $i$ -го) региона на производственные объемы остальных территорий, связанных с данным субъектом, определялся как

$$I_{mi} = N \frac{(x_i - \mu) \sum_{j=1}^m w_{ij} (x_j - \mu)}{\sum_{i=1}^n (x_i - \mu)^2}. \quad (2)$$

Важным комплексным показателем, характеризующим степень взаимовлияния объемов производства в секторе обрабатывающей промышленности между двумя отдельными территориями, является показатель  $LISA_{ij} = z_i z_j w_{ij}$ , где  $z_i, z_j$  – стандартизованные отклонения объемов производства каждого отдельного региона от среднего значения.

Исследования базируются на официальной статистике Росстата. Для тестирования пространственной автокорреляции использовались данные за 2018 г. в разрезе 84 регионов РФ и РБ, млн руб.: объем производства в секторе обрабатывающей промышленности и валовой региональный продукт.

Статистические данные по Тюменской области рассматривались отдельно от данных по Ханты-Мансийскому и Ямало-Ненецкому автономным округам.

Выявление пространственных особенностей распределения объема производства в сфере обрабатывающей промышленности по субъектам РФ и РБ осуществлялось с помощью индексов Морана.

Положительное значение глобального индекса Морана подтверждает наличие положительной автокорреляции распределения объема производства в сфере обрабатывающей промышленности между всеми регионами РФ и РБ. На основе проведенных исследований построена пространственная диаграмма рассеяния Морана в разрезе 84 субъектов РФ и РБ (рис. 1). Она показывает наличие кластеризации территорий в пространстве.

Диаграмма (рис. 1) построена на основе стандартной весовой матрицы обратных линейных расстояний. Для анализа построенная диаграмма рассеяния Морана разделена на четыре квадранта (LH, HH, LL, HL), которые позволяют сгруппировать наблюдения по признаку пространственной автокорреляции. Принципы формирования квадрантов объяснены в работах [14–16]. С учетом этого рассматриваемые в статье территории по распределению объема производства отнесены к соответствующим кластерам (квадрантам) (рис. 1). В итоге территории России (84 субъекта) и в целом РБ распределились по квадрантам следующим образом: HL – 4 субъекта, HH – 22, LH – 32, LL – 27.

По показателю  $Wz$  Республика Беларусь имеет достаточно низкое значение и находится близко к границе квадрантов HH и HL, но так как это значение положительное, Беларусь отнесена к квадранту HH (рис. 1). Наличие положительной пространственной автокорреляции (глобальный индекс Морана положителен) и тот факт, что Республика Беларусь находится близко к границе квадрантов HH и HL, свидетельствуют о возможности взаимовлияния



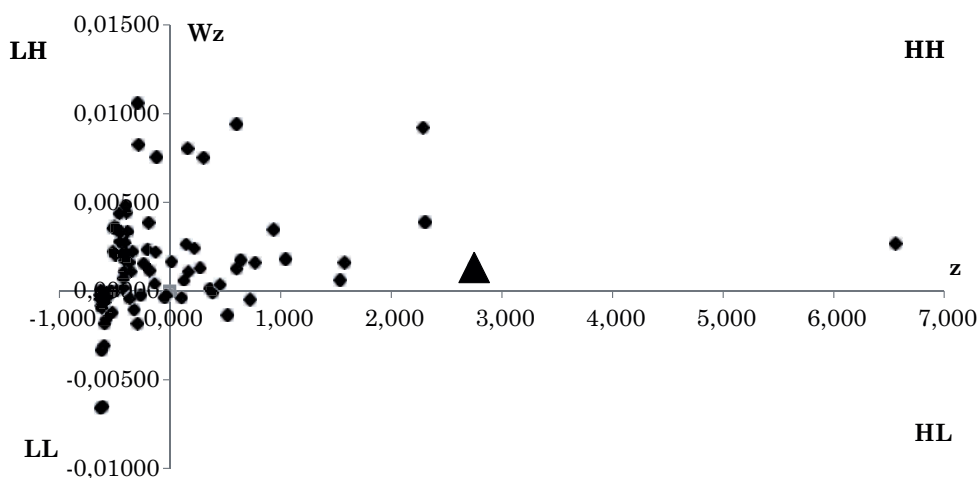


Рис. 1. Пространственная диаграмма рассеяния для объемов производства по субъектам РФ и РБ в целом, 2018 г.

По оси X отображаются стандартизованные отклонения региональных уровней объемов производства от среднего значения  $z_r$ , по оси Y – географически взвешенные стандартизованные уровни объемов производства  $W_{z_i}$ . Маркер в виде треугольника соответствует РБ

РБ и регионов РФ в сфере обрабатывающей промышленности. Это позволяет использовать элементы матрицы силы взаимовлияния отдельных территорий в качестве меры возможной степени взаимодействия Республики Беларусь с российскими регионами в сфере обрабатывающей промышленности, которая является важнейшей отраслью с позиций развития экономики регионов, повышения ее конкурентоспособности и транспортно-экономического потенциала.

Наибольшее положительное влияние ( $LISA_{ij} > 0$ ) на сектор обрабатывающей промышленности Республики Беларусь могут оказывать Москва, Санкт-Петербург, Московская область и Свердловская области. Наибольшее возможное отрицательное влияние ( $LISA_{ij} < 0$ ) – Смоленская, Псковская, Орловская и Брянская области. Это объясняется тем, что в первую группу вошли крупные промышленные центры России с высокой инвестиционной активностью в области обрабатывающей промышленности, а во вторую – регионы, которые хотя и расположены достаточно близко к Беларуси, но имеют

очень низкие показатели по объемам производства в секторе обрабатывающей промышленности.

Распределение положительного и отрицательного взаимовлияния Республики Беларусь с 84-мя субъектами РФ в секторе обрабатывающей промышленности за 2018 г. по показателю  $LISA_{ij}$  представлено на рис. 2 (индекс 1 относится к РБ, индекс  $j$  – к регионам РФ в области обрабатывающей промышленности за 2018 г.). Здесь темно-серым цветом показаны субъекты РФ, имеющие положительное взаимовлияние с Республикой Беларусь ( $LISA_{ij} > 0$ ) и светло-серым цветом – отрицательное ( $LISA_{ij} < 0$ ); 30 % территорий имеют положительное взаимовлияние, 70 % – отрицательное.

Планируемый переход на новый этап работы Союзного государства позволит увеличить кооперационные связи России и Беларуси и нарастить объем комплектующей продукции, выпускаемой на российских предприятиях, и сборку на сохранивших технологические традиции и высококвалифицированный персонал белорусских заводах. Это даст возможность значительно



Рис. 2. Диаграмма значений показателя степени взаимовлияния Республики Беларусь с субъектами РФ  $LISA_{ij}$

повысить экспортные поставки высокотехнологичной продукции совместного производства и загрузить транспортные магистрали в регионах, наиболее задействованных в производственных цепочках.

Индексы Морана дают возможность сделать лишь начальные предположения о наличии пространственных эффектов. Например, положительное значение индекса Морана для распределения объема выпуска в секторе обрабатывающей промышленности лишь означает положительное влияние на этот показатель в определенном регионе объема выпуска в соседних регионах. При этом наличие или отсутствие сильных транспортно-логистических связей между регионами разнонаправленно влияет на эффективность работы всех звеньев производственного механизма, и этот фактор, конечно же, должен быть учтен при определении общей оценки межтерриториального взаимодействия предприятий РФ и РБ. Существенно усиливают транспортно-логистический статус территории находящиеся на ней крупные предприятия конечного потребления техники, выпускаемой

в РБ. Определяющее значение имеет не только техника для отрасли транспорта, но и транспортно-технологическая техника для ведущих грузообразующих отраслей. Яркий пример такого – продукция ОАО «БелАЗ» (г. Жодино, РБ). Взаимное влияние транспортных и производственных факторов проявляется здесь, с одной стороны, при выпуске там крупнейших самосвалов и другого оборудования для горной промышленности как конечного продукта, собираемого в РБ из комплектующих, которые поставляются из различных субъектов РФ, с другой стороны, в процессах производственного потребления техники БелАЗ в цепочке добычи и транспортировки сырьевой продукции внутри РФ и на экспорт с учетом специфики экономического сотрудничества в рамках Союзного государства.

Интеграционные промышленно-транспортные связи и экономическое сотрудничество РФ и РБ в промышленно-транспортной сфере рассмотрены на примере производства и эксплуатации уникальных крупнотоннажных карьерных самосвалов на белорусском предприятии ОАО «БелАЗ», использующем

комплектующие российского производства, и последующего применения готовой продукции этого предприятия в горной промышленности и на угольных месторождениях добывающей промышленности России.

В настоящее время некоторые возможные взаимодействия регионов РФ и РБ уже реализованы. Например, Республика Беларусь сотрудничает с крупными промышленными центрами РФ, в которых размещены такие предприятия, как ОАО «Силовые машины», концерн «Русэлпром», ООО «УДМЗ», ОАО «Татэлектромаш», ООО «Сибэлектромаш», ПАО «Автодизель», ПАО «Тулаевский моторный завод», ПАО «Северсталь». Эти данные соответствуют результатам, полученным при анализе матрицы силы взаимовлияния отдельных территорий, сформированной из показателей  $LISA_{ij}$ ; в частности, можно отметить концерн «Русэлпром» (расположенный в Свердловской области, которая по этому показателю имеет сильные взаимосвязи с РБ).

Развитие взаимодействия регионов РФ и РБ на примере продукции ОАО «БелАЗ» – карьерных самосвалов можно проследить на двух производственно-транспортных цепочках. Одна из них – это сборочно-комплектовочный цикл производства собственно карьерного самосвала БелАЗ, в котором задействованы комплектующие производства РФ (эти предприятия расположены преимущественно в европейской части страны и поставляются по автомобильным и железным дорогам в Беларусь), и поставляемая готовая продукция (самосвал из Беларуси в разобранном виде по правилам транспортировки по железным дорогам в РФ к основным местам его эксплуатации на Урале, Кемеровской области и Республике Якутия). Вторая цепочка, в которой задействован уже сам самосвал БелАЗ как транспортное средство, – это эксплуатационный цикл, где он, например, используется при перевозке угля от места добычи ископаемого топлива до железнодорожной станции, от которой этот сырьевой

продукт по железным дорогам и через дальневосточные морские порты экспортируется в страны Азиатско-Тихоокеанского региона в рамках распределения продукции на мировом угольном рынке. Только в Беларуси выпускаются самые крупные карьерные самосвалы грузоподъемностью 400 т, сконструированные на основе передовых инновационных технологий в машиностроении, и этим обусловлена экономическая целесообразность их закупки как российскими так и зарубежными компаниями. Сбои в работе этих цепочек значительно влияют не только на финансовые показатели производственных предприятий, но и на эффективность работы железных дорог, увеличивая или уменьшая их загруженность.

Использование такого подхода позволяет выявить приоритетные направления экономического развития территорий Союзного государства, в частности, проанализировать пространственное развитие экономики, найти центры притяжения ресурсов, сфер их влияния на территории.

Одно из предприятий на территории России, где используют карьерные самосвалы БелАЗ, – Евраз-Качканарский горно-обогатительный комбинат (КГОК). Технологической спецификой в работе с такими большегрузными самосвалами является то, что автомобиль собирается на площадке завода-изготовителя в Белоруссии и там проходит обкатку, затем он там же разбирается и отправляется товароприобретателю по железной дороге на нескольких платформах и в завершение в КГОКе производится окончательная сборка самосвала работниками подрядной организации. Для получения максимального эффекта здесь важно соблюдение требований по всей технологической цепочке – от начальной стадии производства самосвала в Беларуси до ввода его в эксплуатацию у потребителя.

Российские компании занимаются не только закупкой БелАЗов, но и участвуют в производстве комплектующих

[16]. Например, конструкторы концерна «Русэлпром» разработали и внедрили комплекты тягового электрооборудования переменного-переменного тока для применения в карьерных самосвалах «БелАЗ» грузоподъемностью 240 и 90 т. Российская компания «Вист-Групп» спроектировала интеллектуальный роботизированный карьерный самосвал с дистанционным управлением. Перспективы создания дистанционно управляемых машин могут быть интересны с точки зрения выхода на международные рынки. Востребованность этих технологий обусловлена тем, что, во-первых, появляется возможность использования техники в опасных для человека условиях (например, высокие температуры, давление, пыль). Во-вторых, в долгосрочном аспекте закладываются резервы экономии, в том числе на оплате труда специалистов, вынужденных работать в тяжелых условиях.

Важно предусмотреть, что изменит внедрение роботизированной техники. Прежде всего необходимы будут специалисты, обладающие определенными компетенциями. Уже сегодня создаются совместные проекты промышленных предприятий, научных и образовательных центров. Так, например, ОАО «БелАЗ», его официальный дилер ООО «Автотехинмаш» и Санкт-Петербургский горный университет планируют создать на базе вуза научно-образовательный центр горнотранспортного машиностроения, который позволит проводить практические занятия в процессе подготовки студентов и повышения квалификации для потребителей техники БелАЗ.

Специалисты НПО автоматики (Екатеринбург, Россия) разработали для карьерных самосвалов «БелАЗ» новый двигатель мощностью 630 л. с. на газомоторном топливе и систему беспилотного вождения. В рамках международной промышленной выставки Иннопром-2017 состоялась премьера газомоторного самосвала грузоподъемностью 45 т. Самосвал оснащен газопоршневым

двигателем «Кунгур-550», который разработала уральская компания «Технология 1604» на базе дизеля ЯМЗ-240. Новый силовой агрегат имеет газотурбинный наддув и развивает 550 л. с. В качестве топлива используется сжиженный природный газ (метан), запас которого размещен в специальном криобаке на раме самосвала. Преимущество таких двигателей в их экономичности и экологичности, что особенно актуально при работе в карьерах на большой глубине.

Еще пример сотрудничества: группа «Синара» и БелАЗ создали совместное предприятие по производству двигателей для карьерного самосвала «БелАЗ» на ООО «Уральский дизель-моторный завод» (УДМЗ).

Вторым основным направлением поставок самосвалов «БелАЗ» является поставка этих автомобилей на угольные разрезы в различных регионах России. Среди них можно выделить Кузбасс, куда сегодня белорусский автомобильный завод поставляет до 50 % своих машин и АО ХК «Якутуголь» (входит в группу «Мечел»), в которое уже начаты поставки новых самосвалов «БелАЗ-7555» для работы на угольном разрезе Джебарики-Хая.

Белоруссия задействована не только в цепочке от производства самосвалов «БелАЗ» до их использования на месторождениях по добыче угля, но и в более крупной промышленной операции, которая включает добычу угля, его транспортировку в дальневосточные порты России и поставку его на экспорт, в страны АТР.

Для развития процессов транспортировки угля в настоящее время в рабочем пос. Ванино (Хабаровский край) введена в строй первая очередь морского угольного терминала «Ванинотрансуголь» (ВТУ). Терминал вместе с уже запущенными ранее первой очередью шахты Инаглинская и обогащательной фабрикой Инаглинская-2 в Нерюнгринском районе Якутии образуют единый производственно-логистический комплекс группы компаний

«Колмар» по добыче полезных ископаемых, их переработке, транспортировке и перевалке для дальнейшего экспорта в страны Азиатско-Тихоокеанского региона (АТР). Дальневосточная магистраль стала основным партнером компании «Колмар», обеспечивающим логистику груза от Нерюнгри до порта в Ванино. Такие крупные предприятия, как «Ванинотрансуголь» позволяют уменьшить оборот вагонов, формировать отправительские маршруты. Для железной дороги это очень выгодно. Сегодня стоит задача увеличить вес поезда и взять больше тонн для доставки на Ванино-Советско-Гаванский узел. ООО «Колмар-Груп» построила специализированный терминал, учитывающий все самые современные требования к перевалке пылящих грузов, в восьми километрах от поселка Ванино. В настоящее время уже осуществляется отгрузка продукции на суда. Якутский уголь будет экспортироваться в страны АТР. Крупнейшие партнеры «Колмар-Груп» в этом регионе – Китай, Япония, Южная Корея, Тайвань и Индия. На терминале оборудована станция, предназначенная для погрузки-выгрузки приходящего из Южной Якутии угля. Между ОАО «РЖД» и АО «Ванинотрансуголь» заключен договор на эксплуатацию железнодорожного пути необщего пользования, примыкающего к железнодорожной станции Дюанка. Сегодня эти работы совместно с компанией «Колмар» ведутся в тестовом режиме. Партнеры тестируют оборудование, прорабатывают технологию вывоза угля из Якутии с использованием сервиса «Грузовой экспресс». Эта услуга уже показала свою эффективность при перевозке морепродуктов и леса. Сейчас по специальному расписанию провозится уголь из Якутии. Четко выделенные нитки графика, прибытие груза в срок, возможность планирования подвода поездов в порты – это и качественный сервис, и удобное технологическое решение для железной дороги. На Ванино-Советско-Гаванский узел идет максимальное количество поездов, что позволяет уже

сейчас увеличить грузооборот Дальневосточной магистрали на 5 %.

В итоге проведенных исследований оценены уровни возможного межтерриториального взаимодействия регионов РФ и РБ в сфере обрабатывающей промышленности и исследованы факторы, влияющие на это взаимодействие. Общая оценка регионов РФ в качестве партнеров РБ выполнена на модели пространственной автокорреляции и анализе ее основного инструмента – индекса Морана. Описан сегмент межгосударственных межотраслевых связей, оказывающий максимальное влияние на транспортно-экономическое прогнозирование – производство крупнейшей горнотранспортной техники в Беларуси на базе узлов, создаваемых в России, более половины которой эксплуатируется на грузообразующих предприятиях России, с выделением ведущих в этом вопросе регионов РФ.

Выполненные исследования и полученные оценки глобального и локального индексов для территорий различных типов с иллюстрацией на крупнейшей межотраслевой пространственной системе подтверждают применимость индексов Морана для решения поставленной задачи по определению изучаемого показателя между территориями России и Беларуси. Изучено влияние экономических и инфраструктурных факторов на уровень возможного взаимодействия регионов РФ и РБ в сфере промышленности и транспорта.

Результаты работы предоставляют возможность с помощью моделей пространственной автокорреляции проводить мониторинг экономических связей и находить перспективные направления для их активизации. Направлением дальнейших исследований может быть расширение модельно-методического инструментария исследования взаимодействия макрорегионов России с территориальными образованиями Республики Беларусь. Плодотворность использованного инструментария открывает путь к его систематическому применению в методологии и технологии

транспортно-экономического прогнозирования. Результаты работы могут быть использованы органами государственной власти при формировании планов

развития экономического взаимодействия территорий, входящих в Союзное государство. ■

### Литература

1. Петров М. Б., Курушина Е. В. Методология управления пространственным развитием на основе межрегиональной интеграции // Журнал экономической теории. 2018. Т. 15. № 4. С. 592–606. ISSN 2073-6517.
2. Лаврикова Ю. Г., Акбердина В. В., Суворова А. В. Согласование приоритетов научно-технологического и пространственного развития промышленных регионов // Экономика региона. 2019. Т. 15. № 4. С. 1022–1035. ISSN 2411-1406.
3. Лаврикова Ю. Г., Андреева Е. Л., Ратнер А. В. Влияние внешнеэкономической деятельности на региональное развитие: компаративный анализ российского и зарубежного опыта // Экономические и социальные перемены: факты, тенденции, прогноз. 2020. Т. 13. № 6. С. 54–67. ISSN 1998-0698.
4. Демидова О. А., Иванов Д. С. Модели экономического роста с неоднородными пространственными эффектами. На примере российских регионов // Экономический журнал высшей школы экономики. 2016. Т. 20. № 1. С. 52–75. ISSN 1813-8691.
5. Дубровская Ю. В. Инструменты и институты активизации межрегионального взаимодействия в отечественной экономике // Вестник Омского университета. 2017. № 4 (60). С. 34–44. ISSN 1812-3996.
6. Серков Л. А., Петров М. Б., Кожов К. Б. Пространственное моделирование взаимодействия регионов Российской Федерации и Республики Беларусь в сфере обрабатывающей промышленности // Journal of Applied Economic Research. 2021. Т. 20, № 2. С. 217–240. ISSN 2712-7435.
7. Наумов И. В. Исследование межрегиональных взаимосвязей в процессах формирования инвестиционного потенциала территорий методами пространственного моделирования // Экономика региона. 2019. Т. 15. № 3. С. 720–735. ISSN 2411-1406.
8. Наумов И. В. Роль финансовых ресурсов банковского сектора экономики в социально-экономическом развитии регионов России // Экономические и социальные перемены: факты, тенденции, прогноз. 2020. Т. 13. № 6. С. 152–168. ISSN 1998-0698.
9. Ignatieva, E. D., Mariev, O. S., & Serkova, A. Ye. (2020) Impact of infrastructure on socio-economic development of Russian regions: methodology and analysis. R-economy, 6 (2), 65–73.
10. Коломак Е. А. Пространственное развитие современной России: тенденции, факторы, механизмы, институты / под ред. Е. А. Коломак. – Новосибирск : Изд-во ИЭОПП СО РАН. 2020. 502 с. ISBN 978-5-89665-352-3.
11. Moran P. Notes on Continuous Stochastic Phenomena, Biometrika. – 1950. – Vol. 37. – P. 17–23.
12. Anselin L., Gallo J. L., Jayet H. (2008). Spatial panel econometrics. In: The Econometrics of Panel Data. 625–660.
13. Аверина Л. М., Сиротин Д. В. Оценка пространственных эффектов от инновационной активности промышленно развитых регионов РФ // Экономика региона. 2020. Т. 16. № 4. С. 268–282. ISSN 2411-1406.
14. Серков Л. А., Кожов К. Б. Межрегиональное распределение энергетического потенциала на основе пространственной автокорреляции // Журнал экономической теории. 2020. Т. 17. № 4. С. 799–810. ISSN 2073-6517.
15. Павлов Ю. Н., Королева Е. Н. Пространственные взаимодействия: оценка на основе глобального и локального индексов Морана // Пространственная экономика. 2014. № 3. С. 95–110. ISSN 1815-9834.
16. Петров М. Б., Серков Л. А., Кожов К. Б. Возможности взаимодействия регионов России с Беларусией в сфере обрабатывающей промышленности: пространственный корреляционный анализ // Стратегия развития экономики Беларуси: вызовы, инструменты реализации и перспективы. Сб. статей / ред. кол. : В.Л. Гурский [и др.]. Минск, Республика Беларусь, 2020. С. 177–186. ISBN 978-985-552-937-9 (т. 1).



## Literature

1. Petrov M. B., Kurushina E. V. Methodology of spatial development management based on interregional integration // Journal of Economic Theory. [Metodologiya upravleniya prostranstvennym razvitiem na osnove mezhregional'noj integratsii // Zhurnal ehkonomicheskoy teorii.] 2018. Vol. 15. № 4. Pp. 592–606. ISSN 2073-6517.
2. Lavrikova Yu. G., Akberdina V. V., Suvorova A. V. Coordination of priorities of scientific, technological and spatial development of industrial regions // The economy of the region. [Soglasovanie prioritetov nauchno-tekhnologicheskogo i prostranstvennogo razvitiya industrial'nykh regionov // Ehkonomika regiona.] 2019. Vol. 15. № 4. Pp. 1022–1035. ISSN 2411-1406.
3. Lavrikova Yu. G., Andreeva E. L., Ratner A. V. The impact of foreign economic activity on regional development: a comparative analysis of Russian and foreign experience // Economic and social changes: facts, trends, forecast. [Vliyanie vneshneehkonomicheskoy deyatel'nosti na regional'noe razvitiye: komparativnyy analiz rossijskogo i zarubezhnogo opyta // Ehkonomicheskie i sotsial'nye peremeny: fakty, tendentsii, prognoz.] 2020. Vol. 13. № 6. Pp. 54–67. ISSN 1998-0698.
4. Demidova O. A., Ivanov D. S. Models of economic growth with heterogeneous spatial effects. On the example of Russian regions // Economic Journal of the Higher School of Economics. [Modeli ehkonomicheskogo rosta s neodnorodnymi prostranstvennymi ehffektami. Na primere rossijskikh regionov // Ehkonomicheskij zhurnal vysshej shkoly ehkonomiki.] 2016. Vol. 20. № 1. Pp. 52–75. ISSN 1813-8691.
5. Dubrovskaya Yu. V. Instruments and institutes of activation of interregional interaction in domestic economy // Bulletin of the Omsk University. [Instrumenty i instituty aktivizatsii mezhregional'nogo vzaimodejstviya v otechestvennoj ehkonomike // Vestnik Omskogo universiteta.] 2017. № 4 (60). Pp. 34–44. ISSN 1812-3996.
6. Serkov L. A., Petrov M. B., Kozhov K. B. Spatial modeling of interaction between the regions of the Russian Federation and the Republic of Belarus in the processing industry // Journal of Applied Economic Research. [Prostranstvennoe modelirovanie vzaimodejstviya regionov Rossijskoj Federatsii i Respubliki Belarus' v sfere obrabatyvayushhej promyshlennosti] 2021. Vol. 20. № 2. Pp. 217–240. ISSN 2712-7435.
7. Naumov I. V. Research of interregional interrelations in the processes of formation of the investment potential of territories by methods of spatial modeling // The economy of the region. [Issledovanie mezhregional'nykh vzaimosvyazey v protsessakh formirovaniya investitsionnogo potentsiala territorij metodami prostranstvennogo modelirovaniya // Ehkonomika regiona] 2019. Vol. 15. № 3. Pp. 720–735. ISSN 2411-1406.
8. Naumov I. V. The role of financial resources of the banking sector of the economy in the socio-economic development of the regions of Russia // Economic and social changes: facts, trends, forecast. [Rol' finansovykh resursov bankovskogo sektora ehkonomiki v sotsial'no-ehkonomicheskom razvitii regionov Rossii // Ehkonomicheskie i sotsial'nye peremeny: fakty, tendentsii, prognoz.] 2020. Vol. 13. № 6. Pp. 152–168. ISSN 1998-0698.
9. Ignatieva E. D., Mari V., O. S., & Serkova, A. Ye. ((2020) The impact of infrastructure on the socio-economic development of Russian regions: methodology and analysis. P-economy, 6 (2), 65–73.
10. E. A. Kolomak. Spatial development of modern Russia: trends, factors, mechanisms, institutions [Prostranstvennoe razvitiye sovremennoj Rossii: tendentsii, faktory, mekhanizmy, instituty] / ed. by E. A. Kolomak. – Novosibirsk : Publishing house of IEPP SB RAS. 2020. 502 p. ISBN 978-5-89665-352-3.
11. Moran P. Notes on continuous stochastic phenomena, Biometrics. – 1950. – Vol. 37. – Pp. 17–23.
12. Anselin L., Gallo J. L., Jayet H. (2008). Spatial panel econometrics. In: Econometrics of panel data. 625-660.
13. Averina L. M., Sirotin D. V. Assessment of spatial effects of innovation activity in industrially developed regions of the Russian Federation // The economy of the region. [Otsenka prostranstvennykh ehffektov ot innovatsionnoj aktivnosti promyshlenno razvitykh regionov RF // Ehkonomika regiona.] 2020. Vol. 16. № 4. Pp. 268–282. ISSN 2411-1406.
14. Serkov L. A., Kozhov K. B. Interregional distribution of energy potential based on spatial autocorrelation // Journal of Economic Theory. [Mezhregional'noe raspredeleniye ehnergeticheskogo potentsiala na osnove prostranstvennoj avtokorrelyatsii // Zhurnal ehkonomicheskoy teorii.] 2020. Vol. 17. № 4. Pp. 799–810. ISSN 2073-6517.

15. Pavlov Yu. N., Koroleva E. N. Spatial interactions: an assessment based on the global and local Moran indices // Spatial Economics. [Prostranstvennye vzaimodejstviya: otsenka na osnove global'nogo i lokal'nogo indeksov Morana // Prostranstvennaya ehkonomika.] 2014. № 3. Pp. 95–110. ISSN 1815-9834.
16. Petrov M. B., Serkov L. A., Kozhov K. B. Opportunities for interaction between the regions of Russia and Belarus in the processing industry: spatial correlation analysis // Strategy for the development of the economy of Belarus: challenges, implementation tools and prospects. [Vozmozhnosti vzaimodejstviya regionov Rossii s Belorussiej v sfere obrabatyvayushhej promyshlennosti: prostranstvennyj korrelyatsionnyj analiz // Strategiya razvitiya ehkonomiki Belarusi: vyzovy, instrumenty realizatsii i perspektivy.] Collection of articles / ed. col.: V. L. Gursky [et al.]. Minsk : Republic of Belarus, 2020. Pp. 177–186. ISBN 978-985-552-937-9 (vol. 1).

*Статья сдана в редакцию 16 августа 2021 года*

УДК 656.07+06

Е. Г. Шепилова

## Место и роль аналитического исследования процессов подготовки кадров для транспортной отрасли

UDC 656.07+06

E. G. Shepilova

## The place and role of analytical research of personnel training processes for the transport industry

### Аннотация

Обозначена определяющая роль аналитического исследования процессов подготовки кадров для транспортной отрасли. В частности, исследована возможность использования порочных кругов Кналла для выявления проблем развития транспортного образования. Традиционный функционал кругов Кналла расширен до исследования механизмов позитивного развития объекта исследования. Предложены и проанализированы два вида моделей для описания этих процессов, учитывающих как аддитивные, так и мультипликативные эффекты развития. На конкретных примерах показана методика построения различных видов моделей процессов, отбора оптимального вида модели и прогнозирования развития. Системный подход к исследованию транспортного образования предложено осуществлять также с помощью инструментария ценологического анализа, который учитывает всех участников системы подготовки кадров в отрасли. Научно-образовательные ценозы транспортного образования позволяют определить полноту и устойчивость образовательной системы, направление развития (деградация, позитивное развитие системы), роль и место отдельного образовательного учреждения в системе подготовки кадров. Ценологическое исследование проиллюстрировано на примере анализа результатов деятельности отраслевых железнодорожных вузов. В качестве одного из механизмов управления транспортным образованием рассматриваются научно-образовательные саморегулируемые организации подготовки специалистов для региональной транспортной системы. Предложено создать саморегулируемые организации подготовки кадров, регламентирующие деятельность образовательных учреждений как между собой, так и с потребителями образовательных услуг.

**Ключевые слова:** транспортное образование, круги Кналла, научно-образовательные ценозы, научно-образовательные саморегулируемые организации.

DOI: 10.20291/2079-0392-2021-3-94-101

### Abstract

The defining role of analytical research of personnel training processes for the transport industry is indicated. In particular, the possibility of using the vicious Knall's circles to identify problems in the development of transport education is investigated. The traditional functionality of the Knall's circles has been expanded to the study of the mechanisms of positive development of the research object. Two types of models for describing these processes are proposed and analyzed, taking into account both additive and multiplicative effects of development. Using concrete examples, the methodology for constructing various types of process models, selecting the optimal type of model and predicting development is shown. A systematic approach to the study of transport education is also proposed to be implemented using the tools of cenological analysis, which takes into account all participants in the personnel training system in the industry. The scientific and educational values of transport education allow us to determine the completeness and stability of the educational system, the direction of development (degradation, positive development of the system), the role and place of an individual educational institution in the personnel training system. The cytological study is illustrated by the example of the analysis of the results of the activities of branch railway universities. Scientific and educational self-regulating organizations for training specialists for the regional transport system are considered as one of the mechanisms for managing transport education. It is proposed to create self-regulating organizations of personnel training that regulate the activities of educational institutions, both among themselves and with consumers of educational services.

**Keywords:** transport education, Knall circles, scientific and educational qualifications, scientific and educational self-regulating organizations.

DOI: 10.20291/2079-0392-2021-3-94-101

*Статья рекомендована к опубликованию Н.Н. Лябахом, д-ром техн. наук, профессором Internationale Akademie fur Management und Technologie. (Германия) E-mail: liabakh@rambler.ru.*

**Елена Григорьевна Шепилова**, канд. техн. наук, доцент; кафедра «Автоматика и телемеханика на железнодорожном транспорте» Ростовского государственного университета путей сообщения; г. Ростов-на-Дону, Россия. E-mail: she\_rgups@mail.ru. ORCID 000003-1887-1229.

*The article is recommended for publishing by N. N. Lyabach, Doctor of Technical Sciences, Professor of the Internationale Akademie fur Management und Technologie. (Germany) E-mail: liabakh@rambler.ru.*

**Elena Grigoryevna Shepilova**, Candidate of Technical Sciences, Associate Professor, Department of Automation and Telemechanics in Railway Transport, Rostov State University of Railway Transport; Rostov-on-Don, Russia. E-mail: she\_rgups@mail.ru. ORCID 000003-1887-1229.

Решение стратегических целей развития страны [1] требует обновления кадрового обеспечения транспорта. Это предполагает структурное (совершенствование форм и отношений участников производства транспортных и образовательных услуг) и параметрическое реформирование (оптимизация средств, выделяемых на подготовку кадров, численности подготавливаемых специалистов по различным специальностям и т. д.).

В «Концепции подготовки кадров для транспортного комплекса до 2035 года» раскрывается комплекс задач по подготовке специалистов всех видов транспорта, направленный на обеспечение заданного уровня безопасности движения, экономической эффективности транспортной сферы, максимального качества предоставления транспортных услуг [2].

Средствами решения этих задач видится цифровизация и интеллектуализация образовательного процесса в образовательных учреждениях Министерства транспорта РФ. В этом смысле предполагается совершенствовать модели смешанного обучения по широкому спектру специальностей, внедряя

дистанционные образовательные технологии, обеспечить гибкость образовательных программ, используя «цифровой след» обучающегося (индивидуальная образовательная траектория обучающегося должна учитывать его предшествующий опыт учебы и работы), включить в образовательный процесс инструменты виртуальной и дополненной реальности на основе использования виртуальных тренажеров.

Эти задачи решаются в условиях жесткого дефицита времени, финансовых средств, материальных ресурсов, кадров. Поэтому резко повышается роль аналитических методов исследования, определяющих тенденции развития транспортного образования, позволяющих прогнозировать его при тех или иных внешних воздействиях (управляющих и форс-мажорных), обеспечивающих управление образовательным процессом в установленных критерияльных ограничениях.

Для анализа негативной динамики развития сложных процессов в теории менеджмента предлагается использовать инструментарий так называемых порочных кругов Кналла [3, 4] (рис. 1).



Рис. 1. Процесс возможной деградации высшего образования транспортной отрасли, моделируемый с помощью порочного круга Кналла

Слабое финансовое состояние вуза влечет за собой недостаточное кадровое, техническое, материальное, методическое обеспечение образовательного процесса, что, в свою очередь, ведет к низкой квалификации выпускников вуза. Как результат – отрицательный имидж вуза, невысокий конкурс (слабые абитуриенты) и отсутствие заказа на специалистов от государства и предприятий. Вуз не получает достаточно финансирования и круг замыкается.

Системный анализ требует рассматривать проблему в целом, используя, например, ценологический анализ [5]. Научно-образовательный ценоз – совокупность предприятий и учреждений, обеспечивающих устойчивое развитие системы подготовки кадров в транспортной отрасли. Устойчивый ценоз определяет размер и численное соотношение участников этого сложного процесса. Математически ценоз описывается гиперболическим распределением вида [4, 5]:

$$f(x) = \frac{A}{x^a}. \quad (1)$$

В формуле (1) параметры  $A$  и  $a$  характеризуют вид искомой кривой (рис. 2). Расхождения параметров и эмпирически построенных ценозов от

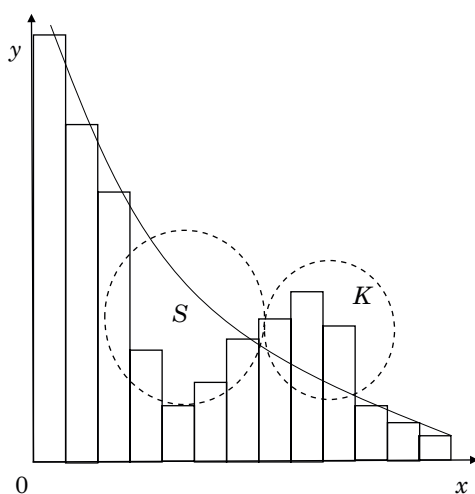


Рис. 2. Гистограмма эмпирического распределения

параметров теоретических кривых определяют степень зрелости исследуемого образования и направления совершенствования исследуемой структуры.

Управление транспортным образованием следует подчинить требованиям теории самоорганизации, объективно устанавливающей баланс между противоречиями жесткой плановой и слабопредсказуемой рыночной схематизации развития, с одной стороны, и между далеко разнесенными уровнями управления отраслевой образовательной деятельностью, с другой. Решение этих противоречий видится в создании института саморегулируемых организаций (СРО) [4]. В этой схеме верхний уровень управления транспортным образованием (Минтранс РФ) отдален от процедуры принятия решений в этой сфере, но контролирует процесс индикативно через СРО. Тактические и оперативные решения принимаются на уровне исполнения заданий в СРО (профессионально), но в рамках выстроенных ограничений (индикаторов).

В основу принятия решений между разными уровнями управления (Минтранс РФ и СРО, СРО и конкретными образовательными учреждениями), а также между хозяйствующими субъектами одного уровня (например, внутри СРО) предлагается осуществлять на основе принципов и механизмов теории активных систем (ТАС) [6]. ТАС обеспечивает объективность и профессионализм принятых решений.

Описательная (лингвистическая) модель порочных кругов Кналла раскрывает лишь качественный смысл этого важного явления (см. рис. 1). Здесь не известны численные показатели развития (скорость деградации системы, время достижения некоторого заданного состояния). Это не позволяет эффективно управлять процессом развития образовательной системы. Для количественного описания этого процесса предлагается использовать два типа аналитических моделей:

$$P_i = ai + b, \quad (2)$$

$$P_{i+1} = kP_i, \quad (3)$$

где  $i$  – момент наблюдения некоторого показателя  $P$  (число обучающихся по заданному профилю, качество обучения, параметры трудоустройства выпускников, их средние зарплаты и т. д.).

В нашем исследовании для задач подготовки кадров можно соотношения (2) и (3) использовать для оценки не только негативных, но и позитивных процессов развития.

В работе [7] показано, что модель вида (2) равносильна модели вида

$$P_{i+1} = P_i + a. \quad (4)$$

Рассмотрим расчетный пример 1: моделирование кругов Кналла для процесса подготовки кадров РГУПС (по специальности «менеджмент»).

В таблице 1 приведены данные по годам о количестве выпускников  $P^1$  (третья строка таблицы) и количестве выпускников, получивших распределение на работу по специальности  $P^2$  (четвертая строка).

Исследуем названные процессы  $P^1$  и  $P^2$ . Для этого на основании таблицы 1 построим зависимости вида (3) и (4). Для каждой пары значений  $P_i$  и  $P_{i-1}$  рассчитаем соответствующие частные параметры моделей  $k$  и  $a$ . Таких пар в нашем случае четыре. Усредним полученные частные значения параметров, причем для параметра  $k$  берем среднегеометрическое среднее (соответствующие модели описывают мультипликативный эффект), а для параметра  $a$  – среднее арифметическое (описываются аддитивные эффекты).

Получим (с точностью до сотых долей):

$$P_i^{1m} = 0,64P_{i-1}^{1m}, P_i^{1a} = P_{i-1}^{1a} - 21,50, \quad (5)$$

$$P_i^{2m} = 0,71P_{i-1}^{2m}, P_i^{2a} = P_{i-1}^{2a} - 12,50. \quad (6)$$

Индексы  $m$  и  $a$  обозначают соответственно мультипликативную и аддитивную модели. Для исследования построенных моделей рассчитаем их ошибки аппроксимации (средние значения модулей отклонений реальных данных от данных, полученных по моделям). Получим:

$$\Delta_m^1 = 3,58, \Delta_a^1 = 9,0,$$

$$\Delta_m^2 = 6,395, \Delta_a^2 = 6,75.$$

Сравнивая оценки аппроксимации процессов  $P^1$  и  $P^2$ , убеждаемся, что в обоих случаях наиболее точными аппроксимирующими зависимостями являются мультипликативные модели. Это:

$$P_i^{1m} = 0,64P_{i-1}^{1m} \text{ и } P_i^{2m} = 0,71P_{i-1}^{2m}.$$

Спрогнозируем по этим моделям дальнейшее развитие исследуемых процессов  $P^1(2022) = P_6^1 = 0,64P_5^1 = 11$  и  $P^2(2022) = P_6^2 = 0,71P_5^2 = 12$ .

Ценологический анализ опирается на следующие положения [4, 5].

1. Если ошибка аппроксимации эмпирической гистограммы велика, то нельзя говорить о наличии сформировавшегося ценоза (устойчивой к возмущениям совокупности исследуемых объектов).

Таблица 1

Характеристика выпусков РГУПС по направлению подготовки «менеджмент»\*

Год	2017	2018	2019	2020	2021
Номер последовательности $i$	1	2	3	4	5
Количество выпускников $P^1$	103	68	43	20	17
Количество выпускников, получивших распределение на работу по специальности $P^2$	67	58	43	20	17

\* Составлено автором по итогам распределения выпускников ФГБОУ ВО РГУПС, предоставленным Центром развития карьеры.



2. Распределение (1) для различных моментов времени  $t = 1, 2, \dots$  дает набор значений параметра  $a_t$ . Ценоз наиболее устойчив при  $a = 1$ . Если последовательность стремится к единице, то ценоз развивается позитивно, если от единицы, то ценоз деградирует.

3. При идентификации позиции конкретного объекта ценоза проводят меры по управлению его развитием. Так, например, если представленный на рис. 2 объект находится в зоне  $S$  (свободное неконкурентное развитие), то потребности рынка будут способствовать его развитию. Если параметры объекта позиционируют его в зоне  $K$  (зоне высокой конкуренции за счет того, что количество агентов здесь превышает теоретически требуемое для устойчивого существования), то позитивное развитие затруднено. Необходимо предпринять меры по переходу, например, в зону  $S$ .

Пример расчета 2. Минобрнауки РФ разработало проект государственной программы поддержки крупнейших вузов «Проект 5-100» [8]. Цель проекта: не менее пяти университетов из числа участников проекта вывести в сотню лучших вузов трех авторитетных мировых рейтингов (Quacquarelli Symonds, Times Higher Education и Academic Ranking of World Universities).

Минобрнауки РФ и Совет «Проекта 5-100» рассматривают возможность расширить список вузов-участников проекта ещё на 10–15 позиций из числа отраслевых вузов. В РГУПС разработан трехкомпонентный механизм оценки отраслевых вузов\*.

А. Оценка по отраслевым показателям, утвержденным учредителем вуза. Предложения РГУПС: удельный вес выпускников, трудоустроившихся в течение календарного года, доля выпускников, трудоустроенных вне места нахождения образовательной организации, отношение средней заработной платы выпускников к средней заработной плате по экономике региона, удельный

вес студентов, прошедших обучение по программам дополнительного образования или профессионального обучения в отчетном году, удельный вес студентов, проходивших производственную практику на оплачиваемых рабочих местах, объем НИР и НИОКР, выполненных в отчетном году по заказу предприятий и организаций отрасли и т. д.

Б. Оценка за достигнутые результаты по десяти показателям результативности. Показатели результативности вуза, предложенные РГУПС: количество публикаций и цитирований в расчете на сто научно-педагогических работников (НПР), индексированных в базах Web of Science и Skopos, удельный вес численности иностранных граждан в составе НПР и иностранных студентов, средний балл ЕГЭ принятых студентов, доля доходов образовательной организации, объемы НИР и НИОКР на одного НПР.

Эта оценка рассчитывается по формуле:

$$S_i = \sum_{j=1}^{10} p_i^j / p_{\max}^j. \quad (7)$$

Здесь  $S_i$  – оценка вуза;  $p_i^j$  – значение  $j$ -го показателя  $i$ -го вуза;  $p_{\max}^j$  – максимальное значение  $j$ -го показателя среди всех оцениваемых вузов.

В. Качественная оценка, проводимая экспертами межведомственного совещательного органа.

Все оценки выбираются по шкале от 0 до 10, три составляющие складываются и находится средняя оценка (сумма делится на три). Экспертные результаты представлены в таблице 2.

Результаты расчета по точкам таблицы 2 зависимости вида (1) представлены на рис. 3. Здесь  $x$  – ранг, а  $y$  – оценка конкурентоспособности.

Коэффициент детерминации  $R^2 = 0,796$  свидетельствует, что доля необъясненной дисперсии в дисперсии зависимой переменной, равная  $1 - R^2 =$

\* Использованы данные аналитического отчета, подготовленного специалистами ФГБОУ ВО РГУПС.

Таблица 2

Оценка конкурентоспособности отраслевых вузов по данным 2016 г.

Вуз	ПГУПС	УрГУПС	РГУПС	МГУПС	СГУПС	ДвГУПС	ИрГУПС	ОмГУПС	СамГУПС
Оценка	3,441	2,936	2,713	2,538	2,531	2,500	2,498	2,202	1,313
Ранг	18	45	61	71	72	75	76	99	175

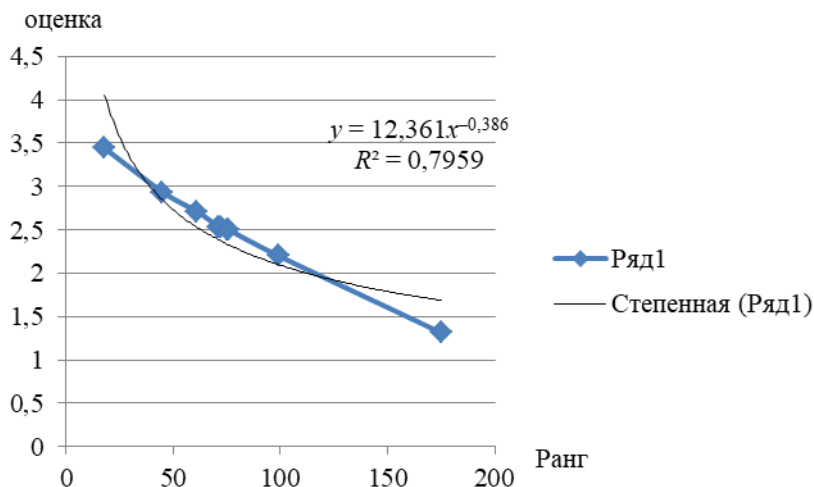


Рис. 3. Результаты аппроксимации предполагаемого ценоза

$= 0,214$ , достаточно велика. Это значит, что гипербола (1) недостаточно хорошо описывает идентифицируемую зависимость. То есть совокупность отраслевых вузов (замкнутую, устойчивую к возмущениям образовательную систему) не представляет. Кроме того, показатель  $\alpha = -0,386$  далек от оптимального значения, равного единице. Следовательно, необходимо предпринять ряд мер по совершенствованию этой образовательной системы: расширить перечень образовательных учреждений (учесть Корпоративный университет РЖД, средние образовательные учреждения отрасли, вузы иных отраслей, готовящих специалистов для транспорта) и усовершенствовать деятельность отраслевых вузов (внедрить саморегулируемую образовательную организацию, объединяющую вузы и регламентирующую их совместную работу [3, 4, 9]).

Необходимо и своевременное развитие сетевых форматов обучения с использованием потенциала нескольких

образовательных организаций и компаний, управление жизненным циклом образовательной программы в глубокой интеграции с заказчиками – бизнес-партнерами из реального сектора экономики [2].

Структурно-организационной формой реализации этих требований могут стать саморегулируемые организации подготовки кадров (СРОПК) [9]. В настоящее время на транспорте уже функционирует несколько СРО (Союз участников железнодорожного рынка, Ассоциация «Промжелдортранс», Союз дорожно-транспортных строителей и др.). Они решают узкоспециализированные задачи своей сферы деятельности. Настало время создать аналогичную организацию в сфере подготовки кадров для отрасли.

СРОПК позволит повысить оперативность и качество управления как отраслью в целом, так и образовательной сферой в частности (за счет перераспределения функций контроля и управления

образовательной деятельностью), расширить спектр и качество образовательных программ, предлагаемых отрасли (за счет объединения усилий образовательных учреждений транспорта), исключить нерациональное дублирование разработки и проведения образовательных процессов на транспорте, обеспечить повышение качества предоставления образовательных услуг [10], повысить организационно-технологическую надежность образовательного процесса [11].

### Выводы

1. Показано, что в современных условиях реструктуризации транспортной отрасли и системы российского образования задача внедрения математических

методов анализа процесса подготовки кадров на транспорте является актуальной.

2. Проанализированы инструменты исследования и организации транспортного образования, основанные на использовании кругов Кналла, ценозов, института саморегулируемых организаций.

3. Рассмотрены примеры прогнозирования развития выпуска специалистов РГУПС по специальности «менеджмент». Показана адекватность мультипликативной модели и дан прогноз. Представлено ценологическое исследование совокупности отраслевых вузов железнодорожного транспорта, показавшего необходимость развития соответствующего ценоза. ■

### Литература

1. Проект Транспортной стратегии на период до 2035 г. URL: <https://omorrss.ru/upload/files/pdf>. (дата обращения: 17.08.21).
2. Об утверждении Концепции подготовки кадров для транспортного комплекса до 2035 года : Распоряжение Правительства РФ от 6 февраля 2021 г. № 255-р. URL: <https://www.garant.ru/products/ipo/prime/doc/400210182/>. (дата обращения: 17.08.21) .
3. Шепилова Е. Г. Организация системы подготовки кадров в отрасли // Вестник университета. № 15. 2014. С. 206–209. ISSN 0236-1914.
4. Подготовка кадров в железнодорожной отрасли: проблемы, пути решения / Е. Г. Шепилова ; ФГБОУ ВО РГУПС. – Ростов-на-Дону. 2014. – 148 с. ISBN 978-5-88814-406-0.
5. Кузьминов А. Н. Методология ценологического анализа социально-экономических систем / Ростовский гос. ун-т путей сообщ. – Ростов-на-Дону, 2009. – 258 с. ISBN 978-5-88814-250-9.
6. Новиков Д. А. Теория управления организационными системами. М. : МПСИ, 2005. – 584 с. ISBN 5-89502-766-0, ISBN 6-00118-010-7.
7. Колесников М. В., Шаповалова, Ю. В. Математический инструментальный процессного подхода при организации транспортно-логистических цепей // Вестник Ростовского государственного университета путей сообщения, 2019. – № 2. С. 98–103. ISSN 0201-727X.
8. Проект 5-100. URL: <http://www.5top100.ru/about/more-about/>. (дата обращения: 17.08.21).
9. Шепилова Е. Г. Методология и инструменты развития транспортных вузов. Ростов-на-Дону : ФГБОУ ВО РГУПС. 2017. – 221 с. ISBN 978-5-88814-544-9.
10. Шабельников А. Н., Шепилова Е. Г. Количественная оценка специалистов при компетентностном подходе к назначению руководителей проекта // Вестник УрГУПС, № 4, 2016. С. 89–95. ISSN 2079-0392.
11. Верескун В. Д., Шепилова Е. Г. Введение в теорию организационно-технологической надежности функционирования высшего учебного заведения // Вестник УрГУПС, № 4, 2016. С. 147–158. ISSN 2079-0392.

### Literature

1. Draft Transport Strategy for the period up to 2035 [Proekt Transportnoj strategii na period do 2035 g.] URL: <https://omorrss.ru/upload/files/pdf>. (accessed: 17.08.21).
2. On approval of the Concept of personnel training for the transport complex until 2035: Decree of the Government of the Russian Federation № 255-r of February 6, 2021. [Ob utverzhdenii Kontseptsii podgotovki kadrov dlya transportnogo kompleksa do 2035 goda :

- Rasporyazhenie Pravitel'stva RF ot 6 fevralya 2021 g.] URL: <https://www.garant.ru/products/ipo/prime/doc/400210182/>. (accessed: 17.08.21) .
3. Shepilova E. G. Organization of the personnel training system in the industry // Herald of the University. [Organizatsiya sistemy podgotovki kadrov v otrasli // Vestnik universiteta.] № 15. 2014. Pp. 206–209. ISSN 0236-1914.
4. Training of personnel in the railway industry: problems, solutions [Podgotovka kadrov v zheleznodorozhnoj otrasli: problemy, puti resheniya] / E. G. Shepilova ; FSBEI HE RSURT. – Rostov-on-Don. 2014. 148 p. ISBN 978-5-88814-406-0.
5. Kuzminov A. N. Methodology of price-based analysis of socio-economic systems [Metodologiya tsenologicheskogo analiza sotsial'no-ehkonomicheskikh sistem] / Rostov State University of Railway Transport. – Rostov-on-Don, 2009. – 258 p. ISBN 978-5-88814-250-9.
6. Novikov D. A. Theory of management of organizational systems. [Teoriya upravleniya organizatsionnymi sistemami] M. : MPSI, 2005. – 584 p. ISBN 5-89502-766-0, ISBN 6-00118-010-7.
7. Kolesnikov M. V., Shapovalova, Yu. V. Mathematical tools of the process approach in organization of transport and logistics chains // Bulletin of the Rostov State University of Railway Transport, [Matematicheskij instrumentarij protsessnogo podkhoda pri organizatsii transportno-logisticheskikh tsepej // Vestnik Rostovskogo gosudarstvennogo universiteta putej soobshheniya] 2019. – № 2. Pp. 98–103. ISSN 0201-727X.
8. Project 5-100. [Proekt 5-100.] URL: <http://www.5top100.ru/about/more-about/>. (accessed: 17.08.21).
9. Shepilova E. G. Methodology and tools for development of transport universities. Rostov-on-Don : FSBEI HE RSURT. 2017. [Metodologiya i instrumenty razvitiya transportnykh vuzov. Rostov-na-Donu : FGBOU VO RGUPS]. 221 p. ISBN 978-5-88814-544-9.
10. Shabelnikov A. N., Shepilova E. G. Quantitative assessment of specialists with a competence-based approach to the appointment of project managers // Herald of USURT, [Kolichestvennaya otsenka spetsialistov pri kompetentostnom podkhode k naznacheniyu rukovoditelej proekta // Vestnik UrGUPS] № 4, 2016. Pp. 89–95. ISSN 2079-0392.
11. Vereskun V. D., Shepilova E. G. Introduction to the theory of organizational and technological reliability of functioning of a higher educational institution // Herald of USURT, [Vvedenie v teoriyu organizatsionno-tekhnologicheskoy nadezhnosti funktsionirovaniya vysshego uchebnogo zavedeniya // Vestnik UrGUPS] № 4. 2016. Pp. 147–158. ISSN 2079-0392.

*Статья сдана в редакцию 18 августа 2021 года*

# Безопасность жизнедеятельности

УДК 621.31

К. Б. Кузнецов, А. Р. Закирова

## Применение энергии электромагнитного поля в дезинфицирующих кабинах для профилактики и снижения распространения вирусных инфекций

UDC 621.31

K. B. Kuznetsov, A. R. Zakirova

## Application of electromagnetic field energy in disinfection cabins for prevention and reduction of spread of viral infections

### Аннотация

В статье предлагается использование дезинфицирующих кабин (дезкабин) для профилактики и снижения распространения вирусных инфекций (воздействует губительная для штамма коронавируса и безвредная для организма человека энергия ЭМП). Приведен анализ публикаций по влиянию электромагнитного поля на бактерии и вирусные инфекции.

Представлена физическая сущность энергии ЭМП, которая основана на оценке величины энергии ЭМП в окружающем пространстве с помощью вектора Пойнтинга. Предложено устройство

для создания энергетической нагрузки ЭМП низкочастотного диапазона с целью рассмотрения её губительного воздействия на штаммы коронавируса. Показана возможность использования дезкабин наряду с альтернативными методами дезинфекции помещений. Предлагаемое использование дезкабин на железнодорожном транспорте позволит проводить безопасную дезинфекцию персонала, одежды и материалов при обязательных медицинских осмотрах работников и обеспечить безопасность движения поездов. При успешных результатах применения дезкабин

процедуру можно использовать для обеззараживания пассажиропотоков. Авторами рассмотрены практические методы и средства по профилактике и снижению рисков распространения новой коронавирусной инфекции COVID-19 в ОАО «РЖД». Стоит обратить внимание, что при альтернативных методах дезинфекции не всегда существует возможность нахождения человека в помещении, что существенно усложняет процедуру дезинфекции и влияет на результат.

**Ключевые слова:** электрические поля, магнитные поля, коронавирус, защита,

*Статья рекомендована к опубликованию Д. В. Лесниковым, канд. техн. наук, доцентом кафедры «Электроснабжение транспорта» Уральского государственного университета путей сообщения.*

**Константин Борисович Кузнецов**, д-р техн. наук, профессор, почетный работник ВПО РФ; кафедра «Техносферная безопасность» Уральского государственного университета путей сообщения; Екатеринбург, Россия. E-mail: kobokuz@gmail.com. orcid 0000-0002-0711-0136.

**Альфия Резавановна Закирова**, канд. техн. наук, доцент; кафедра «Техносферная безопасность» Уральского государственного университета путей сообщения; Екатеринбург, Россия. E-mail: AZakirova@usurt.ru. ORCID 0000-0001-6399-8902.

*The article is recommended for publishing D.V. Lesnikov, Candidate of Technical Sciences, Associate Professor of the Ural State University of Railway Transport.*

**Konstantin Borisovich Kuznetsov**, Doctor of Technical Sciences, Professor, Honorary Worker of RF Higher professional education; Department of «Technospheric Safety» of the Ural State University of Railway Transport; Yekaterinburg, Russia. E-mail: kobokuz@gmail.com. ORCID 0000-0002-0711-0136.

**Alfiya Rezavanovna Zakirova**, Candidate of Technical Sciences, Associate Professor; Department of «Technospheric Safety» of the Ural State University of Railway Transport; Yekaterinburg, Russia. E-mail: AZakirova@usurt.ru. ORCID 0000-0001-6399-8902.

энергетическая нагрузка ЭМП.

DOI: 10.20291/2079-0392-2021-3-102-108

#### Abstract

The article suggests the use of disinfectants (disinfection cabins) for prevention and reduction of the spread of viral infections (EMF energy is applied there which is harmful to coronavirus strain and harmless to the human body). The analysis of publications on the influence of the electromagnetic field on bacteria and viral infections is given.

The physical nature of EMF energy is presented, which is based on estimation

of EMF energy in the surrounding space using the Poynting vector. A device for creating the energy load of low-frequency EMF is proposed in order to consider its harmful effect on coronavirus strains. The possibility of using disinfection cabins along with alternative methods of disinfection of premises is shown. The proposed use of disinfection cabin in railway transport will allow for safe disinfection of personnel, clothing and materials during mandatory medical examinations of employees and ensure the safety of train traffic. With successful results of the use of disinfection

cabins, the procedure can be used to disinfect passenger traffic. The authors consider practical methods and tools for prevention and reduction of the risks of spread of the new coronavirus infection COVID-19 in JSC «Russian Railways». It is worth mentioning that with alternative methods of disinfection, there is not always the possibility of a person being in the room, which significantly complicates the disinfection procedure and affects the result.

**Keywords:** electric fields, magnetic fields, coronavirus, protection, EMF energy load.

DOI: 10.20291/2079-0392-2021-3-102-108

Решение некоторых проблем в области электромагнитной безопасности персонала представлено в [1–4].

По состоянию на 3.05.2020 г. Роспотребнадзором РФ зарегистрировано 134687 заболеваний коронавирусом (при суточной регистрации 10633 случаев). Усилия ученых всего мира направлены на создание вакцины химической природы, но необходимо интенсифицировать другие пути и методы лечения этого заболевания, например, воздействие на вирус техногенным электромагнитным полем.

В 2021 г. в России растет количество случаев коронавирусной инфекции. Медики подвергаются риску заражения COVID-19 не только при лечении больных, но и при приеме людей в поликлиниках и проведении обязательных медицинских осмотров (предрейсовых или предсменных [5]). Разработан ряд документов, касающихся порядка передачи данных о вирусной инфекции. Например, руководители подразделений ОАО «РЖД» для исключения возникновения очагов заболевания должны: а) немедленно информировать всех руководителей смежных подразделений (находящихся в одном

здании, на одной железнодорожной станции, производственной территории, автотранспорте, при взаимодействии сотрудников в технологических процессах и пр.) о возникновении заболевания COVID-19 у работника посредством телефона, электронной почты, любых мессенджеров и пр., б) в суточный срок направить руководителям смежных подразделений по ЕАСД информацию (телеграмма, письмо, телефонограмма) о заболевшем COVID-19 работнике с указанием мест его перемещения, пребывания, в) информацию, переданную через ЕАСД, приобщать к материалам расследования случаев заражения работников COVID-19 и предоставлять в службу НБТ.

С ноября 2020 г. руководители дирекций докладывают руководству ОАО «РЖД» о случаях заболевания COVID за истекшие сутки и о других случаях, по каким-либо причинам не рассмотренных ранее; заполняется чек-лист (таблица).

Для снижения риска заболеваемости 2019-nCoV у работников и медицинского персонала авторами предлагается использование технического средства – дезкабин для облучения энергией ЭМП.



## Чек-лист

ФИО заболевшего COVID
Должность/профессия
Населённый пункт, где находится рабочее место заболевшего
Дата последнего пребывания на рабочем месте (по любой причине, в том числе кратковременно)
Дата начала заболевания (ОРВИ), симптомы. Был ли привит от гриппа
Дата и время записи об ухудшении состояния здоровья в «Журнале здоровья», содержание записи
Дата получения б/листа, диагноз
Дата сдачи теста
По чьей инициативе сдан тест (РПН, врач Минздрава, сам заболевший)
Дата готовности результата теста
Дата получения информации о результате теста работодателем
Состояние заболевшего. Место лечения (по месту жительства, в лечебном учреждении)
Перечень контактных 1-го круга. Действия по ним
Получение постановления РПН на заболевшего
Получение постановления РПН на контактных
Дата проведения текущей дезинфекции
Другие упредительные мероприятия (закрытие помещений, организация нового р. м.)
Заключительная дезинфекция. Дата проведения или планируемая дата. Исключение доступа персонала до проведения заключительной дезинфекции
Получение предписания РПН на заключительную дезинфекцию
Информирование смежников на узле или в местах пребывания заболевшего
Место инфицирования сотрудника (наиболее вероятное, по результатам расследования)
Когда и кем проведён последний инструктаж по профилактике заболевания COVID
Дополнительная информация на усмотрение докладчика или лица, проводящего штаб

Такая процедура губительна для штамма коронавируса и безвредна для организма человека.

В мировой практике нет метода лечения коронавирусной инфекции электрическим и магнитным полями до 300 Гц. На молекулярно-клеточном уровне влияние ЭМП проявляется в изменении химического равновесия в биологических реакциях, электрической активности клеток, изменении активности синтеза белков. Необходимы экспериментальные исследования на биологических материалах человека (слюна со штаммом SARS-CoV-2).

Проведены экспериментальные исследования влияния ЭМП НЧ на вирус гриппа птиц типа А [6], исследования показали эффективность воздействия

слабых и сверхслабых ЭМП на вирусы и бактерии [7]. Результаты можно использовать при разработке методов профилактики вирусных заболеваний и для обеззараживания, применять при разработке новых подходов к стерилизации различных объектов и терапии бактериальных и вирусных заболеваний. Разработана группа изобретений [8] для очистки воздуха от бактерий [9–10]. В [11] анализируется простая модель коронавируса, на которую воздействуют низкочастотным электрическим полем.

Существующие низкочастотные источники ЭМП, используемые для лечения и профилактики ряда заболеваний, имеют регистрационные удостоверения о возможности использования их в сфере здравоохранения [12].

Рассмотрим физическую сущность энергии ЭМП. Энергия электромагнитного поля определяется уравнением [3]:

$$W = \int_V \frac{DE}{2} dV + \int_V \frac{BH}{2} dV = \int_V \left( \frac{\varepsilon E^2}{2} + \frac{\mu H^2}{2} \right) dV. \quad (1)$$

Электромагнитное поле и запас его энергии непрерывно изменяются во времени. Принято допущение, что происходит убывание количества энергии в объеме  $V$  со скоростью

$$-\frac{dW}{dt} = - \int_V \left( \varepsilon E \frac{dE}{dt} + \mu H \frac{dH}{dt} \right) dV. \quad (2)$$

Из уравнений Максвелла следует:

$$\varepsilon \frac{dE}{dt} = [\nabla H] - \gamma E; \quad \mu \frac{dH}{dt} = -[\nabla E]. \quad (3)$$

Рассматривая оператор  $\nabla$  как символ дифференцирования и обращаясь с ним формально как с вектором, получаем

$$\begin{aligned} \nabla[E \cdot H] &= E[\nabla H] + H[\nabla E] = \\ &= H[\nabla E] - E[\nabla H]. \end{aligned} \quad (4)$$

Выражение скорости убывания энергии примет следующий вид:

$$-\frac{dW}{dt} = \int_V \gamma E^2 dV + \int_V \Delta[E \cdot H] dV. \quad (5)$$

Член уравнения  $\int_V \gamma E^2 dV$  выражает энергию, преобразуемую в тепло за единицу времени. Второй член уравнения преобразуем по теореме Остроградского – Гаусса:

$$\int_V \nabla[E \cdot H] dV = \int_S [E \cdot H] ds. \quad (6)$$

Плотность потока энергии в единицу времени будет равна

$$S = [E \cdot H], \quad (7)$$

где  $S$  – поток энергии (вектор Пойнтинга), Вт/м<sup>2</sup> или ВА/м<sup>2</sup>;  $E$  – напряженность

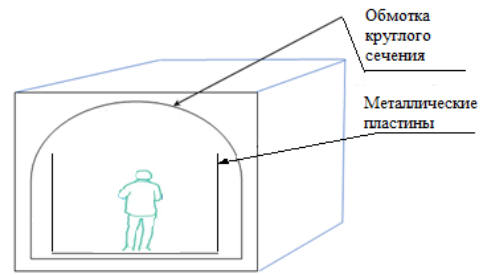
электрического поля, В/м;  $H$  – напряженность магнитного поля, А/м.

Приведенное выражение определяет энергию ЭМП, которой можно влиять на вирусы и бактерии, но необходима безопасная для человека энергия ЭМП. Для этого определены предельно безопасные уровни (ПБУ) энергетической нагрузки низкочастотного ЭМП [3], полученные на основе предельно допустимых уровней (ПДУ), установленных [13] в Директиве Европейского парламента.

Выдвинута идея создания источников, уничтожающих штаммы вирусов, включая COVID-19, в дозах, не представляющих угрозу для животных и человека.

Для снижения риска заболеваемости 2019-nCoV предлагается полученные уровни приравнять к максимальным разовым дозам энергии ЭМП и использовать в дезкабинах.

Внешний вид структуры дезкабины для создания энергетической дезинфицирующей нагрузки ЭМП 50 Гц представлен на рис.



Структура дезкабины

На обмотку круглого сечения подается ток, в результате внутри дезкабины образуется переменное магнитное поле. После подачи напряжения на параллельные металлические пластины создается электрическое поле. Регулируя величину тока и напряжения можно создавать разные уровни энергии ЭМП. С помощью низкочастотного генератора (на рис. не представлен) можно изменять частоту тока и напряжения, тем самым создавать энергию ЭМП до 300 Гц. Это своего рода электротерапевтический

метод воздействия энергии ЭМП на человека (персонал). В России электротерапевтические методы лечения признаются медицинскими [14].

Современные приборы, применяемые в электролечении, не способны в полной мере создавать энергетическую нагрузку ЭМП, необходимую для эффективного губительного воздействия на штамм вируса COVID-19 из-за отсутствия комплексных исследований, поэтому предлагается использовать дезкабину. Конечно, не стоит забывать про противопоказания при влиянии энергии ЭМП на человека. Медицинский работник сначала должен ознакомиться с медицинской картой работника, оценить показания и противопоказания. Человек находится в дезкабине не более трех минут, и после этой процедуры начинается безопасный стандартный прием врача. Техническая часть дезкабины основывается на устройстве для создания энергии ЭМП [15].

Реализация устройства возможна только в комплексном междисциплинарном исследовании совместно с медицинскими работниками, биофизиками и биологами. Особое внимание уделяется вспомогательному персоналу. Экспериментальную работу с биологическими объектами ведут лица, допущенные к этой работе с разрешения руководства. Лаборатории должны иметь санитарно-эпидемиологическое заключение о возможности проведения работ с возбудителями инфекционных заболеваний человека III–IV патогенности. Лица, допущенные к экспериментальной работе с биологическими объектами, несут ответственность за соблюдение правил содержания и использования биологических материалов.

Взятие диагностического материала, его маркировка и упаковка выполняется медицинским работником, прошедший инструктаж по санитарно-эпидемиологическим требованиям и правилам

биологической безопасности при работе с пациентами, потенциально инфицированными микроорганизмами группы II патогенности. Сотрудники, осуществляющие взятие диагностического материала, должны быть обеспечены средствами индивидуальной защиты: респираторы типа FFP2 или их эквивалент, или пневмошлем, обеспечивающий более высокий уровень защиты; очки для защиты глаз или защитный экран; противочумный костюм, одноразовые латексные (резиновые) перчатки; водонепроницаемый фартук.

В ходе экспериментов определяются уровни энергии ЭМП до 300 Гц, губительные для штамма коронавируса.

Предложения и основные выводы по использованию электромагнитного поля с целью защиты медперсонала, находящегося в постоянном контакте с работниками, от вирусной инфекции с помощью технических средств дезинфекции:

- рассмотрены практические методы и средства контроля персонала ОАО «РЖД», применяемые при возможном возникновении вирусных инфекций и методы предотвращения их распространения;

- изучены научные исследования в области воздействия ЭМП на вирусную инфекцию, представлен анализ публикаций в рассматриваемой области исследования. Показано, что на вирусную инфекцию можно повлиять электромагнитным полем различных частот;

- представлены исследования авторов, в результате которых получены предельно безопасные уровни (ПБУ) энергетической нагрузки ЭМП для человека в диапазоне частот  $\geq 25$ –1000 Гц;

- предлагается использовать новое техническое средство в виде дезкабин для облучения энергией ЭМП, которая будет губительной для штамма коронавируса и безвредной для организма человека. ■

**Литература**

1. Закирова А. Р., К. Б. Кузнецов, Плиева А. М., Темеркеева Я. М. Исследование воздействия электромагнитных полей 50 Гц на биологические объекты // Вестник УрГУПС. – 2016. – № 4 (32). – С. 159–169. ISSN 2079-0392.
2. Kuznetsov K., Zakirova A. On Technogenic Impact of Electromagnetic Components of Rectified Current and Voltage on Environment // Proceedings-2019 International Russian Automation Conference, Sochi, 2019, Paper 8867806.
3. Закирова А. Р. Защита электротехнического персонала от вредного воздействия электромагнитных полей : монография. – Екатеринбург : Изд-во УрГУПС, 2017. – 188 с. ISBN 978-5-94614-428-5.
4. Закирова А. Р. Концепция оценки аддитивного воздействия на персонал электрических и магнитных полей до 1 кГц // Вестник УрГУПС. – 2019. – № 2 (42). – С. 87–93. ISSN 2079-0392.
5. Приказ Министерства транспорта РФ от 12 января 2021 г. № 4 «Об утверждении Порядка проведения обязательных предрейсовых или предсменных медицинских осмотров на железнодорожном транспорте». URL : [http://www.consultant.ru/cons/cgi/online.cgi?req=home&utm\\_csourc=online&utm\\_cmedium= button](http://www.consultant.ru/cons/cgi/online.cgi?req=home&utm_csourc=online&utm_cmedium= button) (дата обращения: 15.06.2021).
6. Замула С. В. Влияние электромагнитных полей низких частот на выживаемость вируса гриппа птиц // Проблемы ветеринарной санитарии, гигиены и экологии. – № 1 (3). – 2010. – С. 88–92. ISSN 2075-1818.
7. Каторгин В. С., Готовский Ю. В., Царева Н. П., Мулюкин А. Л. Воздействие сверхслабого электромагнитного поля на жизнеспособность микроорганизмов. URL : <http://www.Imedis.ru>. (дата обращения: 15.06.2021).
8. Патент РФ № 2592223 от 25.11.2014, опублик. 20.07.2016. Бюл. № 20.
9. Готовский Ю. В., Косарева Л. Б., Фролова Л. А., Перов Ю. Ф. Грибковые инфекции. Диагностика и терапия : методическое пособие. – М. : ИМЕДИС. – 2-е изд. – 2001. – 128 с.
10. Готовский Ю. В., Косарева Л. Б., Фролова Л. А. Резонансно-частотная диагностика и терапия грибков, вирусов, бактерий, простейших и гельминтов : методические рекомендации. – М. : ИМЕДИС. – 2000. – 3-е изд. – 70 с.
11. Гуляев Ю. В., Таранов И. В., Черепенин В. А., Использование мощных электромагнитных импульсов для воздействия на бактерии и вирусы // Доклады Российской академии наук. – 2020. – Т. 493. – С. 15–17. ISSN 2686-7400 (print).
12. Directive 2013/35/EU of the European parliament and of the council of 26 June 2013 on the minimum health and safety requirements regarding the exposure of workers to the risks arising from physical agents (electromagnetic fields) (20-th individual Directive within the meaning of Article 16(1) of Directive 89/391/EEC). N L 179, 29.06.2013.
13. Регистрационное удостоверение Федеральной службы по надзору в сфере здравоохранения (Росздравнадзор) № ФСП 2007/00136 от 21.06.2019. URL [http://www.consultant.ru/cons/cgi/online.cgi?req=home&utm\\_csourc=online&utm\\_cmedium= button](http://www.consultant.ru/cons/cgi/online.cgi?req=home&utm_csourc=online&utm_cmedium= button) (дата обращения: 15.06.2021).
14. Приказ Минздрава СССР от 21 декабря 1984 г. № 1440 «Об утверждении условных единиц на выполнение физиотерапевтических процедур, норм времени по массажу, положений о физиотерапевтических подразделениях и их персонале». URL : [http://www.consultant.ru/cons/cgi/online.cgi?req=home&utm\\_csourc=online&utm\\_cmedium= button](http://www.consultant.ru/cons/cgi/online.cgi?req=home&utm_csourc=online&utm_cmedium= button) (дата обращения: 15.06.2021).
15. Патент РФ № 2589497 от 09.06.2016, опублик. 10.07.2016. Бюл. № 19.

**Literature**

1. Zakirova A. R., K. B. Kuznetsov, Plieva A. M., Temerkeeva Ya. M. Investigation of the effect of 50 Hz electromagnetic fields on biological objects // Herald of USURT. [Issledovanie vozdejstviya ehlektromagnitnykh polej 50 Gts na biologicheskie obyekty // Vestnik UrGUPS.] – 2016. – № 4 (32). – Pp. 159–169. ISSN 2079-0392.
2. Kuznetsov K., Zakirov A. On Technogenic Impact of Electromagnetic Components of Rectified Current and Voltage on Environment // Proceedings-2019 International Russian Automation Conference, Sochi, 2019, Paper 8867806.
3. Zakirova A. R. Protection of electrical personnel from the harmful effects of electromagnetic fields: monograph. – Yekaterinburg: Publishing house of USURT, [Zashhita ehlektrotekhnicheskogo personala ot vrednogo vozdejstviya ehlektromagnitnykh polej :

- monografiya. – Ekaterinburg : Izdatel'stvo UrGUPS] 2017. – 188 p. ISBN 978-5-94614-428-5.
4. Zakirova A. R. The concept of assessing the additive effect of electric and magnetic fields up to 1 kHz on personnel // Herald of USURT. [Kontseptsiya otsenki additivnogo vozdeystviya na personal ehlektricheskikh i magnitnykh polej do 1 kGts // Vestnik UrGUPS.] – 2019. – № 2 (42). – Pp. 87–93. ISSN 2079-0392.
5. Order of the Ministry of Transport of the Russian Federation № 4 dated January 12, 2021 «On approval of the Procedure for conducting mandatory pre-trip or pre-shift medical examinations on railway transport». [Prikaz Ministerstva transporta RF ot 12 yanvarya 2021 g. № 4 «Ob utverzhdenii Poryadka provedeniya obyazatel'nykh predrejsovykh ili predsmennnykh meditsinskikh osmotrov na zheleznodorozhnom transporte».] URL : [http://www.consultant.ru/cons/cgi/online.cgi?req=home&utm\\_csource=online&utm\\_medium=button](http://www.consultant.ru/cons/cgi/online.cgi?req=home&utm_csource=online&utm_medium=button) (accessed: 15.06.2021).
6. Zamula S. V. Influence of electromagnetic fields of low frequencies on the survival of the avian influenza virus // Problems of veterinary sanitation, hygiene and ecology. [Vliyanie ehlektromagnitnykh polej nizkikh chastot na vyzhivaemost' virusa grippa ptits // Problemy veterinarnoj sanitarii, gigieny i ehkologii.] – № 1 (3). – 2010. – Pp. 88–92. ISSN 2075-18.
7. Katorgin V. S., Gotovsky Yu. V., Tsareva N. P., Mulyukin A. L. The effect of ultra-weak electromagnetic field on viability of microorganisms. [Vozdeystvie sverkhslabogo ehlektromagnitnogo polya na zhiznesposobnost' mikroorganizmov.] URL: <http://www.Imedis.ru>. (accessed: 15.06.2021).
8. Patent of the Russian Federation № 2592223 of 25.11.2014, publ. 20.07.2016. Bul. № 20. [Patent RF № 2592223 ot 25.11.2014, opublikovannyj 20.07.2016. Byulleten' № 20].
9. Gotovsky Yu. V., Kosareva L. B., Frolova L. A., Perov Yu. F. Fungal infections. Diagnostics and therapy : a methodological guide. [Gribkovye infektsii. Diagnostika i terapiya : metodicheskoe posobie.] – M. : IMEDIS. – 2nd ed. – 2001. – 128 p.
10. Gotovsky Yu. V., Kosareva L. B., Frolova L. A. Resonance-frequency diagnostics and therapy of fungi, viruses, bacteria, protozoa and helminths: methodological recommendations. [Rezonansno-chastotnaya diagnostika i terapiya gribkov, virusov, bakterij, prostejshikh i gel'mintov : metodicheskie rekomendatsii.] – M.: IMEDIS. – 2000. – 3rd ed. – 70 p.
11. Gulyaev Yu. V., Taranov I. V., Cherepenin V. A., The use of powerful electromagnetic pulses for influencing bacteria and viruses // Reports of the Russian Academy of Sciences. [Ispol'zovanie moshhnykh ehlektromagnitnykh impul'sov dlya vozdeystviya na bakterii i virusy // Doklady Rossijskoj akademii nauk.] – 2020. – Vol. 493. – Pp. 15–17. ISSN 2686-7400 (print).
12. Directive 2013/35/EU of the European parliament and of the council of 26 June 2013 on the minimum health and safety requirements regarding the exposure of workers to the risks arising from physical agents (electromagnetic fields) (20-th individual Directive within the meaning of Article 16(1) of Directive 89/391/EEC). N L 179, 29.06.2013.
13. Registration certificate of the Federal Service for Supervision of Healthcare (Roszdravnadzor) № FSR 2007/00136 of 21.06.2019. [Registratsionnoe udostoverenie Federal'noj sluzhby po nadzoru v sfere zdravookhraneniya (Roszdravnadzor) № FSR 2007/00136 ot 21.06.2019.] URL [http://www.consultant.ru/cons/cgi/online.cgi?req=home&utm\\_source=eonline&utm\\_medium=button](http://www.consultant.ru/cons/cgi/online.cgi?req=home&utm_source=eonline&utm_medium=button) (accessed: 15.06.2021).
14. Order of the Ministry of Health of the USSR № 1440 of December 21, 1984 «On approval of conventional units for performing physiotherapy procedures, massage time standards, regulations on physiotherapy units and their personnel». [Приказ Минздрава СССР от 21 декабря 1984 г. № 1440 «Об утверждении условных единиц на выполнение физиотерапевтических процедур, норм времени по массажу, положений о физиотерапевтических подразделениях и их персонале».] URL [http://www.consultant.ru/cons/cgi/online.cgi?req=home&utm\\_csource=online&utm\\_medium=button](http://www.consultant.ru/cons/cgi/online.cgi?req=home&utm_csource=online&utm_medium=button) (accessed: 15.06.2021).
15. Patent of the Russian Federation № 2589497 of 09.06.2016, publ. 10.07.2016. Bul. № 19. [Patent RF № 2589497 ot 09.06.2016, opublikovannyj 10.07.2016. Byulleten' № 19].

*Статья сдана в редакцию 1 июля 2021 года*

УДК 625.144.004.69+06

*А. А. Назаретов***Экспериментальные исследования уровней звукового давления на рабочих местах операторов средств малой механизации при шлифовании рельсов**

UDC 625.144.004.69+06

*A. A. Nazaretov***Experimental studies of sound pressure levels at the workplaces of operators of small-scale mechanization equipment when grinding rails****Аннотация**

Интенсивный износ рельсов в кривых существенно сокращает срок их службы, снижает эффективность эксплуатационной работы. Перспективным направлением в решении данной проблемы является технология шлифования рельсов, позволяющая производить механическую обработку головки рельсов без их демонтажа в условиях железнодорожного пути.

В статье приведены результаты исследований шумового воздействия на работников путевого хозяйства при шлифовании рельсов средствами малой механизации – рельсошлифовальным станком СШ-1, шлифовальным станком 2152Д и ручной машиной для шлифовки рельсов МРШЗ. Проведен анализ различных компоновок рельсошлифовальных станков, их особенностей, технических характеристик и октавных уровней звукового давления при работе этих станков на холостом ходу и под нагрузкой. По результатам экспериментальных исследований построены графические зависимости уровней звукового давления рельсошлифовальных станков, выявлено превышение уровня шума над допустимыми санитарными нормами в зоне шлифования рельсов средствами малой механизации.

**Ключевые слова:** уровень шума, шлифование рельсов, малая механизация, оператор, вибрация, абразивный круг, частотный диапазон.

DOI: 10.20291/2079-0392-2021-3-109-115

**Abstract**

Intensive wear of rails in curves significantly reduces their service life, reduces the efficiency of operational work. A promising direction in solving this problem is the technology of rail grinding, which allows mechanical processing of the rail head without dismantling them in the conditions of a railway track.

The article presents the results of studies of the noise impact on track workers when grinding rails by means of small mechanization-a rail-grinding machine SH-1, a grinding machine 2152D and a manual machine for grinding rails MRS3. The analysis of various layouts of rail grinding machines, their features, technical characteristics and octave levels of sound pressure when these machines are running at idle and under load was carried out. According to the results of experimental studies, graphical dependences of the sound pressure levels of rail grinding machines are constructed, the excess of the noise level over the permissible sanitary standards in the area of rail grinding by means of small mechanization is revealed.

**Keywords:** noise level, rail grinding, small mechanization, operator, vibration, abrasive wheel, frequency range.

DOI: 10.20291/2079-0392-2021-3-109-115

*Статья рекомендована к опубликованию В. А. Финоченко, д-ром техн. наук, профессором Ростовского государственного университета путей сообщения. E-mail: fin@rgups.ru.*

**Андрей Алексеевич Назаретов**, доцент; кафедра «Вагоны и вагонное хозяйство» Ростовского государственного университета путей сообщения; г. Ростов-на-Дону, Россия. E-mail: nazaretov.andrey@yandex.ru. ORCID 0000-0001-6250-0316.

*The article is recommended for publishing by V.A. Finochenko, Doctor of Technical Sciences, Professor of the Rostov State University of Railway Transport. E-mail: fin@rgups.ru.*

**Andrey Alekseevich Nazaretov**, Associate Professor; Department «Rail Cars and Rolling Stock», Rostov State University of Railway Transport; Rostov-on-Don, Russia. E-mail: nazaretov.andrey@yandex.ru. ORCID 0000-0001-6250-0316.



**Р**ельсошлифовальный станок СШ-1 предназначен для шлифовки сборных и цельнолитых крестовин, снятия наплавлений и накатов с концов рельсов и остальных частей стрелочных переводов. Шлифовка и снятие наплавлений применимы ко всем типам рельсов. В путевом хозяйстве при шлифовании рельсошлифовальные и шлифовальные машины и станки – основные средства малой механизации. Типовая компоновка средств малой механизации для шлифования рельсов представлена на рис. 1 [1, 2].

Особенность компоновки рельсошлифовального станка СШ-1 заключается в том, что он может двигаться автономно, для этого устанавливается бензиновый двигатель. На такой станок можно устанавливать электродвигатель, но приходится за станком передвигать отдельно стоящий дизель-генератор, к которому подключается электродвигатель.

На железную рамку с колесами установлены остальные части СШ-1. На каркасе располагается бензиновый двигатель, который с помощью зубчатого ремня приводит в движение шлифовальный круг. Зажимной механизм позволяет регулировать угол шлифовки и добиваться идеальной поверхности и профиля рельса.

Технические характеристики рельсошлифовального станка приведены в таблице 1.



Рис. 1. Рельсошлифовальный станок

Основные источники шума при производстве работ по шлифованию – это акустическое излучение привода шлифовального круга, сам шлифовальный круг и непосредственно рельс; человек (оператор) находится очень близко к источнику шума. Октавные уровни звукового давления измерялись на рабочем месте оператора [3, 4].

Результаты измерений показали, что шум привода шлифовального круга уже на холостом режиме превышает санитарные нормы по октавам, дБ: четвертая – 5, пятая – 7, шестая – 8, седьмая – 10, восьмая – 13 в области средних и высоких нормируемых частот 250–4000 Гц (рис. 2).

К особенностям спектрального состава шума привода относится практическая равномерная интенсивность звукового излучения во всем частотном диапазоне, в котором уровни звукового давления превышают предельно допустимые величины. Процесс шлифования

Таблица 1

Наименование	Значение
Тип привода	ДВС Honda GX-160S
Максимальная мощность двигателя при 4000 об/мин, кВт	4,0
Шлифовальный круг максимальный диаметр круга, мм обозначение круга	250 250×32×32 14A80 СТЗ БА 24Q В 40 м/с (для железнодорожных рельсов рельсов)
Максимальная частота вращения круга, об/мин	3000
Максимальная окружная скорость круга, м/с	39
Сухая масса	110
Габаритные размеры	2270×1500×827

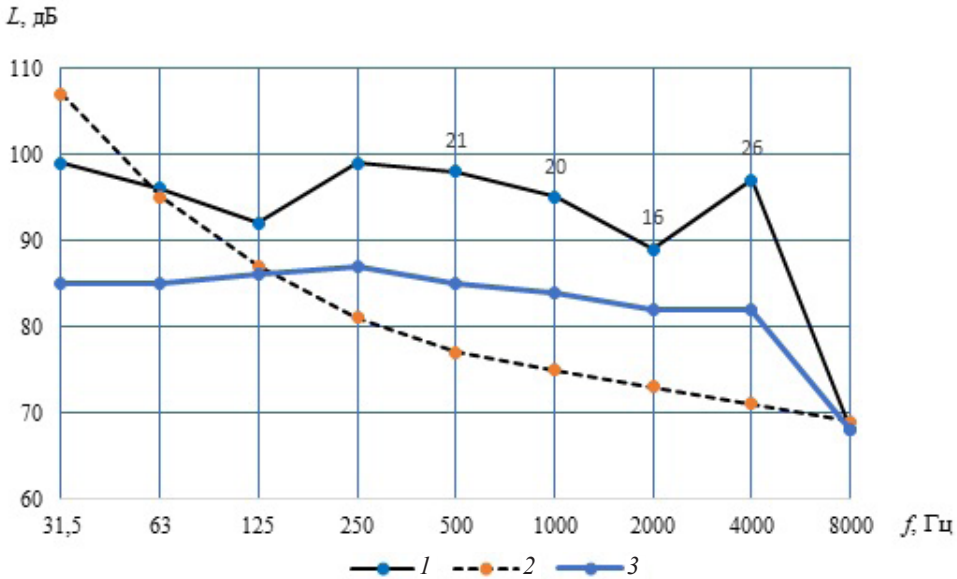


Рис. 2. Уровни звукового давления рельсошлифовальной машины СШ-1  
1 – уровень шума под нагрузкой; 2 – предельно допустимые уровни; 3 – уровень шума, создаваемый приводом на холостом ходу

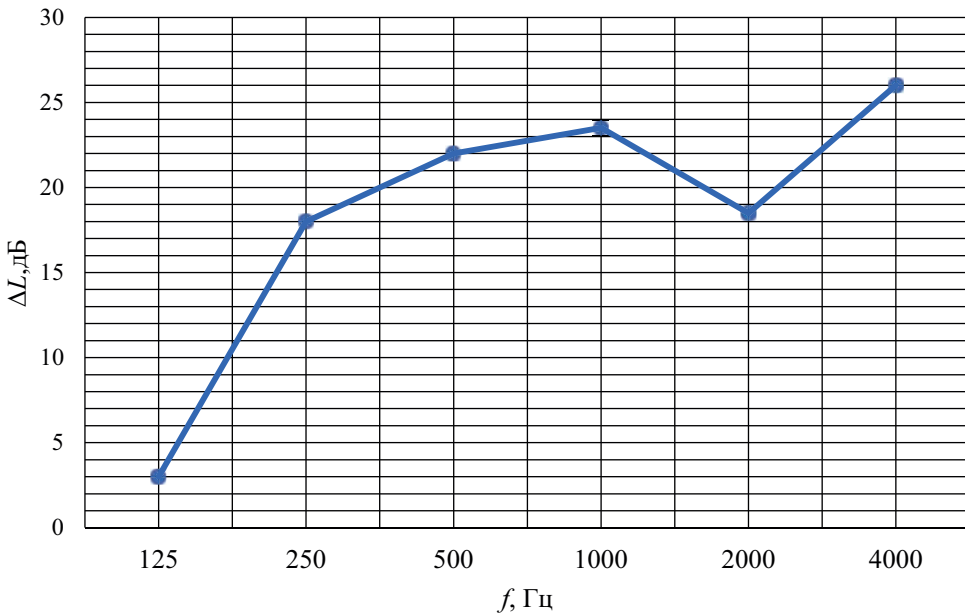


Рис. 3. Превышение уровней звукового давления на рабочем месте оператора при шлифовании рельсов

значительно изменяет характер спектра шума. Уровни звукового давления превышают санитарные нормы практически в аналогичном частотном диапазоне, хотя добавляется превышение

уровня звукового давления в третьей октаве на 3 дБ (рис. 3) [5, 6, 8].

В интервале 250–2000 Гц величины превышений составляют 18–23 дБ, а в восьмой октаве – 26 дБ.



Рис. 4. Шлифовальный станок 2152Д

Экспериментальные исследования также проводились на шлифовальном станке 2152Д и ручной машине для шлифовки рельсов МРШЗ.

Шлифовальный станок 2152Д предназначен для шлифования крестовин

типа Р50, Р65 марок 1/9, 1/11, 1/18 до и после наплавки, наплавленных концов рельсов, снятия боковых накатов с элементов стрелочных переводов и рельсов (рис. 4) [7].

Технические характеристики шлифовального станка 2152Д приведены в таблице 2.

Результаты измерений уровней звукового давления шлифовального станка 2152Д представлены на рис. 5.

Ручная машина для шлифовки рельсов МРШЗ с электрическим двигателем используется для зачистки торцов и наплавленных концов рельсов, крестовин и остяков стрелочных переводов, зашлифовывания дефектов, зачистки сварных швов (рис. 6, таблица 3).

Преимущества ручной машины для шлифовки рельсов МРШЗ – низкая цена

Таблица 2

Наименование	Значение
Масса, кг	58
Габаритные размеры, мм	1475×1780×1015
Работает на четырехтактном двигателе внутреннего сгорания, мощностью, кВт	4,0
Длина копирных линеек, мм	1600
Диаметр шлифовального круга, мм	250
Допустимая окружная скорость, м/с	40

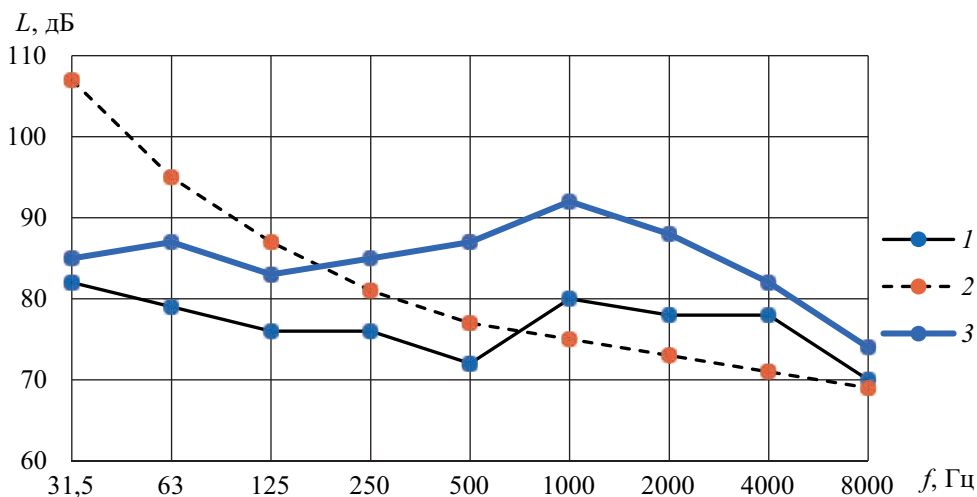


Рис. 5. Уровни звукового давления рельсошлифовального станка 2152Д

1 – уровень шума на холостом ходу; 2 – предельно допустимые уровни; 3 – уровень шума, создаваемый приводом под нагрузкой



Рис. 6. Рельсошлифовальная машина МРШЗ

время работы на оператора действует высокая вибрация.

Результаты измерений уровней звукового давления машины для шлифовки рельсов МРШЗ представлены на рис. 7.

Распространение уровней звукового давления рельсошлифовальной машины МРШЗ имеет схожий характер с предыдущими рельсошлифовальными станками, но более пологие формы превышения в пятой и шестой октавах: 9 дБ.

### Выводы

на расходные материалы (шлифкруги), легкая, небольшая мощность двигателя, простота в эксплуатации, но во

Экспериментальные исследования шумового воздействия на работников путевого хозяйства при шлифовании

Таблица 3

Наименование	Значение
Вес, кг	11,5
Габаритные размеры, мм	480×247×214
Тип двигателя	Электродвигатель трехфазный, 220В, 50 Гц
Мощность на валу при 2800 об/мин, кВт	0,4
Диаметр абразивного круга, мм	200
Допустимая окружная скорость, м/с	40

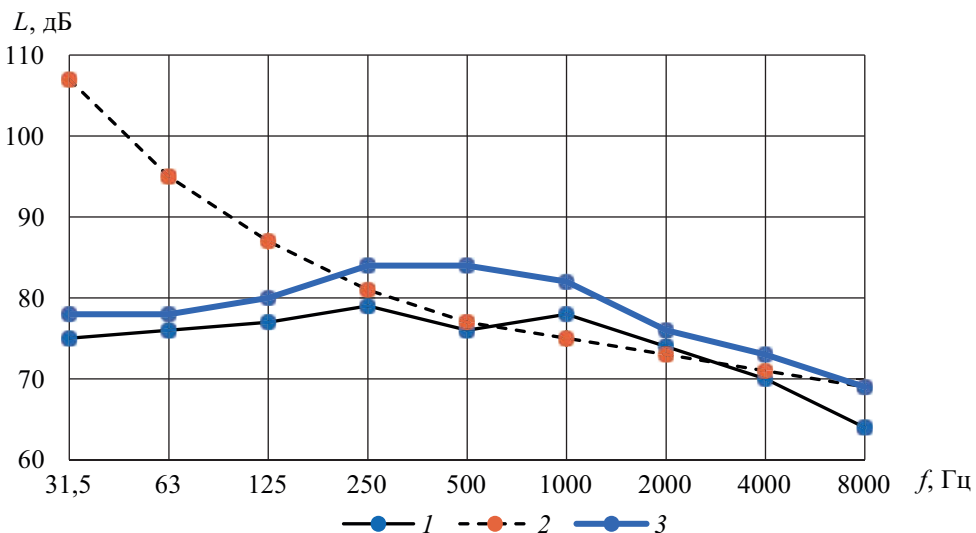


Рис. 7. Уровни звукового давления рельсошлифовальной машины МРШЗ

1 – уровень шума на холостом ходу; 2 – предельно допустимые уровни; 3 – уровень шума, создаваемый приводом под нагрузкой

рельсов рельсошлифовальным станком СШ-1, шлифовальным станком 2152Д и ручной машиной для шлифовки рельсов МРШЗ показали, что уровни звукового давления всех рассмотренных средств малой механизации, несмотря на их размеры и особенности эксплуатации на холостом ходу и под нагрузкой, превышают предельно допустимые величины санитарных норм. Анализ полученных результатов и построенных графических зависимостей

уровней шума рельсошлифовальных станков показал превышение уровня шума над допустимыми санитарными нормами в зоне шлифования рельсов работниками путевого хозяйства. Выявленные закономерности дают основание для разработки инженерных решений по снижению уровней звукового давления в местах применения средств малой механизации в путевом хозяйстве железных дорог. ■

### Литература

1. Назаретов А. А., Яицков И. А., Чукарин А. Н. Анализ акустических характеристик при шлифовании рельсов средствами малой механизации и снижение шума систем приводов рельсошлифовальных станков // Вестник РГУПС. 2020. № 1 (77). С. 34–40. ISSN 0201-727X.
2. Назаретов А. А., Яицков И. А. Об уровнях виброакустических факторов условий труда на рабочих местах монтеров пути при шлифовании рельсов // Труды РГУПС. 2019. № 4. С. 85–87. ISSN 1818-5509.
3. Яицков И. А., Чукарин А. Н. Экспериментальные исследования шума на рабочих местах локомотивных бригад тепловозов // Вестник РГУПС. – 2018. № 3. С. 37–45. ISSN 0201-727X.
4. Развитие технологий шлифования рельсов // Железные дороги мира. – 2011. – № 10. – С. 59–62. ISSN 0321-1495.
5. Переверзев И. Г., Чубарь Е. П., Яицков И. А. К вопросу влияния человеческого фактора на безопасность технологических процессов на железнодорожном транспорте // Труды РГУПС. 2020. № 1 (50). С. 64–66. ISSN 1818-5509.
6. Баланова М. В., Финоченко Т. А., Яицков И. А. Методика и техническое обеспечение проведения экспериментальных исследований по определению шума на рабочих местах // Труды РГУПС. 2019. № 1. С. 5–7. ISSN 1818-5509.
7. Мотренко Д. В., Яицков И. А., Чукарин А. Н. Условия труда операторов деревообрабатывающих станков / Труды РГУПС. 2019. № 1. С. 59–60. ISSN 1818-5509.
8. Яицков И. А., Чукарин А. Н., Финоченко Т. А. Исследование влияния звукового излучения рельса на спектр шума в кабинах машинистов // Международный технико-экономический журнал. 2018. № 6. С. 106–113. ISSN 1995-4646.

### Literature

1. Nazaretov A. A., Yaitskov I. A., Chukarin A. N. Analysis of acoustic characteristics when grinding rails by means of small mechanization and noise reduction of drive systems of rail grinding machines // Herald of RSURT. [Analiz akusticheskikh kharakteristik pri shlifovanii rel'sov sredstvami maloj mekhanizatsii i snizhenie shuma sistem privodov rel'soshlifoval'nykh stankov // Vestnik RGUPS.] 2020. № 1 (77). Pp. 34–40. ISSN 0201-727X.
2. Nazaretov A. A., Yaitskov I. A. On the levels of vibroacoustic factors of working conditions at the workplaces of track fitters when grinding rails // Proceedings of RSURT. [Ob urovnyakh vibroakusticheskikh faktorov uslovij truda na rabochikh mestakh monterov puti pri shlifovanii rel'sov // Trudy RGUPS.] 2019. № 4. Pp. 85–87. ISSN 1818-5509.
3. Yaitskov I. A., Chukarin A. N. Experimental studies of noise at workplaces of locomotive crews of diesel locomotives // Herald of RSURT. [Ehksperimental'nye issledovaniya shuma na rabochikh mestakh lokomotivnykh brigad teplovozov // Vestnik RGUPS.] – 2018. № 3. Pp. 37–45. ISSN 0201-727X.
4. Development of rail grinding technologies // Railways of the world. [Razvitie tekhnologij shlifovaniya rel'sov // Zheleznnye dorogi mira] – 2011. – № 10. – Pp. 59–62. ISSN 0321-1495.
5. Pereverzev I. G., Chubar E. P., Yaitskov I. A. On the issue of the human factor influence on safety of technological processes in railway transport // Proceedings of RSURT [K voprosu

- vliyaniya chelovecheskogo faktora na bezopasnost' tekhnologicheskikh protsessov na zheleznodorozhnom transporte // Trudy RGUPS.] RSURT. 2020. № 1 (50). Pp. 64–66. ISSN 1818-5509.
6. Baranova, M. V., Finogenko T. A., Yaitskov I. A. Methodology and technical support of experimental studies to determine the noise at work // Proceedings of RSURT. [Metodika i tekhnicheskoe obespechenie provedeniya ehksperimental'nykh issledovaniy po opredeleniyu shuma na rabochikh mestakh // Trudy RGUPS.] 2019. № 1. S. 5–7. ISSN 1818-5509.
  7. Motrenko D. V., Yaitskov I. A., Chukarin A. N. Working conditions of the operators of woodworking machines / Proceedings of RSURT [Usloviya truda operatorov derevoobrabatyvayushhikh stankov / Trudy RGUPS.] 2019. № 1. P. 59–60. ISSN 1818-5509.
  8. Yaitskov I. A., Chukarin A. N., Finochenko T. A. Investigation of the impact of rail sound radiation on the noise spectrum in driver cabins // International Technical and Economic Journal. [Issledovanie vliyaniya zvukovogo izlucheniya rel'sa na spektr shuma v kabinakh mashinistov // Mezhdunarodnyj tekhniko-ehkonomicheskij zhurnal] 2018. № 6. Pp. 106–113. ISSN 1995-46.

*Статья сдана в редакцию 4 сентября 2021 года*



# Аспирантская тетрадь

УДК 65.011.4

Д. Ю. Горелова

## Методика определения коэффициента эластичности организационной сети

UDC 65.011.4

D. Y. Gorelova

## Method of determining the elasticity coefficient of the organizational network

### Аннотация

Разработана методика определения эластичности организационной сети. Сформулировано значение эластичности в рамках сетевой организационной структуры. Приведена классификация эластичности организационных сетей – от неэластичной до эластичной структуры.

Принято рассматривать эластичность организационной сети в совокупности с понятием «резервирование», где под резервом принимаются производственные мощности предприятий, не включенных в структуру организационной сети по директивным показателям.

Представлена методика расчета эластичности по  $i$ -му фактору и  $j$ -му типу предприятия-поставщика. Интегральный показатель эластичности принято рассматривать как среднее квадратичное для каждого вида продукции от каждого типа предприятия-поставщика с введением весовых коэффициентов, учитывающих доли объема поставок по каждому типу предприятий.

Проведена верификация методики определения эластичности организационной сети. Выявлена зависимость, показывающая рост коэффициента эластичности при увеличении разницы между объемом запрашиваемой продукции и объемом поставки от предприятия. Определено, что коэффициент эластичности организационной сети снижается при не включении в резерв продукции от дочерних, зависимых или предприятий на договорном праве.

**Ключевые слова:** организационная сеть, сетевое взаимодействие, устойчивость организационных сетей, устойчивость, эластичность, эластичность организационной сети, резерв, резерв производственных мощностей.

DOI: 10.20291/2079-0392-2021-3-116-126

### Abstract

The method for determining the organizational system elasticity has been developed. The value of elasticity within the network organizational structure is formulated. The classification of elasticity of organizational networks is given – from inelastic to elastic structure.

It is customary to consider elasticity of the organizational network in conjunction with the concept of «reservation», where production capacities of enterprises that are not included into the structure of the organizational network according to directive indicators are taken as a reserve.

The method of calculating elasticity by the  $i$ -factor and the  $j$ -type of the supplier enterprise is presented. The integral elasticity indicator should be considered as a quadratic average for each type of product from each type of supplier enterprise with introduction of weighting coefficients that take into account the shares of the supply volume for each type of enterprise.

Verification of methodology for determining elasticity of the organizational network was carried out. The dependence showing the growth of the elasticity coefficient with increase in the difference between the volume of the requested product and volume of delivery from the enterprise is revealed. It is determined that the elasticity coefficient of the organizational network decreases when products from subsidiaries, dependent or contractual enterprises are not included into the reserve.

**Keywords:** organizational network, network interaction, stability of organizational networks, stability, elasticity, elasticity of the organizational network, reserve, reserve of production capacities.

DOI: 10.20291/2079-0392-2021-3-116-126

Статья рекомендована к опубликованию И. Д. Громовым, канд. техн. наук; Свердловская железная дорога – филиал ОАО «РЖД» E-mail: idgromov@gmail.com.

Дарья Юрьевна Горелова, аспирант кафедры «Путь и железнодорожное строительство» Уральского государственного университета путей сообщения; Екатеринбург, Россия. E-mail: DGorelova@usurt.ru. ORCID 0000-0002-5653-2036.

The article is recommended for publishing by I. D. Gromov, Candidate of Technical Sciences; Sverdlovsk Railway-branch of JSC "Russian Railways" E-mail: idgromov@gmail.com.

Daria Yuryevna Gorelova, Post-graduate Student of the Department «Rail Track and Railway Construction» of the Ural State University of Railway Transport; Yekaterinburg, Russia. E-mail: DGorelova@usurt.ru. ORCID 0000-0002-5653-2036.

Эффективность управления в организационной сети – это успешная реализация производственного потенциала элементов сети (узлов) посредством организации их в определенную структуру и обеспечение заданного уровня устойчивости при различных воздействиях как внутри, так и вне системы [1]. Другими словами, эффективная организация отдельных участников воедино и координация их взаимодействия возможна лишь при грамотном упорядочении всех взаимодействующих элементов в единое целое с возможностью предугадать и предупредить дальнейшие возмущения в системе [2]. Эффективная система должна быть открыта для внешней среды и готова к изменениям, при этом факторы воздействия не должны негативно сказываться на ней [3]. В современной литературе неоднократно доказывается, что чем активнее внешняя среда воздействует на организацию, тем гибче должна быть ее структура управления, чтобы своевременно и адекватно воздействовать с внешней средой [4–7].

Для решения задачи анализа структуры управления сетью компаний предлагается рассматривать устойчивость как наиболее значимый анализируемый параметр.

Устойчивость сети зависит от устойчивости как каждого отдельного узла, так и совокупности и взаимосвязанности участников в целом.

Организационные сети сохраняют и изменяют свою устойчивость благодаря механизму отбора ее элементов. Механизм отбора заключается в отборе и закреплении в структуре сети полезных компонентов и связей, развивающих качественную и качественную определенность сети, или удаление элементов и связей, препятствующих развитию сети [8]. Таким образом, сеть развивается путем отбора элементов, необходимых сети и обладающих наибольшим сопротивлением внешним воздействиям.

В настоящей работе предложено устойчивость организационной сети определять как комплексный показатель:

$$K_{уст} = f(K_{инт}, K_{эл}, K_{г.с}, K_{э}), \quad (1)$$

где  $K_{инт}$  – интегральный показатель устойчивости интегратора;  $K_{эл}$  – показатель устойчивости элементов сети;  $K_{г.с}$  – коэффициент геометрии организационной сети;  $K_{э}$  – коэффициент эластичности организационной сети.

Поскольку интегратор напрямую, либо через партнеров взаимодействует со всеми элементами в сети, то, определив его устойчивость, можно получить количественную оценку, характеризующую не только устойчивость интегратора, но и устойчивость всей сети в целом. Однако одного его будет недостаточно – расчет по отдельным узлам предоставляет лишь односторонний анализ.

$$K_{инт} = f(K_{пост}, K_{зак}, K_{собств}). \quad (2)$$

Интегральный показатель устойчивости сети является функционалом от интегрального коэффициента устойчивости поставок сети  $K_{пост}$ , интегральных коэффициентов устойчивости заказов  $K_{зак}$ , интегрального показателя собственной устойчивости самого интегратора  $K_{собств}$ .

Так как интегратор сети – такой же элемент, как и остальные предприятия, обособленный лишь по нескольким функциональным признакам, то методика расчета  $K_{инт}$  аналогична расчету интегрального показателя устойчивости любого узла (элемента) сети.

Итак, чтобы получить численные значения предложенных характеристик, необходимо предложить и исследовать различные зависимости данных показателей, с учетом различных факторов, формализуя влияние данных факторов в виде конкретных измерений.

Коэффициент эластичности  $K_{э}$  (как основная характеристика эластичности сети) характеризует степень чувствительности структуры управления сетью к изменению различных факторов внутренней и внешней среды. Этот показатель отражает готовность структуры измениться под изменяющиеся условия.

В современных публикациях о менеджменте не встречается подобного определения эластичности, поэтому для простоты понимания предложен термин из смежной области – маркетинга. Его семантическая интерпретация под задачи данной работы адаптирована; в [9–11] гибкость спроса определяется термином «эластичность»: «Степень чувствительности спроса к изменению различных факторов (цена товара, доход потребителя, цены товаров-заменителей и дополняющих товаров) называется эластичностью спроса».

Мы предлагаем следующее определение эластичности организационной сети: «Эластичность организационной сети – это степень чувствительности структуры к изменению различных факторов внутренней и внешней сред».

Согласно закону наименьшего сопротивления (равновесия), где всякая система стремится измениться так, чтобы воздействие на нее внешних факторов было сведено к минимуму, показатель эластичности организационной сети  $K_o$  отражает ее готовность измениться под изменяющиеся условия. По аналогии с эластичностью спроса, приведем классификацию эластичности организационных сетей.

Неэластичная организационная сеть – изменения факторов внешней и внутренней среды не вызывают изменения самой сети. Такая сеть может существовать в двух случаях: когда связи между элементами сети не способны к изменениям (не способны формироваться вновь или разрываться) и когда организационная сеть закрытая (внешние воздействия не влияют на ее элементы, между ними непреодолимый барьер).

Эластичная организационная сеть: изменения факторов внешней и внутренней сред вызывают адекватные изменения в организационной сети.

Эластичность организационной сети напрямую зависит от воздействующих на нее факторов. Чтобы определить эластичность количественно, необходимо

измерить воздействие факторов. В нашем случае под воздействием факторов будем понимать поставку (недопоставку) продукции или оказанных услуг.

Единичной эластичностью организационной структуры является такое значение, при котором незначительные воздействия различных факторов (внутренней или внешней среды) способны вызвать интенсивные изменения структуры организационной сети.

Эластичность организационной сети в общем виде:

$$K_o = f(k_v(i) \cdot k_{p.o}(i)), \quad (3)$$

где  $k_v(i)$  – весовой коэффициент, отражающий степень влияния  $i$ -го фактора на организационную сеть;  $k_{p.o}(i)$  – расчетный коэффициент эластичности фактора (поставок продукции или оказания услуг).

Рассматривая эластичность организационной сети со стороны поставок продукции (оказания услуг), будем использовать понятие «резервирование».

Под резервом будем понимать производственные мощности предприятий, которые были отклонены при формировании организационной сети директивно. В качестве директивных ограничений используем показатели: коэффициент надежности поставки,  $k_{\text{прог}}$  и удаленность от утопической точки  $L_i$ .

Коэффициент надежности поставки характеризует устойчивую работу активной части производственных фондов и вычисляется на основе двух коэффициентов – состояния и обновления активной части производственных фондов. Коэффициент надежности поставки прогнозирует работу активной части производственных фондов по гиперб-

$$\text{лическому закону: } y = a \pm \frac{b}{x}.$$

Отбор зависимых предприятий и предприятий на договорном праве происходит по показателям автаркии или самообеспечения [12], которые после ранжируются по принципу утопической точки Парето (УТ). Параметр

удаленности от УТ,  $L_i$ , является директивным для отбора предприятий.

Таким образом, отклоненные предприятия де-факто становятся резервными для организационной сети, что позволяет обеспечивать ее эластичность.

Тогда расчетный коэффициент эластичности организационной сети по  $i$ -му фактору (по поставкам продукции,  $Q(i)$ ) и  $j$ -му типу предприятия-поставщика:

$$K_{э,р}(j) = 1 - \sum_{i=1}^n \frac{Q_{зак(i)}^{(j)}}{Q_{зак(i)}^{(j)} + \Delta Q_{иск(i)}^{(j)}}, \quad (4)$$

где  $Q_{зак(i)}^{(j)}$  – объемы продукции (услуг), запрашиваемые у дочерних, зависимых предприятий и предприятий на договорном праве, т. е. по всем  $j$ , руб.;  $\Delta Q_{иск(i)}^{(j)}$  – объемы продукции (услуг) дочерних, зависимых предприятий и предприятий на договорном праве исключенных директивно, руб.

При этом для дочерних предприятий с учетом коэффициента директивно ограничивающего надежность выполнения контракта,  $k_{прог}$ :

$$\Delta Q_{иск(i)}^{(j=1)} = Q_{прог(i)}^{(j=1)} \cdot \sqrt{k_{прог}}. \quad (5)$$

Для зависимых предприятий и предприятий на договорном праве:

$$\Delta Q_{иск(i)}^{(j=2,3)} = (Q_{прог(i)}^{(j=2,3)} - Q_{пост(i)}^{(j=2,3)})(1 - L(i)). \quad (6)$$

Итак, интегральный показатель эластичности организационной сети для  $i$ -го вида продукции при  $j = 1, 2, 3$ :

$$K_{э,р}(i) = \sqrt{\frac{(a_1 K_{э,р(j=1)})^2 + (a_2 K_{э,р(j=2)})^2 + (a_3 K_{э,р(j=3)})^2}{3}}, \quad (7)$$

где  $a_{1,2,3}$  – коэффициенты, учитывающие доли объемов поставок от трех групп предприятий (элементов сети);  $\sum a_{1,2,3} = 1$ .

Рассмотрим поставку в организационной сети трех видов продукции дочерними, зависимыми предприятиями и предприятиями на договорном праве, являющихся резервными. Исходная информация представлена в таблицах 1, 2.

Далее сведем расчеты коэффициента эластичности по каждому виду продукции в таблицу. В таблицах 3–5 представлены расчеты трех производственных ситуаций, в которых изменяется объем заказанной продукции.

На основании разобранных ситуаций можно сделать вывод, что коэффициент эластичности  $K_{э,р}(j)$  по каждому виду продукции тем больше, чем больше разница между объемом запрашиваемой продукции и объемом поставки ( $\Delta Q_{иск(i)}^{(j)} - Q_{зак(i)}^{(j)}$ ), что не противоречит нашему представлению (рис. 1).

Сравним интегральный коэффициент эластичности по каждому виду продукции в ситуации, когда один из видов резервных предприятий (дочерние, зависимые или предприятия на договорном праве) не смог предоставить запрашиваемый объем продукции (оказание услуг). Расчеты представлены в таблицах 6–8.

Таблица 1  
Информация дочерних предприятий по трем видам продукции.

Предприятие	$Q_{прог}$	$K_{прог}$	$\sqrt{K_{прог}}$	$Q_{пос}$
Продукт 1				
Дочернее 1	274781	0,455	0,675	185351
Продукт 2				
Дочернее 2	124582	0,455	0,675	84036
Продукт 3				
Дочернее 3	112030	0,555	0,745	83461
Дочернее 4	54231	0,546	0,739	40073

Таблица 2

Информация зависимых предприятий и предприятий на договорном праве  
по трем видам продукции

Предприятие	$L(i)$	$Q_{\text{прод}}$	$1 - L(i)$	$Q_{\text{пос}}$
Продукт 1				
Зависимое 1	0,711	125000	0,289	36083
Зависимое 2	0,738	187000	0,262	48994
Предприятие на договорном праве 1	0,672	130835	0,328	42849
Продукт 2				
Зависимое 3	0,809	232000	0,191	44228
Зависимое 4	0,834	137000	0,166	22742
Предприятие на договорном праве 2	0,682	117600	0,318	37365
Предприятие на договорном праве 3	0,781	112100	0,219	24529
Продукт 3				
Зависимое 5	0,788	235700	0,212	49987
Зависимое 6	0,817	198230	0,183	36276
Предприятие на договорном праве 4	0,854	157000	0,146	22951
Предприятие на договорном праве 5	0,823	162000	0,177	28619

Таблица 3

Расчеты коэффициента эластичности организационной сети по трем видам  
продукции. Ситуация 1

Наименование	$Q_{\text{зак}(i)}^{(j)}$	$\Delta Q_{\text{иск}(i)}^{(j)}$	$K_{\text{з.п.}}(j)$ (формула 4)	$\alpha$ (доли объемов поставок)	$K_{\text{з.п.}}(i)$ (формула (7))	$K_{\text{з}}$ (формула (3)) при $k_{\text{с}}(i) = 0,8$
Продукт 1						
Дочерние	120000	185351	0,607	0,59	0,233	0,186
Зависимые	60000	85077	0,586	0,27		
Предприятия на договорном праве	20000	42849	0,682	0,14		
Продукт 2						
Дочерние	120000	84036	0,412	0,39	0,183	0,146
Зависимые	60000	47906	0,444	0,31		
Предприятия на договорном праве	20000	61893	0,756	0,29		
Продукт 3						
Дочерние	120000	123534	0,507	0,47	0,196	0,123
Зависимые	60000	86263	0,590	0,33		
Предприятия на договорном праве	20000	51570	0,721	0,20		

Таблица 4

Расчеты коэффициента эластичности организационной сети по трем видам продукции. Ситуация 2

Наименование	$Q_{\text{зак}(i)}^{(j)}$	$\Delta Q_{\text{иск}(i)}^{(j)}$	$K_{\text{э,п}}(j)$ (формула (4))	$\alpha$ (доли объемов поставок)	$K_{\text{э,п}}(i)$ (формула (7))	$K_{\text{э}}$ (формула 3) при $k_{\text{э}}(i) = 0,7$
Продукт 1						
Дочерние	80000	185351	0,699	0,59	0,257	0,180
Зависимые	60000	85077	0,586	0,27		
Предприятия на договорном праве	60000	42849	0,417	0,14		
Продукт 2						
Дочерние	80000	84036	0,512	0,39	0,172	0,120
Зависимые	60000	47906	0,527	0,31		
Предприятия на договорном праве	60000	61893	0,508	0,29		
Продукт 3						
Дочерние	80000	123534	0,607	0,47	0,206	0,144
Зависимые	60000	86263	0,590	0,33		
Предприятия на договорном праве	60000	51570	0,462	0,20		

Таблица 5

Расчеты коэффициента эластичности организационной сети по трем видам продукции. Ситуация 3

Наименование	$Q_{\text{зак}(i)}^{(j)}$	$\Delta Q_{\text{иск}(i)}^{(j)}$	$K_{\text{э,п}}(j)$ (формула (4))	$\alpha$ (доли объемов поставок)	$K_{\text{э,п}}(i)$ (формула (7))	$K_{\text{э}}$ (формула (3)) при $k_{\alpha}(i) = 0,6$
Продукт 1						
Дочерние	20000	185351	0,903	0,59	0,146	0,088
Зависимые	60000	85077	0,586	0,27		
Предприятия на договорном праве	120000	42849	0,263	0,14		
Продукт 2						
Дочерние	20000	84036	0,808	0,39	0,156	0,094
Зависимые	60000	47906	0,527	0,31		
Предприятия на договорном праве	120000	61893	0,340	0,29		
Продукт 3						
Дочерние	20000	123534	0,861	0,47	0,154	0,092
Зависимые	60000	86263	0,590	0,33		
Предприятия на договорном праве	120000	51570	0,301	0,20		



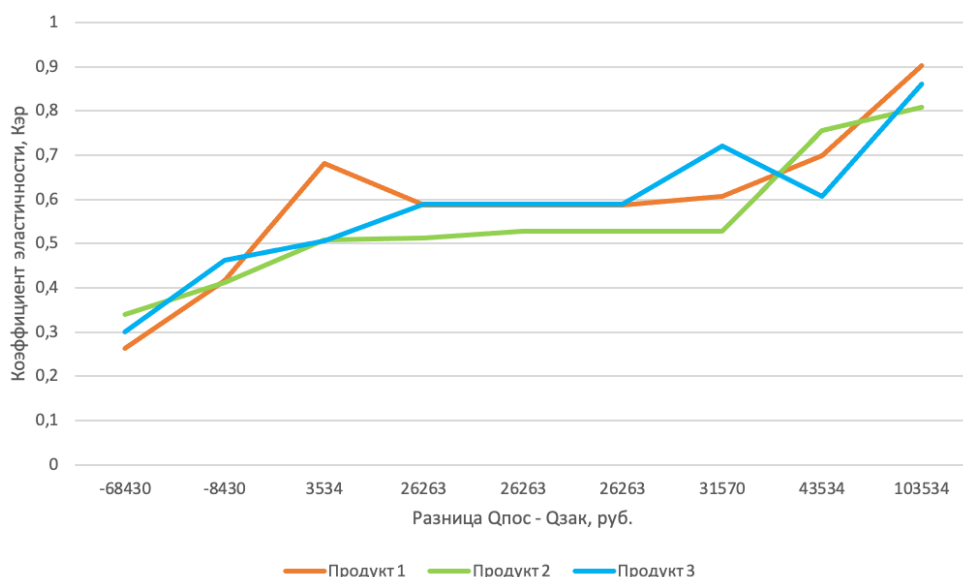


Рис. 1. Зависимость коэффициента эластичности продукции от объема поставки

Таблица 6

Расчеты коэффициента эластичности организационной сети по трем видам продукции при отсутствии поставок предприятий на договорном праве

Наименование	$Q_{\text{зак}}^{(j)}(i)$	$\Delta Q_{\text{иск}}^{(j)}(i)$	$K_{\text{э,р}}(i)$ (формула (4))	$\alpha$ (доли объемов поставок)	$K_{\text{э,р}}(i)$ (формула (7))	$K_{\text{э}}$ (форму- ла (3)) при $k_{\text{э}}(i) = 0,8$
Продукт 1						
Дочерние	120000	185351	0,607	0,59	0,226	0,181
Зависимые	60000	85077	0,586	0,27		
Предприятия на договорном праве	20000	0	0	0,14		
Продукт 2						
Дочерние	120000	84036	0,412	0,39	0,132	0,106
Зависимые	60000	47906	0,444	0,31		
Предприятия на договорном праве	20000	0	0	0,29		
Продукт 3						
Дочерние	120000	123534	0,507	0,47	0,141	0,113
Зависимые	60000	86263	0,590	0,33		
Предприятия на договорном праве	20000	0	0	0,20		

Уменьшение коэффициентов эластичности при отсутствии поставок от дочерних, зависимых предприятий или

предприятий на договорном праве наглядно представлены на рис. 2–4.

Таблица 7

Расчеты коэффициента эластичности организационной сети по трем видам продукции при отсутствии поставок зависимых предприятий

Наименование	$Q_{\text{зак}(i)}^{(j)}$	$\Delta Q_{\text{иск}(i)}^{(j)}$	$K_{\text{з.п}}(j)$ (формула (4))	$\alpha$ (доли объемов поставок)	$K_{\text{з.п}}(i)$ (формула (7))	$K_{\text{з}}$ (формула (3)) при $k_{\text{з}}(i) = 0,7$
Продукт 1						
Дочерние	80000	185351	0,699	0,59	0,240	0,168
Зависимые	60000	0	0	0,27		
Предприятия на договорном праве	60000	42849	0,417	0,14		
Продукт 2						
Дочерние	80000	84036	0,512	0,39	0,143	0,100
Зависимые	60000	47906	0,527	0,31		
Предприятия на договорном праве	60000	61893	0,508	0,29		
Продукт 3						
Дочерние	80000	123534	0,607	0,47	0,173	0,121
Зависимые	60000	86263	0,590	0,33		
Предприятия на договорном праве	60000	51570	0,462	0,20		

Таблица 8

Расчеты коэффициента эластичности организационной сети по трем видам продукции при отсутствии поставок дочерних предприятий

Наименование	$Q_{\text{зак}(i)}^{(j)}$	$\Delta Q_{\text{иск}(i)}^{(j)}$	$K_{\text{з.п}}(j)$ (формула (4))	$\alpha$ (доли объемов поставок)	$K_{\text{з.п}}(i)$ (формула (7))	$K_{\text{з}}$ (формула (3)) при $k_{\text{г}}(i) = 0,6$
Продукт 1						
Дочерние	20000	0	0	0,59	0,094	0,056
Зависимые	60000	85077	0,586	0,27		
Предприятия на договорном праве	120000	42849	0,263	0,14		
Продукт 2						
Дочерние	20000	0	0	0,39	0,110	0,066
Зависимые	60000	47906	0,527	0,31		
Предприятия на договорном праве	120000	61893	0,340	0,29		
Продукт 3						
Дочерние	20000	0	0	0,47	0,118	0,071
Зависимые	60000	86263	0,590	0,33		
Предприятия на договорном праве	120000	51570	0,301	0,20		

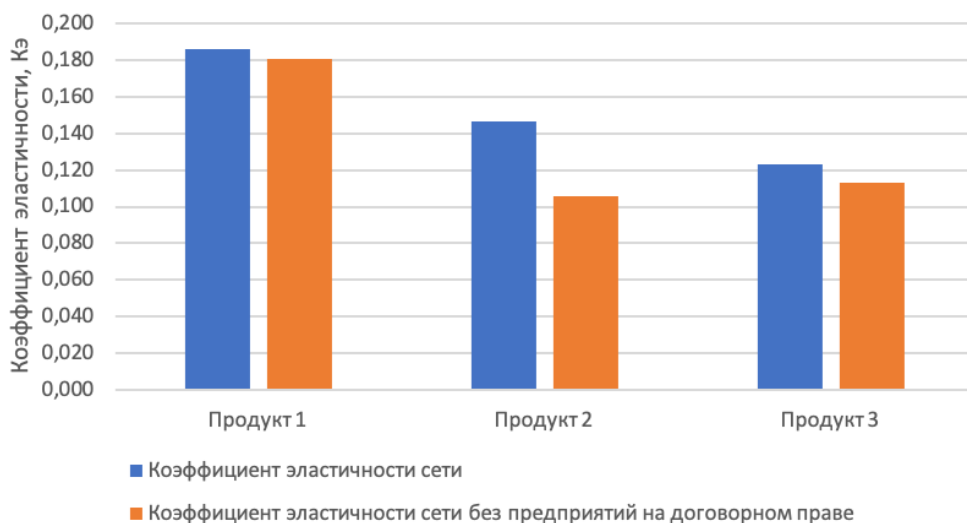


Рис. 2. Сопоставление эластичности организационной сети при наличии поставок от всех видов предприятий и при отсутствии поставок продукции от предприятий на договорном праве

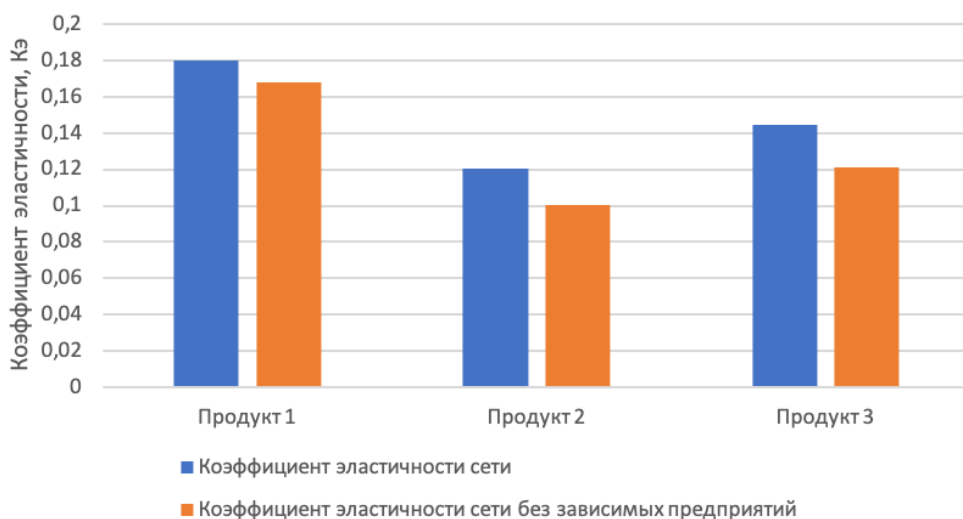


Рис. 3. Сопоставление эластичности организационной сети при наличии поставок от всех видов предприятий и при отсутствии поставок продукции от зависимых предприятий

### Выводы и предложения

1. Предложенная методика определения эластичности организационной сети основана на резервировании объемов продукции (оказания услуг) от дочерних, зависимых предприятий и предприятий на договорном праве,

не включенных в состав организационной сети по директивным показателям.

2. Интегральный показатель эластичности организационной сети зависит от показателей эластичности для каждого вида предприятий (дочерних, зависимых предприятий и предприятий на договорном праве) и по каждому

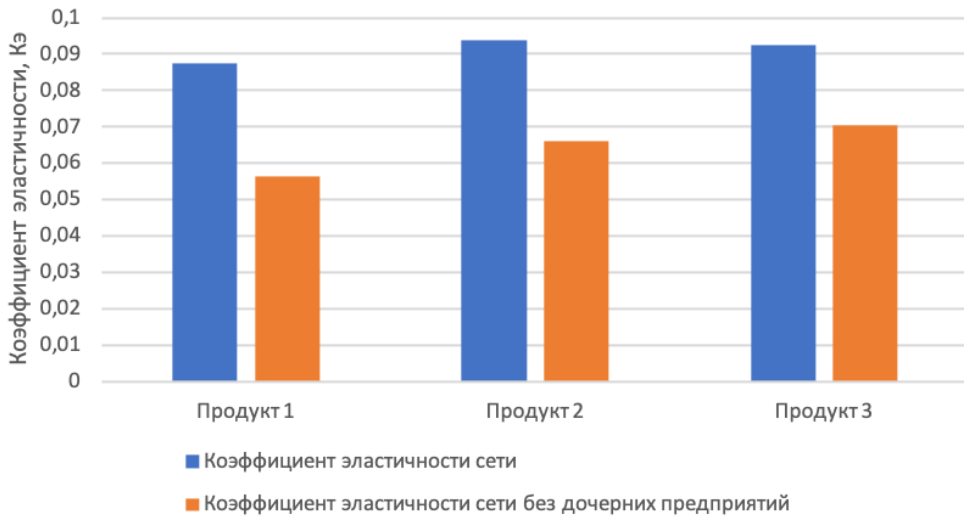


Рис. 4. Сопоставление эластичности организационной сети при наличии поставок от всех видов предприятий и при отсутствии поставок продукции от дочерних предприятий

виду продукции (оказания услуг). Важность каждого вида продукции (оказания услуг) задается директивно.

3. Определено что эластичности организационной сети зависит от разницы между объемом запрашиваемой у резервного предприятия продукции (услуг) и объемом поставляемой им продукции. Чем разница между запросом и поставкой больше, тем эластичность сети выше.

4. При невключении продукции какого-либо вида предприятий (дочерних, зависимых или предприятий на договорном праве) в резерв понижается интегральная эластичность сетевой организационной структуры.

5. Предложенная методика определения эластичности является составной частью модели оценки сетевой организационной структуры. ■

#### Литература

1. Сай В. М. Методология построения сетевых организационных структур на железнодорожном транспорте : дисс. ... на соиск. уч. ст. д-ра техн. наук. – Екатеринбург : УрГУПС, 2003. 389 с.
2. Мохонько В. П., Исаков В. С., Куренков П. В. Система поддержки принятия экономически обоснованных решений // Экономика железных дорог. 2005. № 1. С.18–26. ISSN 1727-6500.
3. Сизый С. В. Устойчивость и стабильность предприятий в организационных сетях // Вестник РГУПС. 2010. № 3. С. 122–127. ISSN 0201-7272.
4. Сай В. М., Сизый С. В. Геометрические характеристики организационных сетей // Мир транспорта. 2010. № 4 (32). С. 10–17. ISSN 1992-3252.
5. Громов И. Д. Формализация и настройка организационной сети с разделенными интересами // Вестник РГУПС. 2015. № 3 (58). ISSN 0201-727X.
6. Сизый С. В., Маевский В. В. Геометрическая прочность сетей. Признаки и показатели надежности сетевых структур // Транспорт: наука, техника, управление. 2010. № 11. С. 13–20. ISSN 0236-1914.
7. Горелова Д. Ю. Методологические подходы определения коэффициента устойчивости в сетевых организационных структурах // Вестник УрГУПС. 2020. № 2 (46). С. 110–120. ISSN 2079-0392.

8. Сай В. М., Горелова Д. Ю. Методика обоснования показателей хозяйствующих субъектов для определения устойчивости организационной сети с использованием многофакторного анализа // Вестник РГУПС. 2020. № 4. С. 102–112. ISSN 0201-727X.
9. Беляев В. И. Маркетинг: основы теории и практики : учебник. – М. : КноРус, 2007, 672 с. ISBN 5-94761-040-X.
10. Лесков Л. В. Наука как самоорганизующая система // Общественные науки и современность, 2003. № 4. С. 147–158. ISSN 0869-0499.
11. Третьяк О. А. Маркетинг: новые ориентиры модели управления. – М. : ИНФРА-М. 2005. 403 с. ISBN 5-16-002029-2.
12. Горелова Д. Ю. Математическая формализация показателей оценки организационной сети // Транспорт Урала. 2020. № 3. С. 94–99. ISSN 1815-9400.

#### Literature

1. Sai V. M. Methodology of building network organizational structures in railway transport: diss. ... for the degree of Doctor of Technical Sciences. [Metodologiya postroeniya setevykh organizatsionnykh struktur na zheleznodorozhnom transporte : dissertatsiya na soiskanie uchenoj stepeni doktora tekhnicheskikh nauk.] – Yekaterinburg : USURT, 2003. 389 p.
2. Mokhonko V. P., Isakov V. S., Kurenkov P. V. System of support for making economically sound decisions // Economics of Railways, [Sistema podderzhki prinyatiya ehkonomicheski obosnovannykh reshenij // Ehkonomika zheleznykh dorog.] 2005. № 1. Pp. 18–26. ISSN 1727-6500.
3. Sizy S. V. Sustainability and stability of enterprises in organizational networks // Bulletin of the RSURT. [Ustojchivost' i stabil'nost' predpriyatij v organizatsionnykh setyakh // Vestnik RGUPS.] 2010. № 3. Pp. 122–127. ISSN 0201-7272.
4. Sai V. M., Sizy S. V. Geometric characteristics of organizational networks // The world of transport. [Geometricheskie kharakteristiki organizatsionnykh setej // Mir transporta] 2010. № 4 (32). Pp. 10–17. ISSN 1992-3252.
5. Gromov I. D. Formalization and configuration of organizational network with divided interests // Vestnik RSURT. [Formalizatsiya i nastrojka organizatsionnoj seti s razdelennymi interesami // Vestnik RGUPS.] 2015. № 3 (58). ISSN 0201-727X.
6. Sizy S. V., Mayevsky V. V. Geometric strength of networks. Signs and indicators of reliability of network structures // Transport: science, technology, management. [Geometricheskaya prochnost' setej. Priznaki i pokazateli nadezhnosti setevykh struktur // Transport: nauka, tekhnika, upravlenie.] 2010. № 11. S. 13–20. ISSN 0236-1914.
7. Gorelova Y. D. Methodological approaches for determining the coefficient of stability in network organizational structures // Herald of USURT. [Metodologicheskie podkhody opredeleniya koefitsienta ustojchivosti v setevykh organizatsionnykh strukturakh // Vestnik UrGUPS] 2020. № 2 (46). P. 110–120. ISSN 2079-0392.
8. Sai V. M., Gorelov, D. Yu. Method of justification of indicators of economic entities to determine the sustainability of the organizational network using multivariate analysis // Bulletin of the RSURT. [Metodika obosnovaniya pokazatelej khozyajstvuyushhikh sub»ektov dlya opredeleniya ustojchivosti organizatsionnoj seti s ispol'zovaniem mnogofaktornogo analiza // Vestnik RGUPS] 2020. № 4. Pp. 102–112. ISSN 0201-727X.
9. Belyaev V. I. Marketing: theory and practice : textbook. [Marketing: osnovy teorii i praktiki : uchebnik.] – М. : KnoRus, 2007, 672 p. ISBN 5-94761-040-X.
10. Leskov L. V. Science as a self-organizing system // Social Sciences and modernity, [Nauka kak samoorganizuyushhaya sistema // Obshhestvennye nauki i sovremennost'] 2003. № 4. P. 147–158. ISSN 0869-0499.
11. Tretyak O. A. Marketing: new directions in management models. [Marketing: novye orientiry modeli upravleniya.] – М. : INFRA-M. 2005. 403 p. ISBN 5-16-002029-2.
12. Gorelov, D. Yu., Mathematical formalization of evaluation indicators of the organizational network // Transport of the Urals. [Matematicheskaya formalizatsiya pokazatelej otsenki organizatsionnoj seti // Transport Urala] 2020. № 3. Pp. 94–99. ISSN 1815-9400.

*Статья сдана в редакцию 13 августа 2021 года*

## Уважаемые коллеги!

### Информирую вас о требованиях, предъявляемых к оформлению статей.

При наборе используйте Word-2003 или Word-2007; шрифт (по всему тексту, в том числе в рисунках и таблицах) – тип Times, размер шрифта – 14, межстрочное расстояние – 1,5, абзацный отступ – 1,25 (1,27) см, поля – 2 см; расстановка переносов по всему тексту – автоматическая.

Набор формул: простые формулы и сочетания символов ( $x^2 < y^2$ ;  $E = mc^2$ ;  $a^2 + b^2 = c^2$ ;  $Q_{i-1}$ ;  $\psi_j$ ) – только в текстовом режиме, сложные

$$(s^2 = \frac{1}{n-1} \left[ \sum_{j=1}^e x_j^2 n_j - \frac{1}{n} \left( \sum_{j=1}^e x_j n_j \right)^2 \right]; \left( \frac{\sigma_a}{[n]} \right)$$

или  $S_i^m$ ) – только в редакторе формул

Equation или в MathType.

Написание букв: русские (а, б, в, А, Б, В), греческие (Θ, Σ, Ω, Ψ, α, β, δ, ε, λ, π), а также цифры и аббревиатуры (1, 2, 3; I, II, III; max, lg, sin и т. п.) пишутся только прямо; латинские (a, b, n, A, B, N и т. д.) – только курсивом. Исключение – курсив во вспомогательном тексте (слова «Таблица» и «Рис.», примечания в рисунках и ссылки в тексте на эти примечания).

Оформление текста: левый верхний край – инициалы, фамилия; заголовков – все буквы ПРОПИСНЫЕ, жирные, расположение – по центру набора; таблиц и рисунков: в таблицах размер шрифта – на полтора-два размера меньше, чем в основном тексте (11,5–12), расположение текста в «шапке» таблицы – по центру, в столбцах – по ширине; межстрочное расстояние – 1; слово «Таблица» – курсивное начертание, в правый край таблицы; название таблицы – начертание нормальное (прямое), расположение – по центру таблицы. В рисунках (графиках, диаграммах): размер подрисуночной

подписи – 14, расположение – по центру набора, слово «Рис.» – курсив, название рисунка – нормальное начертание, описание рисунка (экспликация) – нормальное начертание, условные обозначения – курсивное начертание, их расшифровка – нормальное. Расположение таблиц и рисунков – строго после ссылки на них.

Кроме того, рисунки обязательно прилагаются к материалу (один рисунок – один файл; формат – \*.jpg).

Ссылки на литературу в тексте пишутся в квадратных скобках ([1], [1, 2] или [3–5]); нумерация сквозная. Список литературы/источников оформляется по ГОСТ 7.0.5–2008.

В конце статьи обязательно ставится дата отсыла материала в редакцию.

Объем статьи – не более 14-ти страниц.

Название файла: Фамилия. Первое слово заголовка. Подчеркивание. Последнее слово заголовка (Сидоров. Синтез\_электроприводом).

К материалу (статье) обязательно прилагаются (отдельным файлом): УДК, сведения об авторе, аннотация, ключевые слова (название файла: УДК 000. Сидоров. Синтез\_электроприводом).

Материалы для очередного номера журнала «Вестник УрГУПС» принимаются до 30 числа первого месяца квартала (до 30-го января, 30-го апреля, до 30-го июля, до 30-го октября). Материалы, поступившие в редакцию после 30-го числа, будут опубликованы только в следующем номере.

Успешной работы!

*Л. Барышникова,  
литературный и выпускающий  
редактор журнала «Вестник УрГУПС»*



### Уважаемые читатели и авторы журнала «Вестник УрГУПС»!

Если вам нравится наш журнал, вы можете оказать содействие в его развитии, перечислив денежные средства по реквизитам:

Ассоциация выпускников УЭМИИТ-УрГУПС

ИНН-КПП 6670317893/667001001

ОГРН 1156600001470

620075, Свердловская обл., г. Екатеринбург, ул. Шевченко, д. 20, помещение 1

Р/с 40703810863010000192

в ПАО КБ «УБРИР» филиал ССБ

к/с 30101810900000000795

БИК 046577795

**Назначение платежа:** «Пожертвование для поддержки научных журналов УрГУПС».

Ваша финансовая поддержка позволит нам увеличить число публикаций, повысить индексы цитирования журнала и наших авторов.

### Уважаемые руководители инновационных компаний и предприятий!

Предлагаем вам услуги по продвижению вашей продукции через сеть Ассоциации выпускников УЭМИИТ-УрГУПС.

Ассоциация выпускников УЭМИИТ-УрГУПС – это кооперация большого числа неравнодушных людей различных сфер деятельности, окончивших наш университет.

Кроме того, предлагаем услуги по подбору молодых специалистов, по организации поиска решений прикладных и научных задач в рамках диссертационных работ, выполняемых в УрГУПС.

Всю необходимую информацию вы можете получить по тел. (343) 221-25-60

или на сайте <http://www.usurt.ru/vypusknikam/assotsiatsiya-vypusknikov-urgups>

<b>Извещение</b>	<p><b>Получатель:</b> <u>Ассоциация выпускников УЭМИИТ-УрГУПС</u> <b>КПП:</b> <u>667001001</u> <b>ИНН:</b> <u>6670317893</u> <b>ОКТМО:</b> <u>65701000</u> <b>Р/сч.:</b> <u>40703810863010000192</u> <b>в:</b> <u>ПАО КБ «УБРИР» филиал ССБ</u> <b>БИК:</b> <u>046577795</u> <b>К/сч.:</b> <u>30101810900000000795</u> <b>Код бюджетной классификации (КБК):</b> _____ <b>Платеж:</b> <u>Пожертвование для поддержки научных журналов УрГУПС</u> <b>Плательщик:</b> _____ <b>Адрес плательщика:</b> _____ <b>ИНН плательщика:</b> _____ <b>№ л/сч. плательщика:</b> _____ <b>Сумма:</b> _____ руб. ____ коп.  Подпись: _____ Дата: «____» _____ 2021 г.</p>
<b>Квитанция</b>	<p><b>Получатель:</b> <u>Ассоциация выпускников УЭМИИТ-УрГУПС</u> <b>КПП:</b> <u>667001001</u> <b>ИНН:</b> <u>6670317893</u> <b>ОКТМО:</b> <u>65701000</u> <b>Р/сч.:</b> <u>40703810863010000192</u> <b>в:</b> <u>ПАО КБ «УБРИР» филиал ССБ</u> <b>БИК:</b> <u>046577795</u> <b>К/сч.:</b> <u>30101810900000000795</u> <b>Код бюджетной классификации (КБК):</b> _____ <b>Платеж:</b> <u>Пожертвование для поддержки научных журналов УрГУПС</u> <b>Плательщик:</b> _____ <b>Адрес плательщика:</b> _____ <b>ИНН плательщика:</b> _____ <b>№ л/сч. плательщика:</b> _____ <b>Сумма:</b> _____ руб. ____ коп.  Подпись: _____ Дата: «____» _____ 2021 г.</p>

ф. СП-1

## АБОНЕМЕНТ

на ~~газету~~  
журнал

70070

(индекс издания)

### Вестник УргУПС

(наименование издания)

Количество  
комплектов:

на 2021 год по месяцам:

1	2	3	4	5	6	7	8	9	10	11	12

Куда

(почтовый индекс)

(адрес)

Кому

(фамилия, инициалы)

## ДОСТАВОЧНАЯ КАРТОЧКА

на ~~газету~~  
журнал

70070

(индекс издания)

### Вестник УргУПС

(наименование издания)

Стои- мость	подписки	_____ руб. ____ коп.	Количество комплектов:	
	переадресовки	_____ руб. ____ коп.		

на 2021 год по месяцам:

1	2	3	4	5	6	7	8	9	10	11	12

Куда

(почтовый индекс)

(адрес)

Кому

(фамилия, инициалы)